



editura tehnica



Colecția radio și televiziune

Editura Tehnică

Emil Marian

Scheme și montaje de audiofrecvență

îng. EMIL MARIAN

SCHEME ȘI MONTAJE DE AUDIOFRECVENTĂ



**EDITURA TEHNICĂ
București 1992**

Copyright © 1992, Editura Tehnică

Toate drepturile asupra acestei ediții sunt rezervate editurii

**Adresa : EDITURA TEHNICĂ
Piața Presei Libere, 1
33 București, România
cod 79738**

**Redactor: BOGDAN ZOTTA
Tehnoredactor: OLIMPIADA NISTOR
Coperta: SIMONA DUMITRESCU**

Bun de tipar: 12.08.1992

Coli tipar: 9,25

C.Z.: 621.375

ISBN 973-31-0437-X

S.C. „UNIVERSUL” S.A. c. 330

CUPRINS

1 Introducere	5
2 Preamplificateare	18
2.1 Preamplificator pentru microfon	19
2.2 Preamplificator pentru doză piezoelectrică sau microfon	20
2.3 Preamplificator pentru doză ceramică	21
2.4 Preamplificator cu tranzistoare pentru doză electromagnetică	23
2.5 Preamplificator universal	25
2.6 Preamplificator cu posibilități multiple	26
2.7 Preamplificator pentru înregistrări	28
2.8 Preamplificateare cu βA 741	29
2.9 Preamplificateare Hi-Fi pentru picup	31
2.10 Preamplificator Hi-Fi pentru microfon și doză electromagnetică	35
2.11 Montaje Hi-Fi cu βM 387	37
3 Corectoare de ton	40
3.1 Corectoare de ton tip loudness	40
3.2 Corector complex: bass, loudness, hiss, rumble	41
3.3 Efectul de spațialitate	43
3.4 Corectoare de ton tip Baxandall	44
3.5 Filtru pentru discuri vechi	46
3.6 Corectoare de ton cu trei secțiuni	47
3.7 Corector de ton cu posibilități multiple	49
3.8 Corector de ton Hi-Fi	50
3.9 Egalizator parametric cu performanțe ridicate	51
3.10 Egalizator grafic Hi-Fi	53
4 Reducerea zgomotului	60
4.1 Reducător de brum	60
4.2 Reducător de zgomot 1	62
4.3 Reducător de zgomot 2	63
4.4 DNL	65
4.5 DNF	69
4.6 DNR	72
4.7 Limitator dinamic de zgomot (LDZ)	76
4.8 LDZ cu circuite integrate	78
4.9 Filtru de zgomot pentru discuri vechi	81
4.10 Filtru de zgomot „rumble” pentru picup	84
4.11 Sistemul Dolby B	88
5 Amplificateare de putere	102
5.1 Noțiuni de bază	102
5.2 Scheme electrice	107
5.2.1 Amplificator de 5 W	107
5.2.2 Amplificator de 10 W	108
5.2.3 Amplificator cu tranzistoare super-beta	109
5.2.4 Amplificator de 15 W	110
5.2.5 Amplificator Hi-Fi de 25 W	111
5.2.6 Amplificator Hi-Fi de 35 W	112
5.2.7 Amplificator Hi-Fi de 60 W	113
5.2.8 Amplificator Hi-Fi de 75 W	114

5.2.9 Amplificator Hi-Fi hibrid	115
5.2.10 Amplificator cu TBA 570	118
5.2.11 Amplificator stereo de 5 W cu circuite integrate	121
5.2.12 Amplificator în punte cu circuite integrate	121
5.2.13 Amplificator de 50 W cu circuit integrat	122
5.3 Verificarea amplificatorului de audiofrecvență de putere	123
6 Montaje auxiliare	128
6.1 Indicator al prezenței tensiunii de rețea	128
6.2 Indicator de avarie	129
6.3 Clipping	129
6.4 Reglaj de volum compensat	130
6.5 Balans stereo	131
6.6 Controlul balansului stereo	133
6.7 Limitator pentru preamplificator de microfon	134
6.8 Adaptor pentru cablu lung	134
6.9 Mixer dinamic	135
6.10 VU-metre	137
6.11 Generator sinusoidal AF	138
6.12 Controlul volumului în curent continuu	140
V Indicații constructive generale	142
7.1 Realizarea cablajului imprimat	142
7.2 Tehnica lipirii componentelor într-un montaj electronic	143
7.3 Ansamblul electroacustic	145
8 Bibliografie	147

1 INTRODUCERE

Orice ansamblu electronic este format totdeauna dintr-o serie de blocuri funcționale interconectate între ele. Fiecare bloc electronic deține o configurație bine definită — configurația de bază specifică funcțiilor pe care le are de indeplinit. Indiferent de complexitatea schemelor electrice, există o serie de configurații de bază pentru fiecare bloc electronic. Principalele tipuri de etaje funcționale prezente parțial sau integral în orice aparat electroacustic sunt următoarele :

- etajul de alimentare
- stabilizatorul de tensiune
- etajul preamplificator
- etajul corector de ton
- reducătorul de zgomot
- amplificatorul de putere
- etajul de semnalizare optică
- convertorul electroacustic de putere (boxele).

Interconectarea etajelor funcționale menționate anterior este prezentată în fig. 1.1.

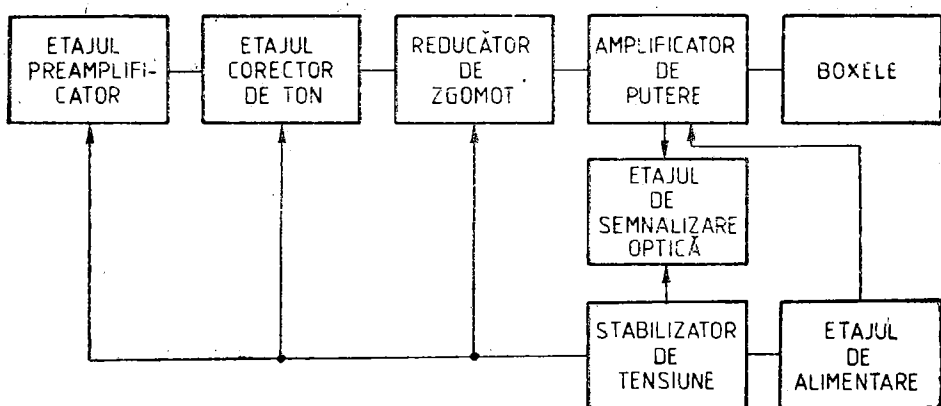


Figura 1.1 Etajele funcționale ale unui sistem electroacustic.

Etajul de alimentare are rolul de a realiza transferul de putere de la rețeaua de alimentare la blocurile electronice din ansamblul electroacustic. Conversia energiei se face astfel încât parametrii definitorii inițiali

pentru puterea electrică (curentul și tensiunea) sănt modificați conform necesităților energetice proprii fiecărui etaj funcțional. Etajul stabilizator de tensiune are rolul de a îmbunătăți alimentarea cu energie electrică a unor blocuri funcționale din complexul electroacustic, prin menținerea constantă a valorii tensiunii de alimentare, indiferent de consumul energetic (de curenț) al acestora.

Etajul preamplificator acționează asupra nivelului semnalului audio util furnizat de unul din trăductoarele externe de informație electroacustică (microfon, doză de pick-up, cap de magnetofon etc.) în sensul măririi lui. Orice etaj preamplificator reprezintă practic un etaj de amplificare în tensiune a semnalului audio util.

Etajele de amplificare au fost prevăzute în cadrul aparatului de audiofrecvență pentru mărirea nivelului unui semnal audio-util, de la o valoare inițială pînă la o valoare finală dorită prestabilită. Parametrii esențiali ai oricărui etaj de amplificare sunt următorii :

- impedanța de intrare Z_b ,
- impedanța de ieșire Z_e ,
- banda de frecvențe în care etajul de amplificare lucrează Δf ,
- amplificarea semnalului în banda de frecvențe utilă A ,
- raportul semnal-zgomot S/N ,
- coeficientul de distorsiuni armonice THD ,
- coeficientul de distorsiuni de intermodulație TID .

De obicei impedanțele de intrare și de ieșire depind în mare măsură de configurația schemei electrice a etajului de amplificare. Banda de frecvențe de lucru și raportul semnal-zgomot general ale etajului de amplificare depind în principal de tranzistoarele folosite și totodată de configurația schemei electrice. Amplificarea semnalului audio util este totdeauna invers proporțională cu coeficientul de distorsiuni THD și TID general al amplificatorului. Datorită acestui fapt, pentru a obține amplificări mari și totodată un coeficient de distorsiuni mici, de cele mai multe ori se inseriază mai multe etaje de amplificare. Pentru buna funcționare a unui etaj de amplificare se are în vedere și realizarea, indiferent de configurația schemei electrice analizate, a unei polarizări pentru fiecare tranzistor astfel încît acesta să nu lucreze în zona de blocare sau saturatie, indiferent de amplitudinea semnalului audio util amplificat. În caz contrar distorsiunile THD și TID sunt inevitabile.

Etajul corector de ton este prevăzut în scopul modificării caracteristicii de transfer inițiale amplitudine-frecvență a semnalului audio util amplificat, conform unor norme sau, în general, preferințelor.

Reducerul de zgomot are rolul de a acționa asupra raportului semnal-zgomot propriu informației conținută de semnalul audio util, în sensul îmbunătățirii lui. Reducerea zgomotului unui semnal audio reprezintă o operă deosebit de complexă. Realizarea ei practică implică nu de puține ori unele sacrificii privind ansamblul continuu amplitudine-frecvență inițial al semnalului audio util.

Reducerea zgomotului de fond în aparatul electroacustică reprezintă o tehnică apărată concomitent cu perfecționarea continuă a sistemelor audio destinate redării unui program sonor într-o manieră cit mai apropiată de interpretarea originală. Tot mai frecvent se impune existența unei aparaturi astfel concepute încit raportul semnal-zgomot final să fie suficient de mare pentru o audiere corespunzătoare cîrçitelor Hi-Fi. Perfecționarea continuă a aparatului de înregistrare magnetică, realizarea unor benzi magnetice cu caracteristici tot mai bune (benzile metalice) au implicat în ultimii ani apariția unor noi sisteme de reducere a zgomotului de fond, care au permis lărgirea gamei dinamice la 30—50 dB.

Zgomotul de fond este un „semnal” cu o tensiune echivalentă de amplitudine mică (1—3 mV) care se manifestă cu precădere atunci cînd semnalul audio util are un nivel mic (pasajele pianissimo) sau în pauzele dintre 2 pasaje muzicale. Spectrul audio al zgomotului de fond se situează în registrul frecvențelor audio medii-inalte. Practic, zgomotul de fond se manifestă din punct de vedere auditiv ca un fișit supărător, care este cu atit mai evident cu cît magnetofonul, casetofonul sau pick-upul redă mai bine frecvențele inalte. El reprezintă din punct de vedere

electric un semnal nedorit care se însumează din diverse motive cu semnalul audio util pe traseul pe care acesta îl parcurge în vederea conversiei finale electroacustice. Se face precizarea că nu tratăm aici zgometul de fond care apare datorită imperfecțiunilor mecanice ale aparatului electroacustic, sau filtrajului insuficient al tensiunilor de alimentare, defecte remediable cu ușurință datorită perfecționărilor aduse în mod continuu în această privință. Se insistă asupra zgometului de fond care ia naștere în momentul lecturării informației electroacustice stocate într-o anumită manieră (pe bandă magnetică, pe discuri etc.).

Sistemul de preaccentuare-dezaccentuare. Cel mai simplu mod de reducere a zgometului de fond este de a-l filtra. Acest principiu este utilizat frecvent în radiodifuziune, unde majoritatea programelor muzicale sonore sunt întii înregistrate pe bandă magnetică și apoi emise. Înainte de a fi emis, semnalul electric corespunzător programului muzical sonor este prelucrat. Se ridică în mod artificial nivelul freevențelor medii-inalte și ulterior semnalul prelucrat este emis (fig. 1.2). La recepție se coboară nivelul frecvențelor medii-inalte prin intermediul unui filtru

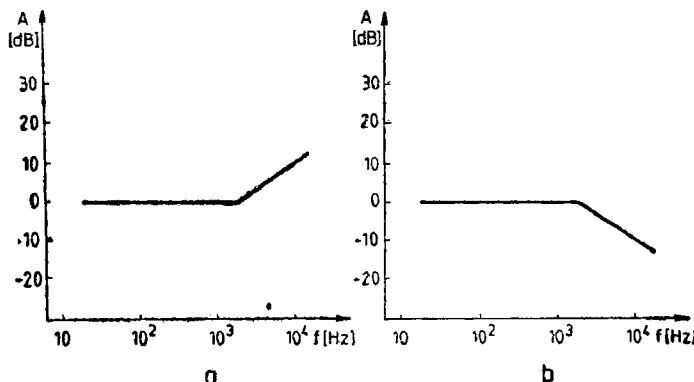


Figura 1.2 Funcționarea sistemului de preaccentuare-dezaccentuare : a) ridicarea frecvențelor medii-inalte ; b) liniarizarea caracteristicii de transfer finale.

electric, a cărui caracteristică tensiune-frecvență este complementară celei utilizate la emisie. Concomitent, se coboară astfel și nivelul zgometului de fond, care acum face parte din semnalul deja recepționat. Rezultă că informația audio utilă este readusă în timpul recepției la forma inițială, în timp ce zgometul de fond trece prin filtrul de dezaccentuare și astfel este mult atenuat. Această tehnică de preaccentuare-dezaccentuare se folosește și la magnetofoane, în timpul înregistrării și ulterior redării programului muzical sonor. Acest lucru nu îmbunătățește însă cu mult raportul semnal-zgomot al unei înregistrări cu dinamică mare, chiar dacă se folosește pentru acest lucru o bandă magnetică bună (CrO_2 , metal etc.).

Filtru dinamic. Filtrul dinamic reprezintă un filtru trece-jos cu bandă de trecere variabilă. Se modifică banda de trecere a filtrului în funcție de nivelul semnalului audio util de frecvență medie-inaltă. În absența semnalului audio sau atunci cînd spectrul lui conține seminale de frecvență medie-inaltă cu un nivel mic, banda de trecere a filtrului activ se micșorează la maximum (pînă la cca 1,5 kHz). În acest fel zgometul de fond nu mai este amplificat și redat. De îndată ce nivelul frecvențelor medii-inalte crește, filtrul activ își mărește banda de trecere, astfel incît semnalul trece nemodificat spre etajele următoare de amplificare (fig. 1.3). Inconvenientul acestui tip de reducător de zgomet este că el atenuă și semnalul audio de nivel mic și freevență inaltă, deoarece filtrul nu face diferență între acesta și zgometul de fond decit prin amplitudinea nivelului. În consecință se obține o absorбie a zgometului de fond dar și o atenuare a semnalelor foarte mici de frecvență medie-inaltă. Acest sistem de reducere a zgometului are avantajul că nu schimbă caracteristica de transfer globală a lanțului electroacustic în care este intercalat, dacă binențeles filtrul dinamic este corect reglat.

Sistemul DNL. Realizat de firma Philips, este un dispozitiv de reducere a zgometului care intervine numai în timpul redării. Principiul său constă în defazarea cu 180° a semnalelor de frecvență medie-inaltă de nivele mici, proprii semnalului audio util și reînsumarea lor cu semnalul audio inițial (nemodificat ca fază). Astfel, zgometul de fond, aflat tocmai în zona frecvențelor medii-inalte și avind un nivel mic, este complet eliminat. Sistemul DNL are același inconvenient ca și filtrul dinamic, deoarece semnalul util de nivel foarte mic din banda medii-inalte și el eliminat.

Sisteme compresoare-expandoare liniare. Aceste sisteme se înrudează oarecum cu sistemul de preaccentuare-dezaccentuare, deoarece utilizează tehnica operației complementare. Semnalul util destinat înregistrării pe bandă trece printr-un amplificator comandat în tensiune funcție de nivelul semnalului. Cind semnalul are nivel mare se activează asupra amplificatorului pentru a-i micșora nivelul. Cind semnalul are nivel mic, i se mărește suplimentar amplitudinea (fig. 1.4). Astfel dinamica semnalului e mult redusă. De obicei, nivelul semnalului e „comprimat” cu raportul 1 : 2, dar unele firme folosesc un raport de 1 : 1,5. Comprezia (sau expansiunea) se fac pornind de la un nivel anumit.

După această prelucrare, semnalul e înregistrat pe bandă. La redare e prelucrat invers, pentru a reveni la forma inițială.

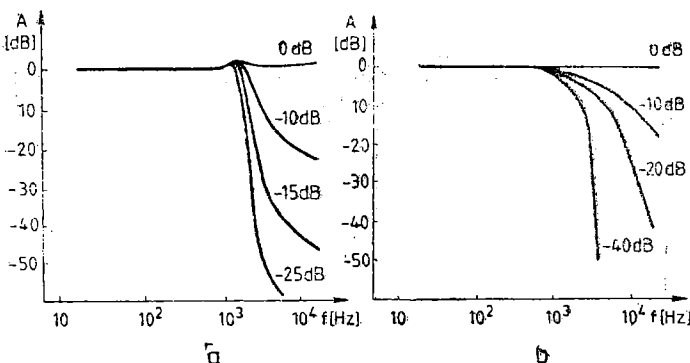


Figura 1.3 Funcționarea filtrului dinamic : a) filtru dinamic de ordinul 3 ; b) filtru dinamic tip DNL.

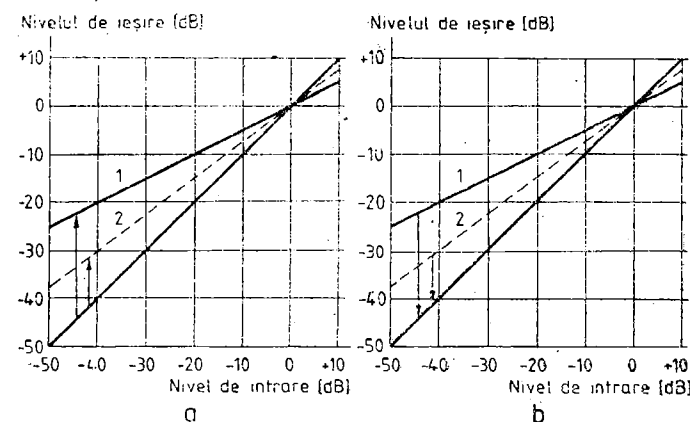


Figura 1.4 Funcționarea sistemului compresor-expandor liniar : a) preaccentuare ; b) dezaccentuare.

Sisteme compresoare-expandoare neliniare. Aceste sisteme realizează compresia-expandarea semnalului audio util tot în funcție de nivelul acestuia. Pentru semnalele audio de nivel mic se execută o expansiune, iar cele de nivel mare rămân nemodificate. Concomitent cu compresia semnalelor de nivel mic realizată în momentul redăriri, este redus și zgomotul de fond care acum face parte din semnalul redat.

Sisteme cu tratament selectiv. Sistemul compresor-expandor lucrează într-o anumită plajă de frecvențe dată, mai largă sau mai îngustă, conform benzii de trecere audio a magnetofonului folosit. Pentru ca sistemul de prelucrare să devină selectiv, există posibilitatea de a introduce filtre pe traseul semnalului util, în diverse locuri ale montajului. Se obține în

acest fel un lanț electroacustic cu structură complementară. Acțiunea de prelucrare a semnalului inițial nu se aplică decit benzii de frecvențe delimitată de filtrul respectiv.

O două modalitate de filtraj este de a introduce un filtru care depinde de sistemul de măsurare a nivelului. Compresia-expandarea poate să lucreze doar pentru anumite frecvențe, iar pentru celelalte să nu lucreze. Banda de trecere a sistemului de detectie care stabilește nivelul de comandă, este inferioară celei de transmisie a semnalului audio util. În acest fel se delimită modul de tratament compresor-expandor. El lucrează doar pentru anumite niveluri ale frecvențelor prelucrate în vederea înregistrării-redării, care să elimine zgomotul de fond. Utilizând una din aceste două metode de prelucrare a semnalului audio util, raporturile de compresie-expansie pot deveni variabile, în funcție de frecvența și nivelul lui.

Reducătoarele de zgomot comerciale. Ținând cont de toate considerentele expuse anterior, s-au realizat practic o serie de sisteme de reducere a zgomotului de fond datorat, în cea mai mare parte, benzii magnetice.

Sistemul Dolby B lucrează în banda de frecvență 400 Hz – 18 kHz. El reprezintă un sistem neliniar de compresie-expandare a semnalului audio util în funcție de nivelul acestuia. Se prelucrează în special semnalele de frecvență medie-finală cu nivel mic. Spectrul de frecvență al semnalului audio util este prelucrat conform algoritmului prezentat în fig. 1.5. La redare se face prelucrarea după un algoritm complementar celui folosit la înregistrare. Ameliorarea raportului semnal-zgomot al sistemului Dolby B este de cca 10 dB.

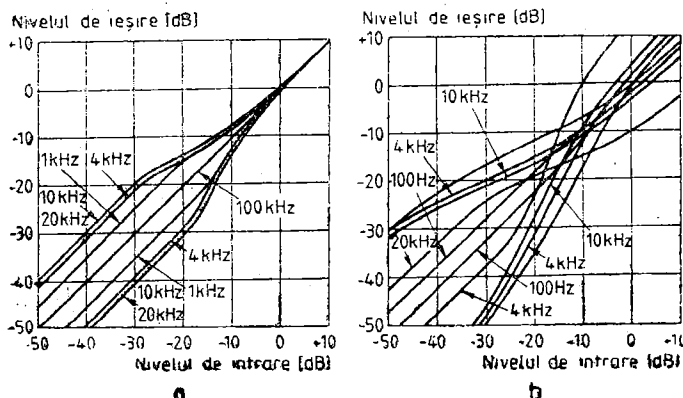


Figura 1.5 Funcționarea sistemului Dolby : a) sistemul Dolby B ;
b) sistemul Dolby C.

Deoarece sistemul este sensibil la erorile de nivel, se cere o ajustare a sensibilității blocului de înregistrare pentru obținerea condițiilor optime de funcționare.

Alte sisteme comerciale mai răspindite sunt :

- Dolby HX ;
- Dolby C, o perfecționare adusă sistemului Dolby B, chiar de către dr. Ray Dolby ;
- ANRS, folosit de firma JVC și compatibil cu Dolby B ;
- Hi-COM, creat de firma Telefunken ;
- Super D (Sanyo) ;
- Adress (Toshiba) ;
- DBX, Comander etc.

Amplificatorul de putere este prevăzut pentru mărirea puterii electrice a semnalului audio util în scopul conversiei lui electroacustice finale.

Amplificatorul de putere trebuie să dezvolte în sarcină o anumită putere, cu un randament cât mai bun și cu distorsiuni minime. Reglajul puterii dezvoltate de amplificator se face aproape întotdeauna prin modificarea nivelului semnalului alternativ de intrare. Impedanța de sarcină a unui amplificator de audiofrecvență este difuzorul, iar puterea transmisă acestuia variază în limite mari, de la cîțiva miliwăți (volum minim) pînă la zeci de wăți (volum maxim) funcție de valoarea dorită.

În scopul optimizării caracteristicilor de transfer, s-au imaginat niște modalități de funcționare a tranzistoarelor utilizate ca am-

plificatoare, indiferent de conexiunea în care lucrează. Astfel au apărut astăzi numeroase clase de funcționare. Tranzistoarele din amplificatoarele de audio-frecvență de putere pot funcționa ca amplificatoare (de curent sau de tensiune) în următoarele clase : clasa A, clasa B, clasa AB, clasa C și clasa D. Alegerea clasei de funcționare și a conexiunii de lucru a tranzistoarelor se face în funcție de amplificarea în tensiune sau curent cerută, puterea maximă, distorsiunile maxime admise (THD) etc.

Se menționează că montând tranzistoarele în conexiunea tip emitor comun se obține cea mai mare amplificare de putere. În același timp, conexiunea de tip colector comun conduce la cele mai simple scheme de amplificare în curent, evitând etajele de adaptare suplimentară între amplificator și impedanța de sarcină (spre exemplu transformatorul de ieșire).

Amplificatoare în clasă A. Schema electrică de principiu și caracteristicile de funcționare statice și dinamice ale unui amplificator în clasă A sunt prezentate în fig. 1.6. S-a ales pentru exemplificarea modului de funcționare un montaj al tranzistorului amplasat într-o conexiune de tip emitor comun. Se observă că, pentru obținerea unui randament maxim, polarizarea etajului de amplificare trebuie astfel făcută încât, în regim de repaus, tensiunea din colectorul tranzistorului să prezinte valoarea :

$$U_{CO} \leq U_{CE_{max}}/2$$

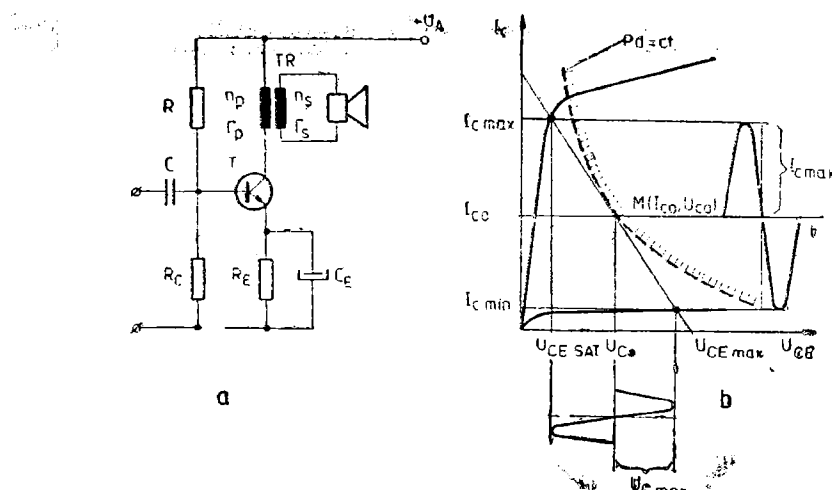


Figura 1.6 Amplificator în clasă A : a) schema electrică ; b) caracteristicile de funcționare.

În absența semnalului de intrare tranzistorul se află în punctul static de funcționare $M(U_{CO}, I_{CO})$ ale cărui coordonate tensiune—curent satisfac ecuația dreptei de sarcină în regim static :

$$U_C = U_A - (R_E + r_p) I_C,$$

unde :

r_E = rezistență de sarcină echivalentă, r_p = rezistență infășurării primare a transformatorului TR.

Este necesar totodată ca puterea dissipată $P_d = U_{CE} I_C$ să se afle în permanență sub valori situate pe o caracteristică dinamică ce constituie hiperbolă de disipație termică a tranzistorului.

Randamentul acestei clase de funcționare este :

$$\eta_A \approx 0,45 - 0,5.$$

Mai mult de jumătate din puterea preluată de la sursa de alimentare, P_A , se pierde prin disipație termică, de aceea etajele de amplificare din clasa A se folosesc numai în cazul cind puterea utilă și puterea disipației au valori mici, iar amplificarea în tensiune cerută în cazul montajului este mare (spre exemplu la etajul pilot).

Amplificatoare în clasă B. Aceste tipuri de amplificatoare folosesc două tranzistoare care amplifică pe rînd (unul semialternanță pozitivă, iar celălalt semialternanță negativă) semialternanțele semnalului de intrare. Rândamentul maxim se obține atunci cind puterea absorbită de la sursa de alimentare este proporțională cu mărimea semnalului de intrare. Puterea în regim static de funcționare (în lipsa semnalului de intrare) este neglijabilă, deoarece tranzistoarele care încrășează în clasa B au punctul static de funcționare corespunzînd unui curent din baze $I_B = 0$, iar curentii de colector I_C sunt neglijabili.

Un exemplu de schema electrică a unui amplificator în clasa B este prezentat în fig. 1.7.a. Caracteristicile statice și dinamice de funcționare sunt prezentate în fig. 1.7.b. Se observă că,

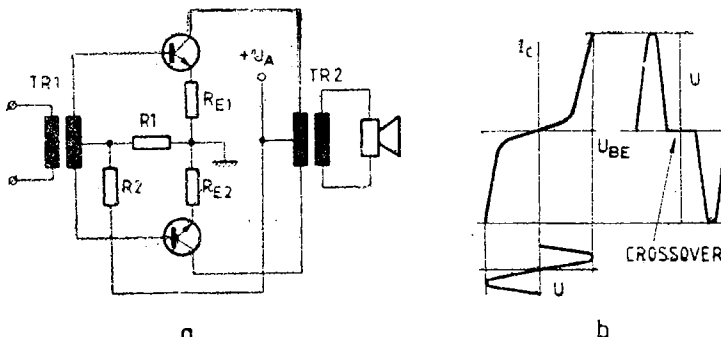


Figura 1.7 Amplificator în clasa B : a) schema electrică ; b) caracteristicile de funcționare.

Datorită transformatorului defazor TR_1 , cele două semialternanțe ale semnalului alternativ de intrare se aplică succesiv pe bazele tranzistoarelor T_1 și T_2 . Acestea realizează amplificarea în putere pentru fiecare semialternanță a semnalului de intrare alternativ, iar transformatorul de ieșire TR_2 refac forma de undă a semnalului alternativ, realizind totodată și adaptarea de impedanță amplificator – sarcină (difuzor). Pentru eliminarea distorsiunilor de neracordare a celor două semialternanțe (Crossover) în momentul în care curentii de colector sunt mici, se polarizează corespunzător bazele tranzistoarelor T_1 și T_2 , cu ajutorul divizorului de tensiune R_1 , R_2 . Datorită acestui fapt se obține totuși un mic curent de mers în gol (iar clasa reală de funcționare devine AB) absolut necesar pentru eliminarea inconvenientului. Rândamentul unui montaj în clasa B bine dimensionat este de cca 0,6...0,7.

Amplificatoare în clasa AB. O clasă de funcționare intermediară între clasa A și clasa B este clasa AB. Caracteristica acestei clase de funcționare este faptul că, în absența semnalului alternativ de intrare, prin tranzistoarele finale circulă, datorită sistemului de polarizare, un curent (numit curent de mers în gol) mai mic decât cel caracteristic clasei A și mai mare decât în cazul clasei B. Poziția intermediară a punctului static de funcționare $M(U_{C_0}, I_{C_0})$ este determinată de polarizarea corespunzătoare a tranzistoarelor. Majoritatea etajelor finale de putere încrășează în clasa AB, datorită bunei comportări în ceea ce privește rândamentul și distorsiunile (THD). Caracteristicile statice și dinamice de funcționare ale unui amplificator în clasa AB sunt prezentate în fig. 1.8.

Configurațiile de bază ale schemelor electrice (indiferent de polarizarea în clasa B sau AB) sunt următoarele :

- amplificator simetric în contratimp, cu transformator defazor și transformator de ieșire (fig. 1.7.a).

- amplificator simetric în contratimp cu transformator defazor fără transformator de ieșire, cu alimentare de la două surse de tensiune (fig. 1.9).

- amplificator în contratimp cu tranzistoare complementare fără transformator de ieșire (fig. 1.10),

- amplificator sistem Mullard, în modul II (fig. 1.11). Acest tip de amplificator încrășează cu un curent total constant iar amplitudinea semnalului de intrare determină, datorită configurației electrice, clasa de funcționare după cum urmează:

- pînă la 40 % din putere — clasa A,

— 40% — 09% din putere — clasa AB,
 — ≥ 90% din puterea totală — clasa B.
 Amplificatorul Mullard se remarcă printr-un procent de distorsiuni THD foarte redus.

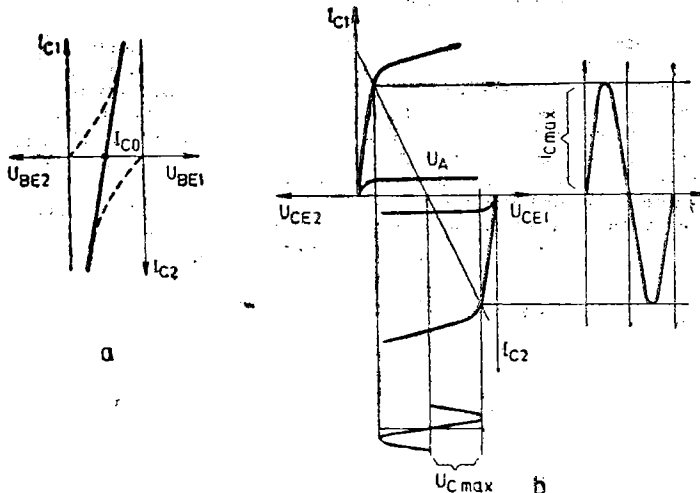


Figura 1.8 Caracteristicile de funcționare ale amplificatorului în clasa AB: a) caracteristica statică; b) caracteristicile dinamice.

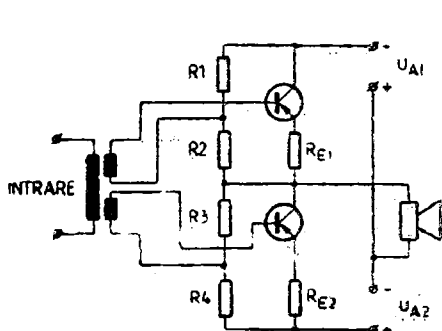


Figura 1.9 Amplificator simetric în contratimp cu transformator de defazare.

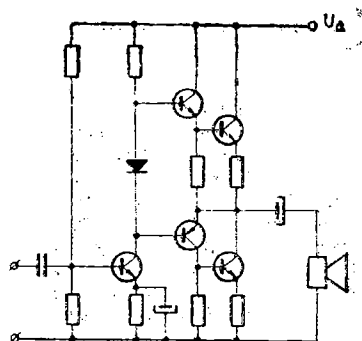


Figura 1.10 Amplificator simetric în contratimp cu tranzistor complementare.

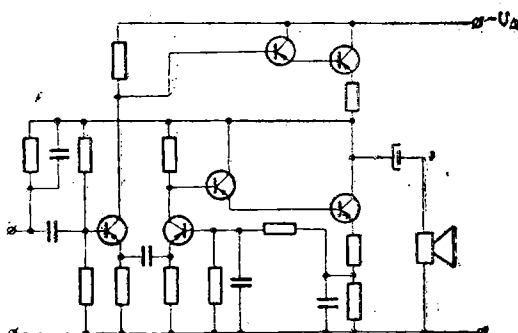


Figura 1.11 Amplificator Mullard în modul π .

Puterea amplificatorului de audiofrecvență. Puterea de ieșire a unui amplificator de audiofrecvență reprezintă puterea pe care aceasta o poate debita, având ca impedanță de sarcină difuzorul (grupul de difuzeoare din incintă acustică) :

$$P = \frac{U_{RMS}^2}{Z},$$

unde : U_{RMS} = valoarea eficace a tensiunii de ieșire a amplificatorului, Z = valoarea impedanței de sarcină.

În general fiecare amplificator de audiofrecvență de putere are menționată, printre caracteristicile date de firma producătoare, valoarea puterii de ieșire.

Faptul care de cele mai multe ori nu este precizat constă în totalitatea condițiilor în care este măsurată această putere. În multe cazuri, puterea de ieșire este indicată doar pentru o singură frecvență a semnalului de intrare -- de cele mai multe ori 1000 Hz. Amplificatoarele ieftine, „de larg consum”, au înscrisă în cartea tehnică valoarea puterii de ieșire la frecvențele medii, presupunindu-se cunoscut faptul că puterea scade spre extremitățile benzii de audiofrecvență.

Deoarece performanțele amplificatorului depind, în această privință, de tipul schemei electrice folosite și totodată de componentele electrice utilizate, este de așteptat ca o livrare liniară a puterii în întreaga bandă de audiofrecvență să fie garantată doar pentru un produs complex, având un preț de cost ridicat. De obicei, puterea unui amplificator de audiofrecvență se precizează pentru un semnal de intrare cu formă de undă sinusoidală.

Cel mai frecvent sunt precizate în catalogele firmelor producătoare următoarele puteri (una dintre ele) :

- puterea maximă sinusoidală,
- puterea nominală,
- puterea continuă,
- puterea de virf,
- puterea muzicală (IHF).

În majoritatea țărilor europene se utilizează ca dată de catalog puterea maximă sinusoidală.

Ea reprezintă valoarea puterii maxime eficace pentru o formă de undă sinusoidală a semnalului electric amplificat. Puterea nominală se mai numește frecvent putere maximă sinusoidală sau putere continuă fiind prezentată sub această denumire în unele cataloge ale firmelor producătoare de amplificatoare de audiofrecvență din SUA și Japonia.

Puterea de virf (peak power) reprezintă dublul puterii maxime sinusoidale.

Puterea muzicală IHFM (Institute of High Fidelity Manufacturers) se referă la puterea, cu distorsiuni sub 1 %, măsurată pentru un semnal de intrare care aproximează o formă de undă a semnalului electric alternativ imuzical, din regimul normal de exploatare. Puterea muzicală IHFM este de 1,4 -- 1,5 ori mai mare decât puterea nominală.

Măsurările (și prezentarea datelor) pentru afișarea puterii unui amplificator de audiofrecvență se fac utilizând forma de undă sinusoidală a semnalului de intrare. Odată cu apariția unor noi firme producătoare de echipament electroacustic s-au prezentat în prospecțele acestora și alte valori decit cele pentru puterea nominală, rezultatul (și evident scopul) utilizării fiind o reclamă pentru produsul respectiv. Acest lucru poate deruza pe amatorul de complexe electroacustice cu performanțe superioare care nu este informat asupra modului de notare al puterilor. Singura comparație reală între două amplificatoare de audiofrecvență care au aceeași putere se poate face doar utilizând ca semnal de intrare semnalul cu formă sinusoidală și comparând, pentru aceeași impedanță de sarcină, valorile puterilor maxime sinusoidale.

Un factor deosebit de important, caracteristic unui amplificator de audiofrecvență, îl reprezintă „răspunsul în frecvență” al acestuia, adică modul de comportare a puterii de ieșire a amplificatorului în întreaga bandă de audiofrecvență. Pentru un amplificator Hi-Fi, abaterea de la un răspuns liniar este foarte mică. Standardul european DIN 45 500 recomandă o valoare de maxim $\pm 1,5$ dB în ceea ce privește abaterea de la puterea nominală în gama de frecvență 40 Hz ÷ 16 000 Hz. Peste 20 kHz se admite ca puterea să scadă treptat, iar sub 20 Hz ea este intenționat atenuată datorită considerentelor de ordin fiziolologic (vibratiile de joasă frecvență sunt dăunătoare pentru organismul uman).

Distorsiunile în amplificatoarele de audiofrecvență. Problema distorsiunilor în amplificatoarele de audiofrecvență se află permanent în atenția constructorilor de aparatul electroacustic.

Un mod net de a diferenția două amplificatoare de audiofrecvență de aceeași putere construite de firme diferite este modul cum acestea se

comportă în privința distorsiunilor neliniare. Firmele specializate în construcția aparatajului electroacustic și constructorii amatori caută în permanență soluții noi pentru obținerea unor rezultate cît mai bune.

Distorsiunile pe care le introduce un amplificator de audiofrecvență se clasifică în două mari grupe și anume :

- distorsiuni liniare, care reprezintă abateri de amplitudine sau frecvență, exprimate printr-o funcție de transfer liniară ;
- distorsiuni neliniare, cauzate de relația neliniară dintre amplitudinile de intrare și ieșire ale semnalului util, deci o funcție de transfer neliniară.

Distorsiunile neliniare se clasifică în două grupe distincte :

- distorsiuni neliniare statice, dependente numai de amplitudinea semnalului ;
- distorsiuni neliniare dinamice dependente de amplitudinea și frecvența, fază sau de modul de comportare în timp a semnalului.

Distorsiunile neliniare statice. Fiecare etaj al unui amplificator are, în tot domeniul posibil de lucru, o funcție de transfer neliniară. Neliniaritățile se pot clasifica în trei grupe principale :

- neliniaritate de tip S ;
- neliniaritate datorată neracordării semialternanțelor semnalului, numită crossover ;
- neliniaritate datorată limitărilor semnalului, denumită clipping.

Aceste neliniarități tipice sunt prezentate în fig. 1.12.

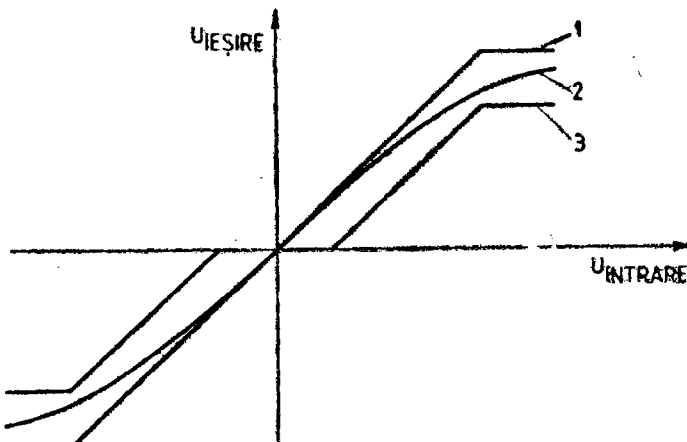


Figura 1.12 Distorsiuni neliniare statice : 1 — clipping, 2 — neliniaritate de tip S, 3 — crossover.

Neliniaritatea de tip S poate apărea din mai multe motive. În cazul tranzistorilor ea rezultă datorită dependenței neliniare a amplificării de curent față de curentul de colector, neliniarității tensiunii bază-emitor caracteristice, neliniarității de tip avalanșă a curentului de colector datorită tensiunii colector-emitor etc. În cazul utilizării transformatoarelor de cuplaj sau ieșire neliniaritățile lor datorate saturării circuitului magnetic au o deosebită importanță. Influența surselor de neliniaritate S se poate elimina complet utilizând reacția negativă locală, sarcina optimă și adaptarea între etaje. Cu prețul unui etaj de amplificare în plus care să compenseze pierderile de amplificare datorită reacției negative locale, problema este pe deplin rezolvabilă.

Neliniaritatea de tip crossover poate să apară la funcționarea unui etaj de audiofrecvență în clasa B. Datorită randamentului net superior clasei A în ceea ce privește puterea transmisă, majoritatea etajelor finale lucrează în clasa AB. Dacă nu se respectă o serie de factori esențiali în proiectare, apare în mod sigur distorsiunea de tip crossover. Aceasta se manifestă sub două forme, și anume crossover de neracordare și crossover de asimetrie. Crossoverul de neracordare reprezintă un gol în ceea ce privește racordarea celor două semialternanțe ale semnalului de audio.

frecvență. Crossoverul de acest tip este prezentat în fig. 1.13.a. Crossoverul de asymetrie apare atunci cînd există o asymetrie de tip a amplificării semnalului în ceea ce privește semialternanțele. Acest tip de distorsiune este prezentat în fig. 1.13.b. Distorsiunea crossover are următoarele cauze principale:

- descreșterea amplificării etajului în momentul apropierei de zero a celor două semialternanțe ale semnalului.

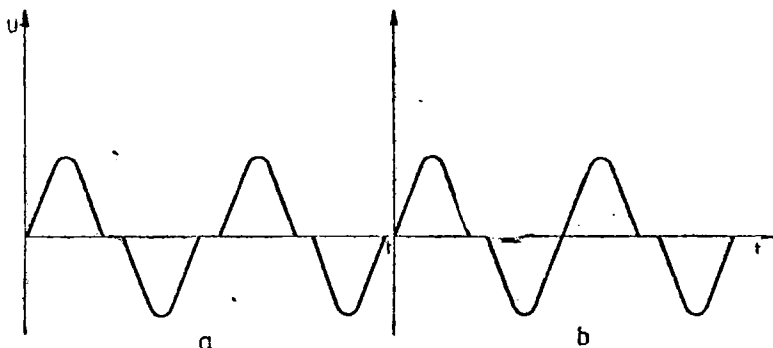


Figura 1.13 Distorsiuni de tip crossover : a) crossover de neracordare ; b) crossover de asymetrie.

— frecvență de tranziție diferită a tranzistoarelor sau grupului de tranzistoare finale aflate în componența etajului (de ex. secțiunea NPN comută mai rapid decît secțiunea PNP) care lucrează separat pentru fiecare semialternanță a semnalului.

În regiunea de treiere „prin zero” a semialternanțelor amplificarea în buclă deschisă a etajului scade simțitor. Datorită acestui lucru reacția negativă are efecte limitate. Distorsiunile crossover sunt deosebit de distinț seizable, neplăcute la auditiua programului sonor, deoarece generează armonici și intermodulații în banda de audiofrecvență.

Nelinieritatea de tip clipping apare atunci cînd amplificatorul este supratîncărcat. Deci acest tip de nelinieritate apare numai în caz accidental. Deoarece pentru durată limitată de timp depășirile de sarcină există, în mod ușor, performanțele amplificatorului la suprasarcină devin importante. Sesizarea practică a distorsiunilor clipping depinde de mecanismul limitării, de pantă-acestuiu (dacă e bruscă sau lină) etc. Se pot produce efecte secundare, deoarece limitarea agravează generarea armonicelor și distorsiunilor de intermodulație. Este de dorit ca pantă limitării să fie mică, dar datorită reacției negative globale procesul are loc în avalanșă și limitarea devine „dură”. Reacția negativă mai poate produce un excès de curent în etajul pilot al amplificatorului, fapt care agravează problemele de saturare și revenirea rapidă la funcționarea normală.

Limitarea cu pantă lină și reacția negativă globală rămîn două probleme contradictorii. Iată de ce un bun amplificator se dimensionează pentru o putere mai mare decît cea utilă, în scopul de a preveni pe cît posibil depășirile de sarcină nominală. Un amplificator de audiofrecvență se dimensionează inițial la o putere dublă față de cea utilă nu pentru a „scutura” cu el perdelele din casă și a deranja vecinii, ci doar pentru obținerea unei auditiui normale nedistorionate!

Distorsiuni neliniare dinamice. Distorsiunile neliniare dinamice apar atunci atînd conținutul în frecvență sau proprietățile de timp ale semnalului de intrare afectează funcția de transfer globală a amplificatorului. O nelinieritate de acest tip se numește nelinieritate dinamică. Ea are ca origine reacția negativă globală. Pentru exemplificare, să considerăm un amplificator cu o reacție negativă foarte puternică (fig. 1.14). La intrarea lui s-a aplicat un semnal tranzitoriu (un front de undă foarte abrupt și durată foarte mică) urmat imediat de un semnal sinusoidal. Deoarece reacția negativă este foarte puternică, amplificarea în buclă închisă rămîne la valoarea A_0 (nu scade), dar amplificarea în buclă deschisă va scădea de la valoarea A_0 la A'_0 și frecvența de tăiere f_t scade momentan cu una sau două decăde la valoarea f'_t în timpul creșterii semnalului tranzitoriu. Acest lucru crează modulația de fază a semnalului sinusoidal, dacă frecvența f_s este mai mică decît f'_t și modulația combinată de amplitudine și frecvență dacă f_s se află între f'_t și f_t (fig. 1.15). În ambele cazuri, modulația de amplitudine și fază implică creșterea componentelor de interferență între semnalul tranzistoriu și semnalul sinusoidal. Acest lucru duce la apariția distorsiunilor de intermodulație apreciabile. Într-un caz extrem, amplificarea

A_0 poate scădea la zero, implicind o distorsiune de intermodulație de 100% a semnalului sinusoidal.

De aici rezultă importanța deosebită a unei proiectări îngrijite a amplificatorului, în astă fel încet reacția negativă globală să nu implice posibilitatea apariției acestui tip de distorsiune. De asemenea apare încă o dată condiția utilizării în montaj a unor tranzistoare cu frecvență de tăiere mult superioră frecvenței maxime a semnalului audio util. Un bun mijloc de evitare a distorsiunilor îl constituie și filtrajul semnalului audio inițial, astfel ca la etajele amplificatoare finale să nu ajungă semnale cu frecvență mai mare decât cele din banda de audiofrecvență.

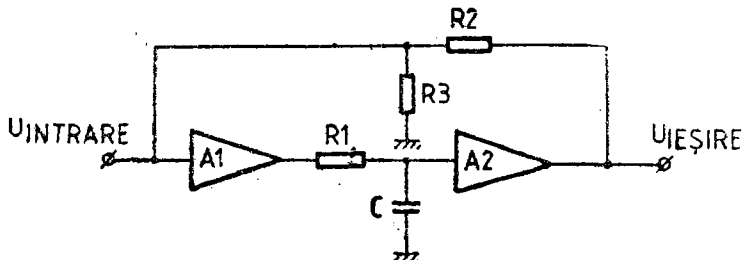


Figura 1.14 Neliniaritatea dinamică datorită reacției negative globale.

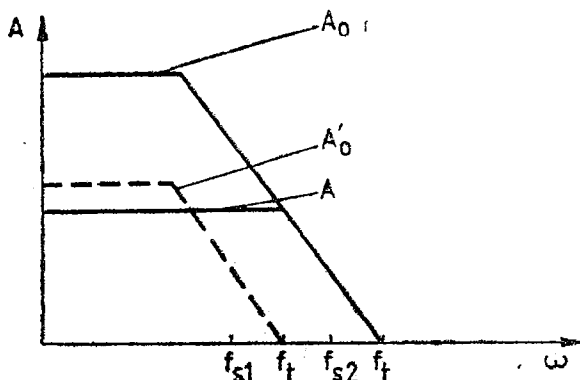


Figura 1.15 Modul de apariție a distorsiunilor nelineare dinamice.

Se definește coeficientul de distorsiuni astfel :

$$K = \sqrt{\frac{V_2^2 + V_3^2 + \dots + V_n^2 + N^2}{V_1^2}} \times 100 [\%],$$

unde V_1 = amplitudinea fundamentală ; V_2, V_3, \dots, V_n = amplitudinile armonicilor de ordinul 2, 3, ..., n ; N = amplitudinea componenteelor de zgomot și brum.

Să nu uităm însă că amplificatorul de audiofrecvență este doar unul dintre elementele lanțului electroacustic.

Coefficientul de distorsiuni al lanțului electroacustic întreg reprezintă o medie patratice a coeficienților fiecărei componente :

$$K = \sqrt{\sum_{i=1}^n k_i^2}$$

Rezultă că, pentru obținerea unei audiții Hi-Fi, amplificatorul trebuie să prezinte un factor de distorsiuni minim, deoarece doar aici se pot lua măsuri pentru micșorarea coeficiențului de distorsiuni global. Celalți coefi-

cienți sănt de natură industrială (datorăti fabricantului de magnetofon, casetofon, pick-up și deci nu se pot modifica).

Standardul DIN 45 500 normează un amplificator Hi-Fi avînd un coeficient de distorsiuni mai mic de 0,7% în intervalul 40 Hz—4 000 Hz și de maxim 1% în întreaga bandă audio, la puterea nominală a amplificatorului. În prospectele firmelor de specialitate, coeficientul total de distorsiuni al unui amplificator este notat cu inițialele THD (total harmonic distortion). Avînd în vedere că urechea umană sesizează distorsiunile începînd de la 2%, se observă importanța obținerii unui lanț electroacustic cu un THD cît mai mic. Să nu uităm că la puteri mai mici decît cea nominală, THD-ul scade parabolic. De aceea, pentru păstrarea unei dinamicii naturale a programului sonor audiat, amplificatorul nu se va folosi niciodată la puterea nominală și va fi astfel dimensionat încît să prezinte o rezervă de putere corespunzătoare.

Etajele de semnalizare optică a puterii transmise asigură un control comod și precis al transferului continuu de putere electroacustică.

Convertoarele electroacustice (incintele acustice sau boxele) sănt prevăzute obligatoriu în cadrul oricărui complex electroacustic, în scopul transformării finale energie electrică-energie acustică, necesară audierei programului muzical sonor.

În cele ce urmează, această carte își propune să se ocupe de ansamblurile propriu-zise electronice care intră în compoñența lanțului electroacustic : preamplificatoare, corectoare de ton, reductoare de zgomot, amplificatoare de putere și, în plus cîteva circuite auxiliare utile în aparatura de audiofrecvență. Fiecare schemă electronică este însoțită de precizarea tipurilor și valorilor componentelor folosite, de explicarea funcționării precum și de unele indicații utile pentru realizarea practică a montajelor respective.

2 PREAMPLIFICATOARE

Preamplificatorul este un etaj de amplificare în tensiune, care preia un semnal electric de ordinul de mărime al milivolțiilor, mărindu-i amplitudinea la sute de milivolți. Preamplificatorul reprezintă unul din cele mai importante etaje. De performanțele lui depinde în final modul de reproducere a unui program muzical sonor, indiferent de sursa program initială (sursă sonoră captată de microfon, bandă magnetică, disc etc.). Un sistem electroacustic dotat cu un preamplificator bun oferă totdeauna, indiferent de calitatea etajelor funcționale ulterioare, o reproducere sonoră de calitate bună. Dacă însă preamplificatorul este de slabă calitate, performanțele aparatului sănt cel mult medii, indiferent de corecțiile aduse ulterior semnalului audio util.

Cerințele pe care trebuie să le indeplinească un preamplificator sunt următoarele :

- raport semnal/zgomot cît mai bun ;
- liniaritate în toată banda de audiofrecvență ;
- adaptare perfectă atât între impedanța sursei de semnal și impedanța sa de intrare cît și între impedanța sa de ieșire și impedanța de intrare a etajului următor ;
- zgomot de fond minim ;
- distorsiuni de tip THD și TID minime ;
- diafonia între cele 2 canale informaționale L și R (stînga și dreapta) minimă ;
- respectarea cu strictețe a caracteristicii de transfer intrare-ieșire (liniară, RIAA, NAB etc).

Altă cerință la un preamplificator este protecția la influențele electrice sau mecanice care ar putea înrăutăti funcționarea lui. Datorită acestui fapt, pentru evitarea cimpurilor electromagnetice perturbatoare, totdeauna preamplificatorul se ecranează folosind un blindaj mecanic, conectat obligatoriu la masa montajului. Niciodată un preamplificator nu se amplasează lîngă transformatorul de rețea, motorul pick-upului sau magnetofonului, surse sigure de zgomot, deoarece în caz contrar orice efort pentru îmbunătățirea raportului semnal-zgomot rămîne inutil. În vederea evitării perturbațiilor mecanice, preamplificatorul se protejează printr-o amplasare și rigidizare corespunzătoare în complexul electroacustic unde funcționează.

Alt considerent în vederea optimizării funcționării preamplificatorului este alimentarea sa de la o sursă de tensiune stabilizată, dotată cu

un filtraj foarte bun. De cele mai multe ori în aparatul Hi-Fi se recurge la realizarea unui stabilizator de tensiune separat.

2.1 PREAMPLIFICATOR PENTRU MICROFON

Preamplificatorul pentru microfon prezentat în fig. 2.1 îndeplinește toate cerințele de amplificare liniară a unui semnal electric de nivel mic (de ordinul milivoltelor) în întreaga bandă de audiofrecvență, cu distorsiuni minime, avind concomitent un raport semnal/zgomot foarte bun. Performanțele preamplificatorului :

- impedanța de intrare $Z_i = 150 \text{ k}\Omega$;
- impedanța de ieșire $Z_o = 1 \text{ k}\Omega$;
- amplificarea în banda audio $A = 40 \text{ dB}$;
- tensiunea de intrare $U_i = 0,7 \text{ mV}$;
- banda de frecvență $\Delta f = 16 \text{ Hz} \div 20 \text{ kHz}$;
- caracteristica de transfer liniară;
- raport semnal-zgomot $S/N > 70 \text{ dB}$;
- distorsiuni armonice totale $THD < 0,2\%$;
- distorsiuni de intermodulație $TID < 0,6\%$.

Evaluind cerințele menționate anterior pentru orice preamplificator, s-a ales o schemă electrică bazată pe utilizarea unui amplificator de tensiune de tip dublet. Semnalul de intrare provenit de la microfon se aplică la intrarea preamplificatorului prin intermediul condensatorului C_1 , în baza tranzistorului T_1 .

Polarizarea dubletului $T_1 T_2$, realizată de grupul $R_6 R_3$, asigură, odată cu adaptarea de impedanță microfon-montaj, și funcționarea într-o gamă largă de temperaturi. Semnalul electric amplificat de T_1 este preluat din colectorul acestuia și aplicat galvanic în baza tranzistorului T_2 . Acest cuplaj asigură, alături de o liniaritate foarte bună în ceea ce privește banda de frecvențe audio, păstrarea unor coeficienți THD și TID minimi. Amplificarea generală a montajului este determinată de raportul R_4/R_2 . Semnalul amplificat de T_2 este transmis la ieșirea montajului prin intermediul grupului $C_4 R_8$. Grupul $R_7 C_2$ a fost prevăzut pentru un filtraj suplimentar al tensiunii de alimentare a lui T_1 , în scopul optimizării raportului general semnal-zgomot al montajului.

Pentru realizarea practică se folosesc componente electrice de cea mai bună calitate (rezistențe cu peliculă metalică, condensatoare cu tantal etc.). Obligatoriu, montajul se ecranează iar conexiunile galvanice de la intrare și de la ieșire se realizează folosind conductori ecranați.

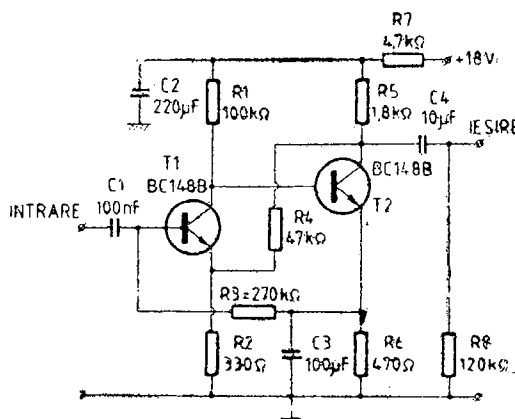


Figura 2.1 Preamplificator pentru microfon.

2.2 PREAMPLIFICATOR PENTRU DOZĂ PIEZOELECTRICĂ SAU MICROFON

Preamplificatorul (fig. 2.2) deține următoarele performanțe :

- impedanță de intrare $1,5 \text{ M}\Omega$;
- impedanță de ieșire $5 \text{ k}\Omega$;
- tensiunea de intrare 1 mV ;
- banda de frecvență $16 \text{ Hz} - 20 \text{ kHz}$;
- amplificarea în banda de frecvență 30 dB ;
- caracteristica de transfer : liniară ;
- raport semnal/zgomot $> 65 \text{ dB}$;
- distorsiuni armonice totale $< 0,15\%$;
- distorsiuni de intermodulație $< 0,04\%$.

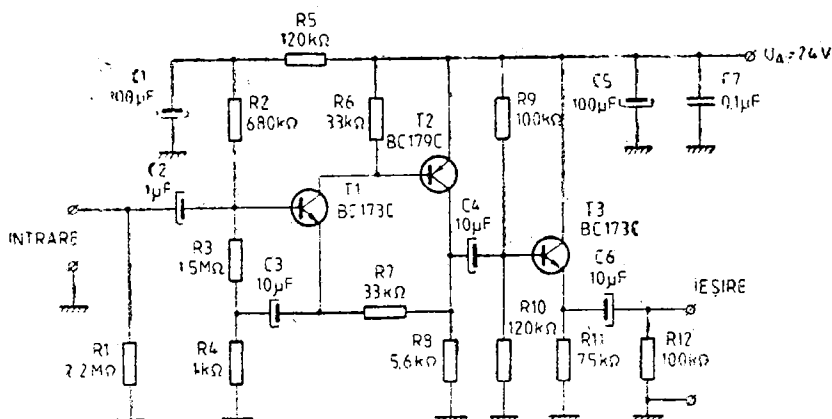


Figura 2.2 Preamplificator pentru doză piezoelectrică sau microfon

Analizând schema electrică a montajului se observă că grupul de tranzistoare T_1 și T_2 realizează un dublet care determină amplificarea finală a preamplificatorului. Condensatorul de intrare C_1 este amplasat la intrarea montajului, pentru separarea acestuia din punct de vedere galvanic față de sursa de semnal (microfon sau doză piezoelectrică). Polarizarea lui T_1 se face de către grupul de rezistențe R_2 , R_3 , R_4 . Rezistența R_5 împreună cu condensatorul C_1 realizează un filtraj suplimentar al tensiunii de alimentare destinate polarizării lui T_1 . Conectarea condensatorului C_3 între emitorul tranzistorului T_1 și rezistențele R_3 și R_4 reprezintă o conexiune bootstrap, care facilitează obținerea unei impedanțe mari de intrare. Semnalul preluat din colectorul lui T_1 este aplicat galvanic în baza lui T_2 , amplasat ca amplificator de tensiune. Amplificarea dubletului $T_1 - T_2$ este reglementată de raportul rezistențelor R_7 și R_4 . Din colectorul lui T_2 prin intermediul condensatorului C_4 semnalul amplificat se aplică etajului de tip repetație pe emitor care conține tranzistorul T_3 . Semnalul de ieșire se preia din emitorul lui T_3 prin intermediul grupului C_6 , R_{12} .

Alimentarea preamplificatorului se face obligatoriu de la o sursă de tensiune stabilizată și bine filtrată. Atât montajul cît și cablurile de conexiune galvanică intrare-ieșire sunt obligatoriu ecranațe.

2.3 PREAMPLIFICATOR PENTRU DOZĂ CERAMICĂ

Este cunoscut faptul că cele mai bune rezultate, la redarea discurilor, sunt în exclusivitate ale pick-up-urilor echipate cu doze electromagnetice. Totuși, o serie de firme din străinătate mai produc pick-up-uri echipate cu doze ceramice care, folosind un echipament electronic adecvat, permit obținerea unor rezultate bune.

Doza ceramică, alături de calitățile sale, prezintă și două inconveniente principale de care trebuie să se țină cont la proiectarea și realizarea preamplificatorului, și anume :

- deține din construcție o capacitate intrinsecă de $180 - 2000 \text{ pF}$, care are ca efect imediat înrăutățirea redării frecvențelor joase,

- poate interacționa cu brațul mecanic al pick-upului (problema rezonanței mecanice).

Rezultă o serie de cerințe pe care preamplificatorul trebuie să le îndeplinească :

- realizarea schemei electrice în așa fel încât răspunsul la frecvențe joase să nu depindă de impedanța de ieșire a dozei (în special de capacitatea ei intrinsecă),

- posibilitatea de corecție în privința egalizării mecanice și eliminarea rezonanțelor parazite,

- prezența corecției de frecvență de tip RIAA,

- zgomot redus și distorsiuni minime,

- adaptarea impedanțelor doză-preamplificator-corector de ton.

O primă soluție ar fi realizarea unui preamplificator cu o impedanță de intrare foarte mare. Caracteristica amplitudine-frecvență a unui astfel de preamplificator este prezentată în fig. 2.3. În cazul unor impedanțe de

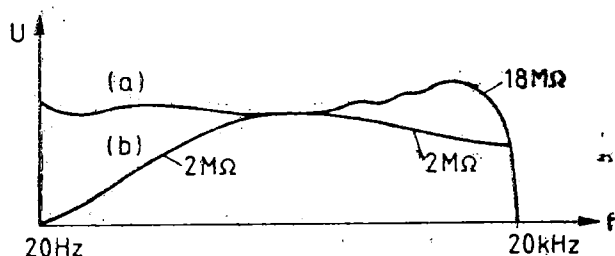


Figura 2.3 Caracteristicile amplitudine-frecvență : a) $Z = 18 \text{ M}\Omega$; b) $Z = 2 \text{ M}\Omega$.

intrare diferite se observă că preamplificatorul cu impedanță de intrare foarte mare ($Z_i = 18 \text{ M}\Omega$) are un răspuns amplitudine-frecvență aproape perfect față de preamplificatorul cu impedanță de intrare mai mică ($Z_i = 2 \text{ M}\Omega$). Se observă că o impedanță de intrare mică implică atenuări importante la frecvențele înalte și mai ales la cele joase.

Soluția utilizării preamplificatorului cu impedanță de intrare mare prezintă însă inconvenientul unui raport semnal-zgomot redus și în același timp apar condiții favorabile distorsiunilor datorate rezonanței mecanice (rumble).

A doua soluție constă în realizarea unor compensări și reacții astfel alese încit caracteristica de ieșire amplitudine-frecvență să corespundă

normativelelor RIAA și în același timp impedanță de intrare mai redusă să anuleze posibilitatea rezonanței mecanice nedorite.

Schema electrică a preamplificatorului este prezentată în fig. 2.4. Se observă la intrarea preamplificatorului grupul $C1\ C2\ R1$, care, în funcție de tipul dozei folosite, realizează o adaptare corespunzătoare. Valorile

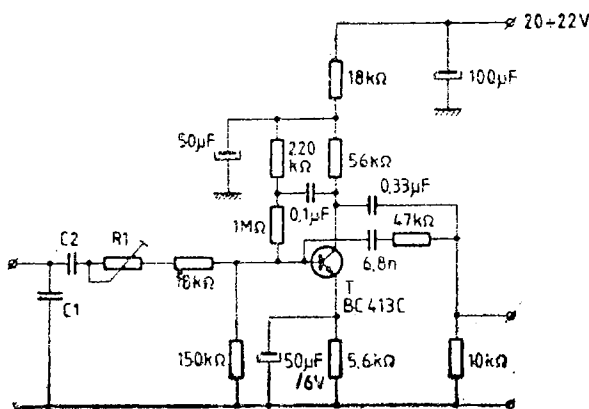


Figura 2.4 Preamplificator pentru doza ceramică.

componentelor în funcție de tipul dozei sunt prezentate în tabelul de mai jos. Semnalul audio se aplică apoi în baza tranzistorului T cu zgomot propriu și mai redus. Analizând schema electrică se observă prezența unor bucle de reacție RC, în colectorul și emitorul tranzistorului T . Acestea au rolul de a reduce rumble-ul și de a împriima preamplificatorului o caracteristică de transfer în conformitate cu normativele RIAA.

Montajul se realizează pe o placă de sticlostratitex placat cu folie de cupru, în varianta mono sau stereo (după tipul dozei). Se vor respecta toate cerințele legate de tipul montajului, și anume : trasee scurte, traseul de masă lat (minim 3 mm), evitarea buclei de masă etc. Se vor folosi componente de bună calitate (rezistențe RPM, condensatori multistrat etc.). După realizare se alimentează montajul la tensiunea prescrisă și prin cîteva încercări se stabilește valoarea optimă a rezistenței $R1$. Obligatoriu se folosesc, pentru cuplajele electrice doză-preamplificator-corector de ton, cabluri ecranate. Montajul se ecranează într-o cutie din tablă de aluminiu sau fier, de grosime minimă 1,5 mm. Realizat și montat, preamplificatorul va confirma pe deplin faptul că și cu o doză ceramică se pot face audiiții de calitate.

Preamplificatorul prezintă următoarele performanțe :

- impedanță de intrare $100\ k\Omega$;
- impedanță de ieșire $10\ k\Omega$;
- tensiunea de intrare $1\ mV$;
- banda de frecvență $16\ Hz - 20\ kHz$;
- amplificarea la frecvență de $1\ kHz$: $40\ dB$;
- caracteristica de transfer : RIAA ;
- raport semnal-zgomot $\geq 65\ dB$;
- distorsiuni armonice totale $\leq 0,1\%$;
- distorsiuni de intermodulație $\leq 0,04\%$.

Valorile componentelor C1, C2, R1 din fig. 2.4

Tipul dozei	C1	C2	R1
DECCA DERAM GOLDRING CS91C	3,3 nF	0,1 μ F	18–27 k Ω 56 k Ω
GOLDRING CS90 SONOTONE 9TAHC	3,3 nF	0,1 μ F	56 k Ω 22 k Ω
CONNOISSEUR SCU1	3,3 nF	0,1 μ F	0 Ω
BSR SC5M ACOS GP94/1 GARRARD KS40A	10 nF	6,8 nF	22–56 k Ω

2.4 PREAMPLIFICATOR CU TRANZISTOARE PENTRU DOZA ELECTROMAGNETICĂ

Cele mai reușite traductoare mecanoelectrice destinate preluării informației stocate pe disc sint dozele electromagnetice. Un pick-up cu doză electromagnetică necesită un preamplificator bine realizat, deoarece semnalul electric furnizat de către doză prezintă o amplitudine redusă (3 mV, 47 k Ω).

În fig. 2.5 și fig. 2.6 sunt prezentate 2 scheme electrice de preamplificatoare pentru doză electromagnetică.

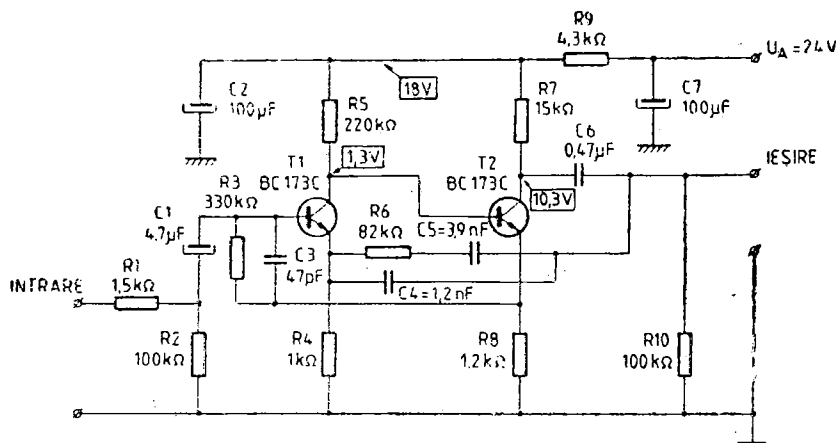


Figura 2.5 Preamplificator pentru doză electromagnetică — varianta 1.

Ambele montaje folosesc pentru amplificarea semnalului furnizat de doza electromagnetică un dublet de tranzistoare, montată în cascadă, dar diferă prin tipul polarizării. Pentru adaptarea impedanței de ieșire a dozei electromagnetice la impedanța de intrare a celor 2 preamplificatoare, s-au prevăzute cuplajele RC corespunzătoare. Polarizările primului tranzistor sint

alese de aşa natură încit să optimizeze funcționarea, în ceea ce privește amplificarea unui semnal de ordinul milivoltilor, și în același timp să permită obținerea unui raport semnal-zgomot cît mai bun. Pentru acest lucru primul tranzistor din cadrul dubletului este alimentat cu un curent mic, de ordinul sutelor de microamperi, prezentind în același timp la colector, o tensiune redusă. Cuplajul cu al doilea tranzistor este galvanic, în vederea optimizării funcționării și eliminării inconvenienteelor generate de cuplajul capacitive dintre 2 etaje funcționale; cuplaj care la semnale mici ar putea introduce distorsiuni.

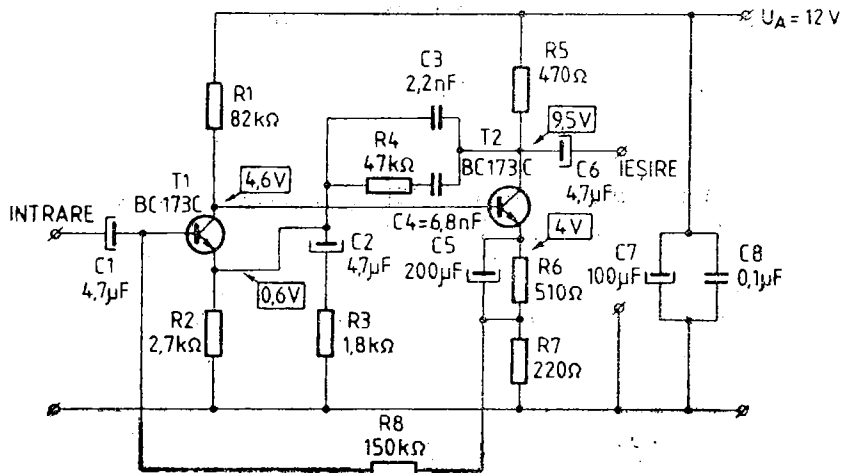


Figura 2.6 Preamplificator pentru doza electromagnetică – varianta 2.

La ambele variante de preamplificator se observă bucle de reacție negativă ($C_3\ R_4\ C_4$ la varianta 1 și $C_4\ C_5\ R_6$ la varianta 2) care oferă montajelor caracteristica de funcționare tip RIAA, necesară redării semnalelor culese de pe disc de către doza electromagnetică. După realizare montajul se ecranează obligatoriu. Alimentarea montajului se face de la o sursă de tensiune stabilizată. Conexiunile galvanice la intrarea și ieșirea montajului se realizează obligatoriu folosind conductor ecranat.

Performanțele celor două preamplificatoare sunt următoarele :

	Fig. 2.5	Fig. 2.6
Impedanța de intrare	100 kΩ	100 kΩ
Impedanța de ieșire	100 Ω	10 kΩ
Tensiunea de intrare	3 mV	3 mV
Banda de frecvență	20 Hz – 22 kHz	16 Hz – 20 kHz
Amplificarea la $f = 1$ kHz	40 dB	40 dB
Caracteristica de transfer	RIAA	RIAA
Raport semnal/zgomot	≥ 70 dB	≥ 65 dB
Distorsiuni THD	$\leq 0,1\%$	$\leq 0,1\%$
Distorsiuni TID	$\leq 0,04\%$	$\leq 0,05\%$

2.5 PREAMPLIFICATOR UNIVERSAL

Preamplificatorul din fig. 2.7 prezintă următoarele performanțe :

- intrări TAPE : $Z_t = 100 \text{ k}\Omega$, $U_i = 0,4 \text{ mV}$
- PU MAG : $Z_t = 47 \text{ k}\Omega$, $U_i = 5 \text{ mV}$
- PU CER : $Z_t = 1,8 \text{ M}\Omega$, $U_i = 50 \text{ mV}$
- TUNER : $Z_t = 22 \text{ k}\Omega$, $U_i = 100 \text{ mV}$
- impedanță de ieșire $10 \text{ k}\Omega$
- tensiunea de ieșire 600 mV
- caracteristici de transfer : TAPE — NAB
PU MAG și PU CER — RIAA
TUNER — LINIAR
- banda de trecere $20 \text{ Hz} \rightarrow 20 \text{ kHz}$
- raport semnal-zgomot $\geq 65 \text{ dB}$
- distorsiuni armonice totale $\leq 0,2\%$
- distorsiuni de intermodulație $\leq 0,1\%$

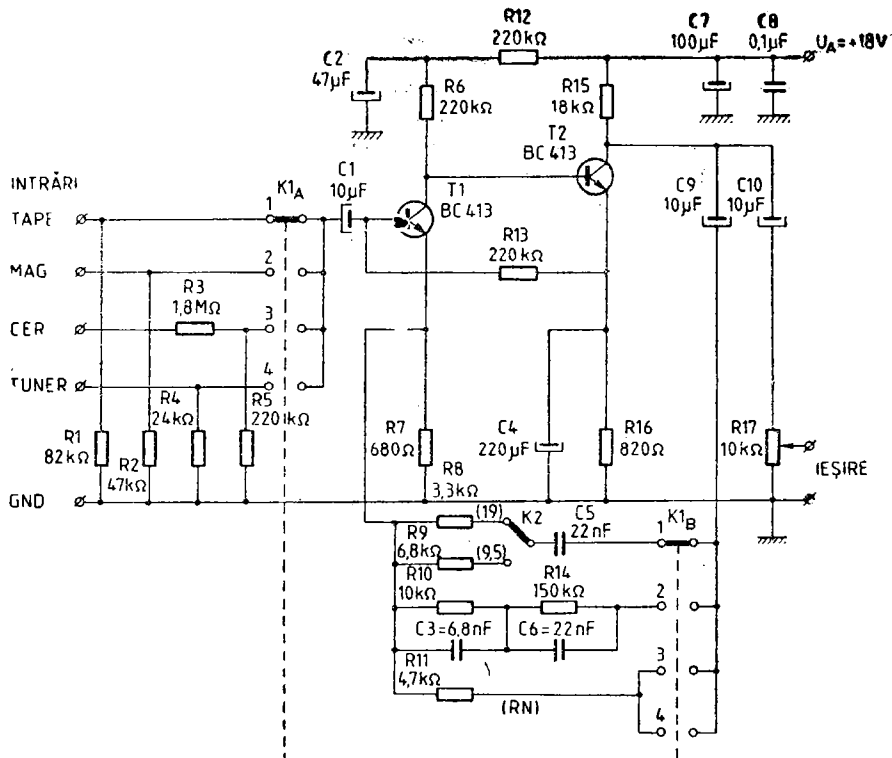


Figura 2.7 Preamplificator universal.

Pentru optimizarea montajului în ceea ce privește simplitatea schemei electrice, raportul semnal-zgomot, THD, TID, s-a ales folosirea a două etaje de amplificare conectate în cascadă. Selectorul de intrare $K1$, format dintr-un comutator cu doi galeți, 4 poziții, asigură selectarea sursei de semnal în conformitate cu modul de lucru ales.

Tranzistoarele folosite au zgomot propriu minim. Semnalul de intrare se aplică, prin intermediul condensatorului C_1 , primului etaj de amplificare, care conține tranzistorul T_1 . Polarizarea lui este astfel aleasă încit să permită funcționarea montajului cu zgomot minim. În același scop s-a prevăzut un filtraj suplimentar al tensiunii de alimentare necesare tranzistorului T_1 , realizat de grupul R_1 - C_2 . Amplificarea etajului este 50 dB. Semnalul de intrare amplificat, preluat din colectorul tranzistorului T_1 , este transmis galvanic în baza tranzistorului T_2 . Etajul de amplificare ce conține tranzistorul T_2 realizează o amplificare suplimentară de circa 32 dB. Amplificarea finală a montajului și caracteristica de transfer necesată pentru fiecare sursă de semnal este realizată și reglementată de bucla de reacție negativă (RN).

Semnalul de ieșire se reglează cu ajutorul potențiometrului R_{17} , în funcție de nivelul necesar. Pentru alimentarea montajului se folosește o sursă de tensiune stabilizată și foarte bine filtrată.

2.6 PREAMPLIFICATOR CU POSIBILITĂȚI MULTIPLE

Caracteristicile electrice sunt următoarele :

- intrări : microfon (10 mV/47 kΩ)
- cap magnetic (4 mV/47 kΩ)
- doză magnetică (3 mV/47 kΩ)
- doză ceramică (20 mV)

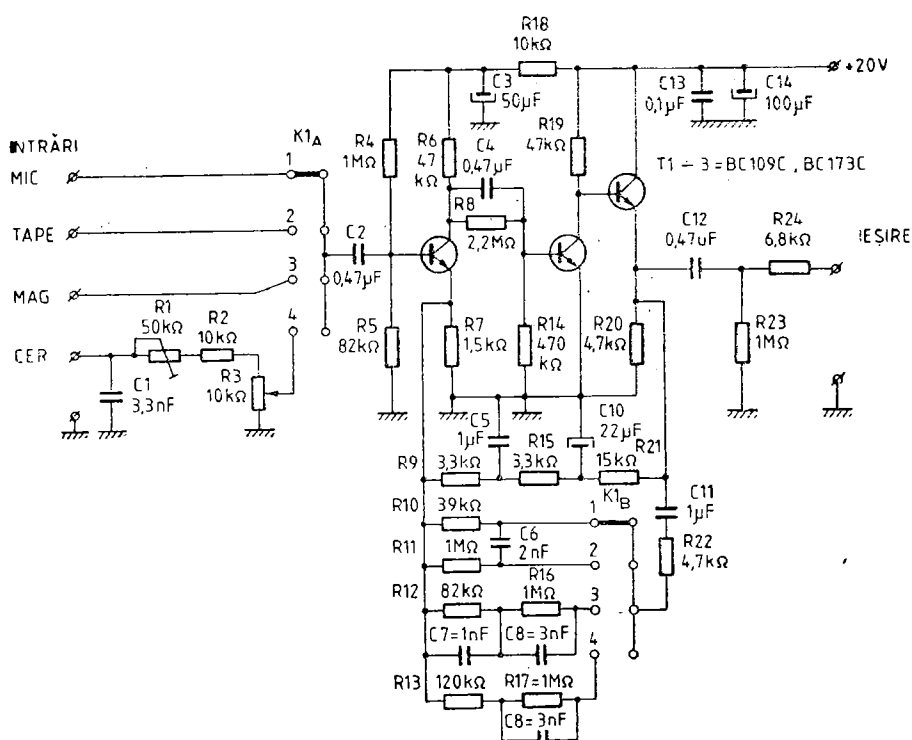


Figura 2.8 Preamplificator cu posibilități multiple.

- amplificarea : cca 47 dB
- distorsiuni armonice $THD < 0,02\%$
- raport semnal/zgomot ≥ 65 dB
- impedanța de ieșire = 1 kΩ

Semnalul electric se aplică de la sursă prin intermediul condensatorului C_2 în baza tranzistorului T_1 . Comutatorul K_1 prezintă două secțiuni, una dintre ele este pentru selectarea sursei de semnal și a două pentru selectarea tipului de reacție negativă necesară caracteristicii de transfer intrare-iesire. Semnalul audio este amplificat de etajul care conține tranzistorul T_1 și apoi aplicat etajului următor, care conține tranzistoarele T_2 și T_3 . Tranzistorul T_2 reprezintă un tampon între ieșirea etajului de intrare și tranzistorul T_3 , în scopul aplicării optime a reacției negative, selecționabile de a doua secțiune a comutatorului K . Reacția negativă conține corecțiile necesare : standard RIAA pentru doza magnetică și ceramică, NAB pentru imprimarea pe bandă magnetică și caracteristica liniară pentru microfon. Din colectorul lui T_2 semnalul audio este aplicat prin cuplaj direct în baza lui T_3 , iar semnalul de ieșire din preamplificator se preia din emitorul lui T_3 prin intermediul grupului $C_{12} R_{24}$. În scopul unui filtraj suplimentar al tensiunii care se aplică etajului de intrare, este prevăzut grupul $C_3 R_{18}$, pentru tensiunea continuă destinată alimentării.

Pentru stabilitatea montajului s-a prevăzut rezistența R_{23} , care constituie o sarcină constantă a etajului de ieșire. Tranzistorul T_3 constituie un montaj tip repetor pe emitor, care are rolul facilitării cuplajului ieșire preamplificator — intrare corector de ton.

Montajul se realizează pe o placă de sticlostratitex placat cu cupru, în varianta mono sau stereo. Se prevăd cose pentru firele care fac legătura între placă și comutatorul K . Firele de legătură vor fi în mod obligatoriu ecranate, cu ecranul conectat pe cablaj cît mai aproape de emitorii tranzistoarelor T_1 și T_2 (loc prevăzut special în cablaj). Se vor utiliza componente de bună calitate, iar rezistențele care echipează etajul de intrare și bucla de reacție vor fi obligatoriu de tip RPM. Condensatorii vor fi de tip multistrat sau cu tantal (capacitățile mari). Cablajul va avea legături cît mai scurte iar traseul de masă va avea grosimea minimă 3 mm. Se va evita bucla de masă în mod categoric. Comutatorul K va fi de bună calitate, cu contactele cel puțin argintate, pentru a prezenta fiabilitate în timp.

După realizarea montajului se verifică încă o dată corectitudinea implantării componentelor, în special polaritățile condensatoarelor electrolitice. Se alimentează montajul și prin cărora încercări se stabilește valoarea finală a rezistenței R_{24} pentru care semnalul maxim de intrare apare la ieșire nedistorsionat ($U_{emitor} r_s = 3,5 \dots 10$ V). Pentru doza ceramică se va regla, potrivit tipului dozei, valoarea rezistenței semireglabile R_1 , și ulterior nivelul semnalului optim, utilizând rezistența semireglabilă R_2 . După efectuarea reglajelor montajul se ecranează folosind o cutie metalică cu pereți de grosime minimă 1,5 mm și se integrează mecanic în ansamblul electroacustic. Funcție de numărul surselor de semnal pe care constructorul amator le deține și le utilizează curent, se poate renunța la unele dintre intrări și, corespunzător, componente din bucla reacției negative, în scopul compactizării montajului.

2.7 PREAMPLIFICATOR PENTRU ÎNREGISTRĂRI

De multe ori, în mod practic se pune problema înregistării simultane a același program muzical sonor, redat de un aparat electroacustic (magnetofon, casetofon, radio, pick-up etc.) de 2 sau mai multe magnetofoane sau casetofoane. În mod obișnuit acest lucru este imposibil, deoarece aparatele de proveniență industrială nu prezintă, frecvent, decit o singură mufă destinată acestui scop. Orice improvizare destinată rezolvării problemei înrăutătește nivelul calitativ al semnalului audio util destinat înregistrării.

Montajul din fig. 2.9 rezolvă problema, oferind posibilitatea preluării simultane a semnalului audio-util de 4 apărate înregistratoare, separate totodată complet între ele în ceea ce privește impedanța de ieșire și

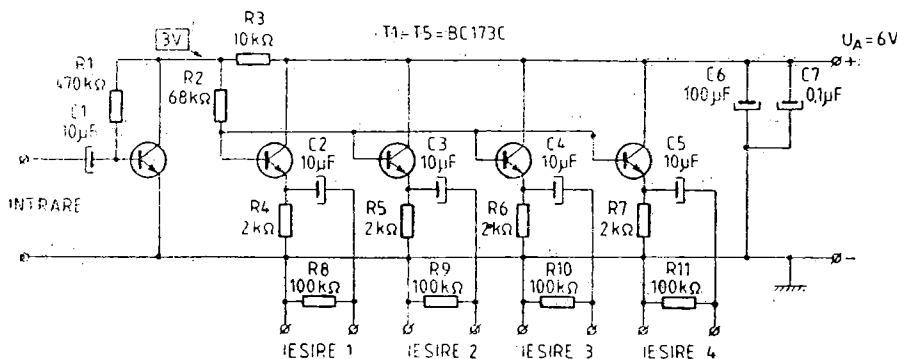


Figura 2.9 Preamplificator pentru înregistrări.

semnalul audio preluat. Semnalul audio inițial este transmis la intrarea montajului, prin intermediul condensatorului C_1 , în baza tranzistorului T_1 . El funcționează în cadrul montajului ca amplificator de tensiune de 26 dB, pentru a oferi în final un semnal audio util de nivel mare, accesibil oricărui tip de aparat electroacustic destinat înregistrării magnetice a sunetului. Din colectorul T_1 , prin intermediul rezistenței R_2 , semnalul util amplificat este preluat simultan de cele 4 tranzistoare: T_2 , T_3 , T_4 și T_5 . Acestea au un rol dublu în cadrul montajului. Prima funcție este separarea completă a celor 4 surse de semnal, indiferent de nivelul de înregistrare necesar fiecărei. Deoarece tranzistoarele funcționează în montaj ca repetoare pe emitor, este asigurată și a doua funcție, și anume realizarea la cele 4 ieșiri ale montajului a unei impedanțe cobești, în scopul unei bune adaptări cu impedanța de intrare a fiecărui aparat care realizează înregistrarea. Montajul se alimentează de la o sursă de tensiune $U_A = 6\text{ V}$, stabilizată și foarte bine filtrată. În mod obligatoriu conexiunile care privesc traseele semnalului audio util se realizează folosind conductor ecranat.

Performanțele montajului:

Impedanță de intrare $470\text{ k}\Omega$ **Raport semnal/zgomot** $\geq 65\text{ dB}$

Impedanță de ieșire $2\text{ k}\Omega$ **Distorsiuni THD** $\leq 0,1\%$

Tensiunea de intrare 250 mV **Distorsiuni TID** $\leq 0,04\%$

Banda de frecvență $16 - 18\text{ kHz}$

Caracteristică de transfer: liniară

2.8 PREAMPLIFICATOARE CU βA 741

Majoritatea schemelor electrice de preamplificatoare cu circuite integrate folosesc o tensiune de alimentare dublă, fapt care determină dificultăți în privința adaptării la un montaj existent. În cele 2 montaje prezentate în fig. 2.10 și fig. 2.11 acest dezavantaj este eliminat, preamplifi-

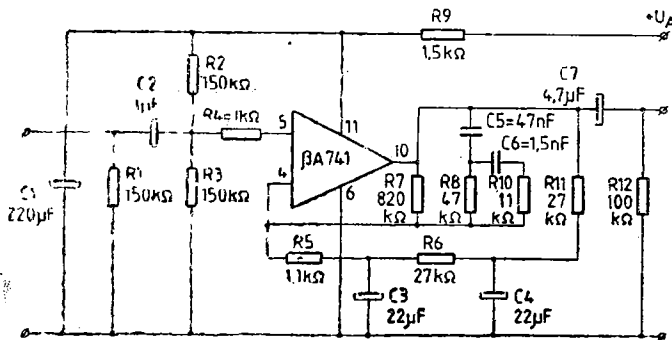


Figura 2.10 Preamplificator cu βA 741 pentru doză electromagnetică.

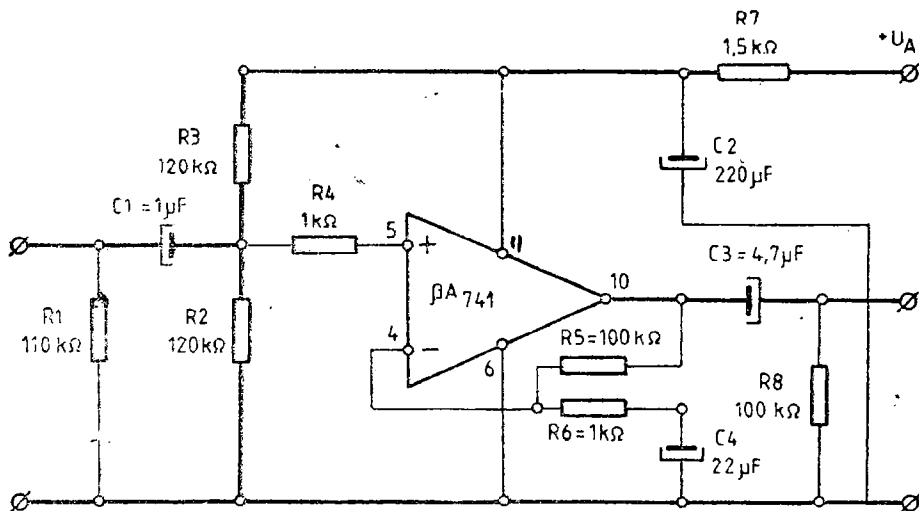


Figura 2.11 Preamplificator cu βA 741 pentru microfon.

catorul funcționând cu o sursă singulară de tensiune. În fig. 2.10 se prezintă schema electrică a unui preamplificator pentru doză electromagnetică. Corecțiile caracteristicii de transfer intrare-iesire sint făcute conform normei RIAA. Diagrama din fig. 2.12 este realizată pentru un semnal de intrare standard 3 mV/47 kΩ. În fig. 2.11 este prezentată schema electrică a unui preamplificator de microfon.

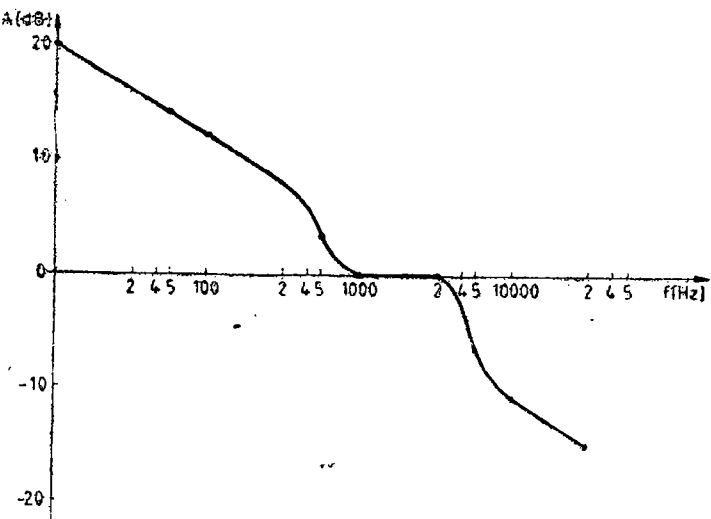


Figura 2.12 Caracteristica de transfer RIAA.

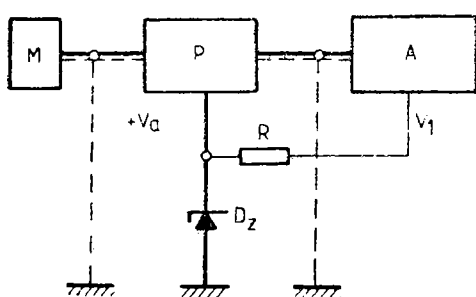


Figura 2.13 Încadrarea preamplificatorului în lanțul electroacustic.

Pentru realizarea practică a montajelor, se ține cont de toate cerințele impuse pentru acest gen de montaje, și anume: structură fizică de cuadripol a montajului, legături cât mai scurte între componente, evitarea buclei de masă, traseu de masă lat de minim 3 mm etc. Montajele se ecranează folosind tablă de fier de grosime minimă 1 mm. Încadrarea fiecărui dintre cele 2 montaje în lanțul electroacustic se face conform fig. 2.13.

Performanțele montajelor :

	<i>Preamplificator pt. microfon</i>	<i>Preamplificator pt. doză magnetică</i>
— impedanța de intrare	33 kΩ	47 kΩ
— impedanța de ieșire	1 kΩ	1 kΩ
— tensiunea de intrare	0,5 mV	3 mV
— banda de frecvență	16 Hz – 18 kHz	20 Hz – 18 kHz
— amplificarea în bandă de frecvență	0 dB	40 dB/1 kHz
— caracteristica de transfer	liniară	RIAA
— raport semnal/zgomot	> 60 dB	> 65 dB
— distorsiuni armonice totale	≤ 0,2%	≤ 0,2%
— distorsiuni de intermodulație	≤ 0,05%	≤ 0,05%

2.9 PREAMPLIFICATOARE HI-FI PENTRU PICK-UP

Realizarea unui preamplificator pentru pick-up reprezintă o problemă importantă în construirea unui lanț electroacustic cu performanțe Hi-Fi. Lărgirea continuă a gamei circuitelor integrate liniare specializate, cu performanțe din ce în ce mai bune, și assimilarea unora dintre ele în țară constituie factori care impun utilizarea lor în cadrul sistemelor electroacustice cu performanțe ridicate. Pentru realizarea unui preamplificator de pick-up este necesar să cunoaștem următoarele date inițiale :

- tipul dozei care efectuează conversia mecano-electrică a semnalului înregistrat pe disc ;

- modul în care semnalul audio util a fost inițial prelucrat înaintea înregistrării pe disc.

Datorită calităților incontestabile ale dozei electromagnetice materialul prezentat presupune utilizarea obligatorie a acesteia. Conform normelor Hi-Fi (DIN 45 500) o doză electromagnetică generează un semnal electric standard $3 \text{ mV}/47 \text{ k}\Omega$. În mod curent o doză electromagnetică bună acoperă banda de audiofrecvență de $18 \text{ Hz} - 18 \text{ kHz}$ fără atenuări mari de 3 dB la capetele benzii.

Datorită faptului că semnalul electric generat de doză are un nivel mic, este necesar ca preamplificatorul să aibă un raport semnal/zgomot cît mai mare.

Un alt factor important este modul de prelucrare a semnalului inițial înregistrat pe disc. Pentru a îmbunătăți redarea spectrului frecvențelor medii-înalte și pentru mărirea raportului semnal/zgomot (zgomotul de fond apare în special în această zonă a benzii de audiofrecvență) se efectuează o prelucrare a semnalului audio util inițial. Spectrul frecvențelor medii-înalte este amplificat suplimentar după un algoritm bine stabilit (norma RIAA) și ulterior se efectuează imprimarea pe disc. La redare este necesar să fie folosit un alt algoritm de prelucrare a semnalului obținut de doza electromagnetică, în aşa fel ca să fie obținută forma reală (inițială) a semnalului audio util. Modul de efectuare a corecțiilor la imprimarea și redarea discurilor este explicitat în fig. 2.14. Atenuarea pe care trebuie

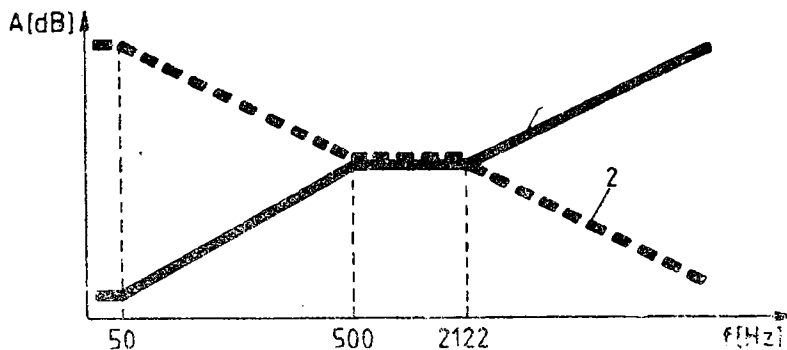


Figura 2.14 Corecțiile amplitudine-frecvență : 1 — corecțiile la imprimare ; 2 — corecțiile la redare.

să o realizeze preamplificatorul este precizată funcție de frecvență semnalului audio obținut de doza electromagnetică. S-a luat ca bază de referință pentru atenuarea 0 dB frecvența de 1 kHz (fig. 2.15).

Efectuind o sinteză a celor descrise anterior, rezultă următoarele cerințe pe care trebuie să le indeplinească un preamplificator din categoria Hi-Fi, pentru pick-up :

— să utilizeze un semnal electric generat de o doză electromagnetică, aceasta având performanțe foarte bune (liniaritate a conversiei mecano-electrice în toată plaja de frevențe audio) ;

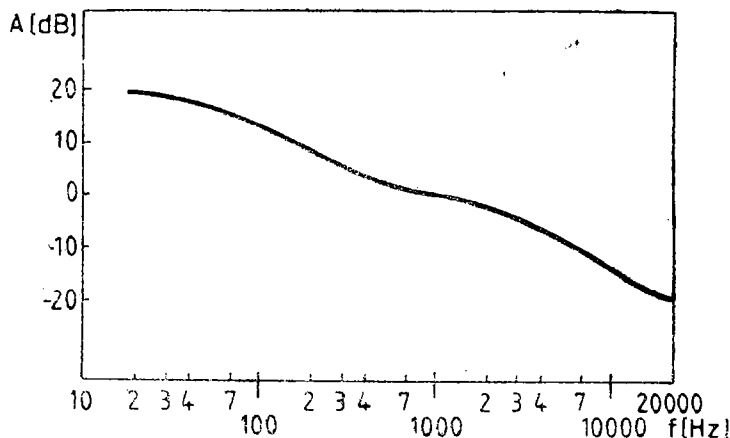


Figura 2.15 Caracteristica de transfer amplitudine-frecvență RIAA.

- să realizeze o adaptare perfectă din punct de vedere electric între impedanța de ieșire a dozei și impedanța sa de intrare ;
- să prezinte o amplificare în banda de audiofrecvență conform normei RIAA ;
- să prezinte un raport semnal/zgomot cât mai ridicat ;
- să nu prezinte diafonie între canale (stereo).

Precizăm că la calitatea semnalului audio util obținut în final contribu și performanțele părților mecanice ale pick-upului. Un preamplificator oricăr ar fi de perfecționat nu poate corecta distorsiunile care provin de la sistemul de antrenare a discului (fluctuații de viteză, vibrații transmise platanului de antrenare de la motor etc).

Pentru realizarea preamplificatorului se propune folosirea unor circuite integrate liniare de tipul $\beta M381$, $\beta M382$ și $\beta M387$ de fabricație românească. Dacă constructorul posedă alte circuite integrate (LM 1303, TDA 2310) acestea se pot folosi la realizarea preamplificatorului conform schematicelor electrice prezentate în fig. 2.16 – 2.20.

Analizând schemele electrice se observă o serie de elemente comune. Semnalul audio util provenit de la doza electromagnetică se aplică la intrarea neinversoare a amplificatorului operațional. Acest lucru oferă o bună adaptare în ceea ce privește impedanța de ieșire a dozei și impedanța de intrare a preamplificatorului. Intrarea inversoare servește la aplicarea unei reacții negative pentru obținerea amplificării finale dorite. În bucla de reacția negativă sunt conectate grupuri de rezistoare și condensatoare, astfel ca să fie obținută o caracteristică de amplificare RIAA.

În funcție de particularitățile circuitului integrat folosit, se utilizează pentru alimentarea acestuia o sursă de tensiune simplă sau dublă cu un filtraj corespunzător (grupul condensator electrolitic în paralel cu un condensator neelectrolitic).

Realizind un cablaj imprimat îngrijit (structură fizică de quadripol, conexiuni cât mai scurte între componente, traseu de masă lat de minim 3 mm etc.) și utilizând în mod obligatoriu componente passive de bună calitate (rezistoare cu peliculă metalică, condensatoare cu tantal sau multi-strat etc) montajul obținut își va confirma pe deplin calitățile Hi-Fi. Se

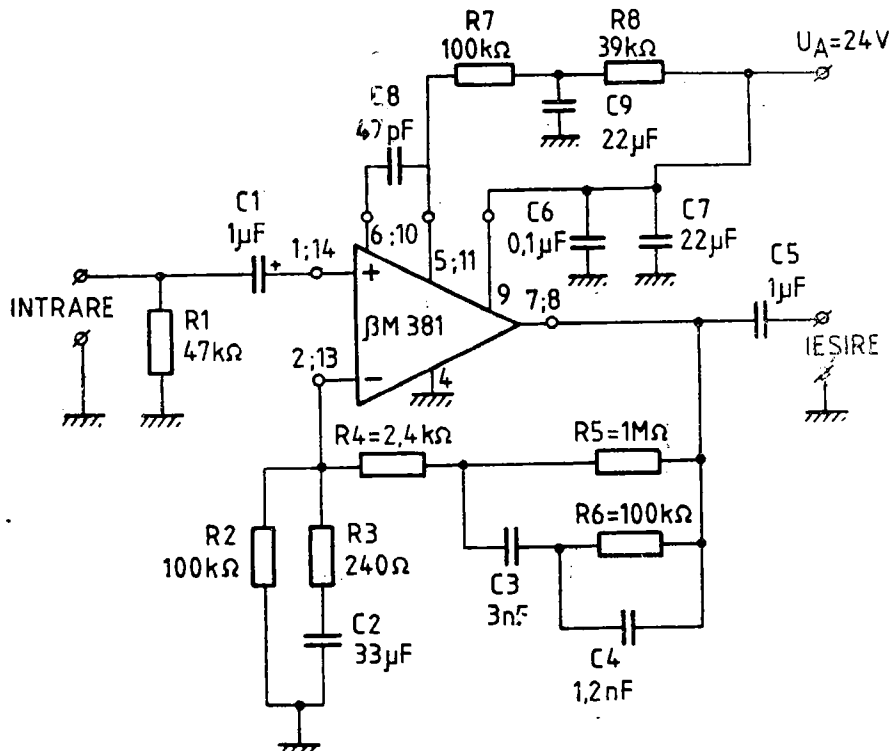


Figura 2.16 Preamplificator Hi-Fi cu β M 381.

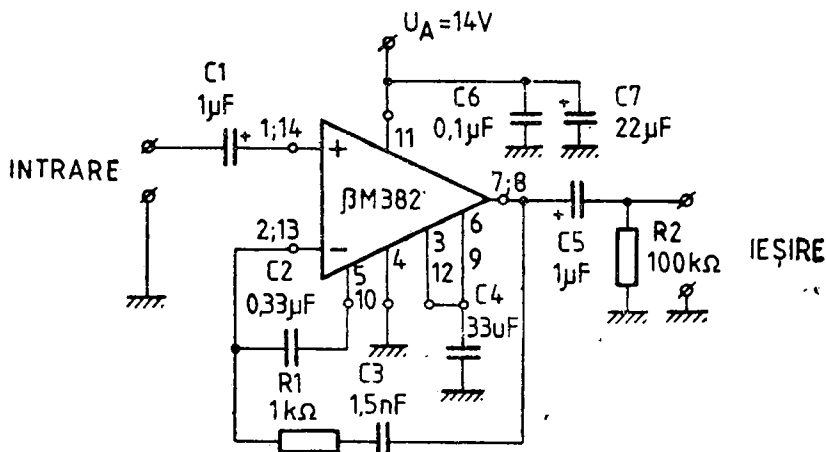


Figura 2.17 Preamplificator Hi-Fi cu β M 382.

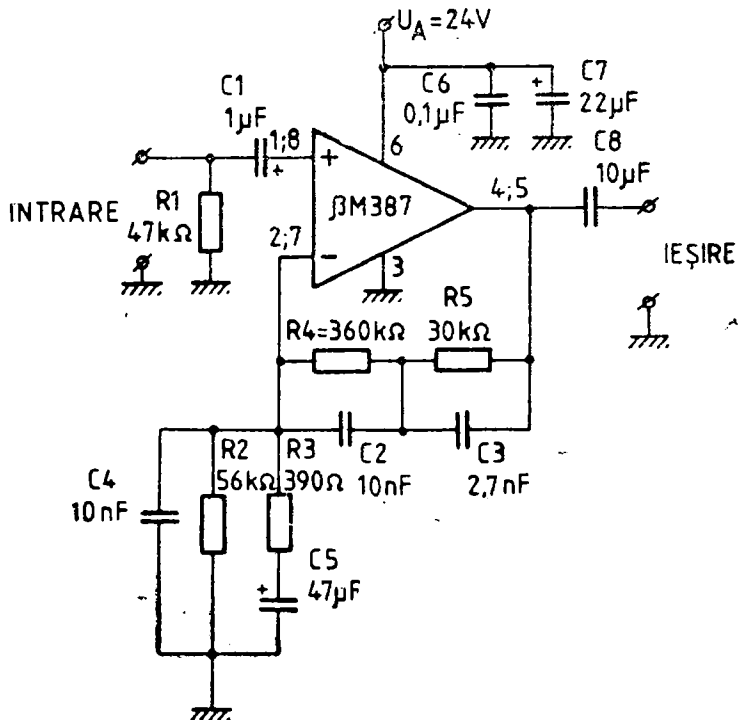


Figura 2.18 Preamplificator Hi-Fi cu 9M 387.

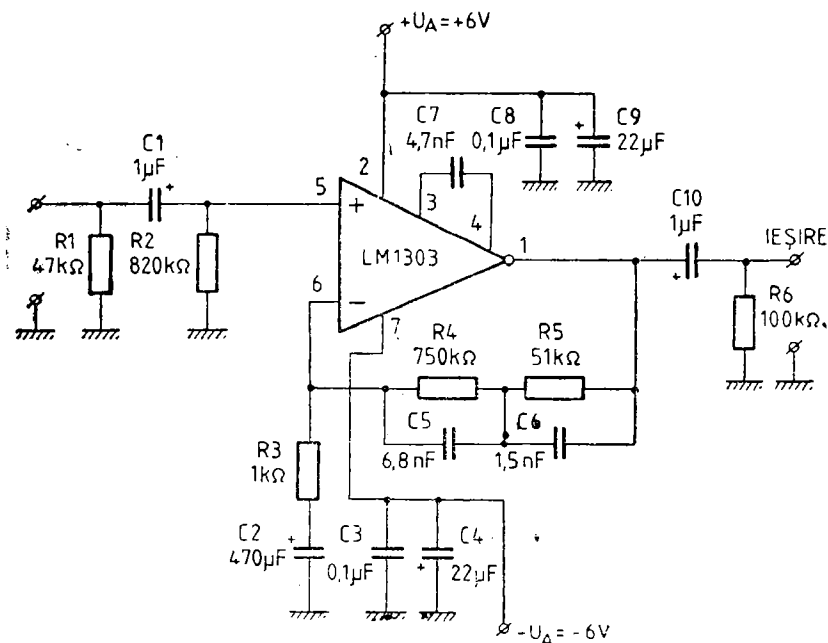


Figura 2.19 Preamplificator Hi-Fi cu LM 1303.

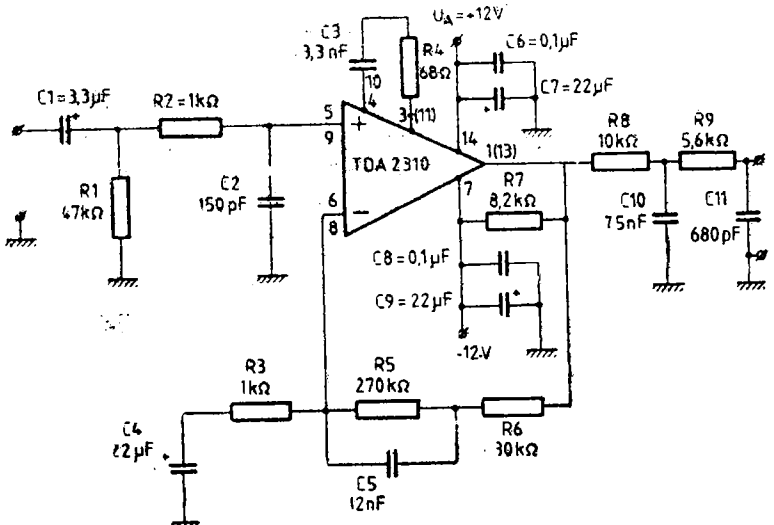


Figura 2.20 Preamplificator Hi-Fi cu TDA 2310.

recomandă utilizarea obligatorie a unui conductor ecranat pentru conexiunile galvanice de la intrarea și ieșirea amplificatorului. Montajul se ecranează obligatoriu folosind o cutie cu pereți din tablă de fier de grosime minimă 0,5 mm.

2.10 PREAMPLIFICATOR HI-FI PENTRU MICROFON ȘI DOZĂ ELECTROMAGNETICĂ

Este cunoscut faptul că preamplificatoarele Hi-Fi se realizează cel mai simplu utilizând circuite integrate specializate în ceea ce privește amplificarea semnalelor electrice de nivel mic și raportul semnal/zgomot. De cele mai multe ori constructorul amator nu are posibilitatea de a-și procura un astfel de circuit integrat. Există totuși soluția ca, utilizând o anumită configurație, performanțele unui amplificator operațional obișnuit să fie îmbunătățite. Astfel, caracteristicile finale ale montajului vor fi similare cu cele ale unuia care utilizează amplificatoare operaționale specializate. Montajul prezentat deține următoarele performanțe :

- impedanță de intrare : 47 kΩ
- impedanță de ieșire : 10 kΩ
- raport semnal/zgomot : ≥ 70 dB
- banda de frecvență : 20 Hz – 20 kHz
- distorsiuni armonice totale $\leq 0,1\%$
- distorsiuni de intermodulație : $\leq 0,06\%$
- atenuarea la capetele benzii de frecvență : ≤ 2 dB
- caracteristicile intrare-ieșire : microfon : liniară
doză : RIAA

Schema electrică a montajului este prezentată în fig. 2.21. Semnalul de intrare se aplică prin intermediul condensatorului C_1 unui amplificator de semnal mic cu configurația de dublet, din care fac parte tranzis-

toarele T_1 și T_2 . Ele sunt alese astfel ca în timpul funcționării raportul semnal/zgomot să fie cît mai mare, și tot astfel sunt fixate polarizările în curent continuu. În scopul micșorării distorsiunilor și obținerii caracteristicii de transfer dorite, s-a prevăzut o buclă de reacție negativă, formată din grupul $R13\ R9\ C7$ pentru semnalul provenit de la microfon, sau $R11\ R10\ R8\ C6\ R9$ pentru semnalul provenit de la doza electromagnetică. Reacția negativă reglementează simultan caracteristicile de funcționare ale montajului în funcție de poziția comutatorului K .

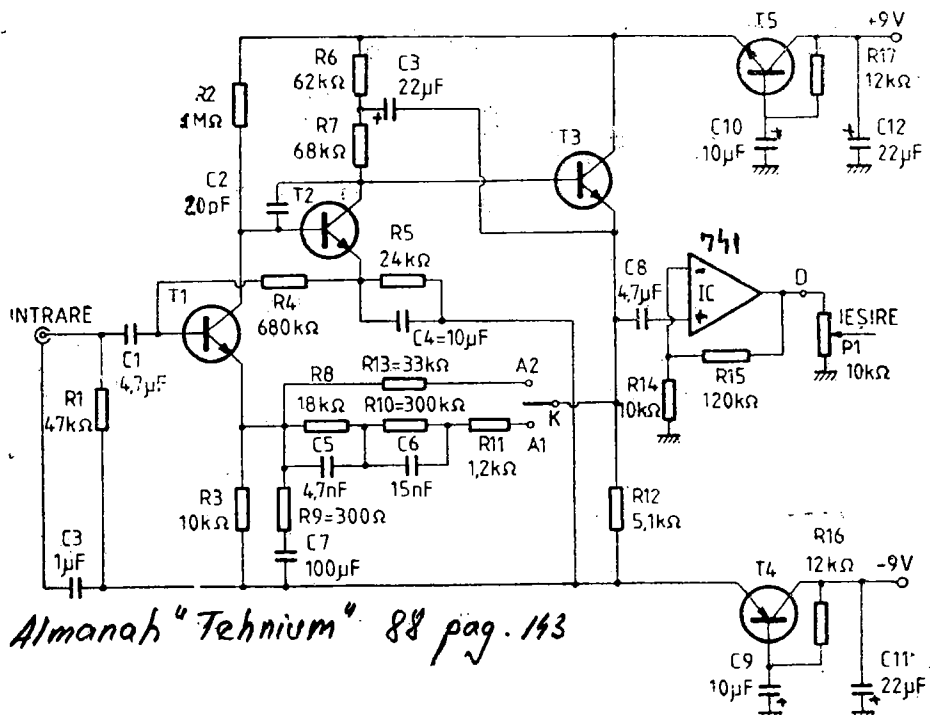


Figura 2.21 Preamplificator Hi-Fi pentru microfon și doară electromagnetică.

Etajul următor, care conține tranzistorul T_3 , reprezintă un repetor pe emitor. El este un etaj tampon între dubletul T_1T_2 și intrarea amplificatorului operațional. În același timp, acest tip de montaj optimizează funcționarea buclei de reacție negativă. Ulterior prin intermediul condensatorului C_8 semnalul audio este aplicat pe intrarea neinversoare a amplificatorului operațional IC. Amplificarea acestuia este de cca 20 dB ($A = 1 + R_{15}/R_{14}$). Semnalul audio amplificat se preia prin intermediul lui P_1 , cu amplitudinea dorită. Pentru alimentarea montajului se folosește o sursă dublă de tensiune. Tranzistoarele T_5 și T_6 realizează un filtraj foarte eficient al tensiunii de alimentare, deoarece sunt amplasate într-o configurație de tip multiplicator de capacitate. Capacitățile echivalente din circuitele de alimentare sunt egale cu capacitățile din bazele celor 2 tranzistoare, măritate fiecare cu factorul respectiv de amplificare ($C_{E+} = C_{10} \cdot h_{21E(T_5)}$, $C_{E-} = C_9 \cdot h_{21E(T_6)}$).

2.11 MONTAJE HI-FI CU β M 387

Asimilarea în fabricația autohtonă a unor amplificatoare operaționale cu performanțe din ce în ce mai bune permite abordarea unor montaje electronice relativ simple care totodată corespund normelor Hi-Fi. Unul dintre amplificatoarele operaționale asimilate în fabricație de serie în România este β M 387, un preamplificator dual pentru semnale electrice de nivel foarte mic, utilizat în special acolo unde se cere optimizarea raportului semnal-zgomot. Circuitul este montat într-o capsulă cu 8 terminale (minidip) și este realizat, din punct de vedere al performanțelor electrice, în 2 variante: β M 387 N și β M 387 AN.

Varianta a 2-a reprezintă o clasă selecționată, cu zgomot propriu foarte mic și în același timp cu o gamă mai largă de tensiuni de alimentare. Analizind caracteristicile electrice de catalog se remarcă faptul că circuitul integrat β M 387 reprezintă un optim pentru montaje de tip preamplificator, corector de ton și diverse filtre active. Dintre montajele de acest tip s-au selectat următoarele variante reprezentative:

- preamplificator pentru doză magnetică,
- preamplificator pentru microfon,
- preamplificator pentru cap de magnetofon.

În fig. 2.22 este prezentată schema electrică a unui preamplificator pentru doză electromagnetică. Adaptarea dintre impedanță de ieșire a dozei electromagnetice și impedanță de intrare a preamplificatorului este

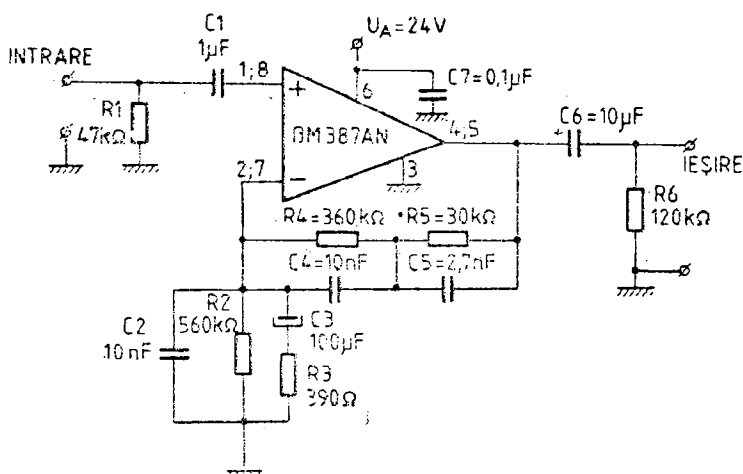


Figura 2.22 Preamplificator Hi-Fi pentru doză electromagnetică.

asigurată de rezistența $R1$. Semnalul electric provenit de la doza electromagnetică se aplică la intrarea neversoare a amplificatorului operațional, prin intermediul condensatorului $C1$ (obligatoriu cu tantal) în vederea optimizării raportului semnal-zgomot. La intrarea inversoare se observă prezența unei bucle de reacție negativă formată de grupul $R4\ R5\ C4\ C5$. În acest fel se obține la ieșirea preamplificatorului un semnal electric care

respectă caracteristica de redare tip RIAA necesară obținerii programului sonor imprimat pe disc. Montajul prezintă următoarele performanțe :

- tensiunea de intrare 3 mV
- impedanța de intrare 47 kΩ
- amplificarea (1000 Hz) 40 dB
- distorsiuni armonice totale $\leq 0,25\%$
- raport semnal-zgomot ≥ 70 dB
- banda de frecvență 16 Hz — 22 kHz, conform normei RIAA
- abaterea de la caracteristica RIAA : $\leq \pm 1$ dB
- impedanța de ieșire 20 kΩ.

În fig. 2.23 este prezentată schema electrică a unui preamplificator de microfon cu impedanță mare de intrare. Semnalul electric provenit de la microfon se aplică pe intrarea inversoare a amplificatorului opera-

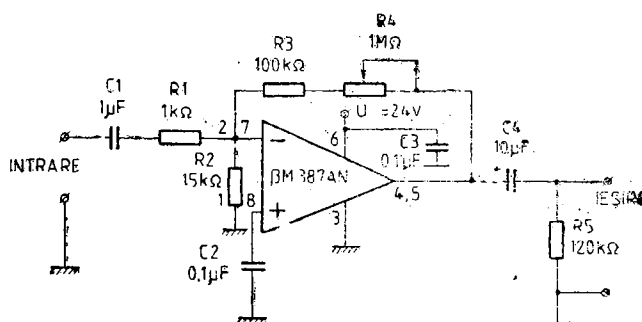


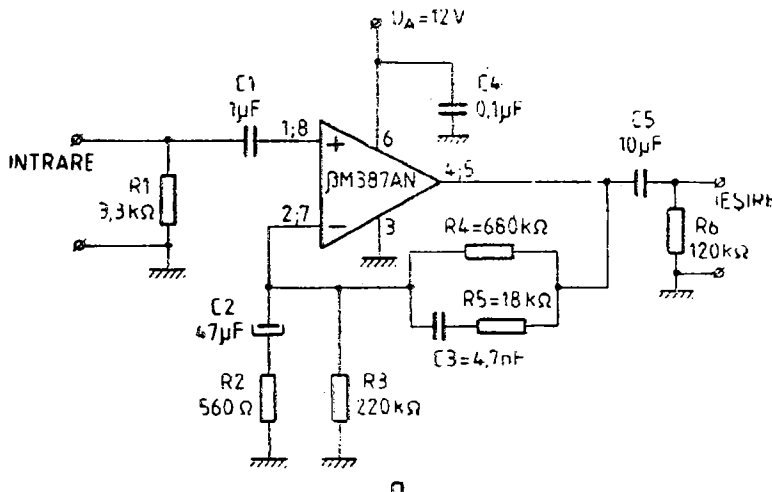
Figura 2.23 Preamplificator Hi-Fi pentru microfon.

țional, prin intermediul grupului $R1 C1$. Bucla de reacție negativă formată din rezistențele $R3 R4$ asigură amplificarea dorită a semnalului de intrare. Această configurație a montajului oferă avantajul obținerii unui semnal de ieșire cu distorsiuni minime. Montajul deține următoarele performanțe :

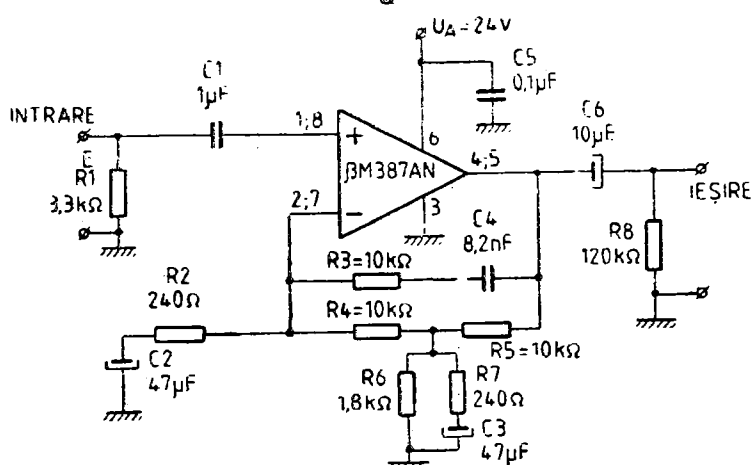
- tensiunea de intrare 1 mV
- impedanța de intrare 15 kΩ
- amplificarea 40 dB
- banda de frecvență 16 Hz — 20 000 Hz
- distorsiuni armonice totale $\leq 0,2\%$
- impedanța de ieșire 20 kΩ
- raport semnal-zgomot ≥ 75 dB

În fig. 2.24 sint prezentate 2 scheme electrice de preamplificatoare pentru cap de magnetofon.

Semnalul electric provenit de la acesta se aplică (obligatoriu prin intermediul unui cablu ecranat) prin condensatorul $C1$ la intrarea neinversoare a amplificatorului operational. La ambele scheme electrice se observă prezența buclei de reacție negativă care implică la ieșirea preamplificatorului o caracteristică de transfer de tip NAB. Această corecție este absolut necesară redării unui semnal electric provenit de la o imprimare pe bandă magnetică. Schema din fig. 2.24. a este destinată magnetofonelor cu viteza de 9,5 cm/s iar cea din fig. 2.24. b este pentru viteza de 19 cm/s.



a



b

Figura 2.24 Preamplificatoare Hi-Fi pentru magnetofon : a) viteza benzii magnetice 9,5 cm/s ; b) viteza benzii magnetice 19 cm/s.

Montajele prezintă următoarele performanțe :

Fig. 2.24. a

U_A	12 V
U_t	0,8 mV
Z_t	3,3 kΩ
$A(1000 \text{ Hz})$	36 dB
THD	$\leq 0,28\%$
Δf	20 Hz ÷ 20 kHz

Abaterea de la caracteristica NAB

S/Z

Fig. 2.24. b

U_A	24 V
U_t	0,8 mV
Z_t	3,3 kΩ
$A(1000 \text{ Hz})$	36 dB
THD	$\leq 0,22\%$
Δf	(conf. caract. NAB)

$\pm 1,5$ dB

≥ 65 dB

$\pm 1,5$ dB

≥ 65 dB

3 CORECTOARE DE TON

Corectoarele de ton au fost prevăzute, în cadrul unui complex electroacustic, pentru îmbunătățirea redării unui program sonor conform preferințelor ascultătorului. Ele realizează modificarea caracteristicii amplitudine-frecvență a semnalului audio initial, accentuând sau dezaccentuând anumite porțiuni ale benzii de frecvență utile. Corecția efectuată în banda de audiofrecvență poate avea un caracter static sau dinamic, în funcție de complexitatea montajului utilizat.

3.1 CORECTOARE DE TON TIP LOUDNESS

Montajele electronice de tip *loudness* reprezintă filtre de audiofrecvență astfel concepute încit să mășoreze nivelul frecvențelor medii din banda audio (cu cca 6 — 9 dB). În acest fel frecvențele joase și înalte apar mai pregnant în spectrul de audiofrecvență, oferind o notă plăcută programului muzical sonor audiat. Schemele electrice ale unor montaje de tip *loudness* sunt prezentate în fig. 3.1 și fig. 3.2.

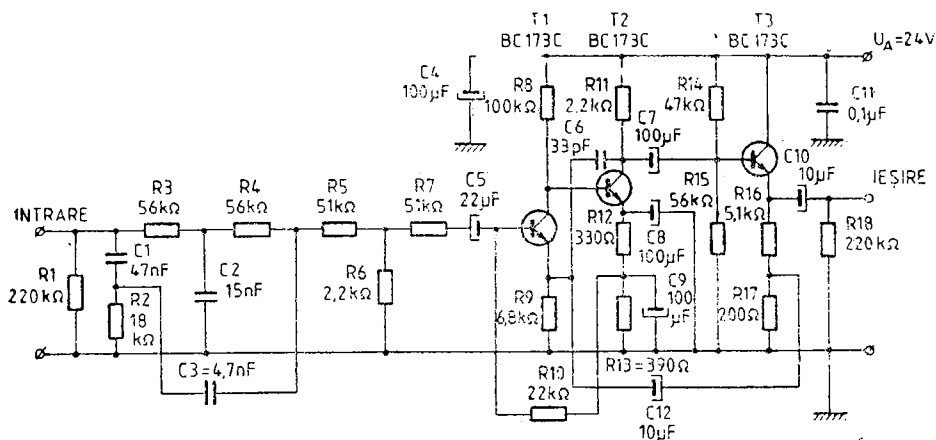


Figura 3.1 Corector de ton LOUDNESS – varianta 1.

Analizând schema electrică din fig. 3.1 se observă că la intrarea montajului este amplasat un filtru „dublu T”, care atenuază frecvențele medii, format din grupurile $C_2\ R_3\ R_4$ și $C_1\ C_3\ R_2$. Filtrul T format din rezisten-

tele R_5 R_6 R_7 precizează amplitudinea corecției de frecvență. Deoarece rețelele passive corectoare atenuază semnalul inițial, pentru amplificarea lui s-au prevăzut etajele amplificatoare care conțin tranzistoarele T_1 și T_2 . Urmează un etaj de tip repetor pe emitor care include tranzistorul T_3 . El este prevăzut atât ca etaj tampon față de etajele de amplificare cât și

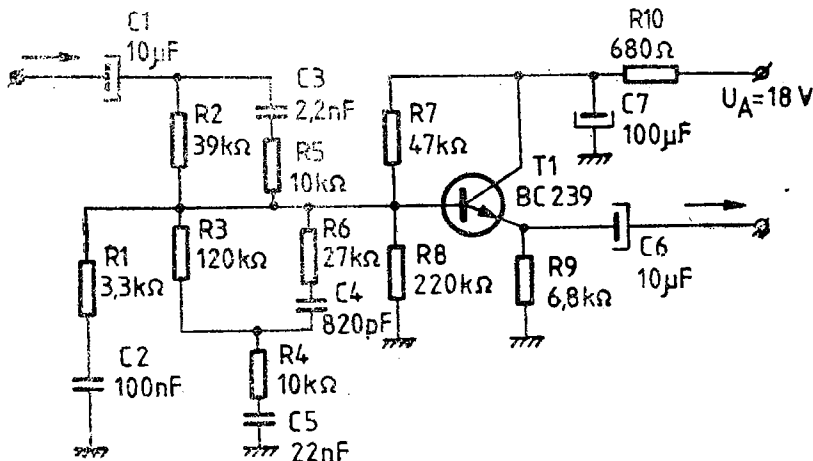


Figura 3.2 Corector de ton LOUDNESS – varianta 2.

pentru obținerea la ieșirea montajului a unei impudențe de ieșire de valoare redusă. Amplificarea finală a montajului se poate modifica după dorință schimbând raportul R_{16}/R_{17} . Se menționează că este necesar ca, în urma modificării raportului celor două rezistențe, suma valorilor lor să fie aceeași cu cea inițială. Performanțele montajului :

- curentul consumat $I_A = 12 \text{ mA}$
- impudență de intrare $Z_i = 50 \text{ k}\Omega$
- impudență de ieșire $Z_o = 5 \text{ k}\Omega$
- tensiunea maximă de intrare $U_{i,\max} = 2 \text{ V}_{\text{ef}}$

În fig. 3.2 este prezentat un alt tip de montaj loudness, care oferă rezultate asemănătoare cu cel prezentat anterior. Grupurile R_5 C_3 , R_6 C_4 și R_4 C_5 amplasate în baza tranzistorului T_1 realizează aceeași corecție de frecvență, atenuând frecvențele medii cu cca 9 dB. Se menționează că montajul necesită o sursă de semnal de audiofrecvență cu nivel mare (cca 1 – 2 V) pentru o funcționare corespunzătoare. Performanțele montajului :

- curent consumat : 2 mA
- impudență de intrare : 50 kΩ
- impudență de ieșire : 330 Ω
- tensiunea maximă de intrare : 2 V_{ef}

3.2 CORECTOR COMPLEX : BASS, LOUDNESS, HISS, RUMBLE

Pentru îmbunătățirea calitativă a redării unui program sonor, conform preferințelor ascultătorului, se folosesc în mod frecvent corectoare de ton *passive* care permit modificarea caracteristicii amplitudine-frec-

vență a semnalului audio inițial. Acest lucru se face după un algoritm bine precizat. Corecția efectuată în banda de audiofrecvență are un caracter static, menținindu-se constantă indiferent de amplitudinea semnalului audio util. Cele mai des întlnite tipuri de corecții, împreună cu denumirile consacrate în mod ușual, sunt următoarele :

- *bass* — accentuarea redării frecvențelor joase,
- *loudness* — accentuarea redării frecvențelor joase și înalte,
- *hiss* — atenuarea frecvențelor înalte (> 7 kHz),
- *rumble* — atenuarea frecvențelor joase (sub 50 Hz, în scopul atenuării brumului).

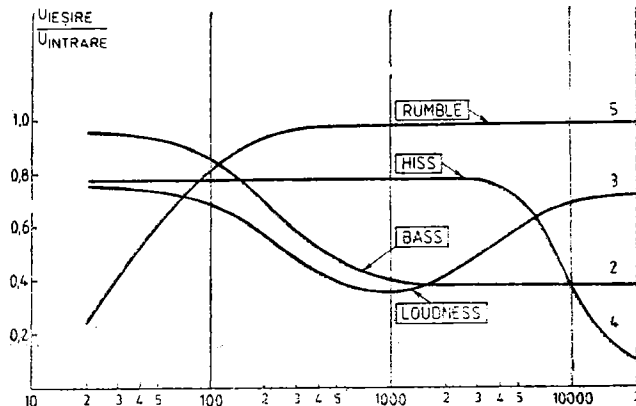


Figura 3.3 Caracteristicile de transfer BASS, LOUDNESS, HISS, RUMBLE.

Modul de efectuare a corecțiilor menționate anterior este prezentat în fig. 3.3. Pentru corecția de tip *bass* nivelul frecvențelor joase crește de la frecvența de 1,5 kHz cu 8 dB. Pentru corecția de tip *loudness* scade nivelul frecvențelor medii, cu spectrul de frecvență cuprins între 200 Hz și 5000 Hz. Pentru corecția de tip *hiss* sunt atenuate frecvențele înalte înce-

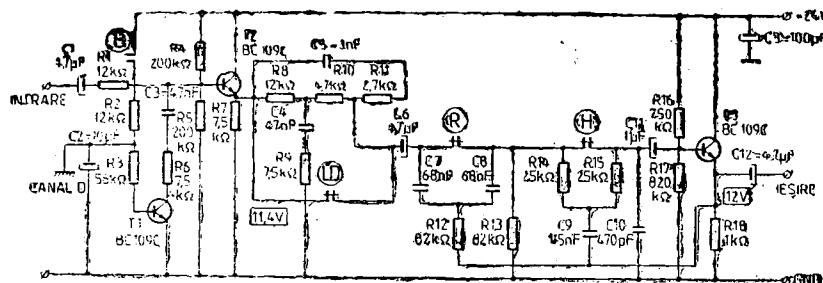


Figura 3.4 Corector de ton complex.

pind de la 5000 Hz, cu cca 10 dB, iar pentru corecția de tip *rumble* spectrul frecvențelor joase este atenuat începînd de la frecvența de 100 Hz, cu cca 6 dB. Schema electrică a corectorului de ton este prezentată în fig. 3.4.

Semnalul de audiofrecvență util se aplică la intrarea montajului, prin intermediul grupului $R1 C1$, unui etaj repetor pe emitor, care conține tranzistorul $T1$. Acest etaj are rolul de a optimiza adaptarea impedanțelor intrare-iesire, în scopul corecțiilor ce urmează a fi aplicate semnalului inițial. Atunci cind contactele B , LD , R și H se află în poziția indicată pe schema electrică (neacționate) montajul permite trecerea semnalului de audiofrecvență fără nici o modificare în ceea ce privește caracteristica amplitudine-frecvență (liniară).

În momentul închiderii contactului normal deschis notat cu B , $T1$ se satuează, rezistența $R6$ este practic conectată la masa montajului; iar filtrul trece jos $R1 C3 R6$ realizează atenuarea frecvențelor medii înalte cu circa 8 dB. În acest mod nivelul frecvențelor joase căre rămîne nemodificat este accentuat față de nivelul general al semnalului de audiofrecvență inițial. Astfel se realizează corecția de tip *bass*. În momentul deschiderii contactului normal inchis notat cu LD , grupul $R8 R10 C4 R9 R11 C5$, care reprezintă un filtru opreste bandă, atenuează nivelul frecvențelor medii. Astfel se obține redarea mai accentuată a frecvențelor joase și înalte, rezultând corecția de tip *loudness*. La deschiderea contactului notat cu R se obține atenuarea frecvențelor joase. În acest caz apare o corecție a semnalului audio inițial, corecție de tip *rumble*. Similar, la deschiderea contactului notat cu H se realizează atenuarea frecvențelor înalte, această corecție fiind de tip *hiss*. Se observă că în ambele cazuri etajul care conține tranzistorul $T3$ devine un filtru activ de tip trece-sus sau trece-jos.

Cele patru tipuri de corecții ale semnalului inițial pot fi acționate independent sau concomitent obținindu-se în final caracteristica amplitudine-frecvență dorită.

3.3 EFECTUL DE SPATIALITATE

Pentru redarea corectă a unui semnal audio stereofonic se impun o serie de condiții, printre care și amplasarea celor două difuzeoare la anumită distanță și sub un anumit unghi. În caz contrar, zona de audiere stereofonică este foarte redusă în apropierea difuzeoarelor, lărgindu-se cdată cu depărtarea de ele. Amplasarea optimă a celor două difuzeoare (boxe) devine imposibilă în cadrul unui radioreceptor sau radiocasetofon stereofonic portabil, care are deja incorporate grupurile electroacustice. Totuși efectul stereofonic se poate obține la acest tip de aparat, prin introducerea, după etajul corector de ton, înaintea amplificatorului de audiofrecvență de putere, a unor circuite electronice ce permit realizarea efectului de spațialitate a surselor sonore. Aceste montaje poartă denumirea, pe plan internațional, de HYPERSONIC sau SPATIAL STEREO. Modul de prelucrare a semnalului de audiofrecvență util se bazează pe defazaarea unor porțiuni din acestea și adăugarea lor în mod simetric la cele două canale informative stînga și dreapta (L și R).

Circuitul din fig. 3.5 se intercalează între corectorul de ton și amplificatorul de putere. Efectul de spațialitate se obține după dorință, acționind în mod progresiv cursorul potențiometrului $P2$ între limitele mono (cursor capăt canal dreapta) și stereo spațial (cursor capăt canal stînga). Montajul din fig. 3.6 este de aceeași factură asigurînd efectul de spațiali-

tate prin realizarea legăturii galvanice marcate pe schema electrică cu cifrele 1—2 și respectiv 3—4, acționarea lui realizându-se cu ajutorul unui comutator adecvat acestui scop (ex. comutator cu 2 găleți și 2 poziții).

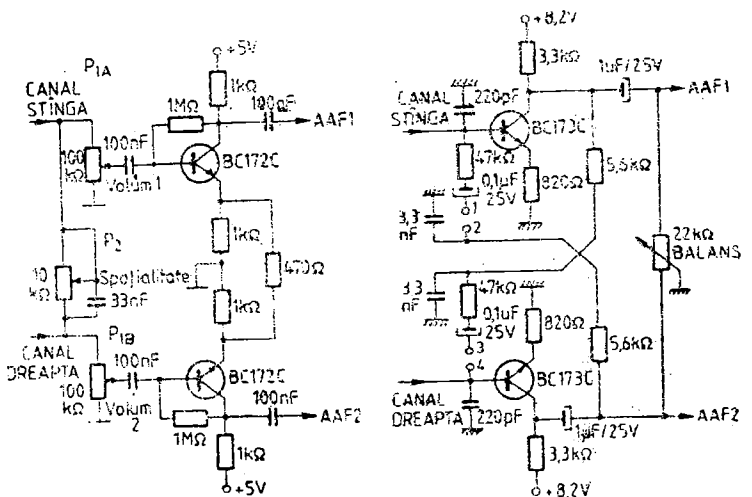


Figura 3.5 Corector de ton HY- PERSONIC.

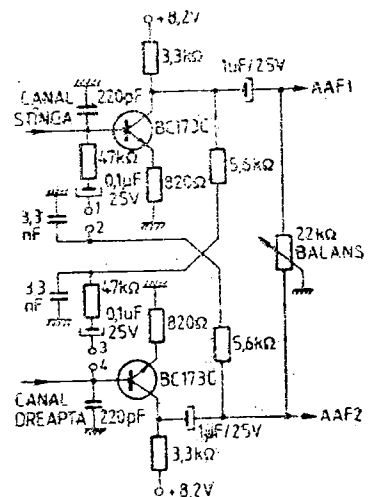


Figura 3.6 Corector de ton SPATIAL STEREO.

3.4 CORECTOARE DE TON TIP BAXANDALL

Unul dintre cele mai răspândite tipuri de corector de ton, datorită simplității și eficienței sale, il reprezintă corectorul Baxandall. În fig. 3.7 este prezentată o variantă cu proprietăți generale îmbunătățite, care a dat rezultate practice foarte bune.

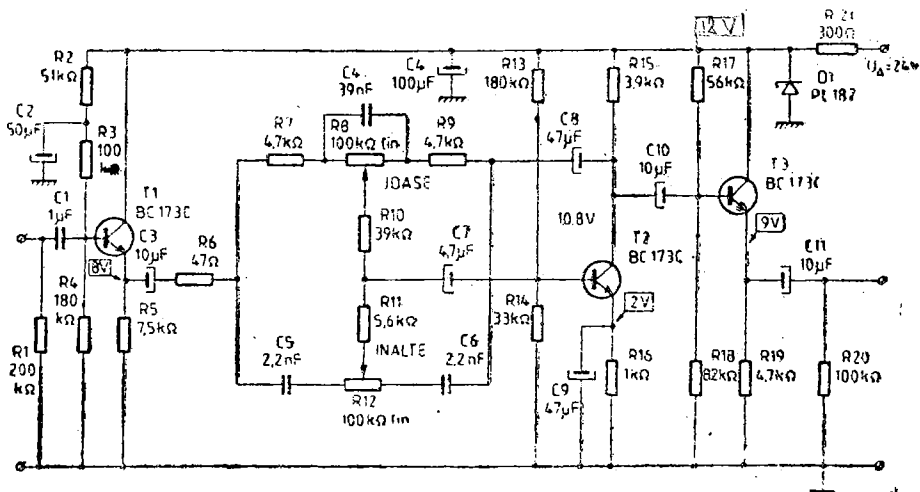


Figura 3.7 Corector de ton Baxandall – varianta 1.

Seignalul de intrare se aplică tranzistorului T_1 care este repetor pe emitor. Acest lucru este absolut necesar pentru buna funcționare a montajului, deoarece repetorul pe emitor realizează un etaj tampon între sursă

de semnal și rețeaua pasivă tip Baxandall. Se observă în cadrul rețelei prezența celor două potențiometre de reglaj, cu ajutorul cărora se stabilește nivelul corecției în privința frecvențelor joase și înalte. Ulterior, semnalul electric este aplicat etajului amplificator de tensiune, care conține tranzistorul T_2 , prin intermediul condensatorului C_7 . Pentru a nu influența nivelul semnalului preluat din colectorul lui T_2 , s-a prevăzut un al doilea etaj repetor pe emitor, cu tranzistorul T_3 . Acesta oferă o impedanță de ieșire scăzută montajului, convenabilă pentru cuplajul cu un eventual amplificator de putere. În scopul reducerii zgâgomotului de fond și al brumului de rețea, s-a prevăzut filtrajul suplimentar al tensiunii de alimentare, realizat cu ajutorul grupului $R_{21} D_1 C_4$.

În fig. 3.8 este prezentată o schemă electrică de aceeași factură, având efecte și proprietăți asemănătoare. Semnalul se aplică etajului de intrare care conține tranzistorul T_1 . El este amplasat într-o configurație de tip repetor pe emitor dotată totodată cu o conexiune de tip bootstrap. Astfel rezultă o impedanță de intrare foarte mare (de ordinul megohmilor) și o impedanță de ieșire scăzută (de ordinul sutelor de ohmi), optimă pentru adaptarea cu rețeaua corectoare de tip Baxandall.

Tranzistorul T_2 indeplinește funcția de amplificator de tensiune, compensindu-se astfel pierderile de nivel ale semnalului util ce apar în cadrul rețelei de corecție Baxandall. Cu ajutorul potențiometrului P_3 se poate regla nivelul semnalului de audiofrecvență corectat.

Performanțele montajului din fig. 3.7 sunt următoarele :

- impedanță de intrare $100 \text{ k}\Omega$
- impedanță de ieșire $1 \text{ k}\Omega$
- atenuarea (amplificarea) la frecvența de 20 Hz : $\pm 18 \text{ dB}$
- atenuarea (amplificarea) la frecvența de 18 kHz : $\pm 19 \text{ dB}$
- raport semnal/zgomot $\geq 65 \text{ dB}$
- distorsiuni armonice totale $\leq 0,2\%$
- distorsiuni de intermodulație $< 0,06\%$

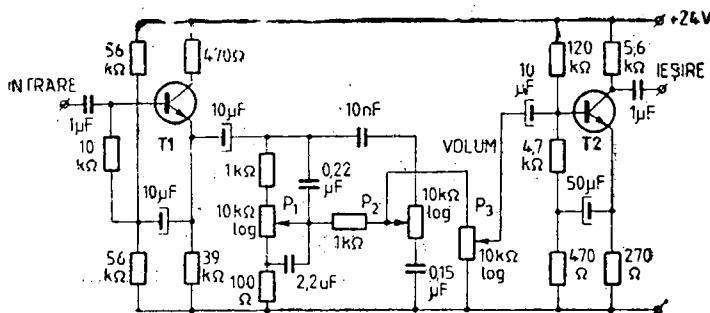


Figura 3.8 Corector de ton Baxandall — varianta 2.

Performanțele montajului prezentat în fig. 3.8 sunt :

- impedanță de intrare $150 \text{ k}\Omega$
- impedanță de ieșire $5 \text{ k}\Omega$
- atenuarea (amplificarea) la 100 Hz : $\pm 16 \text{ dB}$
- atenuarea (amplificarea) la 16 kHz : $\pm 18 \text{ dB}$
- raport semnal/zgomot $\geq 65 \text{ dB}$
- distorsiuni armonice totale $\leq 0,1\%$
- distorsiuni de intermodulație $\leq 0,06\%$

3.5 FILTRU PENTRU DISCURI VECHI

Majoritatea discurilor vechi, înregistrate la viteza de 78 rot/min, prezintă în momentul ascultării o tonalitate stridentă însotită aproape întotdeauna de un fișii neplăcut auditiilei. De cele mai multe ori aceste înregistrări vechi se păstrează datorită valorii artistice a unui program muzical, dar ele nu mai sunt compatibile cu cerințele actuale. Metoda cea mai eficientă de ameliorare calitativă este înregistrarea discului pe o bandă de magnetofon, intercalind pe traseul electric dintre pick-up și magnetofon un filtru de audiofrecvență. În mod practic, filtrul se intercalează între ieșirea preamplificatorului de la pick-up și intrarea destinată, la magnetofon, înregistrării semnalului audio util.

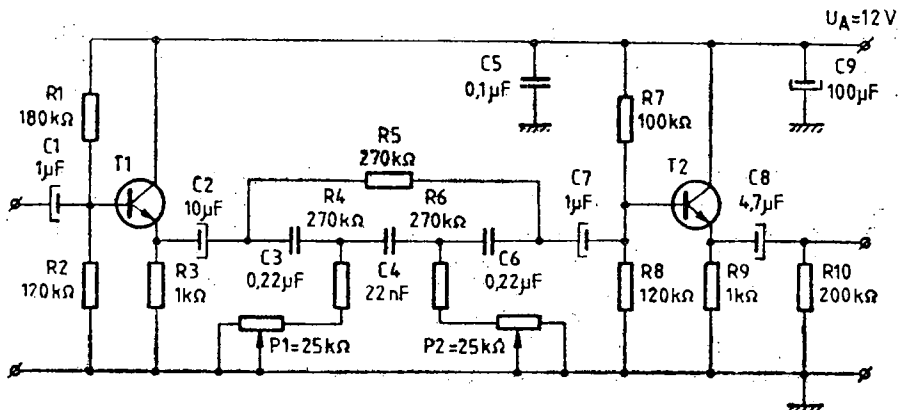


Figura 3.9 Filtru pentru discuri vechi.

Schema electrică a filtrului este prezentată în fig. 3.9. Semnalul electric furnizat de preamplificatorul pick-up-ului se aplică la intrarea montajului prin intermediul condensatorului C_1 . Etajul care conține tranzistorul T_1 este de tip repetor pe emitor. El are rolul de adaptare a impedanței între sursa de semnal și filtrul propriu-zis. Filtrul este format practic din inserierea a 2 filtre de tip gamma realizate din grupurile $C_3 C_4 P_1$ și $C_4 R_6 P_2$. Semnalul electric corectat de cele 2 filtre se aplică ulterior prin intermediul condensatorului C_7 unui al 2-lea etaj de tip repetor pe emitor, care conține tranzistorul T_2 . El are rolul unui etaj de separare între filtrul propriu-zis și ieșirea montajului, oferind totodată acestuia o impedanță de ieșire scăzută. Montajul se alimentează de la o sursă de tensiune stabilizată $U_A = 12 \text{ V}$.

Reglajul se face în timpul auditiilei, pornind de la pozițiile în care potențiometrele liniare P_1 și P_2 prezintă valoarea maximă. Se acționează inițial P_2 pînă în momentul obținerii unui ton cu audiere agreabilă. Dacă gama de frecvență ascultată prezintă anumite „goluri”, se acționează treptat și potențiometrul P_1 și apoi din nou P_2 pînă la obținerea unui rezultat optim.

După aceste corecții semnalul furnizat de montaj se înregistrează pe banda magnetică.

3.6 CORECTOR DE TON CU TREI SECȚIUNI

Pentru reglajul fin, după preferință, al caracteristicii de frecvență proprii unui program muzical, totdeauna după etajul preamplificator este necesar un etaj corector de ton mai complex. În fig. 3.10 este prezentată schema electrică a unui corector de ton cu 3 secțiuni. Reglajul de amplitudine se face independent în întreaga bandă de audiofrecvență, prin acționarea celor 3 potențiometre liniare P_1 , P_2 și P_3 . Analizând schema electrică se observă în componența corectorului prezența a 3 etaje funcționale:

- etajul de intrare,
- etajul corector de ton propriu-zis,
- etajul de ieșire.

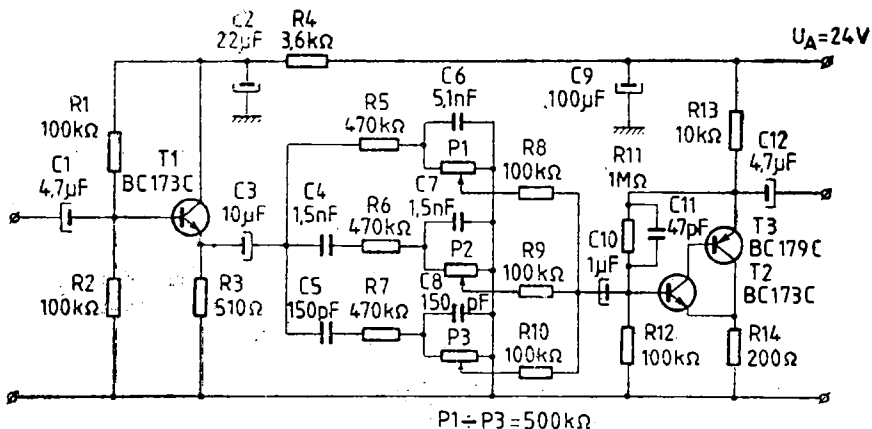


Figura 3.10 Corector de ton cu trei secțiuni — varianta 1.

Etajul de intrare conține tranzistorul T_1 , amplasat într-o configurație de tip repotor pe emitor, care permite optimizarea adaptării de impedanță sursă semnal-intrare montaj.

Corectorul de ton propriu-zis este format din 3 filtre pasive care împart banda de audiofrecvență în 3 secțiuni egale. Semnalul corectat se însumează la bornele rezistențelor R_8 , R_9 și R_{10} și ulterior este amplificat de etajul de ieșire.

Acesta are rolul de a suplini atenuarea semnalului audio introdusă de cele 3 filtre pasive. Configurația etajului de ieșire, care conține tranzistoarele T_2 și T_3 , este de tip super-G. Ea a fost aleasă pentru ca odată cu asigurarea unei amplificări mari distorsiunile THD ale montajului să fie foarte reduse. Potențiometrul P_1 reglementează amplificarea frecvențelor joase ($40 \div 600$ Hz), potențiometrul P_3 amplificarea frecvențelor înalte ($2 \div 18$ kHz). Procentul de distorsiuni THD $\leq 0,02\%$. Montajul se realizează practic pe o placă de striclostratitex placat cu cupru, iar în mod obligatoriu conexiunile de intrare, ieșire și cele care privesc grupul de potențiometre P_1 , P_2 și P_3 se realizează cu conductor ecranat.

O altă variantă de corector de ton cu 3 secțiuni este prezentată în fig. 3.11.

Acest tip de corector realizează atât atenuarea cât și amplificarea semnalului audio-util dintr-o porțiune din banda de audiofrecvență, conform tipului de corecție ales (frecvențe joase, medii, înalte). Montajul se bazează pe utilizarea reacției negative sau pozitive, funcție de poziția aleasă

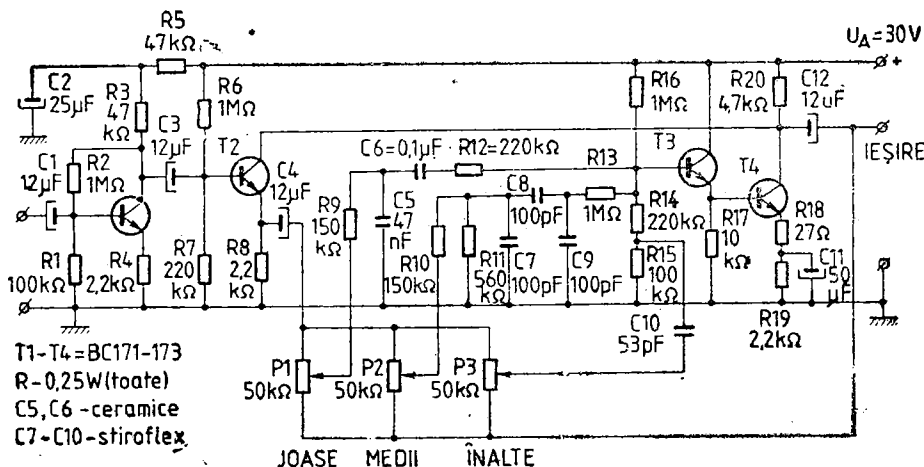


Figura 3.11 Corector de ton cu trei secțiuni — varianta 2.

pentru cele 3 potențiometre de reglaj. Datorită faptului că reația pozitivă este întotdeauna subunitară, nu există pericolul de instabilitate în funcționare sau apariție a unor oscilații nedorite în cadrul montajului. Performanțele lui sint următoarele :

- tensiunea maximă de intrare 100 mV ;
- distorsiuni armonice totale $\leq 0,1\%$;
- distorsiuni de intermodulație $\leq 0,4\%$;
- raport semnal/zgomot $\geq 65 \text{ dB}$;
- reglaje de ton : $f = 40 \text{ Hz}, A = -22 \text{ dB} \dots +20 \text{ dB}$
 $f = 1 \text{ kHz}, A = -24 \text{ dB} \dots +20 \text{ dB}$.
 $f = 15 \text{ kHz } A = -22 \text{ dB} \dots +20 \text{ dB}$.

Semnalul se aplică etajului de intare care conține tranzistorul T_1 , prin intermediul condensatorului C_1 . Acest etaj este un amplificator de tensiune, prevăzut în scopul majorării amplitudinii semnalului de intrare în vederea unor prelucrări ulterioare. Amplificarea etajului este de cca 25 dB . Semnalul amplificat se preia din colectorul lui T_1 prin intermediul condensatorului C_3 și ulterior este aplicat etajului funcțional care conține tranzistorul T_2 . Acest etaj are un dublu rol. O parte a semnalului audio util se transmite nemodificată la ieșirea montajului (colector T_4) iar altă parte se preia din emitorul tranzistorului T_2 prin intermediul condensatorului C_4 . De la cursoarele potențiometrelor P_1 , P_2 și P_3 semnalul audio se aplică unor filtre RC care creează corecția de frecvență urmărită în fiecare subbandă de audiofrecvență.

Ulterior, semnalul audio corectat se însumează ponderat prin intermediul rezistențelor R_{12} , R_{13} și R_{14} și apoi e preluat de etajul repetor pe emitor care conține tranzistorul T_3 . După acest lucru, semnalul este amplificat de un al doilea etaj funcțional care conține tranzistorul T_4 , în scopul compensării atenuării introduse de filtrele pasive. Să nu uităm însă că acum

semnalul audio preluat din emitorul lui T_3 și corectat de cele trei filtre pasive este defazat cu 180° față de semnalul audio inițial. În funcție de poziția cursorilor celor trei potențiometre P_1 , P_2 și P_3 semnalul audio defazat se insumează cu cel inițial cu o pondere mai mare sau mai mică, realizându-se astfel atenuarea sau amplificarea semnalului audio inițial. Legătura galvanică dintre ieșirea montajului și bornele celor trei potențiometre de reglaj P_1 , P_2 și P_3 constituie o buclă de reacție, care devine pozitivă sau negativă în funcție de poziția fiecărui cursor. Configurația aleasă pentru schema electrică permite obținerea unor amplificări sau atenuări mari, în portiuni în banda de audiofrecvență, distorsiunile la ieșirea montajului fiind minime.

3.7 CORECTOR DE TON CU POSIBILITĂȚI MULTIPLE

Majoritatea corectoarelor de ton sunt de tip Baxandall. Acest circuit, folosit frecvent datorită simplității sale, prezintă totuși unele deficiențe. Dezavantajul esențial al unui circuit Baxandall clasic îl constituie efectul de corecție foarte mare la extremitățile benzii de audiofrecvență. Un alt dezavantaj al unui circuit Baxandall clasic îl constituie lipsa posibilității de corecție a amplitudinii semnalului audio util în zona centrală de audiofrecvență.

S-a pus problema modificării circuitului Baxandall, în aşa fel ca în urma schimbărilor efectuate să nu se complice prea mult montajul, să fie lărgite posibilitățile sale de lucru, și să nu fie afectate performanțele în ceea ce privește banda de frecvență de lucru, nivelul distorsiunilor și al zgomotului de fond. Schema electrică de principiu a circuitului Baxandall modificat este prezentată în fig. 3.12. Valorile componentelor au fost ast-

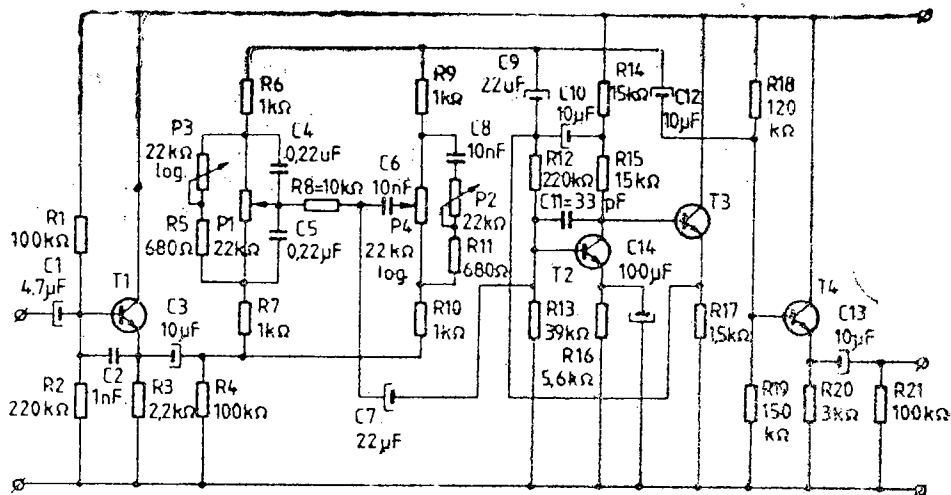


Figura 3.12 Corector de ton cu posibilități multiple.

fel alese încit să optimizeze funcționarea circuitului din toate punctele de vedere.

Semnalul audio util se aplică montajului prin intermediul condensatorului C_1 . Etajul de intrare care conține tranzistorul T_1 reprezintă un

repetor pe emitor. Acest tip de etaj are rolul de adaptare între impedanță de ieșire a sursei de semnal și impedanță de intrare a corectorului. Semnalul obținut în emitorul lui $T1$ este aplicat rețelei modificate de corecție Baxandall, și ulterior etajului următor care conține tranzistoarele $T2$ și $T3$ prin intermediul condensatorului $C7$. Acest etaj constituie un amplificator de bandă largă, necesar compensării atenuării introduse de rețeaua de corecție. Datorită conexiunii de tip bootstrap etajul oferă montajului avantajul unei amplificări mari cu distorsiuni minime. Atât $C2$ cit și $C11$ au rolul de reducere la minim a instabilității montajului și evitare completă a posibilității de apariție a oscilațiilor. De asemenea configurația în curent continuu a etajului implică o bună stabilitate termică într-un domeniu larg de temperatură.

Etajul de ieșire conține tranzistorul $T4$ și reprezintă un repetor pe emitor care de asemenea are rolul unui adaptor de impedanță.

Potibilitățile corecțiilor efectuate în banda de audiofrecvență s-au mărit esențial. Alegind diferite combinații intermedie cazurilor limită, se pot obține diverse variante care să optimizeze cerințe corecțiilor efectuate.

Performanțele montajului :

- tensiunea maximă de intrare 200 mV
- impedanță de intrare 82 kΩ
- impedanță de ieșire 1 kΩ
- raport semnal/zgomot ≥ 70 dB
- distorsiuni armonice totale $\leq 0,1\%$
- distorsiuni de intermodulație $\leq 0,3\%$.

3.8 CORECTOR DE TON HI-FI

În vederea extinderii posibilității de lucru a corectorului de ton cu două secțiuni tip Baxandall, în urma unei proiectări îngrijite s-a obținut o variantă care realizează corecția dorită în banda de audiofrecvență, pentru frecvențele joase, medii și înalte. În scopul optimizării funcționării montajului se utilizează circuite integrate specializate în amplificarea semnalelor electrice de nivel mic, care prezintă concomitent un raport semnal/zgomot foarte bun (circuitul integrat βM 387 AN). Montajul deține următoarele performanțe :

- impedanță de intrare 100 kΩ
- tensiunea maximă de intrare 200 mV
- banda de reacție 20 Hz — 20 kHz
- amplitudinea corecțiilor : $f = 40$ Hz : $A = \pm 14$ dB
 $f = 1$ kHz : $A = \pm 12$ dB
 $f = 12,5$ kHz : $A = \pm 12$ dB
- raport semnal/zgomot > 70 dB
- distorsiuni armonice totale $< 0,06\%$
- distorsiuni de intermodulație $< 0,02\%$.

Schema electrică a corectorului de ton este prezentată în fig. 3.13. Se observă prezența a 2 blocuri funcționale distincte și anume etajul de intrare și etajul corector de ton propriu-zis.

Etajul de intrare conține un amplificator operational la care semnalul de intrare se aplică, prin intermediul grupului $R1 C1$, la intrarea inver-

soare. Amplificatorul operațional este amplasat într-o configurație de tip repetor destinată adaptărilor de impedanțe sursă de semnal-intrare în montă. Totodată aplicarea semnalului, de intrare în această manieră permite un transfer informațional intrare-iesire a formei de undă proprii sem-

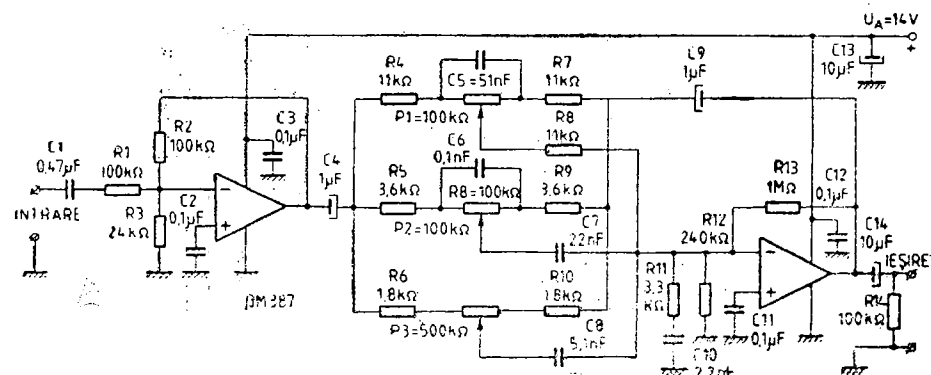


Figura 3.13 Corector de ton Hi-Fi.

nalului de audiofrecvență cu distorsiuni minime. De la ieșirea amplificatorului operațional semnalul audio se aplică, prin intermediul condensatorului C_4 , etajului corector de ton propriu-zis.

Aceasta reprezintă un filtru activ, reacția negativă fiind dozată de semnalele prelucrate și insumate pe intrarea lui inversoare, la care sunt conectate cursorele celor trei potențiometre de reglaj. Configurația schemei electrice permite efectuarea amplificării sau atenuării dorite în subbanda de audiofrecvență, funcție de poziția potențiometrelor P_1 , P_2 și P_3 .

3.9 EGALIZOR PARAMETRIC CU PERFORMANȚE RIDICATE

Egalizorul parametric prezentat face parte din categoria montajelor Hi-Fi necesare într-un lanț audio cu performanțe moderne. Montajul folosește performanțele superioare ale circuitelor integrate. Egalizorul indeplinește funcțiile unui circuit Baxandall cu posibilități extinse de lucru, realizând o diversitate de caracteristici funcționale, capabile de a satisface cerințele cele mai exigente. Pentru realizarea cât mai simplă și totodată pentru obținerea unor rezultate optime s-au imbinat proprietățile filtrelor active cu performanțele ridicate ale amplificatoarelor operaționale.

Să analizăm schema electrică prezentată în fig. 3.14. Semnalul de intrare se aplică prin intermediul condensatorului C_1 pe intrarea neinversoare a amplificatorului operațional A_1 . Controlul freevențelor joase se realizează cu ajutorul potențiometrului P_1 . Dacă cursorul potențiometrului P_1 este „deplasat” spre ieșirea lui A_1 , o mare parte din componente de joasă frevență ale semnalului de intrare vor trece prin filtrul trecejos C_2 R_3 P_3 și vor apărea în punctul V_o . Deoarece amplificatorul operațional A_2 inversează semnalul, rezultă că obținem la ieșirea lui o atenuare a componentelor de joasă frecvență. Dacă se inversează „deplasarea”,

cursorului potențiometrului P_1 , se obține o scădere a componentelor de joasă frecvență pe intrarea neinversoare a lui A_2 , deci amplificarea finală a frecvențelor joase crește.

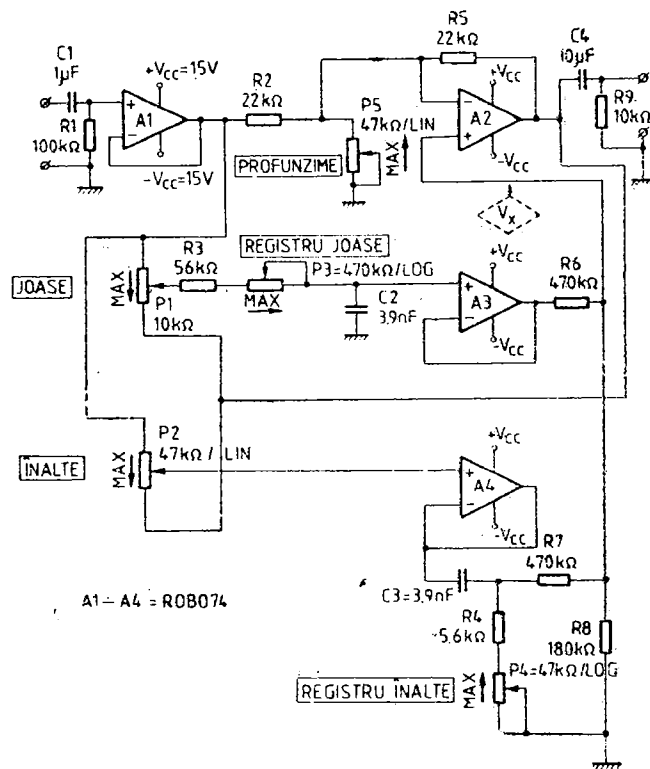


Figura 3.14 Egalizor parametric.

Registrul de ieșire al frecvențelor joase se reglează cu ajutorul potențiometrului P_3 , modificând atenuarea filtrului $C_2 R_3 P_3$. Similar, se obțin aceleasi rezultate pentru frecvențele înalte, cu ajutorul filtrului trece-sus $C_3 P_4 R_4$ și al amplificatorului operațional tampon A_4 . Registrul de ieșire al frecvențelor înalte se obține printr-o manevrare corespunzătoare a cursorului potențiometrului P_4 .

În ambele cazuri, potențiometrul P_5 controlează suma reacțiilor negative aplicate lui A_2 . În acest fel se reglează nivelul profunzimii corecțiilor.

Performanțele egalizorului reies imediat din analiza caracteristicilor funcționale, cu ajutorul unui generator de audiofrecvență și unui osciloscop.

În figura 3.15.a se prezintă caracteristicile de ieșire ale egalizorului pentru un registru constant și o profunzime a corecțiilor constantă. În figura 3.15.b se prezintă caracteristicile de ieșire ale egalizorului pentru un registru constant și o profunzime variabilă a corecțiilor.

În figura 3.15.c se prezintă caracteristicile de ieșire ale egalizorului pentru profunzime constantă, registru variabil și răspuns liniar la frecvențe înalte.

În cele trei diagrame sunt date și valorile, maxime sau minime, ale potențiometrelor $P2 - P3$, din punct de vedere al acționării, corelat cu indicațiile menționate în fig. 3.14.

Pentru realizarea practică a montajului se vor folosi componente de bună calitate, sortate în clasa de precizie 2%. Ca amplificatoare ope-

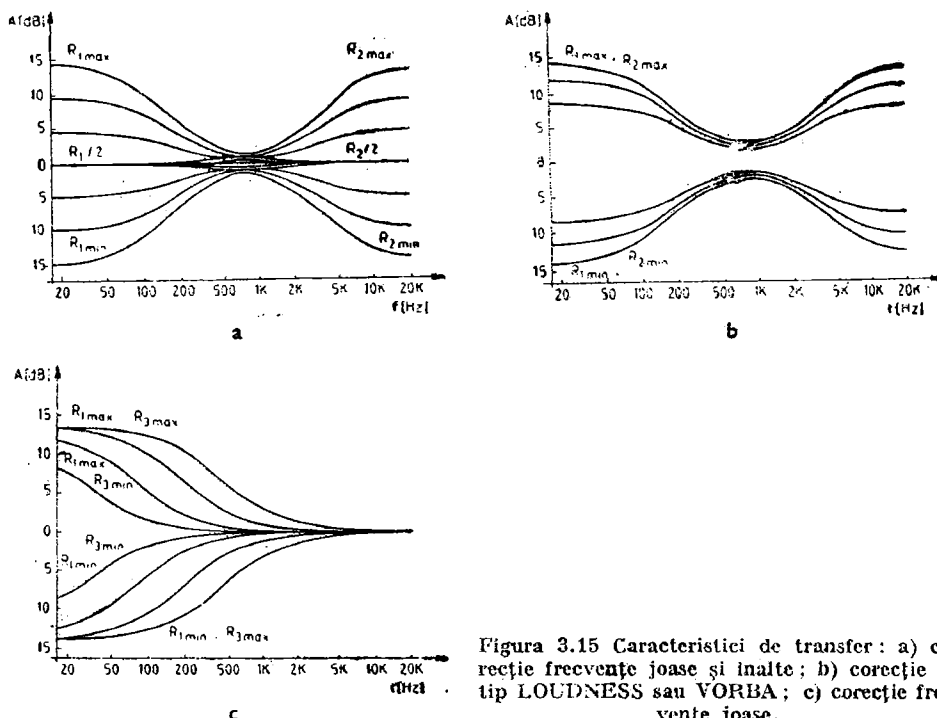


Figura 3.15 Caracteristici de transfer: a) corecție frecvențe joase și înalte; b) corecție de tip LOUDNESS sau VORBA; c) corecție frecvențe joase.

raționale se folosesc circuite de tip 3A 741, ROB 074. Se recomandă o tensiune de alimentare ± 15 V, de la o sursă dublă bine stabilizată și filtrată. Cablajul imprimat se va realiza cu atenție, folosind conexiuni de lungime minimă și apoi se va ecrana corespunzător.

Montajul se poate realiza și în varianta stereo, utilizând potențiometri dubli.

3.10 EGALIZOR GRAFIC III-FI

Egalizorul grafic prezentat în această lucrare constituie o soluție de vîrf, capabilă de a satisface pretențiile cele mai exigente. Pentru efectuarea corecțiilor de mare finețe în plaja de audiofrecvență a semnalului util, conform scopului urmărit, s-a ales o împărțire a benzii de audiofrecvență în 10 intervale. În fiecare interval există un punct de inflexiune central, unde amplitudinea semnalului audio corectat poate lua valori maxime sau minime. Pentru realizarea cu ușurință de către constructori, s-a ales un montaj care folosește în întregime componente discrete realizate în România.

Folosind potențiometrii cu cursă liniară, dispusi paralel pe panoul frontal al aparatului, apare, unind cu o linie imaginată cursorii acestora, diagrama de răspuns amplitudine-frecvență a egalizorului. De aici provine și denumirea acestui tip de egalizor.

Performanțele montajului sunt următoarele:

- curentul absorbit: cca 100 mA
- domeniu de lucru: 20 Hz ÷ 20 000 Hz
- puncte de inflexiune: 30 Hz; 60 Hz; 120 Hz; 240 Hz; 480 Hz; 960 Hz; 1920 Hz; 3840 Hz; 7680 Hz; 15360 Hz
- plăja de corecție \pm 14 dB
- corecția în punctele de inflexiune: \pm 20 dB
- banda de trecere: — 0,25 dB în intervalul 20 Hz ÷ 20470 Hz
— 1 dB în intervalul 14 Hz ÷ 52000 Hz
- tensiunea maximă de intrare: 250 mV
- impedanța de intrare 100 k Ω
- impedanța de ieșire 600 Ω .

Să analizăm schema electrică de principiu a egalizorului din fig. 3.16.

Se observă că egalizorul prezentat conține 3 etaje principale și anume:

- etajul de intrare, care conține tranzistorul T_1 ;
- etajul corector tensiune-frecvență, care conține tranzistoarele T_2 , T_3 , T_4 ;
- etajul de ieșire, care conține tranzistoarele T_5 și T_6 .

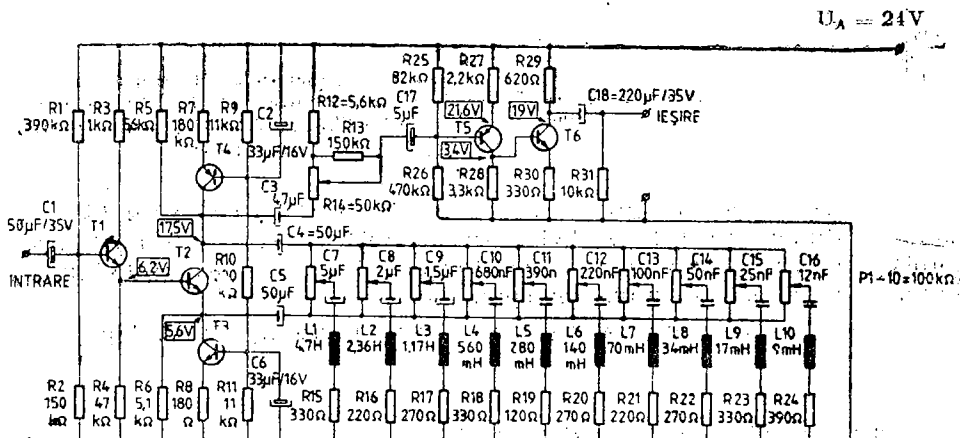


Figura 3.16 Egalizor grafic.

Semnalul de intrare se aplică etajului de intrare prin intermediu condensatorului C_1 în baza tranzistorului T_1 . Etajul de intrare e repetor pe emitor, asigurînd o bună adaptare între impedanța de ieșire a sursei de semnal și impedanța de intrare a egalizorului. Rezistența R_3 aflată în colectorul lui T_1 are rolul de a îmbunătăți performanțele etajului de intrare în privința zgomotului de fond. Semnalul util se preia din emitorul tranzistorului T_1 și se aplică prin cuplaj direct etajului corector tensiune-frecvență, în baza lui T_2 .

Etajul corector tensiune-frecvență, care include tranzistoarele T_2 , T_3 , T_4 , are o alcătuire specială. Pentru a realiza variația nivelului de tensiune, într-o plajă largă de frecvențe, apare necesară posibilitatea realizării unei amplificări mari, fără a produce distorsiuni ale formei de undă a semnalului și fără a introduce defazaje suplimentare funcție de frecvență. Soluția aleasă reprezintă un etaj de amplificare cu sarcină dinamică în colector și emitor. Sarcina dinamică reprezintă de fapt un generator de curent constant, realizat cu unul sau mai multe tranzistoare. Folosind ca sarcină un generator de curent constant se obține creșterea și stabilizarea factorului de amplificare, mărirea impedanței de intrare, lărgirea benzii de trecere a amplificatorului și, lucru esențial în funcționarea egalizorului, posibilitatea aplicării reacției pozitive în prezența reacției negative globale. Trauzistorul T_4 realizează pentru T_2 o sarcină dinamică. Aceasta prezintă în „curent continuu” o rezistență mică, iar în „curent alternativ” o rezistență mare. În acest fel se asigură etajului posibilitatea de a realiza o amplificare mare, cu toate avantajele sus-menționate. T_3 reprezintă o sarcină dinamică asemănătoare, amplasată în emitorul lui T_2 .

Astfel apare posibilitatea stabilirii cu ușurință a punctului de funcționare statică a lui T_2 , concomitent cu facilitarea aplicării celor două tipuri de reacție în mod simultan. Corecția semnalului util, în ceea ce privește amplificarea funcție de frecvență, se realizează în felul următor. Se observă că în colectorul și emitorul lui T_2 se află cuplate, prin intermediul condensatoarelor C_4 și C_5 , cele zece filtre LC. Acestea acționează asupra plajei de frecvență funcție de poziția cursorului potențiometrelor P_1 – P_{10} . Practic, se realizează o reacție pozitivă sau negativă pentru banda de frecvență în care este acordat filtrul amplasat pe cursorul fiecărui potențiometru.

Dacă, de exemplu, cursorul lui P_1 se află „deplasat” spre condensatorul C_4 , se realizează mărirea reacției negative, deci se produce o atenuare în banda de frecvențe joase, cu maximul de atenuare pe frecvență de 30 Hz pe care este acordat filtrul. În cazul deplasării inverse a cursorului potențiometrului P_1 spre C_5 , se realizează mărirea reacției pozitive, deci frecvențele joase vor fi amplificate, obținându-se un maxim de amplificare pe frecvență de 30 Hz. Rezistențele R_5 și R_6 precizează limitele amplificării sau atenuării maxime, pentru prevenirea distorsiunilor sau posibilității de apariție a oscilațiilor în cazul unei amplificări mari.

Cele zece filtre LC asigură acoperirea completă a benzii de frecvențe audio în ceea ce privește posibilitățile de corecție dorite (fig. 3.17).

Rezistențele inseriate cu filtrele (ex. R_{15} cu L_1 C_7) asigură amortizarea necesară evitării unor variații prea accentuate ale amplificării sau atenuării pe frecvențele centrale de acord ale filtrelor RC, în punctele de inflexiune alese. Semnalul util corectat este preluat din colectorul lui T_2 prin intermediul condensatorului C_3 și apoi al potențiometrului semireglabil R_{14} . Ulterior, semnalul util se aplică etajului de ieșire prin intermediul condensatorului C_{17} , în baza lui T_5 . Grupul R_{13} R_{14} a fost prevăzut pentru a exista posibilitatea unei ajustări fine a nivelului semnalului de ieșire.

Etajul de ieșire include tranzistoarele T_5 și T_6 . T_5 realizează un tampon între etajul corector tensiune-frecvență și etajul de ieșire. T_6 realizează o impedanță de ieșire convenabilă a etajului de ieșire al egalizorului.

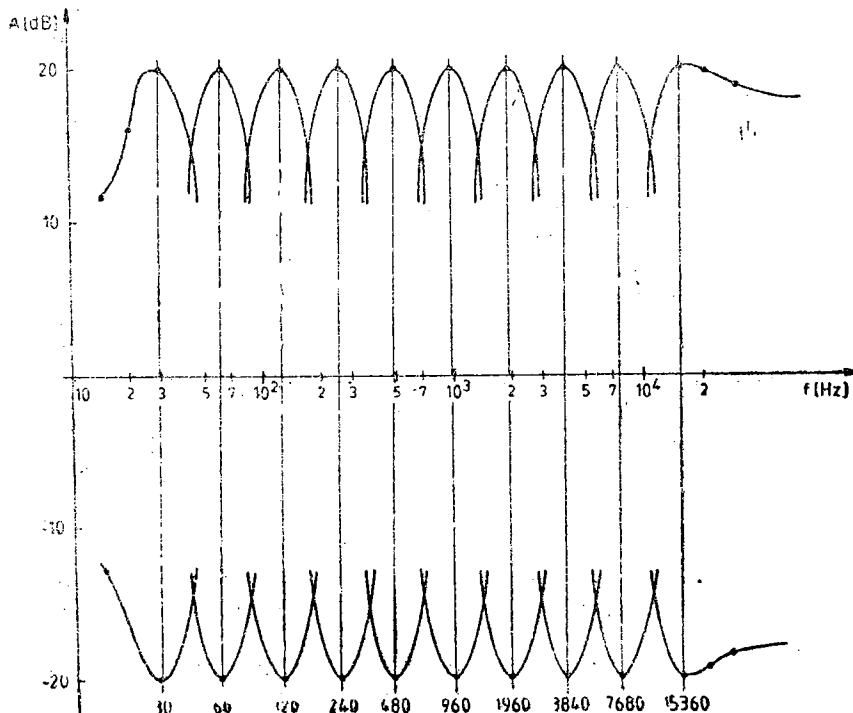


Figura 3.17 Posibilitățile de corecție ale caracteristicii de transfer amplitudine-frecvență.

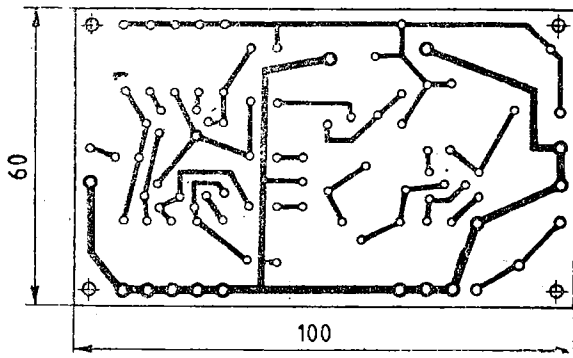
Montajul se execută pe plăcuțe de circuit imprimat. O variantă de cablaj imprimat este prezentată în fig. 3.18.a. Pentru cele zece filtre LC s-a ales cablajul prezentat în fig. 3.19.a.

Constructorul poate face mici modificări ale dimensiunilor plăcuțelor de circuit imprimat, funcție de gabaritul pieselor folosite, păstrând însă configurația cablajului. Pentru obținerea unor rezultate optime se impune folosirea rezistențelor cu peliculă metalică, iar condensatoarele electrolitice de cuplaj dintre etaje vor fi obligatoriu cu tantal.

Performanțele montajului impun implicit realizarea variantei stereo. Plăcuța de cablaj imprimat din fig. 3.18 se realizează în dublu exemplar, iar placa din fig. 3.19 se realizează într-un singur exemplar, deoarece este proiectată pentru varianta stereo a montajului.

Pozitionarea componentelor prezentate în schema electrică se face conform fig. 3.18.b iar pozitionarea celor zece filtre LC (varianta stereo) se face conform fig. 3.19.b. Fiecare grup RLC se ecranează cu cîte o plăcuță de alamă dimensionată corespunzător, care în final se conectează la masa generală a montajului (în locurile prevăzute pe cablaj), în scopul evitării influențelor reciproce între bobine sau bobine-montaj. Se recomandă realizarea bobinelor pe carcase tip oală de ferită, pentru obținerea unor bobine cu dimensiuni minime.

Se amplasează componente pe plăcuțele de cablaj imprimat, respectind cu strictete polaritățile condensatoarelor electrolitice.



a

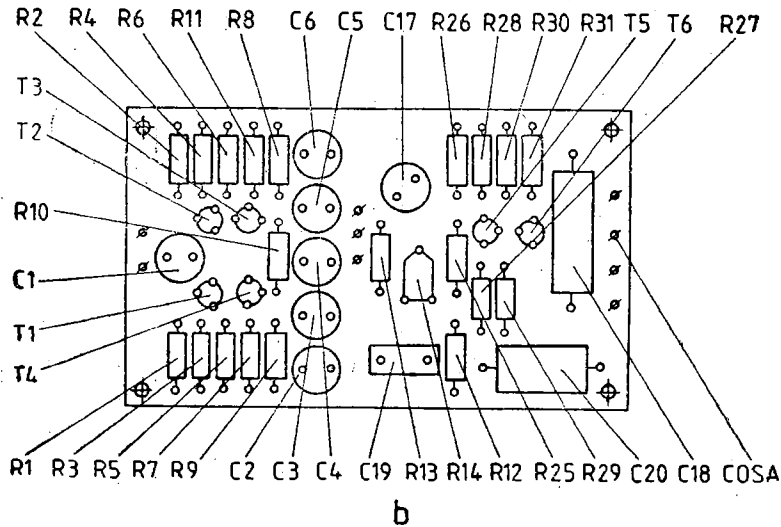


Figura 3.18 Realizarea egalizorului grafic ; a) circuitul imprimat ; b) amplasarea componentelor.

După amplasarea componentelor pe plăcile de cablaj imprimat și fixarea lor pe șasiul egalizorului (inclusiv alimentatorul de 24 V, stabilizat) se execută *forma de cablu*. Forma de cablu reprezintă totalitatea conexiunilor între blocurile funcționale, realizate după un traseu printre acestea, cît mai convenabil, dinainte stabilit. După realizarea formei de cablu, aceasta se rigidizează prin mătisare cu un fir de sfoară cerată. Conexiunile din forma de cablu se execută cu cablu ecranat (în afară de firele destinate alimentării) iar firul de masă are o secțiune minimă de 2 mm^2 . Obligatoriu se prevăd pe șasiul metalic al egalizorului cose pentru rigidizarea formei de cablu.

Se realizează suportul metalic pentru potențiometrii liniari dubli (cu cursă liniară) de $100 \text{ k}\Omega$ și după montare se verifică fiecare potențiometru cu un ohmetru, deoarece orice întrerupere are consecințe negative în funcționarea egalizorului. Practic, o întrerupere duce la nefuncționarea grupului RLC aferent, odată cu apariția unei surse de zgomot de fond.

340

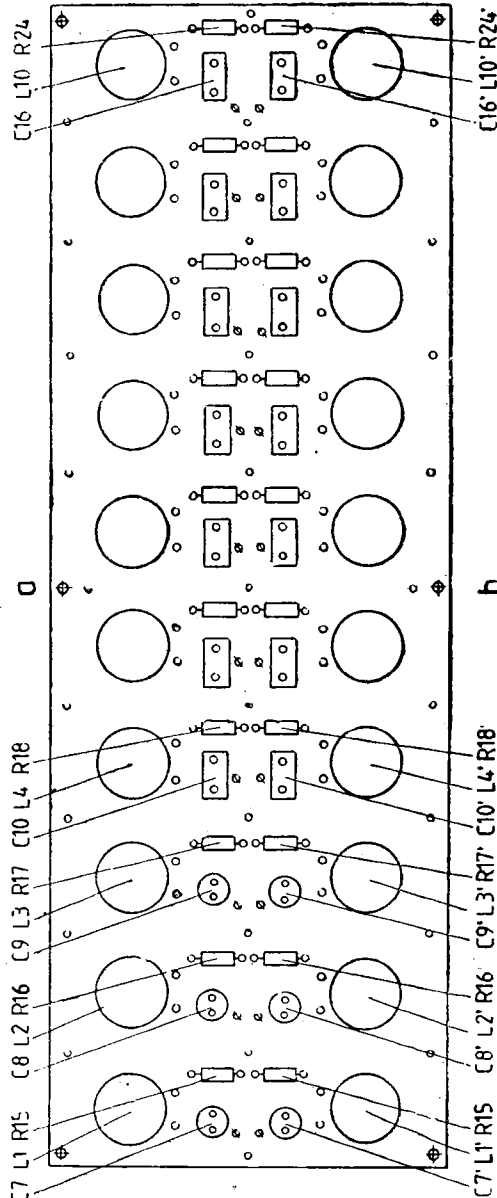
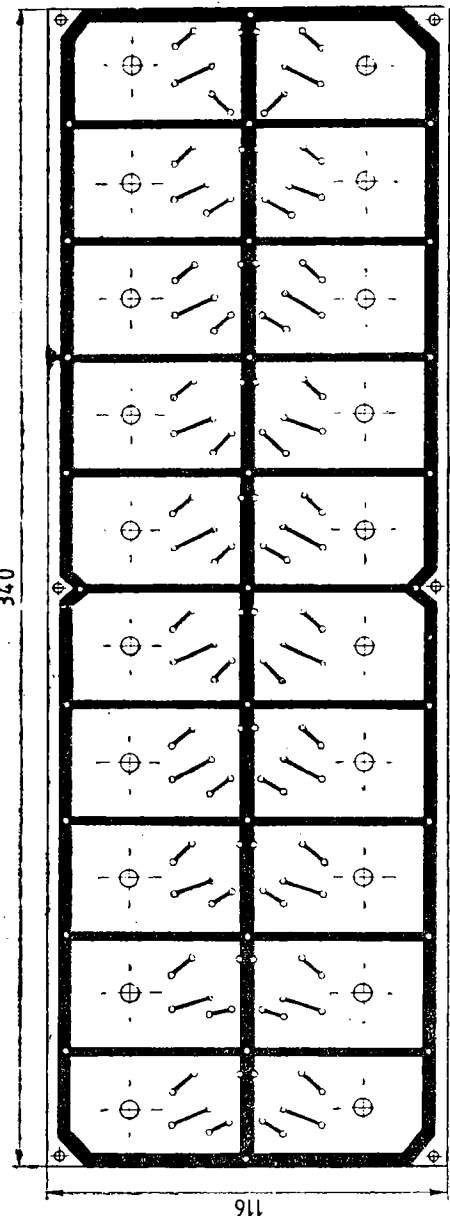


Figura 3.19 Realizarea filtrului LC : a) circuitul imprimat ; b) amplasarea componentelor.

După montarea pe șasiul egalizorului și a grupului de potențio-metri verificați, se fac legăturile între blocurile funcționale cu grijă, verificînd cu un buzer sau ohmetru continuitatea fiecărui fir înainte de efectuarea sudurilor la cele două capete ale acestuia. Sudurile la tresa metallică a cablurilor ecranate se execută, de asemenea, cu grijă, evitînd categoric suduri superficiale sau reci. Se reaminteste că de calitatea sudurilor depind performanțele montajului și buna lui funcționare.

După executarea tuturor legăturilor între blocurile funcționale ale montajului se execută cîte un strap la mufa de intrare între cele două intrări și masă și se alimentează, inițial separat, fiecare dintre cele două secțiuni identice ale egalizorului, după care se verifică prezența tensiunilor în punctele statice de funcționare ale blocurilor montajului. Verificarea se face comparînd valorile obținute cu cele menționate în schema electrică. Eroarea maximă admisă este de 2%. Se utilizează un voltmetru cu impedanță mare de intrare.

După terminarea verificărilor pentru fiecare „canal” stereo, se scot strapurile de la mufa de intrare, se reface alimentarea comună pentru ambele canale și cu aceasta egalizorul este gata de funcționare.

În scopul obținerii unei corecții fine a amplificării finale care trebuie să fie identică pentru cele două secțiuni ale egalizorului se acționează cursoarele potențiometrelor semireglabile $R14$ și $R14'$.

Pentru obținerea cu exactitate a maximului sau minimului de amplificare în punctele de inflexiune se poate modifica fin rezonanța circuitelor LC, acționind asupra bobinei (cîteva spire în plus sau minus). Maximul sau minimul de amplitudine pe frecvența punctului de inflexiune (pentru obținerea amplificării/atenueării de 20 dB) se reglează modificînd în limite foarte mici valoarea rezistenței aferente fiecărui grup LC (eventual) prin sortarea rezistențelor de „aceeași” valoare cu toleranță mai mare.

4 REDUCEREA ZGOMOTULUI

4.1 REDUCĂTOR DE BRUM

Majoritatea aparatelor electroacustice, atât cele industriale cît și cele realizate de constructorii amatori, utilizează pentru alimentarea cu energie electrică rețeaua de alimentare industrială destinată acestui scop. Deoarece aproape toate etajele amplificatoare de audiofrecvență utilizează o tensiune continuă de valoare diferită față de cea a rețelei electrice (tensiunea de rețea este alternativă), în scopul conversiei energiei electrice la parametrii nominali de funcționare se utilizează un transformator coborîtor de tensiune urmat de un redresor. Schema electrică cel mai des utilizată (datorită simplității și fiabilității) este prezentată în fig. 4.1. Se observă prezența unei punți redresoare, formată din diodele $D_1 - D_4$ care preiau tensiunea alternativă din infășurarea secundară a transformatorului coborîtor de tensiune și livrează o tensiune continuă pulsatorie filtrată de condensatorul C_1 .

Schema prezintă un dezavantaj esențial și anume permite apariția brumului de rețea, sezizabil mai ales în lipsa semnalului util de audiofrecvență.

Pentru eliminarea brumului sunt posibile două soluții radicale și anume :

— folosirea unui redresor stabilizat de tensiune, care livrează o tensiune continuă cu factor de stabilitate ridicat, indiferent de consumul amplificatorului ;

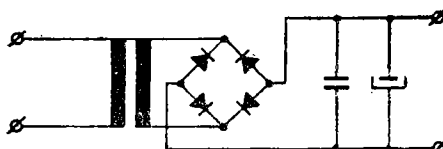


Figura 4.1 Schema electrică a redresorului clasic.

— folosirea unui amplificator de audiofrecvență imun la fluctuațiile tensiunii de alimentare (etaje diferențiale de intrare, filtre suplimentare cu diode Zener etc.).

De cele mai multe ori cele două soluții nu sunt aplicabile practic, deoarece în majoritatea cazurilor atât redresorul cît și amplificatorul există fizic, iar o modificare este laborioasă și de multe ori imposibilă (lipsa de spațiu util într-un aparat de proveniență industrială). Pentru rezolvarea

problemei se propune schema electrică prezentată în fig. 4.2. Se observă că fără a face modificări esențiale, doar cu adăugarea citorva componente față de schema electrică din fig. 4.1, se obține un redresor cu o foarte bună rejecție a brumului de rețea. Conceperea schémei se bazează pe faptul că brumul de rețea este seziabil în lipsa sau la nivel foarte mic al semnalului de audiofrecvență util.

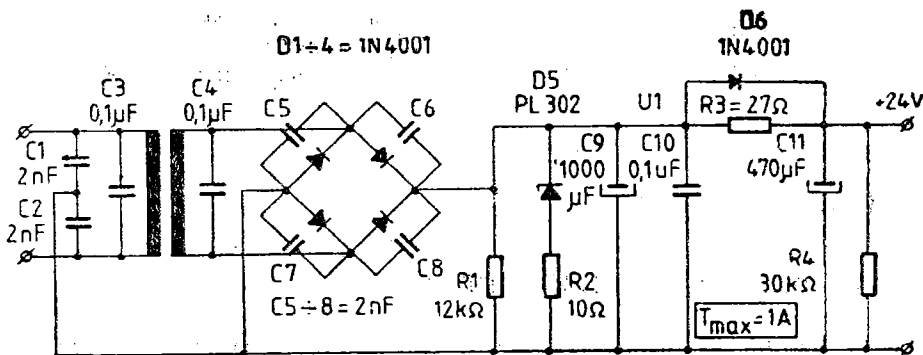


Figura 4.2 Reducător de brum.

Grupul de condensatoare $C1 - C4$ servește la diminuarea semnalelor parazite de radiofrecvență ce pot ajunge în redresor, captate de rețea de alimentare.

Tensiunea de la înfășurarea secundară a transformatorului de rețea este aplicată grupului de diode $D1 - D4$. O primă măsură pentru micșorarea brumului de rețea este montarea, în paralel cu fiecare diodă, a cîte unui condensator ($C5 - C8$). Aceste condensatoare servesc la stabilizarea regimului de comutare al diodelor.

Rezistența $R1$ stabilizează regimul de funcționare al punții redresoare formate din diodele $D1 - D4$. Grupul $D5 R2$ îmbunătățește comportarea redresorului în privința regimurilor tranzistorii de funcționare. Se limitează la valoarea tensiunii de lucru a diodei Zenner amplitudinea unei eventuale unde de supratensiune care poate apărea (tensiunea oscilantă de restabilire în cazul deconectării alimentatorului sau altă undă de supratensiune ce s-ar putea propaga după puntea redresoare).

Grupul $R3 D6 C11$ servește la reducerea substanțială a brumului de rețea. La nivele foarte mici ale semnalului de audiofrecvență util sau în lipsa lui, currentul de mers în gol al amplificatorului care trece prin rezistență $R3$ provoacă la bornele diodei $D6$ o tensiune mai mică decît cea necesară deschiderii acesteia. Astfel tensiunea, în această situație, este filtrată de rețea la $C10 R3 C11$ care reprezintă un filtru II. Acest filtraj îmbunătățește substanțial forma tensiunii continue, ducind practic la eliminarea completă a brumului de rețea. Imediat ce currentul a crescut crește și tensiunea la bornele diodei $D6$ pînă ce aceasta se deschide și șuntează rezistența $R3$. În acest fel scăderea tensiunii de alimentare în sarcină a amplificatorului este neglijabilă (0,6 V), iar brumul de rețea este practic eliminat. Schema se poate aplica la orice alimentator, îmbunătățind considerabil comportarea acestuia în privința raportului semnal-zgomot.

Dimensionarea elementelor alimentatorului (pentru alte valori ale tensiunii și curentului):

$$C5 \div C8 = 1 \div 5 \text{ nF}$$

$$C9 \geq \frac{0,04 I_{max}}{U_{ce}}; R1 \geq \frac{U_1}{I_0}$$

$$R3 = \frac{0,6}{1,4 I_0}$$

$$C11 \geq \frac{C9}{3}$$

$$U_{D5} = U_1 + 6 \text{ V}$$

I_0 = curentul de mers în gol al amplificatorului alimentat,
 I_{max} = curentul maxim absorbit de alimentatorului,
 U_{D5} = tensiunea diodei Zener,
 U_1 = tensiunea la bornele condensatorului $C9$.

4.2 REDUCĂTOR DE ZGOMOT 1

Montajul prezentat în fig. 4.3 face parte din categoria limitatoarelor *dinamice* de zgomot. Prințipiu de funcționare constă în reducerea benzii de trecere a semnalului de audiofrecvență de nivel mic, prin eliminarea spectrului de frecvență situat în intervalul 3 kHz – 18 kHz. Acest lucru se face prin însumarea simultană a două semnale de audiofrecvență situate în acest interval, de același nivel, dar aflate în opozitie de fază. În acest mod zgomotul de fond, care este situat (în marea majoritate) tocmai în acest interval al benzii de audiofrecvență, este limitat.

Semnalul de audiofrecvență se aplică etajului de intrare, care include tranzistorul $T1$. Polarizarea lui este asigurată de grupul $R2 R3$. Condensatorul $C2$ evită aplicarea unei reacții negative etajului de intrare și în același timp filtrează suplimentar tensiunea necesară polarizării acestuia. Din colectorul tranzistorului $T1$ semnalul de audiofrecvență este aplicat

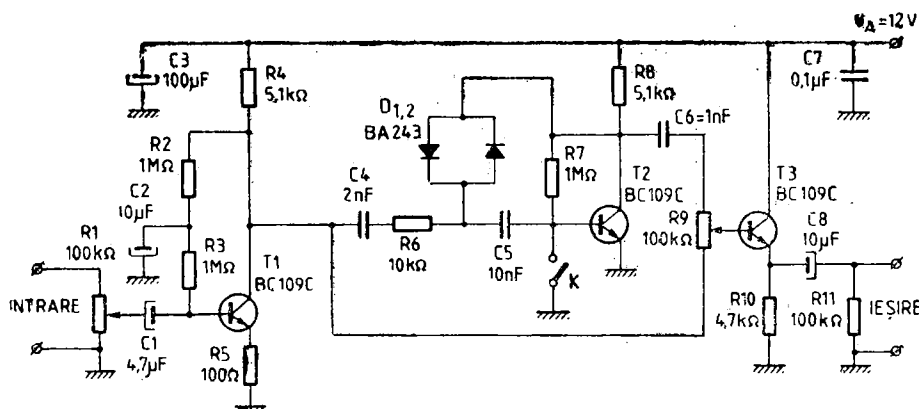


Figura 4.3 Reducător de zgomot — varianta 1.

simultan etajului repetor pe emitor, care conține tranzistorul $T3$ și etajului amplificator de tensiune, care conține tranzistorul $T2$. Ultimul preia doar semnalul de audiofrecvență cu spectrul peste 3 kHz, datorită filtrului trece-sus creat de grupul $C4 R6 C5 R7 R_{beT2}$.

Amplificatorul de tensiune are rolul de a compensa limitarea în amplitudine a semnalului de audiofrecvență, introdusă de filtrul trece-sus. Din colectorul tranzistorului T_2 , prin intermediul condensatorului C_6 , semnalul prelucrat, care conține numai frecvențe înalte, este aplicat în baza lui T_3 . T_2 a efectuat însă defazarea cu 180° a semnalului audio de frecvență înaltă. Deci cele două semnale, cel nemodificat și cel prelucrat, se însumează prin intermediul potențiometrului R_9 și apoi sunt aplicate simultan în baza lui T_3 .

Printr-un reglaj convenabil al însumării celor două semnale aflate în opoziție de fază (modificind poziția cursorului potențiometrului semi-reglabil R_9), semnalele de nivel mic ($U < 3$ mV), cu frecvență care depășește valoarea de 3 kHz, se elimină complet. Grupul de diode $D_1 D_2$ are rolul de a scoate din funcțiune (prin limitare) etajul care conține tranzistorul T_2 , deoarece semnalele de audiofrecvență de nivel mare și frecvență înaltă trebuie să rămână nemodificate.

Reducătorul de zgomot se poate scoate din funcțiune, după dorință, prin închiderea comutatorului K . În acest fel se blochează funcționarea lui T_2 (se conectează baza la masa montajului). Eficiența montajului constă în reducerea zgomotului de fond cu cca $8 \div 10$ dB.

4.3 REDUCĂTOR DE ZGOMOT 2

O variantă simplă de filtru de zgomot, ușor de realizat practic și care nu necesită componente electrice greu de procurat (tranzistoare cu efect de cîmp), este prezentată în fig. 4.4. La baza funcționării montajului se află sesizarea de către acesta a componentelor de frecvență înaltă și amplitudine mare ale semnalului audio util. În momentul în care ele

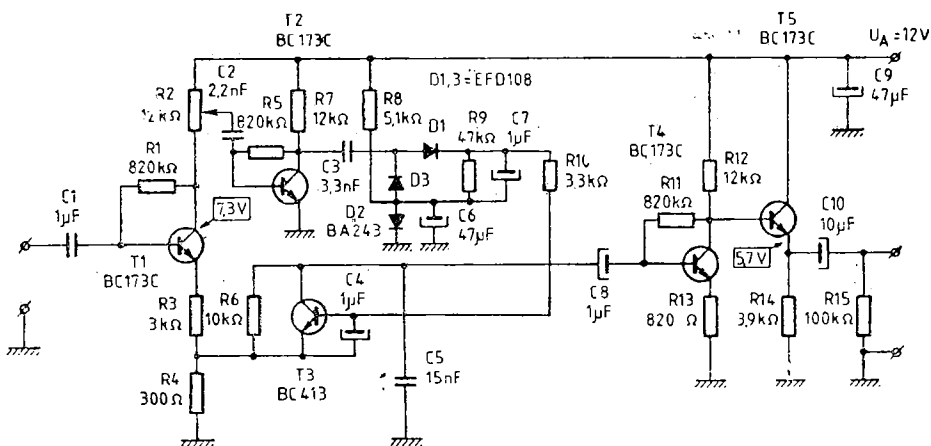


Figura 4.4 Reducător de zgomot — varianta 2.

lipsesc, este actionat un filtru trece jos, care limitează banda de trecere a frecvențelor înalte la cca 1,5 kHz. Astfel se elimină zgomotul de fond care apare în pauzele dintre pasajele muzicale sau cînd semnalul audio util prezintă în banda frecvențelor înalte o amplitudine redusă.

Montajul are următoarele performanțe :

- impedanță de intrare $Z_i = 100 \text{ k}\Omega$
- tensiunea nominală de intrare $U_i = 400 \text{ mV}$
- banda de frecvență de lucru $\Delta f = 25 \text{ Hz} \div 20 \text{ kHz}$
- frecvență de tăiere a filtrului trece jos $f_c = 1,5 \text{ kHz}$
- atenuarea în lipsa frecvențelor înalte $A = 10 \div 45 \text{ dB}$ (regabilă)
- distorsiuni armonice totale THD $\leq 0,6\%$.

Semnalul audio util se aplică la intrarea montajului, prin intermediul condensatorului $C1$, etajului de intrare care conține tranzistorul $T1$. Din colectorul lui $T1$, semnalul audio se preia prin intermediul condensatorului $C2$ și se aplică unui etaj amplificator de tensiune, care conține tranzistorul $T2$. Condensatorul $C2$ și rezistența de intrare a lui $T2$ realizează un filtru trece-sus, care permite trecerea și amplificarea doar a semnalelor de frecvență înaltă. Din colectorul lui $T2$, semnalul filtrat se aplică prin intermediul condensatorului $C3$ redresorului cu dublare de tensiune, care include diodele $D1$ și $D2$. Condensatorul $C3$ împreună cu impedanța de intrare a redresorului realizează un al doilea filtru trece-sus, astfel că atenuarea însumată a frecvențelor joase începe de la frecvența de 6 kHz (-3 dB) cu o pantă de cca 10 dB/octavă.

Parametrii finali ai celor două filtre trece-sus inseriate s-au ales din considerente practice, deoarece s-a constatat că o astfel de caracteristică optimizează funcționarea filtrului de zgomot pentru majoritatea programelor muzicale.

Dioda $D3$ are rolul de limitare a tensiunii continue pulsatorii la un prag inițial prestabilit pentru funcționarea pe porțiunea liniară a tranzistorului $T3$ ($U_{min} = 0,6 \text{ V}$).

Tensiunea continuă pulsatorie furnizată de redresorul cu dublare de tensiune este aplicată prin intermediul rezistenței $R10$ filtrului trece-jos, format din rezistența $R6$, tranzistorul $T3$ și condensatorul $C5$. Rezistența echivalentă colector-emitor a lui $T3$ este comandată de tensiunea continuă furnizată de filtru. În momentul lipsei frecvențelor înalte, tensiunea mică de comandă determină o rezistență echivalentă mare colector-emitor a lui $T3$. În acest fel, filtrul trece-jos $R6 C5$ limitează semnalul audio util, lăsind să treacă spre ieșirea montajului doar componente de frecvență medie și joasă. În cazul în care semnalul audio util prezintă un spectru bogat de frecvențe înalte, tensiunea continuă, de valoare ridicată, furnizată de redresorul cu dublare de tensiune, determină apariția unei rezistențe echivalente colector-emitor reduse a tranzistorului $T3$. În această situație semnalul audio util trece nemonificat spre ieșirea montajului, deoarece rezistența $R6$ este suflată de către $T3$, eliminându-se astfel acțiunea filtrului trece-jos $R6 C5$.

În scopul împiedicării pătrunderii pulsărilor tensiunii continue de comandă (furnizată de redresorul cu dublare de tensiune), s-a prevăzut amplasarea între baza și emitorul lui $T3$ a condensatorului $C4$. Aceasta, împreună cu $R10$ formează un filtru trece-jos care optimizează comanda în tensiune a lui $T3$.

Semnalul audio prelucrat este aplicat, prin intermediul condensatorului $C8$, etajului de amplificare care conține tranzistorul $T4$. Se observă că semnalul audio util destinat prelucrării de filtrul trece-jos ($R6 C5 T3$) este prelucrat de divizorul de tensiune $R3 R4$ aflat în emitorul lui $T1$. Sem-

nalul audio util a fost micșorat în scopul limitării distorsiunilor neliniare care ar putea fi introduse de rezistența echivalentă colector-emitor a tranzistorului T_3 . Pentru readucerea la nivelul inițial, semnalul este amplificat de către T_4 , cu cca 23 dB.

Pentru realizarea unei rezistențe de ieșire convenabile a montajului, s-a prevăzut etajul repetor pe emitor, care conține tranzistorul T_5 . El este cuplat galvanic cu T_4 tot în scopul minimizării factorului total de distorsiuni THD introduse de montaj.

Pragul de acționare al filtrului de zgomot este determinat de poziția cursorului potențiometrului R_2 . Poziția dinspre emitorul tranzistorului T_2 corespunde pragului minim de prelucrare introdus de montaj (cca -45 dB).

Montajul se realizează pe o placă de sticlostratitex placat cu cupru. La realizarea traseelor de cablaj imprimat se iau toate măsurile pentru montaje de acest gen, și anume traseu de masă lat de minim 3 mm, lipsa buclei de masă, structura fizică de cuadripol a blocurilor funcționale etc. Se folosesc componente electrice de bună calitate.

După realizarea practică, se alimentează montajul de la o sursă de tensiune $U_A = 12$ V, stabilizată și bine filtrată.

Se verifică prezența tensiunilor menționate în schema electrică. În cazul unor diferențe mai mari de 5%, se fac următoarele modificări, în scopul reducerii la regimul normal de funcționare.

Etajul	T_1	T_2	T_4
	R_1	R_5	R_{11}
Rezistența căreia își se modifică valoarea (cu cca 10 ÷ 15%)			

După aceste reglaje, montajul se intercalează funcțional la magnetofon, casetofon sau pick-up, între etajul corector de ton și amplificatorul de putere. Se pornește aparatul și, acționând cursorul potențiometrului semireglabil R_2 , se stabilește nivelul de corecție dorit al semnalului audio util.

După efectuarea acestor reglaje, montajul se ecranează folosind o cutie din tablă de fier, după care se rigidizează în ansamblul electroacustic. Obligatoriu, legăturile ce privesc semnalul audio util se realizează cu conductor ecranat.

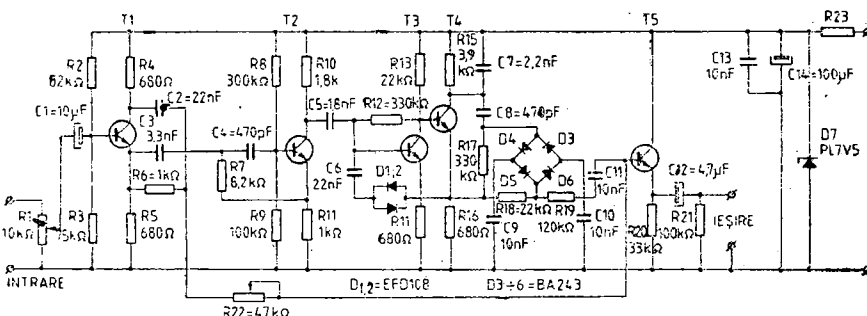
4.4 DNL

DNL-ul este un montaj relativ simplu de realizat, cu performanțe bune și care nu necesită reglaje speciale.

Montajul din fig. 4.5 face parte din categoria limitatoarelor dinamice de zgomot (DNL = *Dinamic Noise Limitor*). Principiul de funcționare al montajului se bazează pe însumarea a două semnale de audio-frecvență în opozitie de fază, și anume semnalul inițial și un semnal prelucrat, însumare care urmărește anularea zgomotului de fond nedorit. Cunoscind nivelul aproximativ al zgomotului de fond, precum și banda de frecvență la care apare, se poate realiza un semnal prelucrat din spectrul audio al semnalului inițial, care să reprezinte tocmai zgomotul de fond.

Acest semnal prelucrat este în antifază cu semnalul de audiofrecvență inițial. Prin însumarea finală dintre semnalul inițial și semnalul prelucrat se obține semnalul util de audiofrecvență, fără zgomotul de fond nedorit.

Funcțional, DNL-ul se intercalează în lanțul audio între etajul corrector de ton și amplificatorul final de putere.



TRANZISTOR	T1	T2	T3	T4	T5
Uc	5	6	1.1	4.05	7.5
Ub	2.5	2.9	0.8	1.1	2.15
Ue	1.85	2.5	0.18	0.4	1.6

Figura 4.5 Reducător de zgomot — DNL.

Semnalul de audiofrecvență se aplică etajului de intrare care conține tranzistorul T_1 , prin intermediul condensatorului C_1 . Pentru reglarea nivelului semnalului de intrare a fost prevăzut potențiometrul R_1 . Din colectorul lui T_1 , prin intermediul grupului C_2 R_{22} , semnalul este aplicat în baza tranzistorului T_5 . Același semnal, dar defazat cu 180° , este preluat de un lanț de prelucrare suplimentară, din emitorul lui T_1 , prin intermediul condensatorului C_3 . Grupul C_2 R_6 permite păstrarea unui defazaj constant în banda de frecvență audio, între semnalul inițial și semnalul ce urmează să fie prelucrat.

Blocul de prelucrare suplimentară a semnalului audio constă dintr-un filtru cu 3 celule pentru frecvențele ridicate, dintr-un amplificator cu 2 etaje și dintr-un redresor. În compunerea primelor două celule ale filtrelor intră condensatoarele C_3 , C_4 și rezistorul R_7 , împreună cu rezistența de intrare a lui T_2 . Atenuarea în jurul frecvenței de 2 kHz este de ordinul 12 dB/octavă. Frecvența de tăiere a filtrului este de cca 4,5 kHz. Amplificarea în tensiune a tranzistorului T_2 este de 5 dB.

A treia celulă a filtrului este formată din rezistorul R_{10} , condensatorul C_5 și rezistența de intrare a etajului format cu tranzistorul T_3 . Atenuarea generală a filtrului este cca 18 dB/octavă. De la colectorul lui T_2 , semnalul se aplică la intrarea amplificatorului cu 2 etaje, realizat cu T_3 și T_4 . Amplificatorul prezintă o buclă de reacție negativă, a cărei tensiune se ia din emitorul tranzistorului T_4 prin intermediul diodelor D_1 și D_2 , și se aplică prin intermediul lui C_6 în baza lui T_3 . Această reacție negativă limitează amplitudinea tensiunii pe emitorul tranzistorului T_4 la valoarea de 0,6 V, ceea ce coincide cu tensiunea de deschidere a diodelor D_5 și D_6 .

Dacă nu ar exista această limitare, tensiunea de încărcare a condensatorilor C_8 și C_{10} ar fi depins de mărimea semnalului pe emitorul lui

T₄, fapt care ar fi împiedicat funcționarea normală a DNL-ului. Amplificarea în tensiune a etajului care conține tranzistorul *T₃* trebuie să fie 26 dB, fapt care implică alegerea tranzistorului *T₄* cu un factor de amplificare în curent $h_{21E} = 400 - 450$.

Modificarea rezistorului *R₁₂* nu este indicată, deoarece prin acest lucru se modifică rezistența de intrare a etajului, deci caracteristica de frecvență a întregului filtru. Amplificarea în tensiune a lui *T₄* este de cca 15 dB.

Modul de funcționare al blocului de prelucrare suplimentară a semnalului rezultă imediat din analiza funcționării grupului de diode al redresorului. În momentul apariției unui semnal audio care conține în spectru suficiente frecvențe înalte, condensatorii *C₉* și *C₁₀* se încarcă prin diodele *D₃*, *D₄* ale redresorului. Cind tensiunea pe diagonala punții atinge 0,6 V, diodele *D₅*, *D₆* se deschid și semnalul care intră prin rezistorul *R₁₈* trece la masă prin condensatorii *C₉*, *C₁₀*. Ca rezultat, semnalul din colectorul lui *T₁* va trece prin *C₂* și *R₂₂* în baza lui *T₅*, care funcționează ca repetor pe emitor, și din emitorul lui *T₅* la ieșirea DNL-ului, fără nici o modificare.

În pauzele dintre pasajele muzicale tensiunea de zgomot este insuficientă pentru a încărca condensatoarele *C₉* și *C₁₀* pînă la tensiunea de deschidere a diodelor *D₅* și *D₆*. Ca urmare tensiunea de zgomot, prin rezistoarele *R₁₈*, *R₁₉* și condensatorul *C₁₁*, se aplică în baza tranzistorului *T₅*. Tot aici apare și tensiunea de zgomot transmisă pe cale directă prin *C₂* și *R₂₂*. Datorită faptului că cele două tensiuni se află în opozitie de fază, ele se anulează reciproc și nu ajung la ieșirea DNL-ului. Pentru anularea totală se egalează nivelul acestor tensiuni cu ajutorul lui *R₂₂*. Prezența repetorului pe emitor din partea finală a DNL-ului este absolut necesară pentru funcționarea normală a etajelor prezентate anterior, pentru adaptarea corectă dintre ieșirea DNL-ului și intrarea amplificatorului final de putere.

Alimentarea montajului se face de la o sursă de tensiune stabilizată și bine filtrată. În funcție de valoarea tensiunii de alimentare disponibile și cunoșcind consumul montajului, se va dimensiona rezistența *R₂₃*, alegind un curent corespunzător prin dioda Zener *D₇*.

Pentru realizarea practică a DNL-ului se face un cablaj imprimat îngrijit, cu legături cât mai scurte și evitarea categorică a buclei de masă. Se recomandă utilizarea componentelor electrice de bună calitate (rezistoare cu peliculă metalică, condensatoare cu tantal) iar tranzistoarele folosite (de tipul BC 109 C sau BC 173 C) se aleg cu un zgomot propriu minim. Diodele *D₁—D₆* trebuie să prezinte caracteristici de funcționare identice.

După realizarea practică a montajului, acesta se alimentează de la sursa de tensiune a aparatului (casetofon, magnetofon, amplificator audio) la care se montează DNL-ul și se verifică punctele statice de funcționare ale etajului conform tensiunilor menționate în tabelul din fig. 4.5. Tensiunile se vor măsura cu un voltmetru electronic cu o impedanță de intrare de 1 MΩ.

După verificarea tensiunilor, se intercalează DNL-ul în lanțul audio între etajul corector de ton și etajul final și se efectuează reglajul dinamic pentru reducerea zgomotului de fond. Pentru acest lucru se pleacă din

poziția $R1$ cu cursorul la masă și $R22$ cu cursorul la mijloc. Se conectează la ieșirea amplificatorului final un osciloscop pentru vizualizarea semnalului de ieșire pe sarcină (difuzor sau rezistență echivalentă).

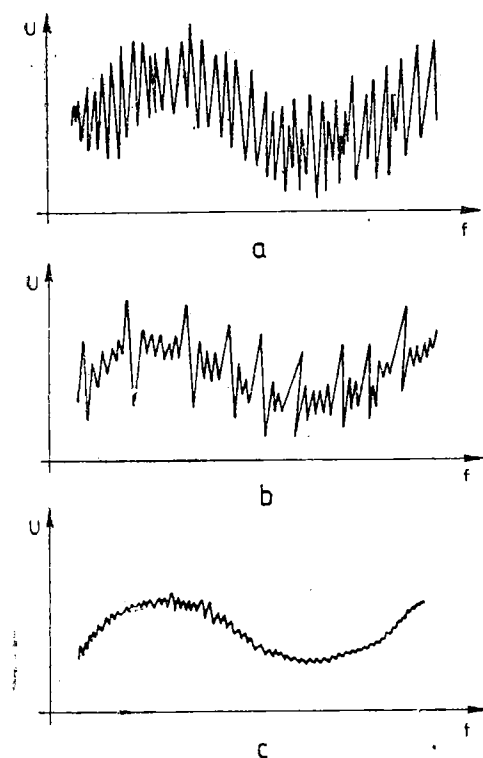


Figura 4.6 Reglajele DNL-lui a) semnalul inițial; b) reglaj intermediar; c) semnalul final.

de zgomot (transformator de rețea, motor de antrenare a benzii etc.). Legăturile electrice pentru transmiterea semnalului de audiofreq-

Se acționează volumul amplificatorului la maxim. În lipsa DNL-ului, se va auzi în difuzor un fișit puternic, iar semnalul vizualizat cu ajutorul osciloscopului va avea forma din figura 4.6.a. Se crește treptat tensiunea la intrarea DNL-ului, pînă cînd se obține diagrama din fig. 4.6.b. Apoi, se ajustează valoarea rezistenței $R22$ pînă cînd zgomotul de fond dispără complet (fig.4.6.c). În cazul folosirii DNL-ului la casetofon sau magnetofon, reglajele susmenționate se efectuează cu o bandă magnetică neînregistrată, pe poziția „Redare”. Atenuarea introdusă de către DNL funcție de nivelul semnalului este menționată în fig. 4.7. Este indicată folosirea unui comutator, pentru intercalarea după dorință a DNL-ului în lanțul audio, folosindu-se varianta din fig. 4.8.

În final, DNL-ul se ecranează cu o cutie din tablă de fier de grosime minimă 1 mm și se amplasează în interiorul montajului, cît mai departe de sursele

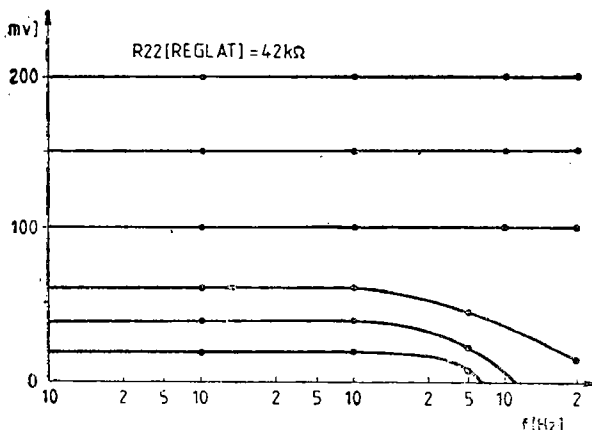


Figura 4.7 Caracteristicile de transfer ale DNL-ului.

vență pe traseul corector de ton — DNL — amplificator final se realizează cu cablu ecranat. Montajul se poate realiza și în varianta stereo, reglajele menționate anterior făcindu-se separat pentru fiecare canal.

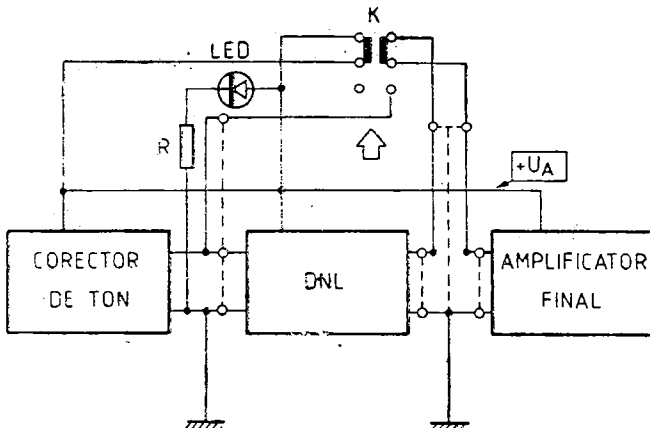


Figura 4.8 Interconectarea DNL-ului în lanțul electroacustic.

4.5 DNF .

DNF-ul reprezintă un accesoriu întărit destul de des în componența unui amplificator de audiofrecvență din categoria Hi-Fi (DNF = Dynamic Noise Filter). Prințipiu de funcționare constă în limitarea semnalelor de audiofrecvență de nivel mic și cu spectrul de frecvență situat în banda frecvențelor medii-înalte. În acest fel zgomotul de fond, situat în această regiune a benzii de audiofrecvență ($2 \text{ kHz} \div 16 \text{ kHz}$), este eliminat. Ansamblul blocurilor funcționale ale DNF-ului este prezentat în fig. 4.9. Se observă că DNF-ul este realizat pentru un semnal de audiofrecvență stereo, deoarece astăzi nu se mai poate concepe un sistem Hi-Fi cu un singur canal. Se menționează că DNF-ul funcționează foarte bine și pentru un semnal de audiofrecvență mono.

Analizând schema blocurilor funcționale, se observă că cele două semnale ale celor două canale informaționale „S” și „D” se aplică simultan blocurilor de prelucrare *BPS* și *BPD*, și unui bloc sumator *BΣ*. După ce efectuează însumarea celor două semnale *S* și *D* (acest lucru nu afectează separarea completă a semnalelor *S* și *D* aplicate blocurilor *BPS* și *BPD*) ele sint aplicate unui bloc de filtraj *BF*. Acesta are rolul de a lăsa să treacă numai semnalele de frecvență medie-înalță, eliminând complet spectrul frecvențelor joase. Ulterior, semnalul rezultat este amplificat și aplicat blocului redresor integrator *BI*. În final, se obține o tensiune con-

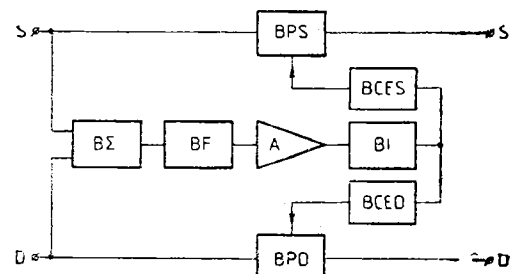


Figura 4.9 Schema bloc a DNF-ului.

tinuă care, în funcție de nivelul său, acționază sau nu comutatoarele electronice aflate în blocurile *BCE*.

Comutatoarele electronice au rolul de a introduce sau nu prin circuitul de reacție negativă aflat în *BPS* și *BPD* bucla de reacție negativă care limitează spectrul frecvențelor medii-inalte. Astfel, dacă tensiunea continuă obținută din integratorul *BI* nu are un anumit nivel, comutatorul electronic rămîne blocat, iar bucla de reacție negativă din blocurile *BPS* și *BPD* acționează, limitînd spectrul frecvențelor medii-inalte (pînă la eliminarea lor completă, dacă nivelul semnalului audio inițial este comparabil cu nivelul zgomotului de fond). Dacă tensiunea continuă depășește nivelul prestabilit, comutatorul electronic se deschide, bucla de reacție negativă este scoasă din circuit (pusă la masă) iar banda de audiofrecvență rămîne nemodificată. Schema electrică a DNF-ului este prezentată în fig. 4.10. Canalul „*D*” e identic cu „*S*”. Semnalele de audiofrecvență *S* și *D* se aplică simultan etajelor identice ale celor două canale.

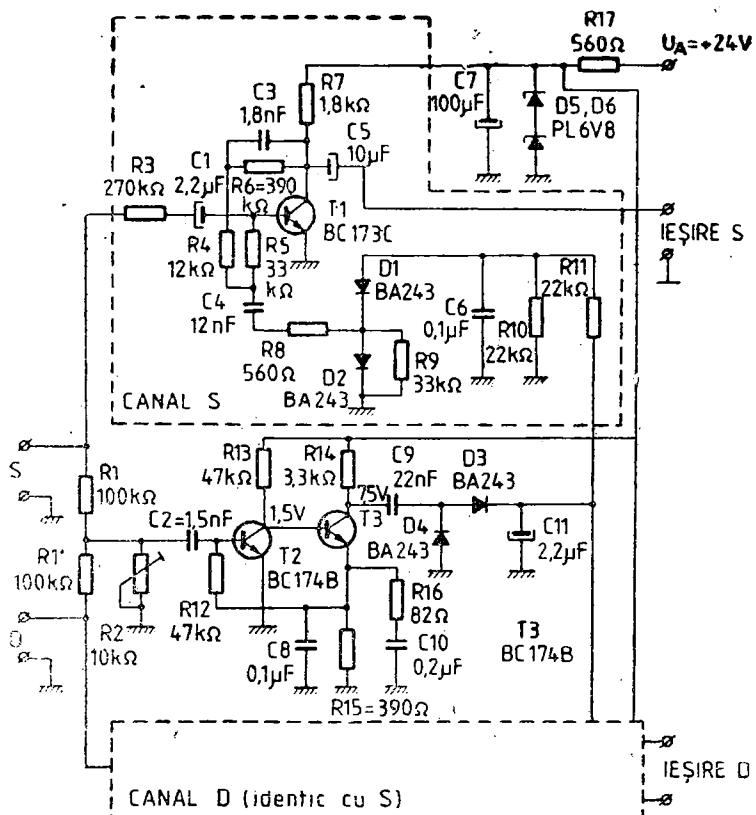


Figura 4.10 Schema electrică a DNF-ului.

Semnalul *S* se aplică etajului care conține tranzistorul *T1*, prin intermediul grupului *R3 C1*. Simultan, semnalul *S* (ca și *D*) se aplică blocului sumator-amplificator care conține tranzistoarele *T2* și *T3*. Nivelul semnalului sumă *S+D* este reglat cu potențiometrul semireglabil *R2*. Banda de trecere a semnalului *S+D* este limitată inferior de filtrul trece-

sus $C2$ și $R12$, care are rolul de a lăsa să treacă în continuare numai semnalele $S+D$ de frecvență medie-inaltă. Semnalul $S+D$ amplificat de tranzistoarele $T2$ și $T3$ este redresat de către redresorul cu dublare de tensiune format din grupul $C9 D3 D4 C11$, iar la bornele condensatorului $C6$ se obține o tensiune continuă. Această tensiune continuă acționează comutatorul electronic format din grupul $D1 D2 R9$, funcție de nivelul ei. Immediat ce tensiunea continuă depășește valoarea de 1,2 V la bornele condensatorului $C6$, diodele $D1$ și $D2$ se deschid, iar bucla de reacție negativă $C3 R6 C4$ este pusă la masă prin intermediul grupului $C4 R8$. Acest lucru permite ca banda de audiofrecvență să rămână nemodificată, deoarece în cazul cînd diodele $D1$ și $D2$ sunt blocate, bucla de reacție negativă, $C3 R6 R4$, limitează trecerea frecvențelor medii-inalte spre ieșirea etajului. Lucrurile se petrec simultan pentru cele 2 canale informaționale „ S ” și „ D ”. Dioda $D1$ a fost prevăzută pentru a elimina influența reciprocă dintre blocurile BPS și BDP . Rezistența $R9$ a fost prevăzută pentru liniarizarea funcționării comutatorului electronic (atunci cînd $D2$ este blocată). Grupul $R17 D5 D6 C7$ asigură obținerea unei tensiuni continue stabilizate și bine filtrate pentru alimentare.

Deoarece consumul total al montajului este mic, el nu afectează consumul energetic total al ansamblului electroacustic în care DNF-ul este montat.

Montajul se realizează pe o placă de sticlostratitex placat cu cupru. Se folosesc numai componente electronice de bună calitate (rezistoare tip RPM, condensatoare cu tantal sau multistrat etc.). Se montează componentele electronice pe placa de cablaj imprimat cu grijă, orice eroare ducind la cel puțin nefuncționarea montajului. Se alimentează montajul cu o tensiune continuă de 24 V și se măsoară valorile tensiunilor continue în punctele indicate pe schema electrică. Dacă tensiunea măsurată în colectorul tranzistorului $T1$ diferă de valoarea indicată, se modifică în limite restrinse valorile rezistențelor $R7$ și $R6$, pentru stabilirea corectă al punctului static de funcționare; în vederea evitării distorsionării semnalelor S și D . După măsurările anterioare se intercalează montajul în lanțul de audiofrecvență în conformitate cu fig. 4.11.

În cazul folosirii montajului într-un magnetofon se fac următoarele reglări :

- se aduce cursorul $R2$ la „punctul cald” (se strapează complet);

- se acționează magnetofonul pe funcția „Redare” folosind o bandă magnetică neînregistrată;

- se aude în difuzoare un fișit care reprezintă zgomotul ce trebuie eliminat;

- se acționează cu grijă cursorul potențiometrului semireglabil $R2$ pînă cînd fișitul dispără.

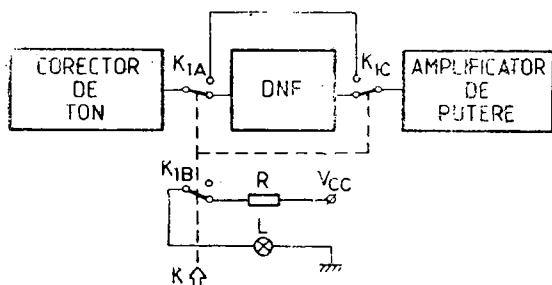


Figura 4.11 Interconectarea DNF-ului într-un aparat electroacustic.

În cazul folosirii montajului într-un aparat de radio se fac următoarele reglări :

- se aduce cursorul potențiometrului semireglabil $R2$ la „punctul cald” (se strapează complet) ;
- se comută radioul pe gama „UKW” ;
- se mărește volumul, fără a recepționa un post ;
- în difuzoare se aude un fișit. Dacă radioul este stereo, se acționează modul de funcționare „stereo” ;
- se acționează cu grijă cursorul potențiometrului semireglabil $R2$ pînă cînd fișitul dispare.

4.6 DNR

DNR-ul este un accesoriu întinut destul de des în componența unui amplificator de audiofrecvență din categoria Hi-Fi. Denumirea provine de la inițialele cuvintelor *Dynamic Noise Reductor* acest lucru însănumind reductor dinamic de zgomot. Prințipiu de funcționare al acestui montaj electronic constă în limitarea semnalelor de audiofrecvență de nivel mic, cu spectru de frecvență situat în banda $1,5$ kHz – 16 kHz, regiune în care se situează zgomotul de fond (mai ales acel fișit nedorit, prezent în pauzele dintre pasajele muzicale înregistrate pe o bandă magnetică). În acest fel calitatea unei audiții muzicale este substanțial îmbunătățită. DNR-ul se poate utiliza cu succes și în cazul înregistrării pe bandă magnetică a unui program muzical mai vechi, sporindu-se astfel raportul semnal-zgomot și acuratețea înregistrării.

Performanțele montajului prezentat sint :

- tensiunea de alimentare 18 V
- impedanță de intrare 100 k Ω
- impedanță de ieșire 10 k Ω
- banda de frecvențe de lucru 20 Hz – 20 kHz
- raport semnal/zgomot ≥ 65 dB
- atenuarea dinamică a zgomotului ≥ 12 dB
- distorsiuni armonice totale $\leq 0,2\%$
- distorsiuni de intermodulație $\leq 0,05\%$.

Schema bloc a montajului este prezentată în fig. 4.12.

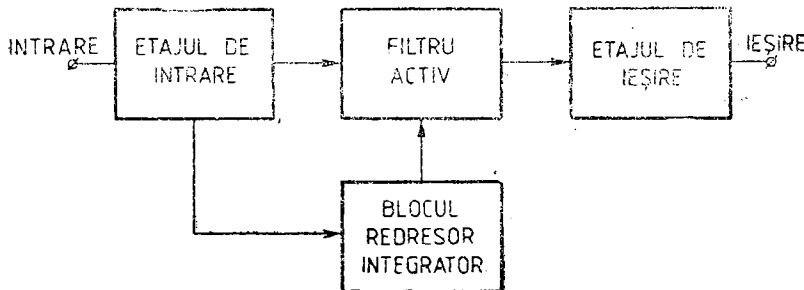


Figura 4.12 Schema bloc a DNR-ului.

Etajul de intrare are următoarele funcții :

- realizează adaptarea dintre impedanță de ieșire a sursei de semnal și impedanță de intrare a montajului ;

- furnizează semnalul de frecvență medie-înaltă destinat blocului redresor-integrator;
- realizează adaptarea de impedanțe necesară bunei funcționări a filtrului activ;
- amplifică practic fără distorsiuni semnalul de intrare, destinat corecțiilor efectuate de filtrul activ.

Blocul redresor-integrator:

- preia de la etajul de intrare semnalul cu spectru de frecvențe medii-înalte și realizează redresarea acestuia;
- efectuează integrarea semnalului redresat, în scopul obținerii tensiunii continue care comandă lungimea benzii de trecere a filtrului activ.

Blocul de filtraj este de tipul filtrelor active comandate în tensiune. În funcție de amplitudinea tensiunii continue preluate de la blocul redresor-integrator, filtrul activ prezintă o bandă de trecere mai largă sau mai îngustă, realizând astfel corecția semnalului audio util.

Etajul de ieșire are următoarele funcții:

- compensează atenuarea semnalului audio util, datorată prelucrării realizate de filtrul activ;
- realizează o impedanță de ieșire convenabilă a montajului, în scopul adaptării cu ușurință în lanțul electroacustic, la intrarea amplificatorului de putere.

Schema electrică a montajului este prezentată în fig. 4.13.

Semnalul se aplică etajului de intrare prin intermediul condensatorului C_4 . Potențiometrul R_1 are rolul de a stabili amplitudinea semnalului de ieșire, astfel încât aceasta să fie egală cu cea a semnalului de intrare prelucrat. Etajul de intrare conține tranzistoarele T_1 și T_2 amplasate într-o configurație super-G. Acest lucru oferă, în urma aplicării unor reacții negative, o stabilitate în funcționare foarte bună a montajului, o bandă de trecere largă, care include banda de audiofrecvență, și distorsiuni armonice foarte mici.

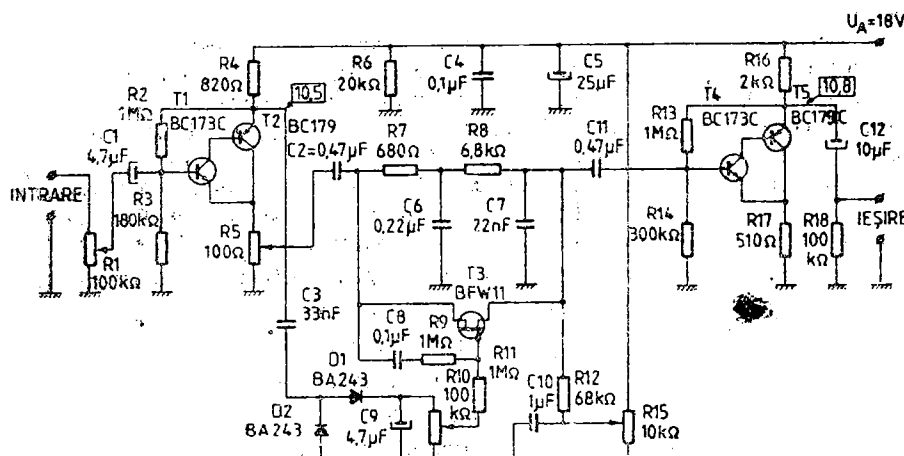


Figura 4.13 Schema electrică a DNR-ului.

Reacția negativă este realizată atât de către R_2 cât și de R_5 . Amplificarea etajului de intrare este reglementată de raportul rezistențelor R_4 și R_5 . Semnalul de audiofrecvență ce urmează a fi prelucrat se preia, prin

intermediul condensatorului C_2 , de la cursorul potențiometrului semireglabil R_5 . Semnalul cu spectru de frecvențe medii-inalte, destinat prelucrării în blocul redresor-integrator, este preluat din emitorul lui T_2 , prin intermediul condensatorului C_3 . Valoarea acestuia reglementează frecvența minimă de la care urmează să intre în funcțiune corecția semnalului audio util, realizată de filtrul activ.

Blocul redresor-integrator conține un redresor cu dublare de tensiune, format din grupul $C_3 D_1 D_2 C_9$. În același timp, condensatorul C_9 realizează funcția de integrare a semnalului redresat, furnizind la bornele rezistenței R_{10} o tensiune continuă variabilă. Amplitudinea tensiunii continue este direct proporțională cu amplitudinea semnalului audio util de frecvențe medii-inalte ($f < 1,5 \text{ kHz}$). Constanta de timp a grupului $R_{10} C_9$ s-a ales astfel încât funcționarea filtrului activ să fie rapidă și eficientă.

Amplitudinea tensiunii continue care determină funcționarea filtrului activ se stabilește de către potențiometrul semireglabil R_{10} . Filtrul activ este realizat prin conectarea în paralel a unui filtru pasiv trecejos de ordinul II și a unei rezistențe variabile. Tranzistorul T_3 , de tip FET, este amplasat într-o configurație de rezistență variabilă comandată în tensiune. Rezistența drena-sursă r_{DS} a tranzistorului T_3 este invers proporțională cu amplitudinea tensiunii continue furnizate de blocul redresor-integrator.

În momentul în care semnalul audio util prezintă un spectru restrins de frecvențe medii-inalte cu amplitudine mică (sau în timpul pauzelor dintre pasajele muzicale) tensiunea continuă furnizată de blocul redresor-integrator prezintă o valoare redusă. Acest lucru implică o rezistență r_{DS} mare a lui T_3 (de ordinul sutelor de $\text{k}\Omega$). În această situație semnalul audio util trece practic doar prin filtrul pasiv, fiind corectat corespunzător de acesta. Corecția funcționează și la apariția unor semnale cu frecvențe medii-inalte aleatoare nedorite (zgomote, pocnituri etc.), deoarece constanta de timp a celulei $R_{10} C_9$ din blocul integrator, a fost astfel aleasă încit filtrul activ să elimine acest tip de perturbații. Atunci cînd semnalul audio util conține un spectru bogat de frecvențe înalte, cu amplitudine mare, blocul redresor-integrator furnizează o tensiune continuă de valoare ridicată. Aplicată pe grila lui T_3 , ea determină micșorarea rezistenței r_{DS} (la o valoare de ordinul zecilor de ohmi), astfel încit filtrul pasiv este practic scurtcircuitat de aceasta. În această situație semnalul audio util trece nemodificat spre etajul de ieșire. Pentru liniarizarea caracteristicilor tensiune-curent ale tranzistorului T_3 , s-a prevăzut grupul $C_8 R_9 R_{11}$. Acest gen de reacție în curent alternativ permite funcționarea filtrului activ cu distorsiuni foarte reduse.

De la ieșirea filtrului activ, prin intermediul condensatorului C_{11} , semnalul audio util prelucrat se aplică etajului de ieșire. Acesta are aceeași configurație a schemei electrice cu cea a etajului de intrare, din considerente similare. Semnalul ajunge la bornele de ieșire ale montajului prin condensatorul C_{12} .

Montajul se realizează pe o placă de sticlostratitex placat cu cupru. În funcție de gabaritul componentelor folosite, constructorul amator poate modifica unele distanțe dintre componente, păstrînd însă configurația

de bază a circuitului. Se vor folosi componente electrice de cea mai bună calitate (rezistoare de tip RPM, condensatoare cu tantal, multistrat, mică etc.).

Se recomandă ca fiecare componentă electrică să fie verificată înainte de montarea pe plăcuță. Verificarea lui T_3 se face separat, folosind montajul a căruia schemă electrică este prezentată în fig. 4.14. La manevrarea potențiometrului P_1 , acționind cursorul dinspre A spre B , tranzistorul trebuie să intre progresiv în conducție, fapt verificat cu ajutorul voltmetrului amplasat între drena și sursa tranzistorului.

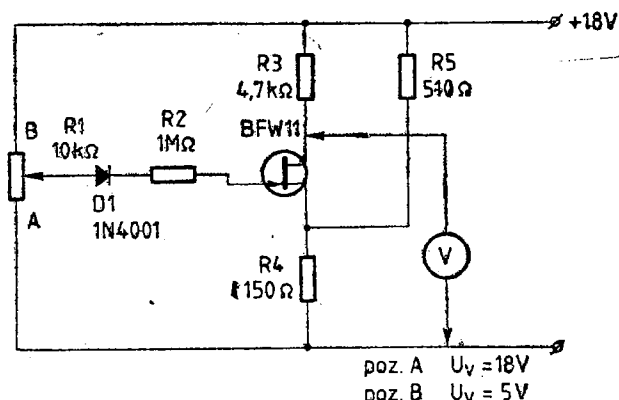


Figura 4.14 Verificarea tranzistorului FET.

După amplasarea componentelor pe plăcuță de cablaj imprimat, se reverifică montajul, deoarece orice greșală duce la cel puțin nefuncționarea acestuia. Se dă o atenție deosebită amplasării corecte a tranzistorului T_3 . Montajul se alimentează de la o sursă de tensiune stabilizată și bine filtrată. Inițial se strapează cele două intrări ale montajului și ulterior, după ce s-a conectat tensiunea la bornele de alimentare, se verifică prezența tensiunilor continue, în conformitate cu valorile menționate de schema electrică. După asta se întrerupe alimentarea montajului, se scot strapurile de la cele două intrări și, pentru efectuarea reglajelor ce privesc funcționarea corectă a montajului, se acționează potențiometrii de reglaj pornind de la următoarea situație inițială :

R_1 — cursorul spre borna de intrare (valoare maximă),

R_5 , R_{10} , R_{15} — cursoarele conectate la masă.

Se aplică la intrarea montajului o tensiune sinusoidală cu amplitudinea $U_e = 250 \text{ mV}$ și frecvența $f = 5 \text{ kHz}$.

Se acționează cursorul potențiometrului semireglabil R_5 pînă ce la ieșirea montajului se obține o tensiune alternativă cu aceeași amplitudine cu cea de la intrare (250 mV , 5 kHz). Apoi se micșorează U_e pînă la 25 mV . Se acționează potențiometrul semireglabil R_{15} pînă ce semnalul de la ieșirea montajului este atenuat cu 20 dB ($U_e = 2,5 \text{ mV}$).

Se acționează potențiometrul semireglabil R_{10} astfel încît la ieșirea montajului să se obțină $U_e = 25 \text{ mV}$.

Reglajele menționate pentru unul dintre cele două canale ale montajului se repetă și pentru celălalt.

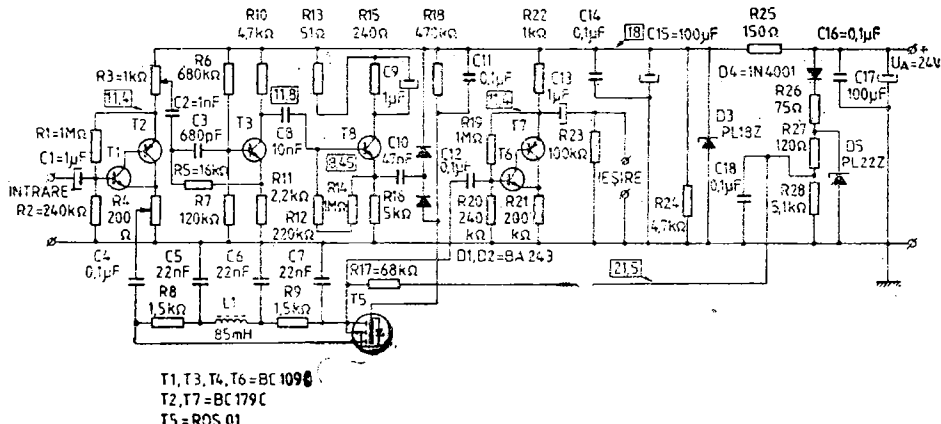
Potențiometrul semireglabil $R1$ a fost prevăzut pentru cazul în care semnalul audio util care urmează a fi prelucrat are o amplitudine mai mare de 250 mV.

După efectuarea reglajelor, montajul se intercalează în complexul electroacustic, între corectorul de ton și amplificatorul de audiofreqvență de putere. Înainte de amplasarea în interiorul în interiorul incintei, montajul se ecranează folosind o cutie din tablă de fier, cu perete de grosime minimă 1 mm. Legăturile electrice care privesc intrările și ieșirile montajului se efectuează folosind obligatoriu conduceator ecranat.

4.7 LIMITATOR DINAMIC DE ZGOMOT (LDZ)

Metoda de eliminare a zgomotului folosită de acest montaj constă în realizarea unui filtru trece jos cu atenuare variabilă în funcție de nivelul și spectrul de frecvență al semnalului util. Acest filtru dinamic permite trecerea semnalului audio atunci cind amplitudinea frecvențelor înalte este ridicată, iar în pauze sau la nivele foarte mici ale acestora blochează spectrul frecvențelor medii-inalte, realizând astfel rejecția totală a zgomotului de fond.

Schema electrică este prezentată în fig. 4.15. Semnalul audio se aplică etajului de intrare, care include tranzistoarele $T1$, $T2$, în baza lui $T1$, prin intermediul condensatorului $C1$. Configurația etajului de intrare permite obținerea unei caracteristici tensiune-frecvență liniară în toată banda



audio, și în același timp adaptarea corespunzătoare între impedanța de ieșire a sursei de semnal și impedanța de intrare a LDZ-ului. O parte a semnalului audio, o preluată de condensatorul $C4$ din colectorul lui $T2$ (prin cursorul potențiometrului $R4$) este aplicată filtrului trece-jos $C5$, $L1$, $C6$ și în același timp în drena tranzistorului $T5$. $T5$, de tip MOSFET, funcționează în montaj ca rezistență variabilă conectată între intrarea și ieșirea filtrului trece-jos. O altă parte a semnalului audio este preluată din emitorul lui $T2$, respectiv cursorul potențiometrului $R3$, și este aplicată în baza lui $T3$. Etajul care conține tranzistorul $T3$ realizează un filtru

activ trece-sus care permite trecerea semnalului audio cu spectrul de frecvență $2,5 \div 18$ kHz.

În continuare semnalul este aplicat etajului care conține tranzistorul T_4 și care reprezintă un amplificator de tensiune. Amplificarea etajului este de cca 40 dB. Din colectorul lui T_4 , prin intermediul condensatorului C_8 , semnalul amplificat se aplică unui redresor cu dublare de tensiune format din diodele $D_1 D_2$ și grupul $C_{11} R_{18}$. Tensiunea continuă obținută la bornele rezistenței R_{18} reprezintă tensiunea de comandă aplicată pe grila tranzistorului T_5 . Această tensiune determină în final valoarea „rezistenței” dintre sursa și drena lui T_5 , valoare care determină atenuarea finală a filtrului trece-jos. Tranzistorul T_5 , în funcție de tensiunea continuă negativă aplicată pe grilă, realizează o rezistență virtuală cu valori cuprinse în gama $50 \Omega \div 2 M\Omega$. Pentru polarizarea corespunzătoare a lui T_5 se folosește o tensiune continuă stabilizată obținută cu ajutorul grupului $D_4 R_{26} D_5$.

Semnalul audio prelucrat se preia de la ieșirea filtrului trece-jos și prin intermediul condensatorului C_{12} este aplicat la intrarea etajului de ieșire. Configurația etajului de ieșire, care conține tranzistoarele T_6, T_7 , este similară cu cea a etajului de intrare, din aceleași considerante.

Pentru alimentarea montajului se folosește o tensiune continuă de 24 V, stabilizată suplimentar de grupul $R_{25} D_3 C_{14}$. Montajul se realizează practic folosind componente de bună calitate. La realizarea cablajului imprimat se folosesc trasee cât mai scurte, evitându-se categoric apariția buclei de masă. Lățimea traseului de masă este de minim 4 mm. Bobina filtrului trece-jos are o inductanță de 85 mH. Se recomandă realizarea ei practică pe carcasa tip oală de ferită, care se ecranează cu un colier metalic. Pentru bobinaj se folosește sârmă CuEm, cu diametrul 0,12 – 0,15 mm.

După realizarea practică a cablajului imprimat se montează componente, cu excepția tranzistorului T_5 . Se alimentează montajul și se verifică tensiunile menționate în schema electrică cu ajutorul unui voltmetriu cu impedanță de intrare de $1 M\Omega$. Caracteristica de funcționare statică a tranzistorului T_4 depinde în mare măsură de factorul de amplificare al acestuia. Se alege un tranzistor cu $h_{21E} \approx 250$ și se modifică valoarea rezistenței R_{12} în jurul valorii indicate în schema electrică, pînă la obținerea în colectorul lui T_4 a tensiunii menționate. Se aplică la intrarea montajului un semnal sinusoidal de 100 mV și se oscilografiază tensiunea obținută la ieșirea filtrului trece-jos. Se ridică o caracteristică tensiune-frecvență în banda audio și se obține diagrama din fig. 4.16. Dacă diagrama obținută diferă în ceea ce privește atenuarea, se verifică valoarea inductanței bobinei L_1 și se modifică în mod corespunzător. Amplitudinea semnalului se reglează cu ajutorul potențiometrului semireglabil R_4 .

Se măsoară tensiunea continuă din anodul diodei D_2 și se ridică o caracteristică tensiune-frecvență în banda audio, care trebuie să coincidă

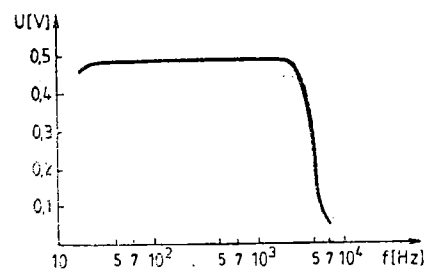


Figura 4.16 Caracteristica tensiune-frecvență a filtrului trece-jos.

cu cea din fig. 4.17. Amplitudinea tensiunii continue se reglează cu ajutorul potențiometrului semireglabil R_3 . Se măsoară valoarea tensiunii negative (3,5 V) dintre traseele corespunzătoare grilei și sursei tranzistorului T_5 , intrarea montajului fiind conectată la masă. Apoi se aplică la intrarea

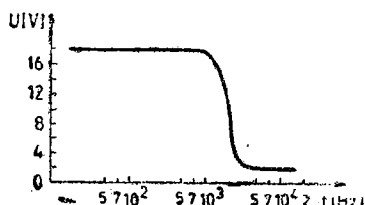


Figura 4.17 Caracteristica tensiune-frecvență în anod D2.

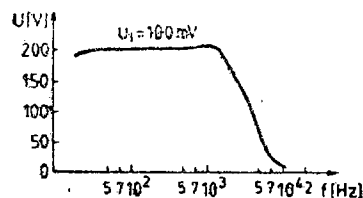


Figura 4.18 Caracteristica tensiune-frecvență cu grila MOSFET-ului la masă.

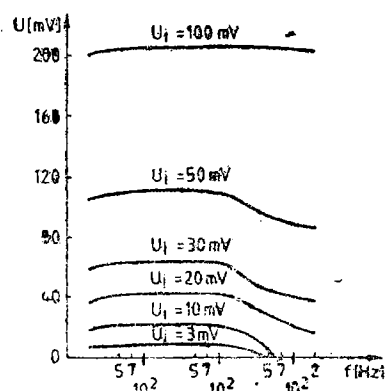


Figura 4.19 Caracteristicile de transfer ale LDZ-ului.

LDZ-ul se intercalează între ieșirea etajului corector de ton și intrarea amplificatorului audio de putere.

Montajul se poate realiza și în varianta stereo, reglajele susmenționate făcându-se separat pentru fiecare canal.

montajului un semnal de 100 mV și se ridică o caracteristică tensiune-frecvență care trebuie să coincidă cu cea prezentată în fig. 4.18. Se deconectează sursa de alimentare, se montează tranzistorul T_5 și se realimentează montajul de la sursa de tensiune de 24 V. Caracteristicile de funcționare ale LDZ-ului sunt prezentate în fig. 4.19.

După realizarea reglaželor prezentate anterior, LDZ-ul se ecranează folosind o cutie din tablă de fier de grosime minimă 1 mm și se montează în interiorul ansamblului electroacustic (magnetofon, amplificator de putere etc.). Din punct de vedere electric,

Din punct de vedere electric,

4.8 LDZ CU CIRCUITE INTEGRATE

Potibilitatea de funcționare la diverse tensiuni de alimentare, consumul redus al montajului și simplitatea realizării practice reprezintă avantaje imediate care vor atrage atenția constructorului amator de Hi-Fi.

Schema electrică este realizată cu circuite integrate, de tip PM 324 și ROB 74. Acest lucru oferă montajului o mare stabilitate a parametrilor electrici la variațiile condițiilor de funcționare, în special temperatură mediului ambiant și posibilele mici variații ale tensiunii de alimentare. De asemenea, montajul prezintă o fiabilitate ridicată în exploatare.

Atunci cînd semnalul audio aplicat la intrarea LDZ-ului conține un spectru suficient al frecvențelor audio medii-înalte, de nivel mare, el trece nemodificat spre amplificatorul final. În pauze, sau atunci cînd semnalul util are un nivel mic, cu spectru sărac în frecvențe medii-înalte, LDZ-ul introduce o atenuare în banda de frecvențe $4 \div 16$ kHz, realizînd rejecția completă a zgomotului de fond. Schema electrică este în figura 4.20.

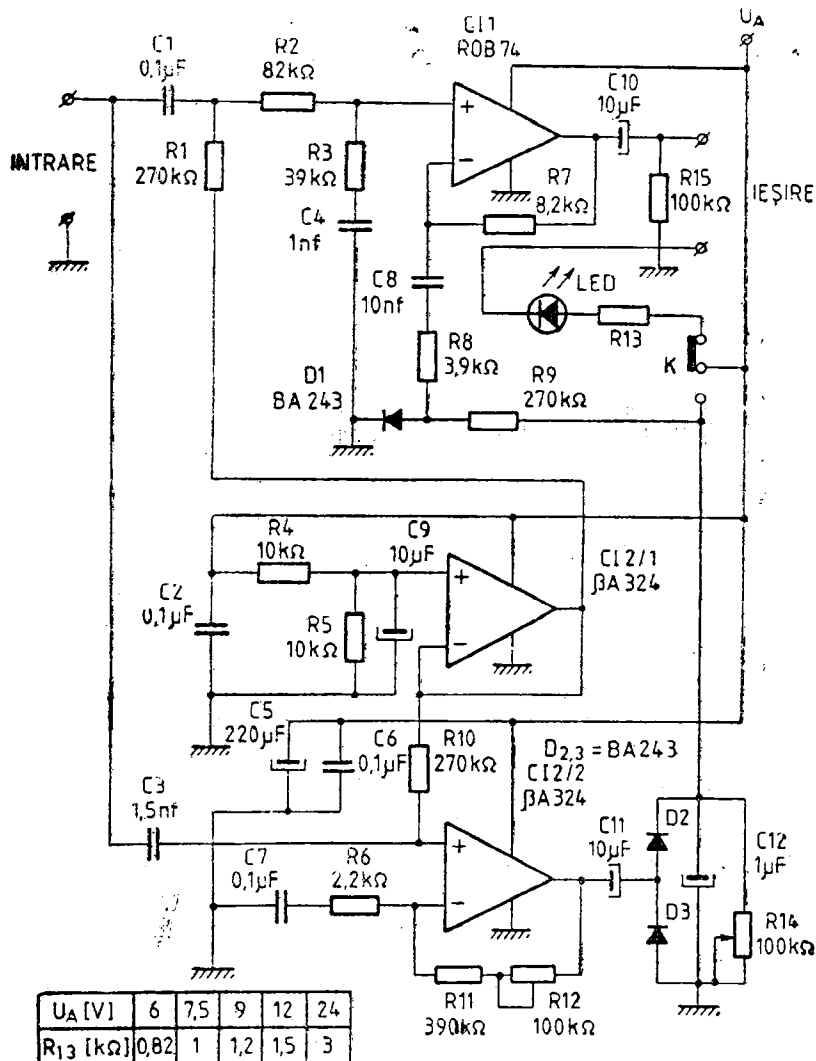


Figura 4.20 Limitator dinamic de zgomot cu circuite integrate.

Semnalul audio util se aplică la intrarea montajului, pe intrarea neinversoare a circuitului integrat $C12/2$ de tip β A 324, prin intermediul condensatorului $C3$ și simultan pe intrarea neinversoare a circuitului integrat $C11$, prin intermediul condensatorului $C1$ și al filtrului $R2 R3 C4$. Parametrii buclei de reacție negativă $R7 C8 R8$ sunt astfel calculați încît

atunci cînd dioda D_1 se află în conducție, amplificarea circuitului integrat $CI1$ este liniară în toată banda de frecvențe audio, iar semnalul util apare nemodificat la ieșirea LDZ-ului. Atunci cînd dioda D_1 nu se află în conducție, datorită filtrului $R_2 R_3 C_4$ de tip trece-jos și a buclei de reacție negativă care și-a modificat parametrii, circuitul integrat $CI1$ introduce în banda de frecvență 4–16 kHz o atenuare de 10 dB. Conducția diodei D_1 condiționează prelucrarea sau nu a semnalului audio util. D_1 se află în stare de conducție atunci cînd tensiunea la bornele condensatorului C_{12} este suficientă pentru asigurarea acestui lucru. D_1 poate fi determinată să intre în conducție acționînd comutatorul K_1 , atunci cînd nu se dorește intercalarea LDZ-ului în lanțul audio.

Condensatorul C_{12} asigură deschiderea diodei D_1 atunci cînd este încărcat la o tensiune care să permită apariția tensiunii de deschidere de 0,6 V la bornele acesteia. Să urmărim funcționarea circuitului integrat $CI2/2$.

Semnalul audio se aplică la intrarea neinversoare a lui $CI2/2$ prin intermediul condensatorului C_3 , de valoare astfel aleasă încît să faciliteze trecerea spectrului frecvențelor medii-înalte. Acest lucru este accentuat de alegerea corespunzătoare a valorii condensatorului C_7 , aflat în buclă de reacție negativă a circuitului integrat $CI2/2$. Atunci cînd semnalul audio prezintă un spectru al frecvențelor înalte ridicat, de un nivel suficient de mare, la ieșirea circuitului integrat $CI2/2$ se obține o tensiune alternativă care se aplică prin intermediul condensatorului C_{11} redresorului cu dublare de tensiune format din grupul $D_2 D_3 C_{12}$. La bornele condensatorului C_{12} se obține o tensiune continuă proporțională cu amplitudinea semnalului audio util care conține spectrul de frecvențe medii-înalte.

O parte din această tensiune continuă polarizează direct dioda D_1 , care se deschide la atingerea valorii tensiunii de 0,6 V. În concluzie, blocul funcțional care conține circuitul integrat $CI2/2$ are rolul de a realiza deschiderea sau nu a diodei D_1 , deci intercalarea sau nu a LDZ-ului în lanțul audio.

Circuitul integrat $CI2/1$ are rolul de a asigura polarizarea automată a circuitelor integrate $CI1$ și $CI2/2$, indiferent de variațiile posibile ale tensiunii de alimentare F_{cc} .

Rezistența R_{13} se alege din tabel, funcție de tensiunea de alimentare U_A .

Montajul se realizează pe o placă de sticlostratitex placat cu folie de cupru, în mod îngrijit, folosind componente de bună calitate. Se recomandă utilizarea rezistențelor cu peliculă metalică și a condensatorilor cu tantal. Diода D_1 va avea o pantă cît mai abruptă (diodă de comutație) iar diodele D_2 și D_3 vor avea caracteristici electrice identice. Cablajul imprimat se realizează cu trasee cît mai scurte, evitându-se apariția buclei de masă. Traseele de alimentare au lățimea de cel puțin 3 mm. Funcțional, montajul se intercalează între etajul corector de ton și amplificatorul final al ansamblului electroacustic. Legăturile etaj corector de ton – LDZ – amplificator se execută folosind cablu ecranat.

Se alimentează montajul cu tensiunea U_A , se comută întrerupătorul K pe poziția „funcționare LDZ” și se observă iluminarea diodei LED. Se pune o bandă (casetă) neimprimată și se acționează tasta „REDARE” a magnetofonului (casetofonului). Se acționează potențiometrul de volum spre poziția „maxim” și se aude în difuzor un fișit puternic.

Se pornește cu reglajul LDZ-ului din poziția $R12$ minim $R14$ minim și se mărește treptat $R12$ și concomitent $R14$ pînă la dispariția totală a zgomotului de fond.

Se înlocuiește banda (caseta) neimprimată cu una imprimată și, dacă în pauzele dintre pasajele muzicale mai apare un mic zgomot de fond, acesta se elimină mărind puțin valoarea lui $R14$.

După aceste reglaje, montajul se ecranează cu tablă de fier de grosime minimă 1 mm și se montează în magnetofon cît mai departe de sursele electrice de zgomot (motor, transformator de rețea etc). Se decupează în panoul frontal al magnetofonului orificii pentru LED și pentru comutatorul de cuplare K al LDZ-ului și apoi se fixează elementele sus menționate.

4.9 FILTRU DE ZGOMOT PENTRU DISCURI VECHI

Montajul este destinat eliminării unor semnale perturbatoare, nedorerite, care au apărut din diverse motive și s-au suprapus peste semnalul audio-util.

Zgomotele perturbatoare apar cu precădere la discurile vechi, la care raportul semnal-zgomot, datorită tehniciilor de imprimare sau a uzurii discului, prezintă o valoare redusă. Spre exemplu: un disc destinat funcționării la viteza de 78 rot/min are din construcție un raport semnal-zgomot de cca 30–35 dB; datorită naturii abrazive a materialului din care a fost realizat fizic. Aceste aspecte duc la obținerea unui semnal audio util de o calitate foarte scăzută, chiar în cazul folosirii unui aparataj electro-acustic foarte perfecționat. Practic, în timpul redării apare un fișit de frecvență înaltă foarte supărător, la care nu de puține ori se adaugă și un huruit de frecvență foarte joasă.

Cea mai eficientă metodă de eliminare a semnalelor perturbatoare nedoreite pe care le conține un disc vechi, este înregistrarea pe o bandă de magnetofon a semnalului util imprimat pe disc intercalind în lanțul electroacustic o serie de filtre de zgomot. În acest fel semnalele perturbatoare pot fi aproape în întregime eliminate, iar calitatea înregistrării este îmbunătățită substanțial.

Schema bloc a montajului este prezentată în fig. 4.21. Se observă că părțile principale ale montajului sunt constituite din etajul de intrare, un filtru trece-sus programabil și un filtru trece-jos programabil. Necessarul energetic al montajului este asigurat de către etajul de alimentare. Semnalul electric se aplică la intrarea montajului prin intermediul grupului $C1 R1 R2$. Cu ajutorul potențiometrului $R1$ se regleză nivelul de ieșire al semnalului inițial. Prin intermediul rezistenței $R2$, semnalul de intrare se aplică la intrarea neinversoare a amplificatorului operațional $O11$. Acesta are rolul de etaj tampon între intrarea montajului și restul blocurilor funcționale, în scopul adaptării de impedanțe. Totodată etajul de intrare asigură amplificarea cu 10 dB a semnalului de inițial. În acest mod este posibilă prelucrarea ulterioară eficientă a semnalului de intrare în celealte blocuri funcționale. Impedanța de intrare a etajului de intrare (deci a montajului) este $Z_i = 100 \text{ k}\Omega$.

De la ieșirea etajului de intrare semnalul audio-util se aplică filtrei trece-sus programabil. Se observă că este vorba de un filtru activ

trece-sus, prezent în cadrul montajului în scopul eliminării zgomotelor cu frecvențe foarte joase. Filtrul este realizat cu ajutorul unui amplificator operational, $C12$. Concomitent, este posibilă și eliminarea unor vibrații și distorsiuni electromecanice care pot proveni de la sistemul mecanic al

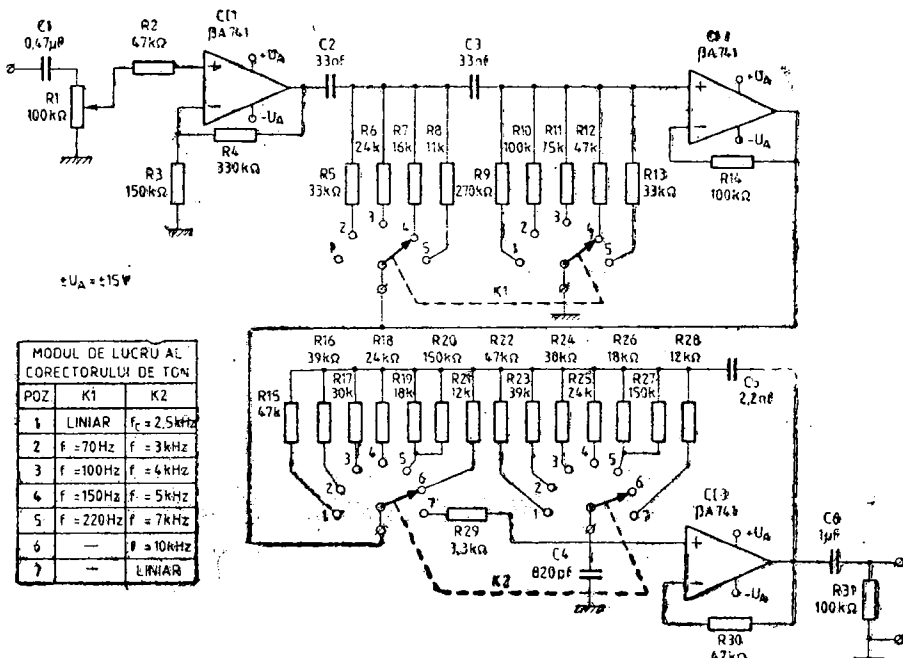


Figura 4.21 Filtru de zgomet pentru discuri.

unei pick-up nu prea perfecționat. Comutatorul $K1$ face posibilă alegerea frecvenței de tăiere a filtrului. Se observă că există 5 posibilități de lucru, între care este prevăzută și trecerea semnalului electric nemodificat (atunci cind nu există zgomete de frecvență joase). Frecvența de tăiere a filtrului se poate alege în trepte, între limitele 70 Hz ÷ 120 Hz.

Caracteristicile de transfer ale filtrului sunt prezентate în fig. 4.22. Se observă că elementele electrice ale filtrului s-au ales astfel încit să se obțină o caracteristică de transfer de tip Butterworth, care implică o uniformitate maximă amplitudine-frecvență în banda de trecere și o atenuare mare în afara ei (12 dB/octavă).

De la ieșirea filtrului trece-sus programabil, semnalul audio prelucrat se aplică la intrarea filtrului trece-jos programabil. Acest filtru a fost prevăzut pentru corecția semnalului audio de înaltă frecvență. Cu ajutorul lui există posibilitatea atenuării și uneori chiar eliminării totale a acelui fisiu deosebit de neplăcut (hiss) care însă este înregistrările vechi. Să nu uităm că majoritatea înregistrărilor vechi nu conțin semnale audio de frecvențe înalte, limita maximă fiind de cca 4 — 6 kHz. Datorită acestui considerent, limitarea benzii de trecere a frecvențelor înalte se impune de la sine. Filtrul trece-jos este un filtru activ, cu o caracteristică de atenuare de tip Butterworth, aleasă din aceleasi considerente ca și în cazul filtrului trece-sus. La realizarea filtrului se folosește un amplificator operational. Comutatorul $K2$ selectează 7 posibilități de lucru ale filtrului, frecvențele

de tăiere programabile alegindu-se între 2,5 kHz și 20 kHz (funcționare practic liniară). Atenuarea introdusă de filtru în afara benzii de trecere este de 12 dB/octavă. Caracteristicile de transfer ale filtrului trece-jos programabil sunt de asemenea prezentate în fig. 4.22.

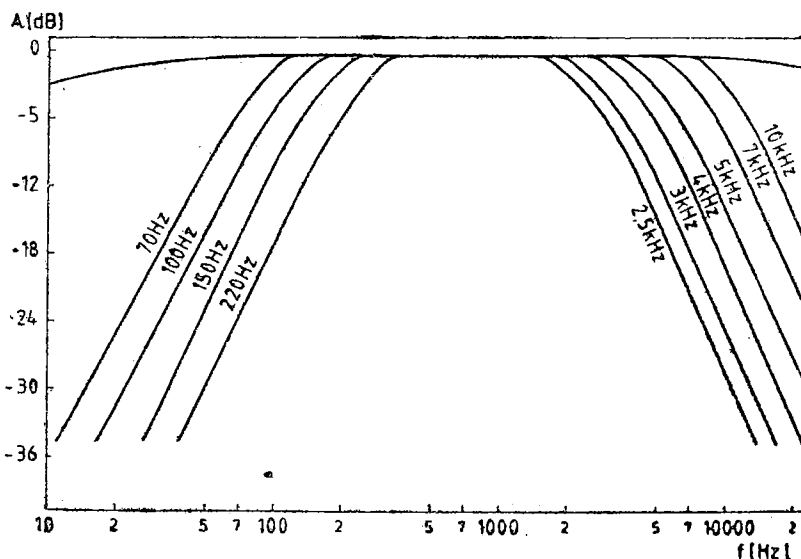


Figura 4.22 Caracteristicile de transfer ale filtrului de zgomot.

Necesarul energetic al montajului este asigurat de un etaj de alimentare capabil să livreze o tensiune de ± 15 V. Este de preferat alegerea unei surse duble de tensiune, stabilizate și foarte bine filtrate.

Montajul se realizează practic, în varianta mono sau stereo, pe o placă de sticlostratitex placat cu cupru. Se vor lua toate precauțiunile realizării unui cablaj care să implice funcționarea montajului în mod optim (structură fizică de quadripol a etajelor funcționale, lipsa buclei de masă, trasee cât mai scurte, traseu de masă lat de minim 3 mm etc.). Deși nu s-au figurat în cadrul schemei electrice (pentru a nu complica reprezentarea grafică), în mod obligatoriu se amplasează pe placă de cablaj imprimat, chiar lingă pinii de alimentare cu $+ 15$ V și $- 15$ V ai fiecărui circuit integrat, cîte un condensator de filtraj de $0,1 \mu\text{F}$ (conectat electric între pinul de alimentare și masă). Această măsură îmbunătățește considerabil comportarea amplificatoarelor operaționale în ceea ce privește imunitatea la zgomot. Transformatorul de rețea și placăa stabilizatorului de tensiune constituie un monobloc realizat separat, ecranat suplimentar față de restul montajului. Totodată, blocul de alimentare se amplasează cît mai departe de amplificatoarele operaționale și de comutatoarele $K1$ și $K2$, care și ele se ecranează corespunzător. Toate traseele care privesc conexiunile destinate trecerii semnalului audio util se realizează obligatoriu folosind cablu ecranat.

Componentele electrice folosite la realizarea fizică a montajului vor fi de cea mai bună calitate. Să nu uităm faptul că o singură componentă cu slabe performanțe poate compromite montajul favorizind apariția zgo-

motului pe care ne străduim atât de mult să-l eliminăm. Se recomandă folosirea condensatoarelor cu mică pentru filtrul trece-jos programabili.

Întreg montajul se ecranează obligatoriu folosind o cutie din tablă cu pereții de fier de grosime minimă 1 mm.

După realizarea practică se reverifică montajul atât în ceea ce privește corectitudinea amplasării componentelor electrice cît și mai ales a conductoarelor de interconectare dintre comutatoarele $K1$, $K2$ și blocurile funcționale. Inițial, comutatoarele $K1$ și $K2$ se acționează pe poziția „liniar”. Se alimentează montajul de la sursa dublă de tensiune și se aplică la intrarea lui un semnal electric provenit de la un pick-up care redă un disc vechi. Semnalul de la ieșirea montajului se audiază folosind un amplificator de audiofrecvență perfecționat. Prin cîteva încercări, acționând comutatoarele $K1$ și $K2$, se selectează banda de trece optimă a filtrelor realizind reducerea zgomoului, fără însă a limita semnalul audio-util. După aceste reglaje semnalul audio corectat se poate înregistra folosind un magnetofon, casetofon etc., obținindu-se în final reabilitarea programului muzical de pe disc și asigurarea unei audiții corespunzătoare.

4.10 FILTRU DE ZGOMOT „RUMBLE” PENTRU PICK-UP

Parametrii și configurația schemei electrice a acestui filtru de zgomot determină încadrarea montajului în categoria Hi-Fi. Utilizarea practică a montajului presupune folosirea sa la un pick-up de înaltă performanță în ceea ce privește doza (electromagnetică!) și construcția părții mecanice. Filtrul de zgomot este compus din două părți principale, și anume preamplificatorul pentru doza magnetică și filtrul de zgomot propriu-zis. El este inclus în cadrul montajului pentru eliminarea zgomotului de frecvență joasă, sub 100 Hz, denumit în mod curent „rumble”.

Acest tip de zgomot poate apărea după un număr de ore de funcționare a pick-up-ului, datorită uzturii mecanice, rezonanței mecanice a brațului, vibrațiilor ce se transmit de la motorul de antrenare al platoului etc. Aproape totdeauna zgomotul rumble prezintă un spectru de frecvență care constituie un multiplu sau submultiplu al frecvenței tensiunii de alimentare de la rețea. În scopul eliminării sale s-a ținut cont atât de modul de prelucrare al semnalului audio util furnizat de doza electromagnetică cît și de însuși principiul de funcționare al oricărei doze de pick-up.

Montajul prezintă următoarele performanțe :

- impedanță de intrare 47 k Ω
- tensiunea nominală de intrare 3 mV
- banda de lucru 16 Hz ÷ 20 kHz
- amplificarea la frecvența de 1 kHz : 38,5 dB
- caracteristica de răspuns în banda audio : RIAA
- raport semnal-zgomot ≥ 80 dB
- atenuarea componentelor zgomotului :

f (Hz)	A (dB)
25	32
50	20
100	10

- distorsiuni armonice totale $\leq 0,1\%$.

Schema electrică a montajului este prezentată în fig. 4.23. Semnalele audio S și D preluate de la doza electromagnetică se aplică la intrarea montajului prin intermediul rezistențelor $R1$ și $R1'$. Grupurile $R1$ $C1$ și $R1'$ $C1'$ constituie filtre trece-jos care asigură montajului o imunitate în

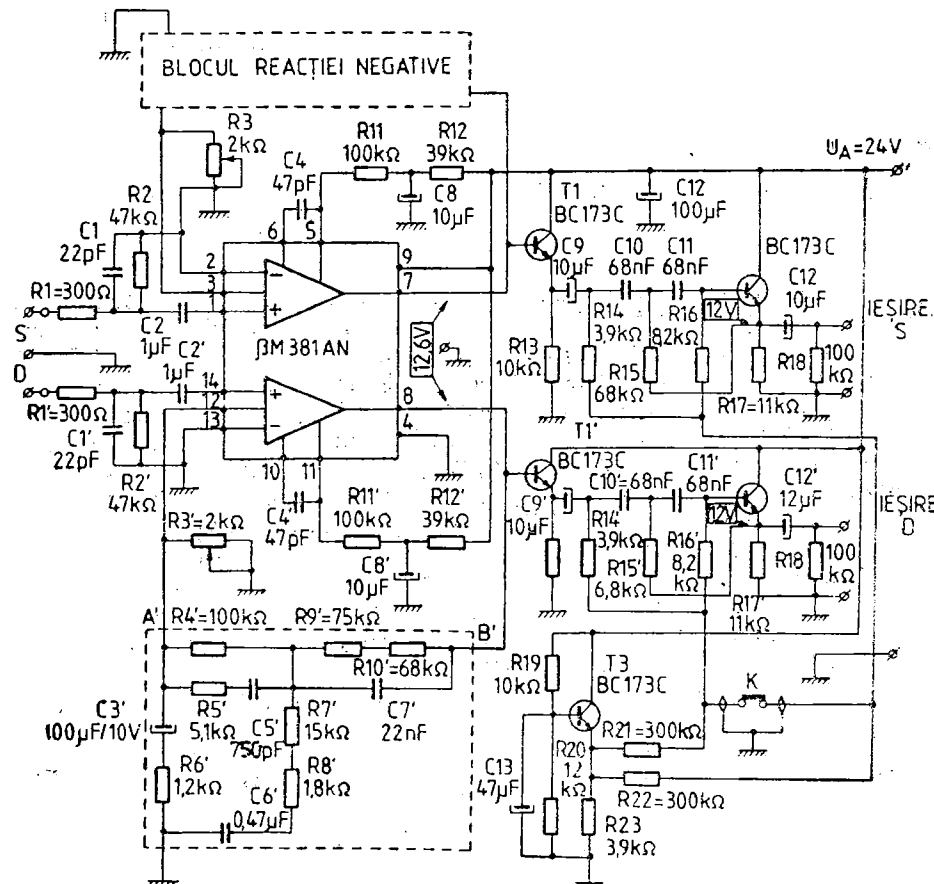


Figura 4.23 Filtru de zgomot „rumble” printru pickup.

ceea ce privește pătrunderea la intrarea preamplificatorului a unor semnale ultrasonore. Prin intermediul condensatoarelor $C2$ și $C2'$, semnalele audio S și D se aplică ulterior preamplificatorului dual realizat cu circuitul integrat $\beta M\ 381\ AN$.

Acesta conține două amplificatoare operaționale identice, specializate în amplificarea semnalelor de nivel mic (de ordinul milivoltăilor). Circuitul integrat $\beta M\ 381\ AN$ prezintă în banda de audiofreevență un zgomot propriu foarte redus ($0,8\ \mu V$). Folosind o schemă electrică adecvată, se poate obține cu el o amplificare ridicată a semnalului audio util și totodată un raport semnal-zgomot foarte bun. În acest scop, s-a ales o configurație optimă de utilizare a etajului de intrare, corelată cu impedanța de intrare a montajului. În scopul unui filtraj suplimentar al tensiunii de alimentare destinată etajului de intrare al amplificatorului operațional, s-a

prevăzut grupul $R11\ R12\ C8$ ($R11'\ R12'\ C8'$). Condensatoarele $C4$ și $C4'$ limitează amplificarea de către cele două amplificatoare operaționale a unor semnale cu frecvență mai mare decit 25 kHz.

În scopul obținerii unei caracteristici de transfer de tip RIAA pentru cele două amplificatoare, s-au prevăzut blocurile reacției negative. Constantele de timp proprii caracteristicii de tip RIAA s-au ales în conformitate cu prevederile DIN 45 500, după cum urmează :

$$t_1 = 75 \text{ } \mu\text{s} \text{ (2120 Hz)}$$

$$t_2 = 318 \text{ } \mu\text{s} \text{ (500 Hz)}$$

$$t_3 = 3180 \text{ } \mu\text{s} \text{ (50 Hz)}$$

$$t_4 = 7950 \text{ } \mu\text{s} \text{ (20 Hz)}$$

De la ieșirea fiecărui amplificator operațional al circuitului integrat $\beta M\ 381\ AN$ (pinii 7 și 8) semnalul audio se aplică filtrului de zgomot propriu-zis. El conține tranzistoarele $T1$, $T2$, $T1'$, $T2'$ și $T3$. $T1$ și $T1'$ sunt amplasate în cadrul montajului într-o configurație de tip repetor pe emitor. Acest amplasament a fost prevăzut pentru separarea galvanică a fiecărui amplificator operațional de restul montajului și pentru coborirea impedanței în scopul prelucrării optime de către etajele următoare. În vederea obținerii unui coeficient de distorsiuni foarte redus, tranzistoarele $T1$ și $T1'$ sunt cuplate galvanic la ieșirile amplificatoarelor operaționale, care realizează astfel și polarizarea lor în curent continuu. Din emitorii tranzistoarelor $T1$ și $T1'$, prin intermediul condensatoarelor $C9$ și $C9'$, semnalul audio util este aplicat blocurilor de corecție a zgomotului de tip rumble. Pentru a înțelege funcționarea lor, este necesară precizarea unor aspecte privind funcționarea unei doze stereo și modul de imprimare stereofonică pe disc a unui program muzical sonor.

În perioada de timp cînd acul dozei parcurge traseul rilelor discului, la bornele dozei se obțin cele două semnale electrice S și D . Acestea sunt proporționale ca amplitudine cu viteza de antrenare a discului de către platanul pick-upului și cu forța de apăsare a acului dozei pe rilele discului. Profilul geometric al rilelor determină caracteristica de frecvență a programului muzical sonor imprimat. Fiecare semnal electric, S sau D , este determinat de însumarea vectorială a componentelor normale și tangențiale ale forței de apăsare exercitate de acul dozei magnetice asupra peretilor rilei discului. În momentul apariției unor vibrații mecanice nedorite (ale platanului pe care este așezat discul sau ale brațului care poartă doza) acestea generează componente normale și tangențiale ale unei forțe de apăsare false, care este chiar sursa zgomotului de tip rumble. Cele două componente se insumează, la fiecare canal informațional, cu componentele utile ale forței de apăsare, iar rezultatul final este un semnal audio util peste care s-a suprapus zgomotul. Forța de apăsare falsă, generată de vibrațiile mecanice nedorite, acționează nesimetric asupra peretilor rilei discului cu aceeași amplitudine a componentei normale dar în opoziție de fază în privința componentei tangențiale. Componenta normală este nesemnificativă față de componenta tangențială, care detine ponderea cea mai importantă. Datorită acestui fapt zgomotul adăugat semnalului util pe canalul informațional „S” are aceeași amplitudine, dar este în opoziție de fază, cu zgomotul adăugat pe canalul „D”.

Un alt fapt caracteristic modului de imprimare pe disc al unui program sonor este micșorarea efectului stereo la frecvențe sub 200 Hz. Rezultă faptul că, aproape totdeauna, frecvențele joase (sub 200 Hz) sunt redate identic de cele două canale informaționale „S” și „D”.

Funcționarea blocurilor de corecție a zgomotului de tip rumble constă în însumarea și transmiterea concomitentă a semnalelor de frecvență joasă proprii celor două canale informaționale și transmiterea separată a semnalelor de frecvență medie-înaltă.

Dacă inițial cele două canale informaționale aveau în componența lor structura semnalelor stereo :

$$S_T = S_J + S_t + Z,$$

$$D_T = D_J + D_t - Z,$$

În urma prelucrării apare situația :

$$S_T = S_J + S_t + Z + (D_J - Z) = S_J + D_J + S_t$$

unde :

$$D_T = D_J + D_t - Z + (S_L + Z) = D_J + S_J + D_t,$$

S_T = semnalul total al canalului informațional stînga

D_T = semnalul total al canalului informațional dreapta

S_J = semnalul de frecvență joasă al canalului stînga

S_t = semnalul de frecvență înaltă al canalului stînga

D_J = semnalul de frecvență joasă al canalului dreapta

D_t = semnalul de frecvență înaltă al canalului dreapta

Z = zgomotul.

Din relațiile menționate rezultă, în urma prelucrării, accentuarea frecvențelor joase și eliminarea zgomotului rumble, deci îmbunătățirea substanțială a raportului semnal-zgomot în banda frecvențelor joase.

Prin intermediul condensatoarelor $C9$ și $C9'$, semnalele audio sunt aplicate etajelor care conțin tranzistoarele $T2$ și $T2'$, repetor pe emitor. Grupurile $C10 R15 C11 R16$ și $C10' R15' C11' R16'$ reprezintă filtre trecesus de tip Bessel. Utilizarea filtrelor Bessel permite obținerea unor caracteristici liniare de fază la capătul benzii de lucru, fapt esențial pentru nedistorionarea semnalelor de frecvență joasă prelucrate. Frecvența de tăiere a filtrelor este $f_t = 200$ Hz (la -3 dB). Păstrarea unui coeficient unitar de transmisie a fiecărui repetor pe emitor s-a realizat prin indeplinirea egalității $R15 = 0,75 R16$ ($R15' = 0,75 R16'$) pentru capacitați egale ale condensatoarelor $C10$, $C11$ și $C10'$, $C11'$. Atenuarea de 32 dB, 24 dB și 10 dB introdusă de filtrul de zgomot pentru frecvențele de 25 Hz, 50 Hz și 100 Hz unui canal informațional corespunde simultan cu gradul de adiție al semnalului de frecvență joasă la celălalt canal informațional.

Datorită considerentului că efectul stereo slăbește în mod sensibil pentru semnale audio cu frecvență sub 400 Hz și practic dispără la frecvențe sub 200 Hz, filtrul de zgomot tip rumble nu distorsionează repartitia semnalelor de frecvență joasă pe cele două canale informaționale.

Tranzistorul $T3$ este amplasat în cadrul montajului ca sursă de tensiune stabilizată, necesară polarizării tranzistoarelor $T2$ și $T2'$. Prin intermediul rezistențelor $R21$ și $R22$ se realizează polarizarea în curent continuu a tranzistoarelor $T2$ și $T2'$, iar datorită valorii lor mari, ele nu afectează funcționarea montajului în privința semnalelor audio prelucrate de cele două canale informaționale. Din emitorul tranzistoarelor $T2$ și $T2'$, semnalele S_T și D_T prelucrate ajung la ieșirea montajului prin intermediul grupurilor $C12 R18$ și $C12' R18'$. Limitatorul de zgomot poate fi scos din funcțiune prin deschiderea comutatorului K , iar în acest caz cele două semnale D_T și S_T ajung nemodificate la ieșirea montajului.

Pentru realizarea practică a montajului se folosesc componente electrice de cea mai bună calitate. Montajul se realizează pe o placă de sticlostratitex dublu placat cu cupru. Una dintre plăcile de cupru constituie ecranul. Pentru a nu scurteaza circuita terminalele componentelor în locurile de trecere a lor se îndepărtează cuprul cu ajutorul unui spiral de diametru 3 mm (fără a găuri și sticlostratitexul). Traseele cablajului imprimat de pe cealaltă față a placăi dublu placate trebuie să respecte cu strictețe

toate regulile impuse de montajele care amplifică seminale de ordinul mili-voltelor (structură fizică de cuadripol, lipsa buclei de masă, traseu de masă de minim 3 mm etc.).

După plantarea componentelor electrice pe plăcuța de cablaj imprimat se reverifică montajul, în special amplasarea corectă a circuitului integrat $\beta M\ 381\ AN$. Montajul se alimentează de la o sursă de tensiune stabilizată, care are totodată un filtraj foarte bun.

În cazul în care constructorul amator întâmpină dificultăți la procurarea componentelor ce constituie blocul reacției negative, se pot alege alte valori apropriate, recalculându-se conform următoarelor relații :

$$t_1 = R4C5, \quad t_2 = \frac{R4(R7 + R8)}{R4 + R7 + R8} C7$$

$$t_3 = (R9 + R10) C7, \quad t_4 = (R7 + R8) C6$$

În scopul obținerii valorilor finale calculate pentru fiecare rezistență sau capacitate, se pot face amplasamentele serie sau paralel utilizând valorile standardizate. Nu este permisă amplasarea a mai mult de 2 componente serie sau paralel ! Valorile obținute pentru constantele de timp, în urma realizării montajului cu noile componente calculate, nu trebuie să depășească valorile impuse cu mai mult de $\pm 1\%$. Pentru păstrarea performanțelor montajelor în privința raportului semnal-zgomot, valoarea rezistenței $R4$ nu se modifică, iar valoarea grupului $R9 + R10$ se poate modifica doar în limitele $\pm 10\%$.

Înainte de alimentarea montajului se străpează intrările acestuia. După alimentare se verifică prezența tensiunilor alese la punctele statice de funcționare (tensiuni măsurate față de masa montajului). Tensiunea de 12 V de la ieșirile celor două amplificatoare operaționale ale circuitului integrat $\beta M\ 381\ AN$ se obține prin acționarea cursoarelor potențiometrelor semireglabile $R3$ și $R3'$. Amplificarea generală a montajului se poate modifica (în sensul micșorării ei), în funcție de sensibilitatea dozei magnetice folosite, schimbând în limite de 15%, valoarea rezistenței $R6$ ($R6'$). Relația de calcul este :

$$A(1000\ Hz) = 1 + \frac{R4}{R6}$$

După efectuarea măsurătorilor și regajelor montajul se ecranează complet, folosind o cutie metalică din tablă de fier cu pereti groși de cca 1 mm. Montajul se fixează în interiorul complexului electroacoustic unde va funcționa (pick-up sau stație de amplificare). Legăturile galvanice doză — limitator de zgomot — corector de ton se realizează obligatoriu folosind conductori ecranați.

4.11 SISTEMUL DOLBY B

Modul de prelucrare a semnalului audio util la înregistrare și redare, în ceea ce privește amplitudinea și respectiv dinamica sa, este prezentat în fig. 4.24. În timpul înregistrării, cind apare un pasaj muzical pianissimo, cu dinamică mică și amplitudine redusă, amplitudinea lui se mărește arti-

ficial (b). De aici rezultă modul în care este eliminat zgomotul de fond (c).

Ulterior, semnalul audio util prelucrat se înregistrează (d).

La redare se procedează invers, micșorind amplitudinea mărită artificial a semnalului audio util de nivel mic, în aşa fel ca semnalul final să fie identic cu cel inițial, în ceea ce privește amplitudinea și dinamica (e).

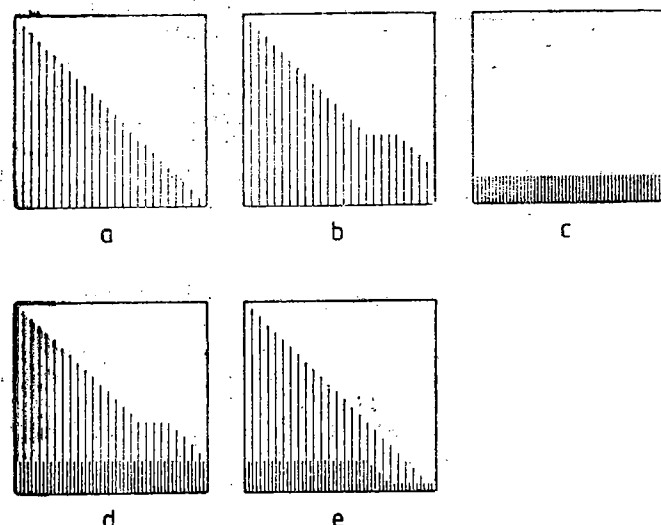


Figura 4.24 Dinamica sistemului Dolby : a) forma inițială a dinamicii; b) mărirea artificială a dinamicii; c) dinamica zgomotului de fond; d) dinamica semnalului înregistrat ; e) dinamica finală a semnalului redat.

Rezultă modul în care este eliminat zgomotul de fond. La înregistrare zgomotul de fond care ar fi fost comparativ egal cu semnalul audio util de nivel mic (semnalul pianissimo) este cu 8–10 dB mai mic decât el, deoarece semnalul audio de amplitudine mică a fost mărit artificial. La redare semnalul mărit artificial (pianissimo) este micșorat cu aceeași rată cu care fusese mărit, pentru a fi redat în mod normal. În același timp însă este micșorat și zgomotul de fond înregistrat odată cu el (e), tot cu 8–10 dB, deoarece zgomotul de fond face parte din semnalul deja înregistrat.

În acest fel sistemul permite ameliorarea raportului semnal-zgomot cu 8–10 dB.

La înregistrare, sistemul electronic se poate concepe relativ ușor deoarece, teoretic, ajunge să realizăm o expansiune dinamică a semnalelor slabe, lăsând nemodificate semnalele electrice puternice. La redare, problema se complică deoarece trebuie să stim CIND trebuie efectuată compresia semnalului electric și CU CÎT trebuie compresat pentru a egala gradul de expansiune, în scopul obținerii unui semnal electric identic cu cel inițial. Apare obligatorie folosirea unui sistem electronic prevăzut cu un algoritm de astă natură încit să includă elementele funktionale caracteristice înregistrării și redării, conform celor prezentate anterior.

Să analizăm diagramele prezentate în fig. 4.25. Ele reprezintă modul de corectare a semnalului audio inițial ce urmează a fi înregistrat. Nive-

Iul de zero dB corespunde semnalului electric de amplitudine maximă (fortissimo) iar nivelul de minus 40 dB corespunde semnalului de amplitudine minimă (de 100 ori mai mic decât semnalul maxim). La zero dB nu se face nici o corecție. La minus 10 dB se face o expansiune de plus 2 dB la

frecvența 2000 Hz, acțiunea de expansiune pornind de la frecvența de 500 Hz. Pentru un nivel de intrare al semnalului util de minus 20 dB, expansiunea este de ordinul a plus 5 dB pentru frecvența de 2000 Hz, pornind tot de la 500 Hz. Pentru un nivel minim de minus 40 dB, expansiunea prezintă un nivel de plus 8 dB la 2000 Hz, pornind de la 200 Hz, iar la frecvența de 10000 Hz expansiunea atinge nivelul de plus 12 dB. Este ușor de văzut că expansiunea este maximă către frecvențele înalte și

nivelul mic al semnalului audio util, deoarece aici se situează spectrul audio al zgomotului de fond care trebuie eliminat. La redare este prevăzut un dispozitiv electronic care execută riguros identic gradele de comprimare a semnalului audio înregistrat, în scopul obținerii semnalului audio inițial (nemodificat).

O explicație și mai clară este oferită de schemele funcționale prezentate în fig. 4.26, 4.27. În timpul înregistrării (fig. 4.26) o parte a semnalului audio, amplificată suplimentar, este adăugată semnalului inițial, adiție care urmărește sistemul de codificare prezentat în fig. 4.25. Urmărind schema bloc din fig. 4.26 se observă că semnalul inițial este repartizat pe două cai. Calea principală nu modifică semnalul inițial (semnalul a). Calea auxiliară selectionează componentele de amplitudine mică și cu

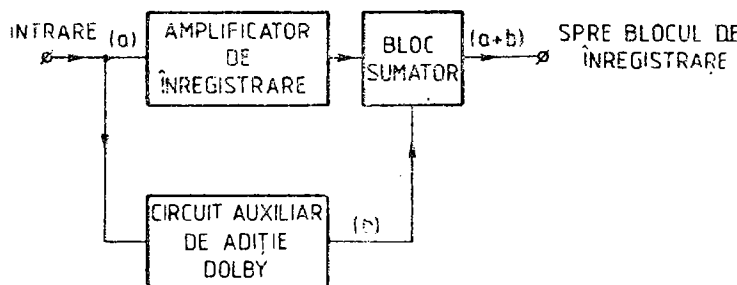


Figura 4.26 Schema bloc la înregistrare a sistemului Dolby.

frecvență ridicată (pornind de la 400 Hz) ce trebuie adăugate la semnalul principal (semnalul b), urmărindu-se obținerea semnalului modificat conform algoritmului prezentat în fig. 4.25 semnal destinat înregistrării (semnal $a + b$).

Să analizăm schema bloc a circuitului auxiliar, prezentată în fig. 4.28. Semnalul inițial se aplică unui filtru trece-sus F1, unde de la început

se elimină componentele de frecvență joasă ale semnalului audio util. După această prelucrare semnalul conține numai componente de frecvență medie-înaltă. Ulterior, semnalul corectat se aplică unui filtru-trece-sus comandat în tensiune $F2$, și apoi unui amplificator de tensiune, $A2$. Panta

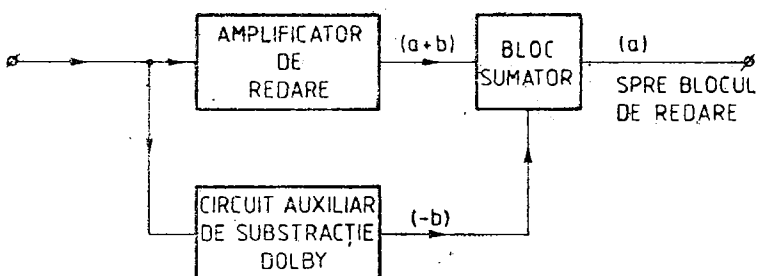


Figura 4.27 Schema bloc la redare a sistemului Dolby.

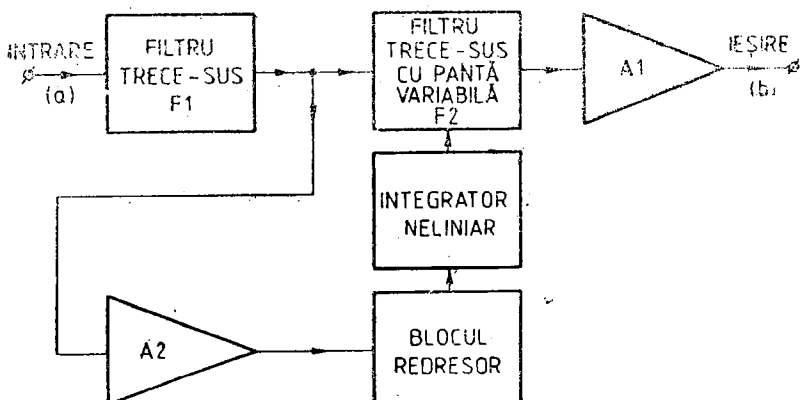


Figura 4.28 Schema bloc a circuitului auxiliar.

filtrului $F2$ se regleză în mod continuu, în funcție de amplitudinea semnalului de intrare. Semnalul care apare la ieșirea filtrului trece-sus $F1$ este prelucrat de filtrul $F2$ și totodată se aplică la intrarea amplificatorului $A2$. Semnalul furnizat de $A2$ este redresat de un bloc redresor și apoi aplicat unui bloc integrator neliniar. Cu tensiunea continuă furnizată de integratorului neliniar este comandată în final panta variabilă a filtrului $F2$.

Rezultă imediat modul de funcționare al circuitului auxiliar. La semnale mari de frecvență medie-înaltă, acestea sunt amplificate puternic de $A2$, redresate în blocul redresor și aplicate blocului integrator neliniar care comandă blocarea filtrului $F2$. În acest caz la ieșirea amplificatorului $A1$ nu se obține semnalul auxiliar (semnalul b) deci pentru semnale inițiale de intrare care conțin un spectru de frecvențe medii-înalte cu amplitudine mare, blocul auxiliar nu adaugă la semnalul destinat înregistrării un semnal suplimentar b . În cazul apariției unor semnale cu amplitudine mică de frecvență medie-înaltă, acestea sunt amplificate insuficient de $A2$, redresate de blocul redresor și în final aplicate integratorului neliniar, care furnizează o tensiune continuă insuficientă pentru blo-

carea filtrului $F2$. În această situație semnalele de frecvență medie înaltă trec prin $F2$, sunt amplificate ulterior de $A1$ și însumate cu semnalul inițial (se obține semnalul $a + b$). Acest semnal destinat înregistrării este în mod evident „amplificat” în ceea ce privește spectrul frevențelor medii-inalte de amplitudine mică.

Se menționează că amplificarea suplimentară a semnalului inițial se face conform algoritmului prezentat în fig. 4.25 în mod continuu. În momentul redării (fig. 4.27) un sistem de codificare identic cu cel utilizat la înregistrare permite identificarea amplificării suplimentare a frecvențelor medii-inalte proprii semnalelor de amplitudine redusă (semnalul b). Semnalul amplificat suplimentar este „scăzut” din semnalul amplificat în urma înregistrării.

În final, la ieșirea din amplificator se obține semnalul original (a). Se observă, în situația redării, plasarea amplificatorului auxiliar într-o buclă de contrareacție, în opoziție de fază cu semnalul înregistrat. Prin însumarea celor două semnale ($a + b$) și ($-b$) se obține semnalul inițial (a), neafectat de zgomotul de fond propriu benzii magnetice și sistemului de înregistrare-redare. Se menționează că în componența reală a sistemului DOLBY se includ încă o serie de blocuri funcționale, asupra căror se va insista la analiza schemei electrice generale complete.

În fig. 4.29 este prezentată caracteristica tipică a spectrului de zgomot propriu unei benzi magnetice ce echipiază o casetă audio (după normativul DIN 45 405, pentru viteza benzii de 4,75 cm/s). Se observă în mod clar că zona de lucru a sistemului reducător de zgomot trebuie să cuprindă în mod obligatoriu spectrul frevențelor medii înalte (400 Hz – 12 500 Hz).

Ca urmare, sistemul Dolby B a fost proiectat astfel încât să lucreze în mod continuu tocmai în acest interval al benzii de audiu-frecvență. În

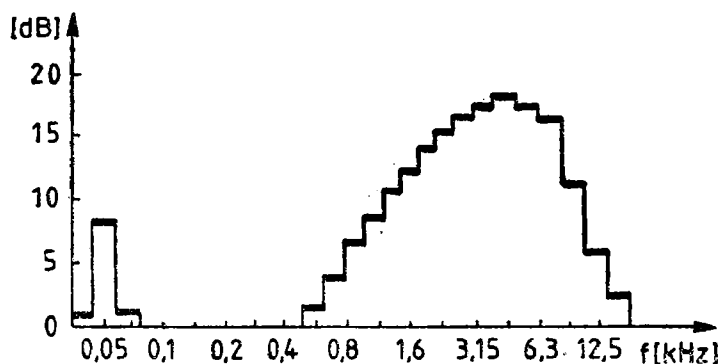


Figura 4.29 Spectrul de zgomot propriu unei benzi magnetice.

fig. 1.5 sint prezentate caracteristicile funcționale ce evidențiază funcția de compandor a sistemului Dolby B. În mod obligatoriu caracteristicile de lucru, atit cele de compresie cit și cele de expansiune, trebuie să fie complementare.

Schema bloc completă a sistemului Dolby B este prezentată în fig. 4.30. Schema electrică generală este în fig. 4.31.

Performanțele tipice ale schemei electrice prezentate în această lucrare sint următoarele :

- curent maxim absorbit (varianta stereo) 60 mA
- reducerea zgomotului ≥ 10 dB
- nivelul de limitare, deasupra nivelului DOLBY stabilit : 16,5 dB
- raport semnal-zgomot : ≥ 66 dB (în banda 20 Hz \div 20 kHz)
- distorsiuni maxime : THD $< 0,1\%$.

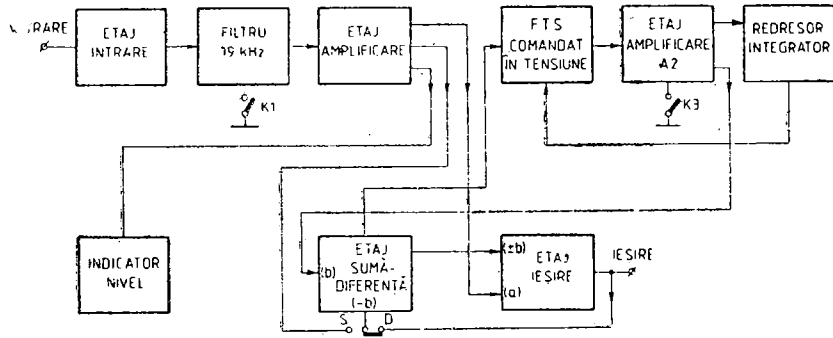


Figura 4.30 Schema bloc completă a sistemului Dolby.

Etajul de intrare conține tranzistorul T_1 și îndeplinește următoarele funcții :

- asigură adaptarea dintre impedanță de ieșire a sursei de semnal și impedanță de intrare a montajului ;
- realizează adaptarea de impedanță la filtrul de 19 kHz, și anume oferă o impedanță de ieșire scăzută, în scopul funcționării optime a filtrului ;
- realizează o amplificare inițială semnalului de intrare (cu 16 dB) în scopul compensării atenuării introduse de filtrul de 19 kHz ;
- oferă posibilitatea reglajului de nivel al semnalului audio util (potențiometrele R_1 și R_1') preluat de la diverse surse sonore în scopul stabilirii nivelului optim de prelucrare în vederea înregistrării sau redării, conform algoritmului DOLBY.

Semnalul audio util amplificat de către etajul de intrare este preluat din colectorul tranzistorului T_1 și, prin intermediul bobinei L_1 , aplicat filtrului de 19 kHz. El a fost prevăzut în scopul eliminării componentelor de frecvență ultrasonoră din spectrul sursei de semnal audio util. Amplitudinea semnalului ultrasonor nedorit ar oferi o informație falsă în ceea ce privește nivelul semnalelor de frecvență înaltă, determinând în final o prelucrare necorespunzătoare a semnalului audio util.

Datorită acestui fapt, conectarea în lanțul blocurilor funcționale a filtrului de 19 kHz (acționarea comutatorului K_1 pe poziția 1—2) este obligatorie atunci cind sursa semnalului audio util destinat înregistrării poate prezenta componente de frecvență ultrasonoră. Filtrul de 19 kHz este realizat înscrind $L_1 C_6$ cu $L_2 C_5 C_7$. Caracteristica filtrului este prezentată în fig. 4.32. Se observă că acțiunea filtrului începe de la frecvența de 15 kHz. Se obține o atenuare de 30 dB la 19 kHz și de cca 20 dB la 38 kHz (atenuarea semnalului stereo pilot care ar putea apărea de la un radioreceptor). Totodată, în zona benzii de frecvență 80—100 kHz

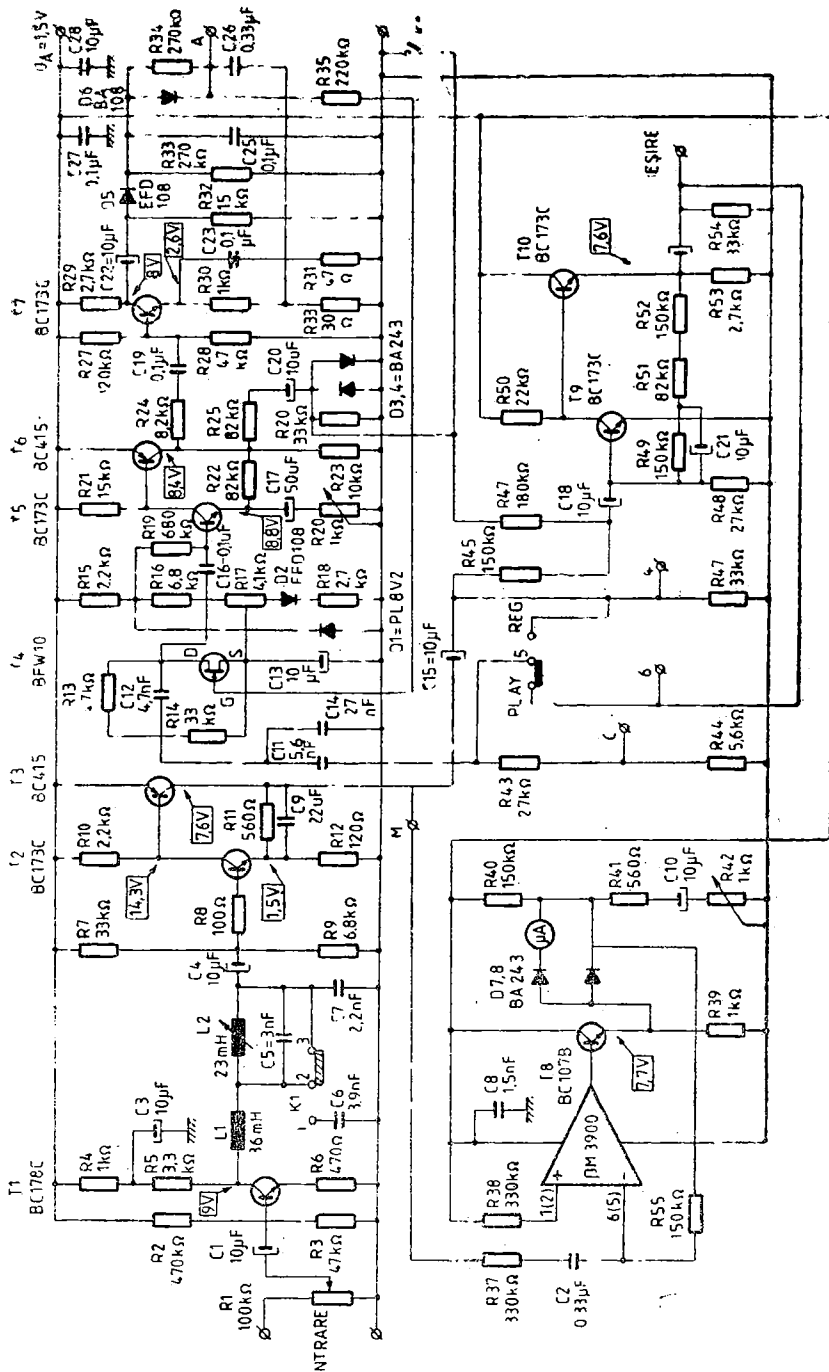


Figura 4.31 Schema electrică a sistemului Dolby.

(proprie curentului de premagnetizare de la un magnetofon sau casetofon) atenuarea furnizată de filtru este decca 40 dB.

Filtrul de 19 kHz poate fi demontat din montaj atunci cind sursa semnalului audio util nu deține componente de frecvență ultrasonoră (spre ex. semnalul audio furnizat de pick-up). Deconectarea filtrului se realizează acționând comutatorul $K1$ pe poziția 2–3.

Semnalul audio util este preluat de la ieșirea filtrului prin intermediul condensatorului $C4$ și este aplicat etajului de amplificare $A1$. Acesta conține tranzistoarele $T2$ și $T3$ și este proiectat pentru următoarele funcții:

- amplificare foarte mare în întreaga bandă audio, amplificare limitată în final de o buclă de reacție negativă ($A = R11/R12$) ;
- impedanță de ieșire redusă ;
- distorsiuni în banda audio minime ($THD < 0,02\%$).

Etajul de amplificare $A1$ compensează atenuarea semnalului audio util introdusă de filtrul de 19 kHz, asigurînd în același timp nivelul tensiunii prevăzute pentru prelucrarea optimă (numit nivel Dolby) care are valoare de 580 mV (pct. M pe schema electrică). Reglajul semnalului audio util la acest nivel se face cu ajutorul potențiometrului $R1$ (pentru varianța stereo, potențiometrele $R1$ și $R1'$). În acest scop se urmărește indicația VU-metrelor proprii blocului indicator de nivel.

Partea de semnal audio care urmează a fi adăugat sau scăzut din semnalul inițial, în scopul prelucrării acestuia conform algoritmului Dolby, este generată de filtrul trece-sus comandat în tensiune (FTSCT). Modul în care FTSCT funcționează este esențial pentru înțelegerea sistemului de prelucrare a semnalului. Banda de trecere a FTSCT este reglementată inițial de un filtru trece-sus de tip RC, format din rezistența $R14$ (3,3 k Ω) și condensatoarele $C11$ și $C14$ (5,6 nF și 27 nF). Frecvența de tăiere a acestui filtru trece-sus este de 1,5 kHz. Să presupunem inițial lipsa lui $C12 = 4,7$ nF. Rezistența $R13 = 47$ k Ω formează, împreună cu rezistența drenă-sursă r_{DS} a tranzistorului $T4$ (de tip FET), un atenuator comandat în tensiune. Tensiunea de comandă a acestui atenuator se obține de la blocul redresor integrator (cum se va vedea ulterior). Fără o tensiune continuă de comandă aplicată pe grila tranzistorului $T4$, sau la nivele foarte mici de tensiune, rezistența r_{DS} are valori de ordinul a $2 \div 10$ M Ω (practic infinită). În acest caz, atenuatorul $R13-r_{DS}$ nu lucrează. Semnalele de frecvență înaltă trec nemodificate, amplificate ulterior de amplificatorul de tensiune $A2$, și participă cu adiție sau substractie la semnalul audio inițial în funcție de modul de lucru al sistemului (expansiune sau compresie).

În cazul în care tensiunea continuă de comandă pe grila tranzistorului $T4$ este suficient de mare, deci atunci cind semnalele audio de frecvență medie-înaltă prezintă o amplitudine mare, rezistența r_{DS} devine

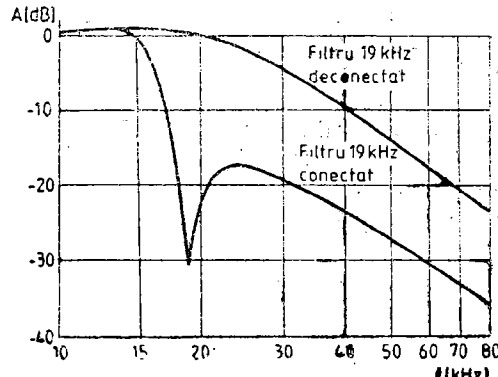


Figura 4.32 Caracteristicile filtrului de 19 kHz.

mică (de ordinul sutelor de ohmi). În acest caz grupul $R13r_{DS}$ atenuază semnalele de nivel mare și frecvență medie-inaltă. Ele nu mai participă deci la prelucrarea semnalului audio inițial, care rămîne în această situație nemodificat.

Să luăm acum în considerație și efectul plasării condensatorului $C12$ în paralel cu rezistența $R13$. În această situație, condensatorul $C12$ formează împreună cu r_{DS} un al doilea filtru trece-sus cu pantă variabilă, comandat în tensiune. Odată cu creșterea tensiunii de comandă pe grila

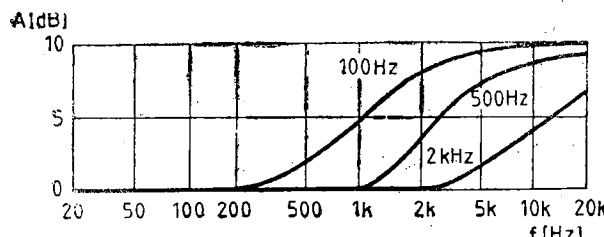


Figura 4.33 Reducerea zgomotului la diverse frecvențe.

tranzistorului $T4$, determinată de o creștere a frecvenței semnalului audio util, combinată de cele mai multe ori cu creșterea nivelului acestuia, caracteristicile de funcționare ale FTSCT se modifică. Frecvența de tăiere crește (de la valoarea de 1,5 kHz) iar în același timp atenuarea lui scade. Modul în care sunt modificate caracteristicile de funcționare ale FTSCT, în funcție de *frecvența* semnalului audio inițial, este prezentat în fig. 4.33. Acest mod de lucru este deosebit de important, deoarece astfel se evită activarea filtrului FTSCT de către semnalele de nivel mediu și frecvență înaltă. Acest lucru are ca rezultat evitarea modulării semnalului audio util de nivel mic și frecvență înaltă, deci posibila modulație de zgomot numită efect „breathing”.

În același timp, diagramele din fig. 4.33 reprezintă reducerea zgomotului în prezența semnalului audio util de frecvență medie. Eficiența de lucru a sistemului este de cca 10 dB/octavă, iar modul de lucru al FTSCT complet reflectă totodată imunitatea sistemului la modulația de zgomot.

Polarizarea tranzistorului cu efect de cimp $T4$ este asigurată de grupul $D1 R1 R17 D2 R18$. $D1$ (diодă Zener PL8V2) are rolul de a stabiliza suplimentar tensiunea destinată polarizării lui $T4$. Dioda $D2$ a fost prevăzută pentru evitarea unei polarizări accidentale inverse a lui $T4$ și totodată pentru sporirea stabilității termice a sistemului. Reglajul tensiunii de polarizare, în scopul stabilirii punctului static de funcționare optim al tranzistorului $T4$, se realizează cu ajutorul potențiometrului semireglabil $R17$. Prin intermediul rezistențelor $R14$ și $R13$, potențialul static al sursei lui $T4$ este practic identic cu cel al drenei. Datorită acestui fapt $T4$ funcționează ca o rezistență comandată în tensiune, în zona caracteristicilor de funcționare liniare, neexistând astfel pericolul distorsionării semnalului audio prelucrat.

Prin intermediul condensatorului $C16$ semnalul audio prelucrat este transmis blocului amplificator de tensiune $A2$ (în baza tranzistorului $T5$). El conține tranzistoarele $T5$ și $T6$, amplasate într-o configurație de dublet super-G. Funcțiunile blocului sunt următoarele :

- amplificarea semnalului audio prelucrat, în vederea prelucrării semnalului audio inițial după algoritmul Dolby ($a + b$ sau $a + b + (-b)$);

— furnizarea către blocul redresor-integrator a semnalului audio prelucrat, de diferite nivele de tensiune, în vederea obținerii semnalului de comandă pe grila lui *T4*, din FTSCT.

Datorită buclei de reacție negativă (rezistență $R20 = 8,2 \text{ k}\Omega$) amplificarea foarte mare a blocului *A2* este reglementată de raportul $R22/R20$ la o valoare de $12 \div 18 \text{ dB}$. Diodele *D3* și *D4* limitează amplitudinea semnalului audio prelucrat (*b*) la $0,6 \text{ V}$ (rolul se vede la explicarea funcționării dinamice a sistemului DOLBY). Rezistența *R26* liniarizează caracteristicile de funcționare ale diodelor *D3* și *D4* în zona de blocare.

Prin intermediul grupului *R24 C19* semnalul audio prelucrat de blocul FTSCT este aplicat blocului redresor-integrator, care conține tranzistorul *T7*. Amplificarea în blocul redresor-integrator (de cca 38 dB) a semnalului ce urmează să fie integrat este reglementată de raportul $R29/R31$. Blocul redresor-integrator determină funcționarea dinamică a blocului FTSCT, practic funcționarea sistemului DOLBY în regim continuu de lucru. Datorită acestui fapt, blocului redresor-integrator î se impun o serie de cerințe funcționale deosebite de importante :

— evitarea modulației de produs a semnalului audio prelucrat (*b*), datorită schimbărilor rapide ale tensiunii continue care se obține în urma procesului de redresare-integrare, destinată a fi aplicată pe grila tranzistorului *T4*;

— minimizarea regimului tranzitoriu de suprasarcină datorat unor semnale de frecvență înaltă cu durată foarte scurtă și amplitudine mare, ce ar putea deranja buna funcționare a blocului FTSCT.

Deoarece primul considerent impune o constantă de timp mare a circuitului integrator, iar al doilea o constantă de timp mică, singura soluție practică este folosirea unei constante de timp ce depinde în final de rata de schimbare și frecvența semnalului audio prelucrat. În acest scop s-a prevăzut grupul *R28 C25*, ce determină o constantă de timp mică circuitului redresor, care sesizează în acest fel foarte rapid miciile schimbări de amplitudine ale semnalului audio prelucrat. Totodată, constanta de timp de cca 100 ms a circuitului integrator ($R34 = 270 \text{ k}\Omega$, $C26 = 330 \text{ nF}$), care furnizează semnalul de comandă pentru blocul FTSCT, este de ajuns de mare pentru prevenirea modulației de produs audibile a semnalului audio prelucrat (valoarea constantei de timp s-a stabilit în urma unor numeroase experimentări și încercări la 100 ms).

Pentru variații mari și rapide ale semnalului audio prelucrat s-a amplasat în circuitul integrator grupul *D6 R41*. Tensiunea de pe condensatorul *C25* ($= 100 \text{ nF}$) crește, în această situație, mai rapid decât tensiunea pe *C26* ($= 330 \text{ nF}$). Ca urmare dioda *D6* intră în stare de conduction și astfel constanta de timp generală a circuitului redresor-integrator se reduce de la 100 ms la cca 1 ms . Între aceste două situații extreme rezistența *R41* determină, pînă la deschiderea diodei *D6*, încărcarea lui *C26*.

În mod curent funcționarea în regim tranzitoriu este reglementată de constanța de timp variabilă a circuitului redresor-integrator. Totuși, pentru regimuri de suprasarcină foarte rapide (amplitudine mare și durată foarte scurtă), la care blocul redresor-integrator nu poate răspunde îndeajuns de repede, s-a prevăzut limitarea semnalului audio prelucrat, furnizat de blocul *A2*, prin amplasarea la ieșirea acestuia (după grupul *R25 C20*) a grupului de diode *D3 D4*. Ele limitează valoarea semnalului ce a

depășit amplitudinea maximă, stabilită cu cca 2 dB peste cea normală. Doar în această situație pot apărea distorsiuni ale semnalului audio prelucrat (de max. 1%). Ele durează însă doar $1 \div 2$ ms, perioadă de timp în care semnalul este inaccesibil.

Analizind modul de prelucrare al semnalului furnizat de blocul redresor-integrator, se observă că, din punct de vedere al componentei alternative, aceasta se preia din emitorul tranzistorului T_7 (din divizorul de tensiune $R_{30} R_{36}$). Acest aranjament a fost ales pentru ca semnalul „alternativ”, variabil, amplificat pe grila lui T_4 să fie totdeauna ca valoare jumătate din semnalul alternativ aplicat pe drenă. În acest fel distorsiunile ce ar putea apărea la funcționarea ca rezistență comandată în tensiune a lui T_4 (în special armonica a 2-a) sunt reduse la minim ($\text{THD} < 0,5\%$).

Funcția de compandor a sistemului DOLBY este asigurată de etajul sumă-diferență. În funcție de varianta de lucru aleasă (expansiune sau compresie) etajul sumă-diferență realizează adiția sau substractia semnalului audio prelucrat (b), furnizat de etajul amplificator de tensiune A_2 ,

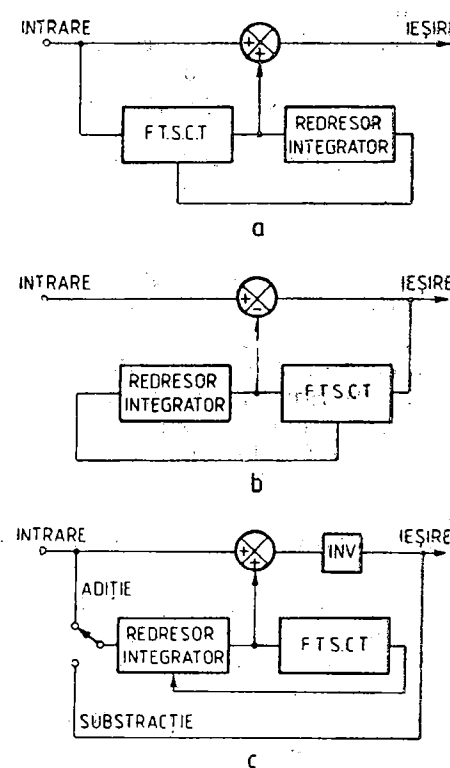


Figura 4.34 Funcționarea blocului sumă-diferență: a) adiție Dolby; b) substractie Dolby; c) compandare Dolby.

însumare (etajul final). În acest fel printr-o simplă acțiune a comutatorului K_2 (fig. 4.31) se realizează algoritmul de compandare Dolby. Inversorul de fază (care este chiar etajul final) poate rămâne permanent în circuit și totodată face parte din bucla de reacție negativă în fază doar în momentul substractiei Dolby.

la semnalul audio initial (a). La realizarea etajului sumă-diferență s-a pornit de la faptul că, pentru menținerea simetriei în ceea ce privește adiția și/sau substractia Dolby, este util ca circuitul semnalului original să fie același.

În fig. 4.34. a este prezentată schema bloc a circuitului de adiție DOLBY iar în fig. 4.34.b schema-bloc a circuitului de substractie. Se observă că pentru adiție este necesară operația de însumare, care presupune semnalele a și b în aceeași fază. Pentru substractie semnalul b este scăzut din semnalul a , ambele fiind în aceeași fază sau, echivalent semnalul b se însumează cu semnalul a , b fiind în opozitie de fază față de a . Acest procedeu implică folosirea unei bucle de reacție negativă. S-a ales soluția ca în momentul adiției semnalele a și b să fie în fază iar în momentul substractiei să fie în opozitie de fază.

O modalitate simplă de a evita amplasarea unui bloc funcțional schimbător de fază în cazul substractiei este realizarea schimbării de fază a semnalului audio rezultat în urma prelucrării (adiție sau substractie) după etajul de

comparare (etajul final).

În acest fel printr-o simplă acțiune a

De la blocul sumă-diferență, prin intermediul rezistențelor $R45$ și $R47$, semnalul audio prelucrat conform algoritmului DOLBY se aplică etajului de ieșire (prin intermediul condensatorului $C18$). Acesta conține tranzistoarele $T9$ și $T10$ și are următoarele funcții :

— efectuează schimbarea de fază a semnalului audio prelucrat după algoritmul Dolby ;

— realizează o impedanță de ieșire scăzută, în scopul adaptării cu ușurință la impedanța de intrare a blocurilor funcționale din magnetofon (casetofon). $T9$ este amplasat într-o configurație de amplificator de tensiune iar $T10$ într-o configurație de repeor pe emitor. Amplificarea generală a etajului de ieșire este reglementată de raportul $(R51 + R52)/R48$.

Blocul de măsură conține amplificatorul operațional $\beta M3900$, amplasat într-o configurație de redresor fără prag. Reglajul nivelului de 0 dB se face pentru o tensiune aplicată la intrarea blocului de măsură, de 580 mV (400 Hz), prin acționarea potențiometrului semireglabil $R42$.

Montajul se realizează pe o placă de sticlostratitex placat cu cupru. Constructorul amator poate face mici modificări ale traseelor cablașului, în funcție de gabaritul pieselor pe care le posedă, dar în mod obligatoriu se păstrează configurația de bază. Se folosesc componente electrice de cea mai bună calitate, verificate fiecare înainte de plantarea pe placă de cablaj. Montajul s-a realizat în varianta „stereo” dar se poate folosi aceeași configurație a plăcuței de cablaj imprimat și pentru varianta „cuadro”.

În mod practic se realizează două plăcuțe de cablaj imprimat identice, separate între ele la montaj printr-un ecran din tablă de fier de cca 1 mm grosime.

Toate tranzistoarele sunt din categoria celor cu zgomot redus, cu factorul de amplificare în curent $h_{2IE} \geq 200$. Obligatoriu tranzistoarele $T7$ și $T7'$ detin un factor de amplificare $h_{2IE} \geq 450$. Tranzistoarele cu efect de cimp $T4$ și $T4'$ au caracteristici de funcționare cît mai apropiate, obținute prin sortare, și obligatoriu aceeași valoare pentru curentul drenă-sursă static I_{DSS} și tensiunea de prag U_P . Plantarea pe placă de cablaj imprimat a tranzistoarelor $T4$ și $T4'$ se face cu atenție sporită, deoarece o amplasare greșită le poate distruge foarte ușor. Aceeași atenție este solicitată și în privința polarității corecte a condensatoarelor electrolitice. Ca indicatoare optice de nivel tip VU-metre se folosesc două microampermetre de 200 μA cap de scală.

După plantarea componentelor pe placă de cablaj imprimat montajul se reverifică și ulterior se pregătește pentru reglare. Alimentarea montajului se face de la o sursă de tensiune stabilizată și foarte bine filtrată de 15 V. Reglajele incep prin măsurarea tensiunii punctelor de funcționare statică ale fiecărui etaj. Măsurătorile se fac după ce inițial s-au pus la masa montajului cele două intrări (prin strapare). Dacă valorile măsurate diferă de valorile menționate ale tensiunilor specificate în schema electrică generală cu mai mult de 3%, se reverifică montajul și eventual se înlocuiește componentă defectă.

După verificarea tensiunilor pentru fiecare etaj funcțional, se trece la efectuarea reglajelor propriu-zise :

- reglajul nivelului de 0 dB al VU-metrelor ;
- reglajul filtrului de 19 kHz ;
- reglajele pentru funcționarea montajului după algoritmul Dolby.

Reglajul nivelului de 0 dB se face pentru fiecare canal informațional S și D, aplicind la intrarea montajului o tensiune alternativă de cca 600 mV cu frecvența 400 Hz, de la un generator de semnal cu formă de undă dreptunghiulară. În situația inițială cursorul potențiometrului R1 (R1') este la masa montajului, iar filtrul de 19 kHz este dezactivat (K1 pe poziția 2–3). Se mărește treptat tensiunea acționând cursorul potențiometrului R1, având grijă ca în același timp acul VU-metru să nu depășească capul de scală. Pentru acest lucru se acționează cu atenție cursorul potențiometrului semireglabil R42, în mod corespunzător. În momentul cînd în punctul M (marcat pe schema electrică) tensiunea a atins nivelul de 580 mV (nivelul DOLBY) se acționează cursorul potențiometrului R42 astfel încît VU-metru să indice 0 dB. După aceste reglaje cursorul potențiometrului R42 (și ulterior după aceleasi reglaje R42') se fixează cu o picătură de vopsea.

Reglajul filtrului de 19 kHz se face aplicind la intrarea montajului un semnal sinusoidal de cca 200 mV cu frecvența 19 kHz. Se mărește amplitudinea semnalului acționând cursorul potențiometrului R1, comutatorul K1 fiind pe poziția 2–3. În momentul cînd VU-metru indică 0 dB se acționează K1 pe poziția 1–2 (filtrul de 19 kHz activat) și se reglează miezul bobinei L2 pînă cînd indicația VU-metru prezintă o valcare minimă (o atenuare de cca 30 dB). Reglajul pentru celălalt canal informațional este similar. Miezurile bobinelor L2 și L2' se rigidizează de asemenea cu cîte o picătură de vopsea.

Reglajele pentru funcționarea montajului conform algoritmului Dolby constau în realizarea unei adiții sau substractii de semnal astfel încît montajul să prezinte caracteristicile similare cu cele prezentate în fig. 1.5. Pentru acest lucru este suficient ca la o anumită frecvență, pentru un semnal electric de un anumit nivel să fie realizată adiția sau substractia Dolby conform caracteristicilor de transfer proprii acestui sistem. Valorile componentelor electrice ale montajului sunt astfel calculate încît în întreaga bandă audio montajul respectă algoritmul Dolby. Pentru efectuarea reglajelor s-a ales frecvența semnalului audio de 5 kHz. Analizînd diagramele din fig. 4.25 se observă că pentru un semnal electric ce prezintă o atenuare de 40 dB față de nivelul de referință (580 mV), adiția sau substractia Dolby are valoarea de 10 dB.

Înainte de orice intervenție în montaj (strapuri, comutări etc.) acesta se scoate de sub tensiune, pentru a nu provoca un scurtcircuit accidental. Reglajul constă în următoarele operații :

1. Se pune la masa montajului (prin strapare cu conductor scurt) grila tranzistorului T4.
2. Se acționează comutatorul K3 pe poziția „închis” (semnalul de adiție sau substractie eliminat) iar K2 pe poziția RECORD.
3. Se comută K1 pe poziția 2–3 (filtrul de 19 kHz dezactivat).
4. Se acționează potențiometrul semireglabil R17 în așa fel ca tensiunea măsurată față de masa montajului în sursa tranzistorului T4 să fie maximă.
5. De la generatorul de semnal sinusoidal se aplică o tensiune cu frecvența de 5 kHz la intrarea montajului, astfel ca în punctul de test 1 (marcat pe schema electrică) să se obțină o tensiune de 17,5 mV. Concomitent se notează valoarea tensiunii apărută în punctul de test 2 (marcat de asemenea de schema electrică).

6. Se deschide K_3 și se actionează potențiometrul semireglabil R_{20} pentru a obține în punctul de test 2 o tensiune mai mare cu $10 \pm 0,25$ dB decit cea măsurată initial. Se notează și această a doua valoare.

7. Se îndepărtează conductorul care scurtează grila lui T_4 la masă și se actionează R_{17} astfel încât în punctul de test 2 să se obțină o tensiune mai mică cu $2 \pm 0,25$ dB decit a doua valoare măsurată (măsurată conform pct. 6).

8. Se scurtează grila lui T_4 la masa montajului și se verifică reapariția în punctul de test 2 a valoii tensiunii măsurate inițial.

9. În final se îndepărtează conductorul care scurtează grila tranzistorului T_4 (pentru efectuarea reglajelor menționate anterior) și se verifică reglajele.

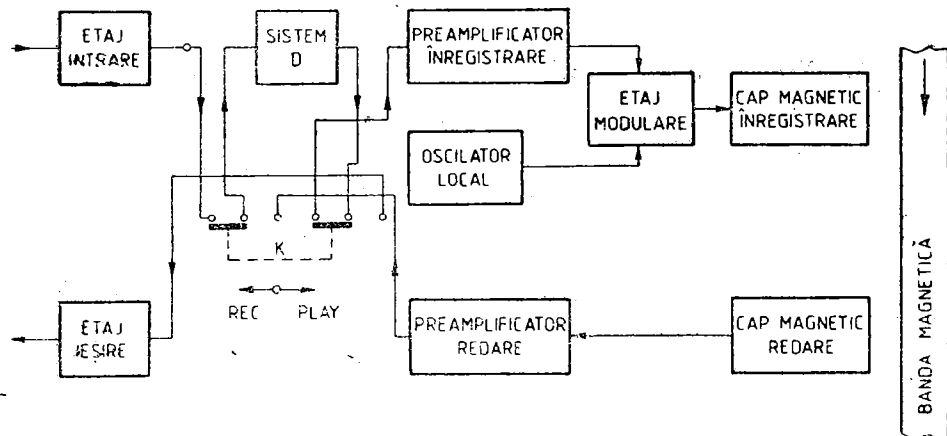


Figura 4.35 Căștigarea sistemului Dolby în magnetofon.

Reglajele se fac cu atenție, utilizând pentru măsurători un voltmetru electronic (impedanță de intrare cca $1 M\Omega$). După terminarea reglajelor pentru ambele canale informaționale S și D ale montajului, toate potențiometrele semireglabile se rigidizează cu cîte o picătură de vopsea. Montajul se introduce obligatoriu într-o cutie din tablă de fier cu peretii de grosimea cca 1 mm. Conductoarele ce privesc calea semnalului audio se realizează din cablu ecranat. Conectarea în magnetofon se face ca în fig. 4.35.

Pe aceeași placă de cablaj imprimat pe care este realizat stabilizatorul de tensiune se realizează și cablajul pentru blocurile de măsură care comandă cele două VU-metre. Dacă, din lipsă de spațiu, plăcuțele de cablaj imprimat proprii sistemului DOLBY nu se pot amplasa în magnetofon sau casetofon, este de preferat construcția unei cutii separate, aceasta avind designul corespunzător integrării într-un complex electroacustic.

5 AMPLIFICATOARE DE PUTERE

5.1 NOȚIUNI DE BAZĂ

Funcția esențială a unui amplificator de audiofrecvență de putere este preluarea unui semnal de audiofrecvență de ordinul sutelor de mili-volti și amplificarea acestuia în aşa fel încit în final să fie posibil transferul dorit de energie electrică impedanței de sarcină (grupului de difuzoare din incinta acustică). Amplificatorul de audiofrecvență trebuie să realizeze o amplificare de putere, deci atât amplificarea în curenț cît și amplificarea în tensiune a semnalului de audiofrecvență inițial. Orice amplificator de putere prezintă următoarele blocuri funcționale distincte :

- etajul de intrare,
- etajele de amplificare intermediare,
- etajul pilot,
- sursa de tensiune constantă destinată polarizării etajului final,
- etajul final,
- etajul de protecție la suprasarcini,
- etajul de reacție negativă globală.

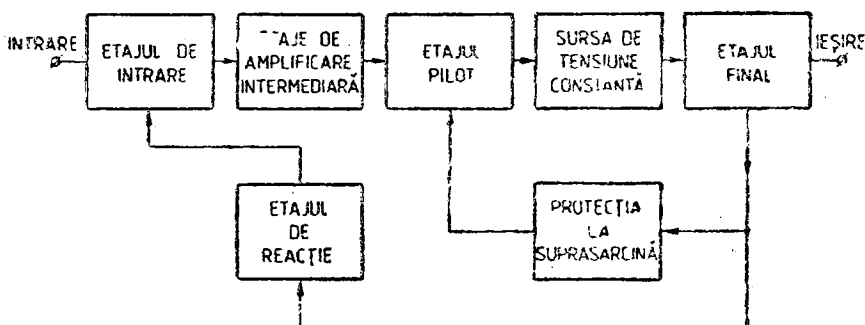


Figura 5.1 Schema bloc a amplificatorului de putere.

Schema bloc a unui amplificator de audiofrecvență de putere este prezentată în fig. 5.1.

Etajul de intrare îndeplinește următoarele funcții :

- adaptarea dintre impedanța de ieșire a sursei de semnal și impedanța de intrare a amplificatorului,

- amplificarea liniară în tensiune a semnalului de intrare în toată banda de audiofrecvență,
- preluarea din etajul final a unei fracțiuni din semnalul de ieșire, pentru realizarea reacției negative globale ce reglementează amplificarea generală totală a amplificatorului.

În funcție de complexitatea soluției adoptate pentru schema electrică generală a amplificatorului, etajul de intrare poate să conțină unul sau mai multe tranzistoare. Totodată caracteristica de transfer a etajului de intrare trebuie să prezinte o liniaritate maximă în zona activă de lucru, pentru evitarea apariției distorsiunilor neliniare. O altă cerință imperioasă proprie etajului de intrare este să prezinte un zgomot propriu minim.

Etajele de amplificare intermediaрă realizează amplificarea în tensiune a semnalului de audiofrecvență. Configurația etajelor de amplificare intermediaрă este astfel aleasă încit funcționarea lor să fie situată în zona de liniaritate maximă a caracteristicilor de transfer globale. Datorită acestui fapt etajele de amplificare intermediaрă prezintă aproape întotdeauna bucle de reacție negativă locală sau globală. Totodată, în scopul evitării apariției distorsiunilor neliniare, amplificarea semnalului audio util se face numai în banda de audiofrecvență. În acest scop, întotdeauna sunt prevăzute filtre pasive sau active, care limitează banda de trecere a etajelor de amplificare intermediaрă la zona frecvențelor audio utile.

La majoritatea amplificatoarelor de audiofrecvență de putere banda de audiofrecvență utilă este limitată în domeniul $20 \text{ Hz} \div 20 \text{ kHz}$. În ceea ce privește zgomotul propriu, la etajele de amplificare intermediaрă se iau aceleasi precauții ca și la etajul de intrare.

Etajul pilot realizează amplificarea finală în tensiune proprie amplificatorului de audiofrecvență. Cerințele esențiale ale etajului pilot sunt :

- amplificarea finală în tensiune a semnalului de audiofrecvență preluat de la etajele de amplificare intermediaрă,
- funcționarea liniară în întreaga bandă de audiofrecvență,
- furnizarea curentului de comandă tranzistoarelor din etajul final, fără ca acest lucru să deranjeze liniaritatea caracteristicii de transfer proprie etajului pilot.

Datorită acestor considerente, în mod frecvent etajul pilot conține unul sau mai multe tranzistoare cu amplificare mare, ultimul dintre ele fiind de putere medie. Întotdeauna etajul pilot funcționează în clasa A.

Sursa de tensiune constantă este necesară polarizării tranzistoarelor din etajul final astfel încit acestea să funcționeze în zona caracteristicilor de transfer liniare. Majoritatea surselor de tensiune constantă prezintă o configurație de tip superdiодă (folosirea unui tranzistor ca diодă), datorită următoarelor avantaje :

- obținerea cu ușurință (acționarea unui potențometru semireglabil) a tensiunii necesare polarizării tranzistoarelor din etajul final.
- asigurarea optimă a compensării termice, într-o gamă largă de temperaturi, necesară bunei funcționări a tranzistoarelor din etajul final. În acest scop, tranzistorul din montajul superdiодă se amplasează fizic pe radiatoarele tranzistoarelor finale izolat electric dar într-un contact intim din punct de vedere termic.
- reglajul simplu și eficient al curentului de mers în gol propriu etajului final.

Una din cele mai importante părți ale amplificatorului de audiofrecvență este etajul final. Funcțiile lui esențiale sunt următoarele :

- preluarea semnalului de audiofrecvență de la etajul pilot care a realizat amplificarea în tensiune a semnalului audio util;

- amplificarea în curent, deci practic în putere, a semnalului audio furnizat de etajul pilot;

- adaptarea impedanței de ieșire a amplificatorului de putere cu impedanță de sarcină (impedanță difuzoarelor incintei acustică);

- furnizarea unei părți din semnalul de ieșire amplificat blocului de reacție, în scopul controlului permanent al amplificării semnalului utilizat (bucla de reacție negativă globală).

Din considerentele menționate anterior, etajul final are o configurație de tip repetor pe emitor, fapt confirmat de soluțiile constructive alese pentru majoritatea amplificatoarelor de audiofrecvență de putere. Pentru obținerea unui randament maxim, în mod frecvent se alege funcționarea etajului final în clasa AB, deci practic o combinație de 2 secțiuni tip repetor pe emitor.

Este cunoscut faptul că un tranzistor de putere cu cît lucrează cu curenți mai mari prezintă un factor de amplificare în curent de valoare mai redusă ($\beta_{21E} = 20 - 40$). Deoarece etajul pilot lucrează cu un curent de ordinul zecilor de miliamperi, iar pentru tranzistoarele finale proprii unui amplificator de audiofrecvență de putere este necesar un curent de comandă de ordi-

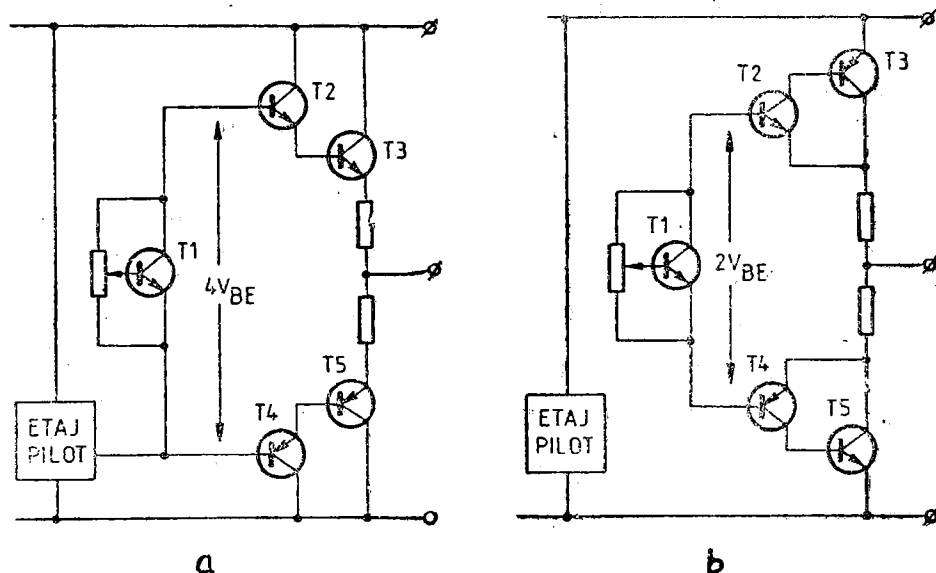


Figura 5.2 Polarizarea etajului final : a) tranzistoare de putere de același tip ; b) tranzistoare de putere complementare.

nul sutelor de miliamperi, în mod frecvent se recurge la folosirea unui amplasament de tranzistor tip dublet sau triplet, similar celui prezentat în fig. 5.2.

Se observă că varianta din fig. 5.2. b este mai avantajoasă deoarece permite polarizarea etajului final cu o sursă de tensiune continuă de valoare mult mai redusă decit varianta din fig. 5.2. a.

Excursia în tensiune a etajului pilot prezintă în cele 2 cazuri următoarele valori :

$$U_a = U_A - U_{SAT} - 4V_{BE}$$

$$U_b = U_A - U_{SAT} - 2V_{BE}$$

unde :

U_a, U_b — excursia în tensiune a etajului pilot, U_A — tensiunea de alimentare, U_{SAT} — tensiunea de saturare a tranzistorului final din etajul pilot, V_{BE} — tensiunea bază-emitora unui tranzistor.

Se observă imediat inegalitatea $U_a < U_b$.

Dobarece U_b reprezintă limitile tensiunii alternative a semnalului audio util, care se regăsește la ieșirea etajului final, varianta de polarizare din fig. 5.2.b permite obținerea unei puteri mai mari, deci este mai avantajoasă. Din aceste considerante, majoritatea etajelor finale moderne sunt realizate conform acestei variante. De multe ori, constructorul amator întâmpină dificultăți datorită imposibilității realizării etajului final cu tranzistorare PNP de putere (unul dintre ele). Această dificultate se poate elimina folosind un montaj adecvat, conform căruia funcționarea unui tranzistor de putere de o anumită structură să poată fi echivalată de funcționarea altui tranzistor de putere de structură opusă. În fig. 5.3 se prezintă așa-numiții dubleti în conexiune super-G, care împreună cu 2 rezistențe amplasatecorespunzător permit echivalarea menționată anterior. Rezistențele sunt amplasate datorită saptului că în conexiunea super-G dubletul posedă un factor de amplificare în curent foarte mare ($\beta_{ech} = \beta_1 \cdot \beta_2$). Cele 2 rezistențe au rolul de a măsura amplificarea generală a dubletului și în același timp este permisă obținerea unui curent rezidual I_{CE0} de valoare redusă. În acest fel β_{ech} și I_{CE0} proprii dubletului prezintă valori foarte asemănătoare cu cele ale tranzistorului echivalent. În fig. 5.3.a este prezentat un dublet de putere de tip PNP (complementarul tranzistorului 2N3055) iar în fig. 5.3. b schema electrică echivalentă a unui tranzistor NPN. Pentru ambele variante $\beta_{ech} = 50$, iar $I_{CE0} = 4 \mu A$. În vederea obținerii unei amplificări de curent și mai mari (etaje finale de 50 — 100 W) se folosesc scheme electrice de tip triplet, care includ 3 tranzistoare și o serie de rezistențe amplasatecorespunzător. În fig. 5.4 este prezentată schema electrică a unui triplet de tip PNP, varianța 1, în fig. 5.5 este prezentată schema electrică a unui triplet PNP varianța a

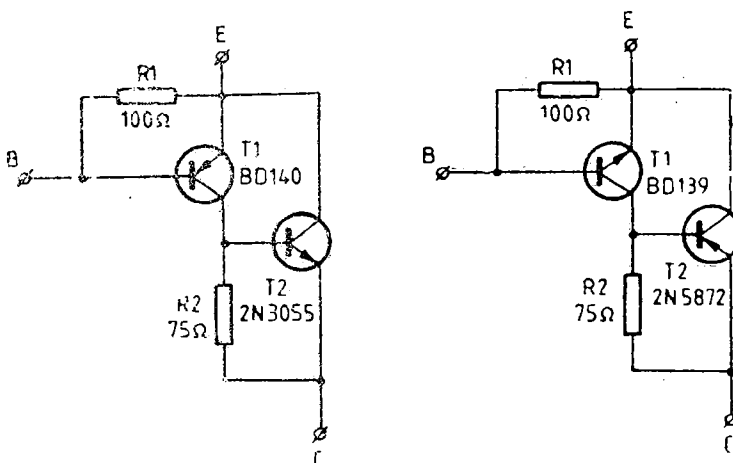


Figura 5.3 Echivalența tranzistorului de putere : a) PNP ; b) NPN.

II-a, iar în fig. 5.6 schema electrică a unui triplet de tip NPN. Rezistența R_E se amplasază obligatoriu, în scopul realizării unei reacții negative de curent, care, deși reduce din puterea totală a tripleului, prezintă următoarele avantaje :

- previne ambalarea termică a tranzistorului final de putere ;
- reduce factorul de distorsiuni THD și TID ;

- reduce posibilitatea de apariție a unor oscilații nedorite în etajul final;
- reduce diferențele în ceea ce privește timpul de comutare ai celor 2 structuri echivalente NPN și PNP, îmbunătățind funcționarea etajului final la frecvențe ridicate.

Valoarea rezistenței R_E se calculează în funcție de puterea etajului final, avându-se în vedere considerentul debitării puterii nominale de către acesta. Tensiunea la hor-

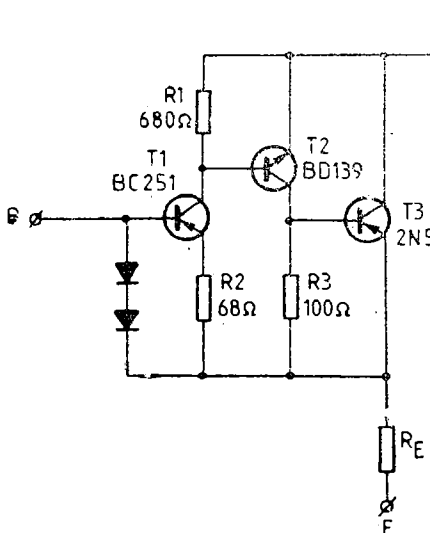


Figura 5.4 Triplet PNP — varianta 1.

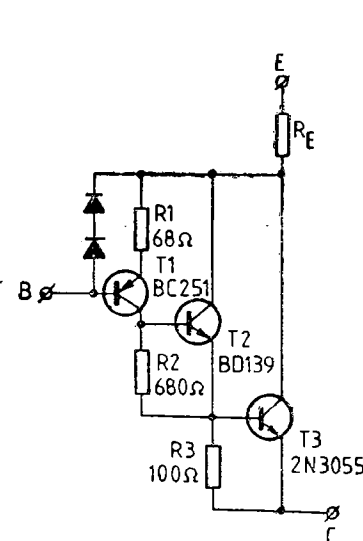


Figura 5.5 Triplet PNP — varianta 2

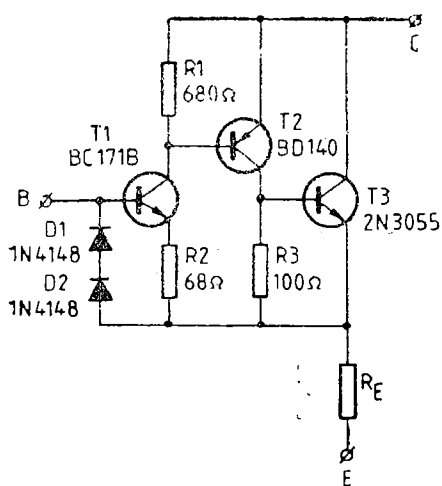


Figura 5.6 Triplet NPN.

nele rezistenței R_E trebuie să fie de cca $0,6 \div 0,7$ V iar în funcție de curentul nominal al etajului final se obține imediat valoarea nominală.

Etajul de reacție negativă globală are rolul reglementării în mod continuu a amplificării generale proprii amplificatorului de audiofrecvență de putere. De cele mai multe ori etajul reacției negative globale este format din unul sau mai multe grupuri RC conectate între ieșirea amplificatorului de audiofrecvență de putere (deci etajul final) și etajul de intrare.

În acest fel o fracțiune din tensiunea de ieșire se aplică etajului de intrare realizându-se astfel bucla de reacție negativă necesară. Condensa-

toarele prezente în grupurile RC au rolul de aplicare a tensiunii alternative preluată de la ieșirea etajului final, blocind totodată tensiunea continuă proprie polarizării diferite ale celor 2 blocuri funcționale. Un alt rol al condensatoarelor este limitarea în frecvență (atât capătul inferior cît și capătul superior al benzii de audiofrecvență) a amplificării generale proprii amplificatorului de audiofrecvență de putere, evitându-se astfel

amplificarea unor semnale electrice alternative din afara benzii de audio-frecvență.

Etajul de protecție la suprasarcină poate avea 2 configurații de bază și anume :

- protecția la suprasarcină prin limitarea curentului livrat de etajul final;
- protecție la suprasarcină prin limitarea amplitudinii semnalului audio util amplificat.

În ambele cazuri se evită funcționarea etajului final în regim de suprasarcină, eliminându-se în acest fel posibilitatea de apariție a distorsiunilor și supraîncărcarea generală a amplificatorului de putere.

5.2 SCHEME ELECTRICE

În funcție de puterea nominală dorită, impedanța de sarcină a incintelor acustice aflate în dotare și performanțele urmărite în ceea ce privește fidelitatea finală obținută, constructorul amator poate alege una dintre schemele electrice prezentate în această lucrare pentru realizarea practică a unui amplificator de audio frecvență de putere. Toate montajele prezentate au fost realizate practic. La fiecare variantă constructivă s-au măsurat parametrii care constituie cartea de vizită proprie fiecărui amplificator. În vederea unei alegeri inițiale comode grupul de scheme electrice s-a împărțit în 3 categorii, și anume :

- amplificatoare de audiofrecvență cu tranzistoare,
- amplificatoare de audiofrecvență cu tranzistoare și circuite integrate,
- amplificatoare de audiofrecvență cu circuite integrate specializate

5.2.1 Amplificator de 5 W

În fig. 5.7 este prezentată schema electrică a unui amplificator de audiofrecvență care livrează o putere nominală de 5 W. Performanțele montajului sunt următoarele :

$$P = 5 \text{ W} \quad U_i = 250 \text{ mV}$$

$$Z_s = 4 \Omega \text{ (8 } \Omega) \quad S/N \geq 70 \text{ dB}$$

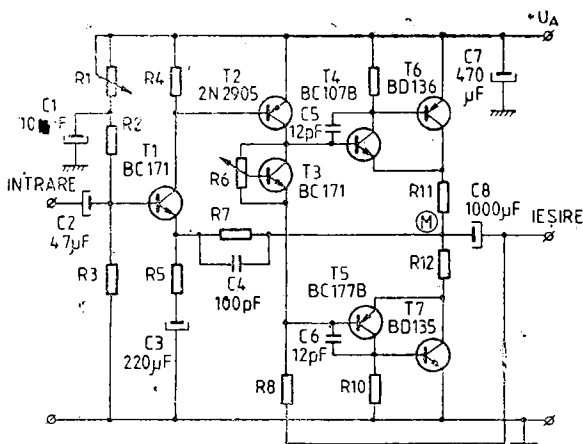
$$Z_i = 85 \text{ k}\Omega \quad \text{THD} \leq 0,2\%$$

$$\Delta f = 40 \text{ Hz} - 16 \text{ kHz} \quad \text{TID} \leq 0,1\%$$

Z_s , fiind impedanța de sarcină nominală.

Semnalul de intrare se aplică prin intermediul condensatorului C_2 etajului de intrare care conține tranzistorul T_1 . Din colectorul lui T_1 se preia direct un semnal electric amplificat aplicat tranzistorului T_2 , care constituie etajul pilot al montajului. Sursa de tensiune continuă destinată polarizării este realizată într-o configurație de tip superdiodă cu ajutorul tranzistorului T_3 . Etajul final, realizat în clasa AB, este format din tranzistoare T_4 , T_6 și T_5 , T_7 amplasate într-un montaj de tipul super-G. Semnalul de ieșire se va aplica difuzorului (grupului de difuzeoare din incinta acustică) prin intermediul lui C_8 .

Bucla de reacție negativă formată din grupurile $R7 C4$ și $R5 C3$ reglementează amplificarea generală a montajului. În vederea utilizării unei impedanțe de sarcină de 4Ω sau 8Ω pentru aceeași configurație a montajului, s-au prevăzut valori diferite pentru unele componente electrice



Z	4Ω	8Ω
U	16V	22V
R1	160kΩ	150kΩ
R2	120kΩ	115kΩ
R3	220kΩ	270kΩ
R4	5.6kΩ	5.6kΩ
R5	150Ω	100Ω
R6	10kΩ	10kΩ
R7	6.8kΩ	6.8kΩ
R8	4.7kΩ	12kΩ
R9	1kΩ	1kΩ
R10	1kΩ	1kΩ
R11	0.47Ω	0.47Ω
R12	0.47Ω	0.47Ω

Figura 5.7 Amplificator de 5 W.

în vederea obținerii aceleiași puteri de 5 W în ambele cazuri. Valorile sunt prezentate în tabelul anexat schemei electrice.

După realizarea practică reglajele necesare constau în realizarea tensiunii cu valoarea $U_A/2$ măsurată în punctul M și stabilirea valorii curentului de mers în gol. Reglajele se fac cu intrarea montajului pusă la masă și impedanță de sarcină (difuzorul) la ieșirea amplificatorului. Stabilirea punctului median de funcționare (tensiunea măsurată în M) se face prin acționarea potențiometrului semireglabil $R1$. Stabilirea valorii curentului de mers în gol, $I_0 = 25$ mA, se face acționind cursorul potențiometrului semireglabil $R6$. După efectuarea acestor reglaje se înlătură străpușul de la intrarea montajului, iar amplificatorul este gata de funcționare.

5.2.2 Amplificator de 10 W

Schema electrică a amplificatorului este prezentată în fig. 5.8. Semnalul se aplică etajului de intrare care conține tranzistorul $T1$, prin intermediul condensatorului $C2$. Se observă că acest etaj de intrare este relativ perfectionat, utilizându-se o conexiune de tip bootstrap în vederea măririi impedanței de intrare generale a montajului. Din colectorul lui $T1$ semnalul se preia galvanic de către tranzistoarele $T2$, $T3$ care funcționează în cadrul montajului ca etaj pilot. Amplasarea tranzistoarelor $T2$, $T3$ într-un montaj de tip Darlington face ca etajul pilot să dețină o amplificare foarte mare, permitând în final amplificatorului funcționarea cu distorsiuni minime. Tranzistorul $T4$ realizează o configurație de tip superdiodă, constituind sursa de tensiune continuă necesară polarizării etajului final. În vederea optimizării funcționării etajului final s-a pre-

văzut grupul $R8$ $R9$ $C5$ care constituie o conexiune bootstrap. Etajul final conține tranzistoarele $T5$, $T6$ și $T7$, $T8$ amplasate într-o configurație de tip dublet super-G. În vederea prevenirii apariției unor oscilații ale amplificatorului, în funcționarea la frecvențe înalte, s-a prevăzut grupul $R21$ $C7$. Amplificarea generală a montajului este reglementată de gru-

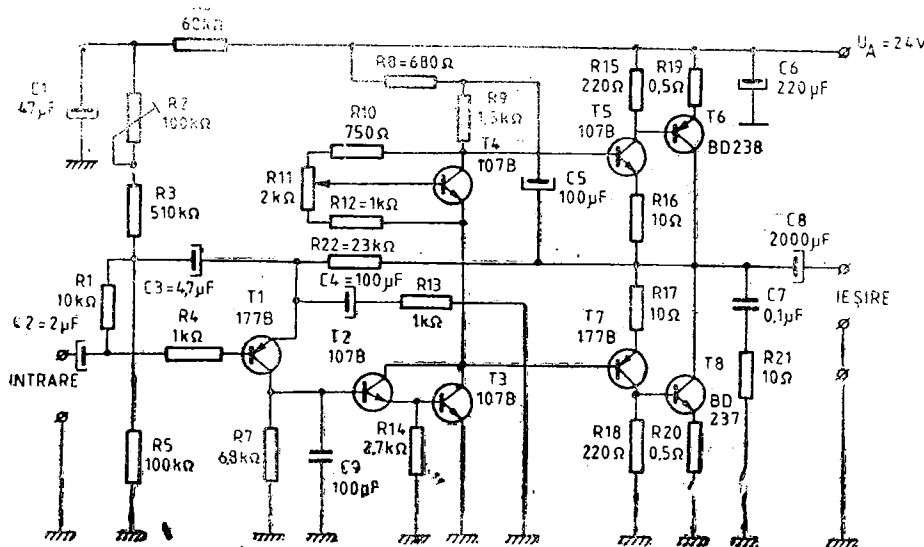


Figura 5.8 Amplificator de 10 W.

pul $R22$ $C4$ $R14$ care constituie bucla de reacție negativă globală. Performanțele montajului sunt următoarele :

$$P = 10 \text{ W}$$

$$U_i = 250 \text{ mV}$$

$$Z_i = 4 \Omega$$

$$S/N \geq 65 \text{ dB}$$

$$Z_o = 82 \text{ k}\Omega$$

$$\text{THD} \leq 0,2\%$$

$$\Delta f = 16 \text{ Hz} - 20 \text{ kHz}$$

$$\text{TID} \leq 0,1\%$$

Reglajul tensiunii din M ($U_A/2$) se face din potențiometrul semireglabil $R2$, iar curentul $I_0 = 40 \text{ mA}$ se stabilește acționind semireglabilul $R11$.

5.2.3 Amplificator cu tranzistoare superbeta

Asimilarea recentă în fabricația de serie autohtonă a tranzistoarelor complementare de tip super- β face posibilă realizarea unui amplificator de audiofreqvență relativ simplu și totodată cu bune performanțe. În fig. 5.9 este prezentată schema electrică a unui amplificator pentru care, în funcție de tensiunea de alimentare, se pot obține puteri nominale de ieșire de la 10 la 50 W.

Față de schemele electrice precedente se observă simplificarea etajului final. Puterea electrică obținută pentru diverse tensiuni de alimen-

tare și performanțele montajului sint prezentate în tabelul anexat schemei electrice. Reglajul curentului de mers în gol $I_0 = 30 \text{ mA}$ se face prin potențiometrul semireglabil $R13$ iar stabilirea în punctul M a tensiunii de $U_A/2$ se face prin potențiometrul semireglabil $R2$.

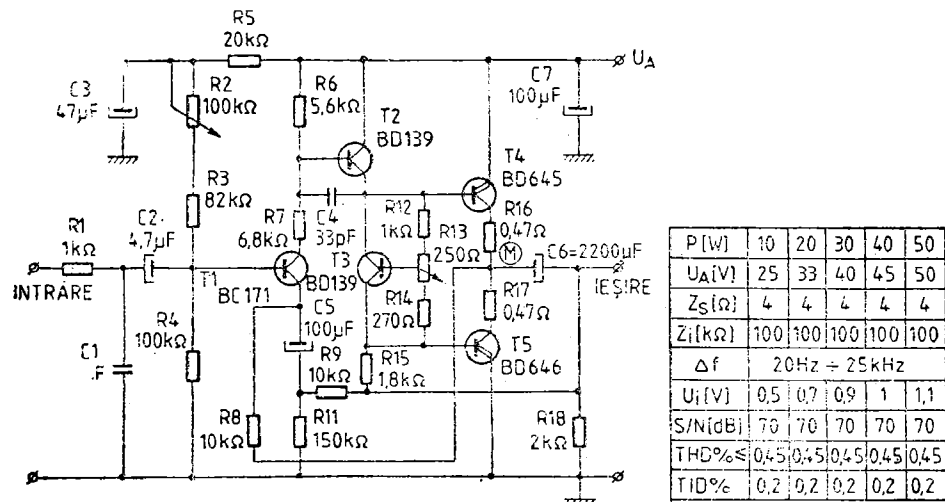


Figura 5.9 Amplificator cu tranzistoare superbeta.

5.2.4 Amplificator de 15 W

Odată cu creșterea puterii nominale livrate de un amplificator de audiofreqvență de putere, pentru obținerea unor performanțe bune schema electrică își va spori gradul de complexitate. În fig. 5.10 este prezentată schema electrică a unui amplificator de 15 W la care, modificind valoarea tensiunii de alimentare și valorile unor componente, există posibilitatea

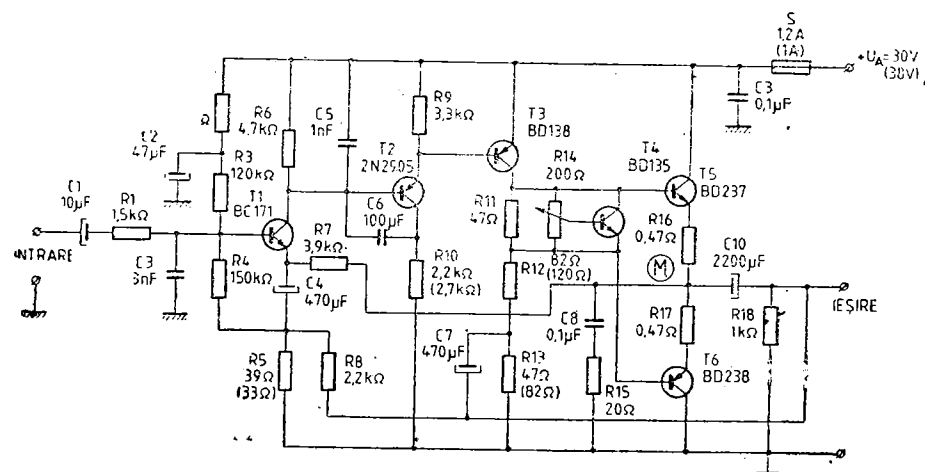


Figura 5.10 Amplificator de 15 W.

livrării aceleiași puteri nominale pentru o impedanță de sarcină de 4 sau 8 Ω. Performanțele montajului sunt următoarele :

$$P = 15 \text{ W}$$

$$U_i = 250 \text{ mV}$$

$$Z_s = 4 \Omega (8 \Omega)$$

$$S/N \geq 70 \text{ dB}$$

$$Z_t = 100 \text{ k}\Omega$$

$$\text{THD} \leq 0,1\%$$

$$\Delta f = 20 \text{ Hz} - 18 \text{ kHz}$$

$$\text{TID} \leq 0,2\%$$

Valorile din paranteză ale componentelor schemei electrice sunt date pentru varianta utilizării unei incinte acustice cu impedanță de 8 Ω. Valoarea tensiunii $U_A/2$ din punctul M se stabilește prin modificarea cu $\pm 10\%$ a valorii rezistenței $R3$. Valoarea curentului de mers în gol $I_0 = 30 \text{ mA}$ se stabilește prin acționarea potențiometrului semireglabil $R14$.

5.2.5 Amplificator HI-FI de 25 W

În fig. 5.11 este prezentată schema electrică a unui amplificator de audiofreqvență de 25 W. Performanțele montajului sunt următoarele :

$$P = 25 \text{ W}$$

$$\Delta f = 15 \text{ Hz} - 35 \text{ kHz}$$

$$Z_s = 4 \Omega (8 \Omega)$$

$$S/N \geq 75 \text{ dB}$$

$$Z_t = 100 \text{ k}\Omega$$

$$\text{THD} \leq 0,03\%$$

$$U_i = 400 \text{ mV}$$

$$\text{TID} \leq 0,01\%$$

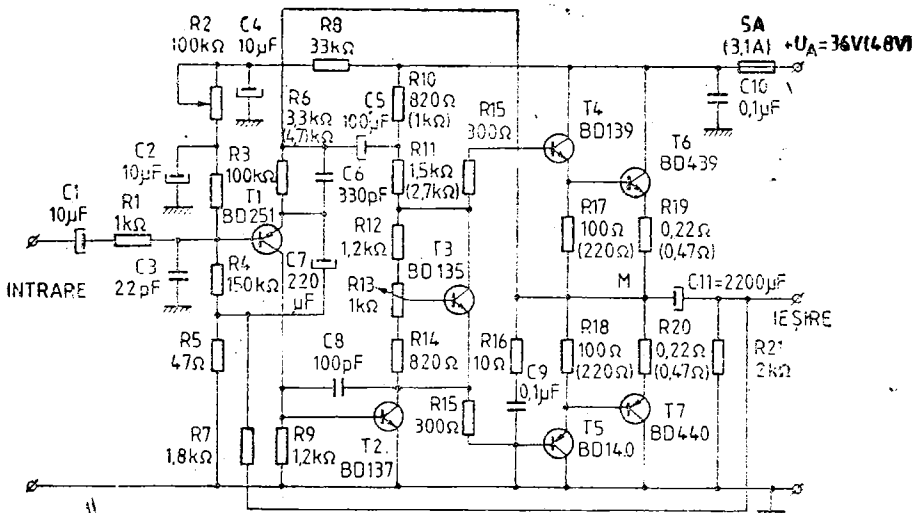


Figura 5.11 Amplificator Hi-Fi de 25 W.

Se observă posibilitatea utilizării pentru aceeași configurație a schemei electrice a unei impudențe de sarcină de 4 Ω sau 8Ω. Pentru fiecare variantă sunt menționate pe schemă valourile rezistențelor. Se observă sporirea complexității schemei electrice pentru fiecare etaj funcțional. Sta-

bilirea valorii $U_A/2$ în punctul M se face prin potențiometrul semireglabil $R2$. Valoarea curentului de mers în gol $I_0 = 40 \text{ mA}$ se obține acționând potențiometrul semireglabil $R13$. Reglajele se fac cu intrarea montajului strapată și impedanța de sarcină conectată la ieșirea amplificatorului.

5.2.6 Amplificator HI-FI de 35 W

Schema electrică a amplificatorului de 35 W este prezentată în fig. 5.12. Față de montajele anterioare, în afara specirii complexității se observă prezența blocului de protecție electronică la suprasarcină. Protecția este de tipul celei care limitează amplitudinea tensiunii de atac a etajului final.

Performanțele montajului sint următoarele :

$$P = 35 \text{ W}$$

$$U_t = 400 \text{ mV}$$

$$Z_s = 8 \Omega (4 \Omega)$$

$$S/N \geq 75 \text{ dB}$$

$$Z_t = 250 \text{ k}\Omega$$

$$\text{THD} \leq 0,1\%$$

$$\Delta f = 15 \text{ Hz} - 50 \text{ kHz}$$

$$\text{TID} \leq 0,6\%$$

Valoarea tensiunii $U_A/2$ din punctul M se stabilește acționind potențiometrul semireglabil $R3$. Valoarea curentului de mers în gol $I_0 = 45 \text{ mA}$ se stabilește acționind cursorul potențiometrul semireglabil $R13$. Funcționarea protecției se asigură aplicind la intrarea montajului un semnal

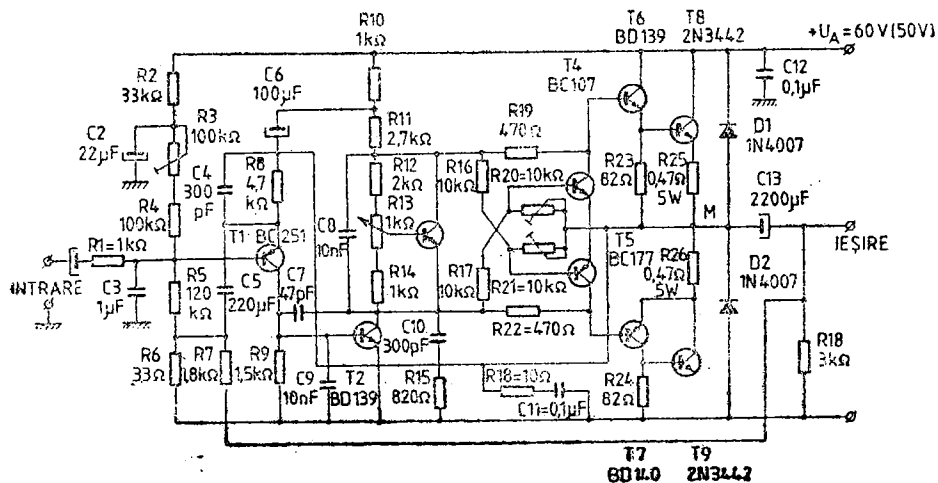


Figura 5.12 Amplificator HI-FI de 35 W.

de intrare cu amplitudinea $U_t = 450 \text{ mV}$ și acționind potențiometrele semireglabile $R19$ și $R11$ pînă ce se obține o limitare de 3% simetrică a formei de undă sinusoidală a semnalului, vizualizată cu ajutorul unui osciloscop în colectoarele tranzistoarelor $T4$ și $T5$.

5.2.7 Amplificator HI-FI de 60 W

Schema electrică a amplificatorului de 60 W este prezentată în fig. 5.13. Semnalul de intrare se aplică etajului de intrare prin intermediul condensatorului C_1 și a grupului $R_1 R_2 C_2$. Acesta constituie un filtru trece-jos amplasat la intrarea montajului în scopul eliminării posibili-

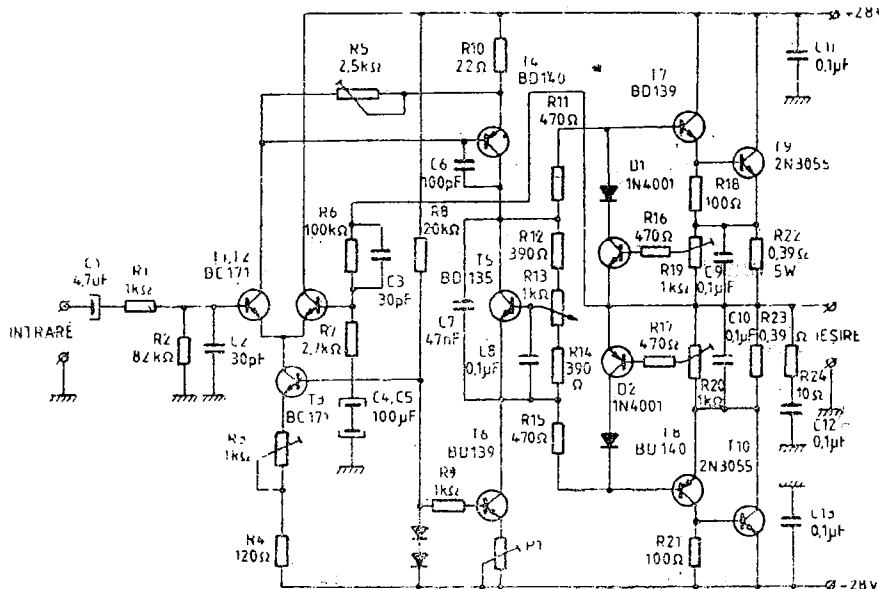


Figura 5.13 Amplificator Hi-Fi de 60 W.

tăji de amplificare nedorită a semnalelor de frecvență înaltă ultrasonoră. Tranzistoarele T_1 și T_2 sunt amplasate într-o configurație de amplificator diferențial, în scopul sporirii performanțelor electrice ale etajului de intrare în ceea ce privește atât impedanța de intrare cât și liniaritatea caracteristicilor de transfer. De asemenea, în emitorii tranzistoarelor T_1 și T_2 se află sursa de curent constant realizată cu ajutorul tranzistorului T_3 .

Se observă că alimentarea montajului se face de la o sursă dublă de tensiune. Montajul folosește componente electrice obișnuite. Se remarcă protecția electronică la suprasarcină, realizată cu ajutorul tranzistoarelor T_7 și T_8 . Protecția este de tipul care limitează curentul de ieșire-debit de amplificator.

Performanțele montajului (alimentat de la o sursă dublă) :

$$P = 60 \text{ W}$$

$$U_t = 450 \text{ mV}$$

$$Z_t = 4 \Omega$$

$$S/N > 75 \text{ dB}$$

$$Z_t = 82 \text{ k}\Omega$$

$$\text{THD} \leq 0,06\%$$

$$\Delta f = 14 \text{ Hz} - 30 \text{ kHz}$$

$$\text{TID} \leq 0,02 \text{ \%}$$

Acționind potențiometrul semireglabil R_3 se stabilește un curent de 1 mA prin colectorul tranzistorului T_3 ; din potențiometrul P_1 se sta-

bilește un curent de 12 mA în colectorul lui T_6 . Stabilirea tensiunii nule de ieșire a amplificatorului în punctul M se realizează actionind cursorul potențiometrului semireglabil R_5 . Valoarea curentului de mers în gol $I_g = 50$ mA se stabilește actionind cursorul potențiometrului semireglabil R_{13} .

Pentru reglarea protecției se amplasează la ieșirea amplificatorului o rezistență de sarcină de valoare $R = 2 \Omega$, se mărește amplitudinea semnalului de test sinusoidal U_i pînă cînd prin rezistență de sarcină trece un curent $I = 1,2 I_N$. Amplasînd la ieșirea montajului un osciloscop se acționează pe rînd potențiometrele semireglabile R_{19} și R_{20} pînă cînd se obține o limitare simetrică, cu eca 5%, a sinusoidei semnalului de ieșire. După aceste reglaje amplificatorul funcționează la parametrii nominali.

5.2.8 Amplificator HI-FI de 75 W

Schema electrică a amplificatorului de 75 W este prezentată în fig. 5.14. Performanțele montajului sint următoarele :

$$P = 75 \text{ W}$$

$$Z_s = 8 \Omega$$

$$Z_t = 25 \text{ k}\Omega$$

$$\Delta f = [18 \text{ Hz} - 39 \text{ kHz}]$$

$$U_t = 1 \text{ V}$$

$$S/N \geq 90 \text{ dB}$$

$$\text{THD} \leq 0,01\%$$

$$\text{TID} \leq 0,03\%$$

$$SR(\text{slew-rate}) = 25 \text{ V}/\mu\text{s}$$

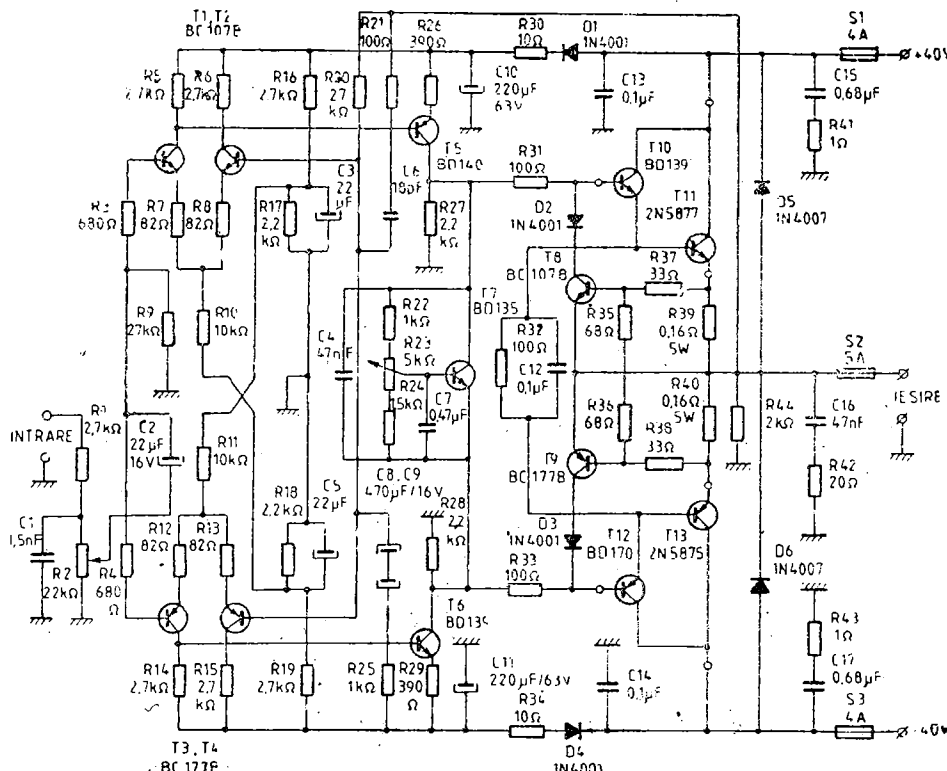


Figura 5.14 Amplificator Hi-Fi de 75 W.

Soluția adoptată pentru acest amplificator oferă performanțe electrice deosebite. Se observă folosirea unui etaj de intrare cu amplificatoare diferențiale specializate pentru amplificarea separată a fiecărei semialternanțe a semnalului de intrare.

Protectia amplificatorului este de tipul celor cu limitare în curent. Stabilirea tensiunii nule la ieșire (M) se face automat datorită configurației schemei electrice. Reglajul curentului de mers în gol $I_0 = 60$ mA se face actionînd potențiometrul semireglabil $R23$.

Datorită condițiilor de lucru deosebite (puterea livrată de către amplificator), s-au prevăzut protecții suplimentare atât în privința celor două surse de tensiune care alimentează montajul cît și ieșirii amplificatorului. Protecția este realizată de către siguranțele fuzibile $S1$, $S2$ și $S3$, dimensionate corespunzător.

Pentru prevenirea amplificării frecvențelor ultrasonore care ar putea apărea în spectrul semnalului audio aplicat la intrarea amplificatorului, bucla de reacție negativă globală care reglementează amplificarea generală, formată din componentele $R20$, $R21$, $C6$, $C8$, $C9$, $R29$ este dimensionată corespunzător. Tot în același scop la intrarea amplificatorului este amplasat filtrul trece-jos $R1 C1$. Pe partea de alimentare a etajelor de intrare și a etajului pilot s-au amplasat grupurile $D1 C10$ și $D4 C11$ în scopul prevenirii scăderii tensiunii de alimentare în momentul livrării de către amplificator a puterii maxime. În acest fel etajele funcționale menționate anterior lucrează la parametrii estimati inițial.

Datorită faptului că schema electrică este deosebit de complexă se recomandă realizarea ei practică într-un mod cît mai compact și uniform, respectându-se în principal structura de cuadripoli a etajelor funcționale. De asemenea, sursa dublă de alimentare trebuie dimensionată astfel încit să livreze puterea maximă fără ca tensiunea de alimentare să scadă mai mult de 1 V în momentul livrării puterii maxime.

5.2.9 Amplificator HI-FI hibrid

Realizarea unui amplificator de audiofrecvență de putere cu performanțe ridicate impune alegerea unui montaj care să îmbine calitățile superioare ale caracteristicilor de funcționare cu folosirea economică a energiei electrice.

În acest scop au fost elaborate circuite integrate specializate (TDA 2010, TDA 2020 etc.). Întrucât aceste circuite sunt greu de procurat de către constructorul amator, în lucrarea de față se prezintă un montaj hibrid care îmbină performanțele ridicate ale circuitelor integrate cu posibilitatea realizării practice a amplificatorului, folosind componente fabricate în România.

Performanțele amplificatorului din fig. 5.15 :

- tensiunea de alimentare : 40 V
- curentul de mers în gol : 50 mA
- curentul maxim : 2 A
- puterea maximă : 30 W
- banda de frecvență : 16 Hz – 18 kHz
- distorsiuni armonice : $\leq 0,2\%$
- distorsiuni de intermodulație $\leq 0,02\%$

- sarcina minimă : 4Ω
- tensiunea nominală de intrare : 400 mV
- amplificarea de tensiune : 30 dB

Semnalul de intrare se aplică, prin intermediul condensatorului C_1 , pe intrarea neinversoare a amplificatorului operational βA 741. Aceasta oferă avantajele unei impudențe de intrare ridicata și în același timp o

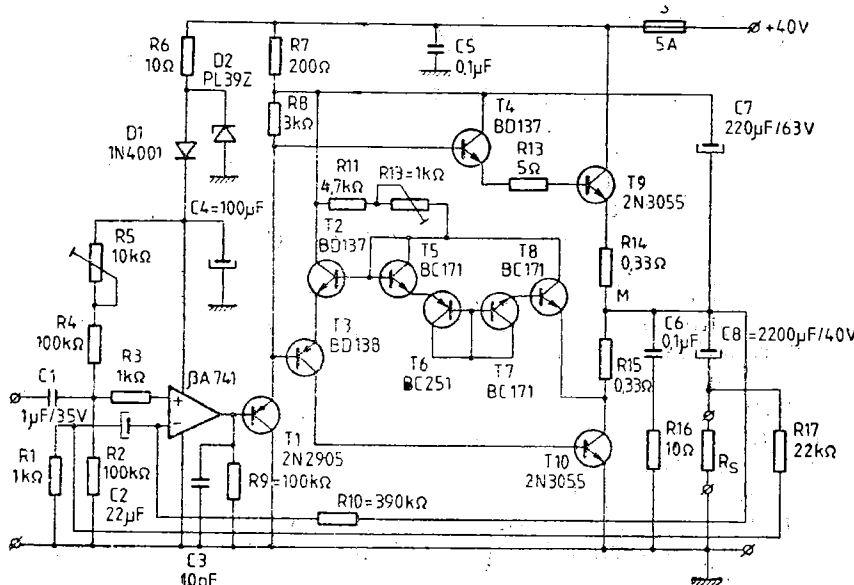


Figura 5.15 Amplificator Hi-Fi hibrid.

bună stabilitate a parametrilor de funcționare la variațiile temperaturii mediului ambient. Concomitent, există posibilitatea, folosită în cazul de față, de aplicare a unei reacții globale. Amplificatorul operațional realizează amplificarea semnalului de intrare, indeplinind și funcția etajului pilot, de obținere a semnalului de comandă pentru etajul final de putere. Ieșirea amplificatorului operațional este conectată direct în baza tranzistorului T_1 . T_1 funcționează ca repetor pe emitor, având rolul de etaj tampon între amplificatorul operațional și etajul final de putere.

Etajul final face parte din categoria montajelor în contratimp, clasa AB, pentru obținerea unui randament ridicat și a unor distorsiuni cît mai mici. În vederea măririi randamentului și a micșorării consumului de energie s-a ales o schemă de polarizare care permite saturarea celor două tranzistoare finale. Se obține în acest fel o excursie maximă a semnalului debitat de etajul pilot, între valorile $U_A - U_{sat\ T_9}$ și $U_{sat\ T_{10}}$. Astfel se folosesc cu randament maxim pentru etajele finale care funcționează în clasa AB, posibilitățile sursei de alimentare. Să analizăm soluția, aparent complicată, adoptată pentru etajul final de putere.

Circuitul de polarizare, format din tranzistoarele $T_5 - T_8$, asigură funcționarea tranzistoarelor finale T_9 și T_{10} în clasa B (de fapt clasa AB). Circuitul de polarizare permite obținerea unui curent de repaos suficient pentru evitarea distorsiunilor de racordare ale celor două semialternanțe

care compun semnalul util (cross-over). Din schema electrică a montajului rezultă imediat că circuitul de polarizare asigură tensiunea de valoare $4 V_{BE}$, necesară tranzistoarelor $T4$, $T3$, $T9$ și $T10$. Astfel se justifică prezența în circuitul de polarizare a celor patru tranzistoare, primele trei fiind conectate ca diode, soluție impusă de nevoia de a compensa variațiile tensiunilor bază-emitor ale tranzistoarelor $T3$, $T9$ și $T10$, $T4$ cu temperatură. Întrucât toate tensiunile bază-emitor variază practic la fel cu temperatură, rezultă că dacă am realizat egalitatea dintre suma tensiunilor bază-emitor ale tranzistoarelor din lanțul de polarizare și suma tensiunilor bază-emitor ale tranzistoarelor etajului final, am obținut compensarea termică necesară, compensare care se va menține pe un interval larg de variație a temperaturii. În același scop, de prevenire a unei ambalări termice excesive a tranzistorilor finali, sunt conectate rezistențele $R14$ și $R15$, care deși produc o mică reducere a puterii etajului final, sunt absolut necesare pentru buna funcționare a acestuia.

Analizând funcționarea celor doi dubleti $T4$, $T9$ și $T3$, $T10$ din etajul final, se observă că, pentru semialternanța negativă a semnalului util, limita inferioară a tensiunii este impusă de tensiunea de saturare a tranzistorului $T10$.

Se observă că :

$$V_{BC10} = V_{BE8} + V_{BE7} + V_{BE6} - V_{BE5} - V_{BE3} - \\ - V_{E1} + V_{RE10} \approx 3 V_{BE} - V_{E1}$$

Din relația de mai sus rezultă că imediat ce $V_{E1} < 3 V_{BE}$, iar tranzistorul $T10$ se saturează, deoarece V_{BC10} devine pozitiv. Pentru semialternanța pozitivă a semnalului util, în scopul posibilității saturării tranzistorului $T9$, se folosește o conexiune de tip bootstrap. Condensatorul $C9$, încărcat la potențialul $U_A/2$, indeplinește condiția saturării tranzistorului $T9$, deoarece se observă că

$$U_{C7} = \frac{U_A}{2} > V_{BE4} + V_{BE9} + V_{R13}, \quad V_{R13} = R_{13} I_{R13} < 0,6 \text{ V}$$

Utilizarea unei conexiuni de tip bootstrap mai are o consecință favorabilă și anume asigură automat funcționarea, fără a intra în saturare, a tranzistorului $T2$, fapt important deoarece $T2$ asigură curentul de emitor al lui $T3$. $T2$ are totodată rolul de etaj tampon față de circuitul de polarizare.

Pentru buna funcționare a amplificatorului s-au luat o serie de măsuri de protecție.

Cuplajul etajului final de putere cu impedanța de sarcină (difuzoarele) se face capacativ, cu ajutorul lui $C8$. În acest fel se realizează o separație galvanică între amplificator și sarcină, evitând apariția unei componente de curent continuu nedorită prin difuzoare. Pentru suprimarea eventualelor oscilații ale etajului final pe o frecvență foarte înaltă, s-a prevăzut grupul $R16 C6$. În scopul protejării circuitului $\beta A 741$ în ceea ce privește depășirea accidentală a tensiunii de alimentare, s-a prevăzut dioda Zener $D2$. Grupul $D1 C4$ are rolul de a menține tensiunea de alimentare a lui $\beta A 741$ constantă, chiar cind etajul final debitează puterea maximă și U_A ar putea scădea. În acest fel se evită distorsiunile care ar putea fi cauzate de etajul pilot. Protecția generală a amplificatorului este realizată de siguranța $S1$.

După realizarea atență a cablajului imprimat, se montează componentele și se reverifică montajul, deoarece orice greșală poate fi catastrofică pentru amplificator. Tranzistorii T_9 , T_{10} și T_2 , T_3 , T_4 trebuie să aibă același $h_{21\pi}$. Se folosesc componente verificate ca valori și de bună calitate. Tranzistoarele finale se vor monta pe radiatori corespunzător dimensionați în ceea ce privește puterea maximă disipată.

Se prevăd radiatori și pentru tranzistoarele prefinale iar grupul de tranzistoare T_5 , T_6 , T_7 , T_8 se montează separat și apoi se dispune pe radiatorul tranzistoarelor finale. Amplificatorul se alimentează de la o sursă de tensiune continuă stabilizată și bine filtrată. Operațiile de reglaj constau în reglajul curentului de mers în gol, din semireglabilul R și reglajul în punctul M al tensiunii $U_A/2$. Dacă constructorul dispune de un generator de audiofrecvență și un osciloscop, cu ajutorul unei rezistențe de sarcină R_s montate la ieșirea amplificatorului se pot vizualiza cele două semialternanțe ale semnalului de ieșire, urmărind limitarea lor simetrică la depășirea valorii maxime ale semnalului de intrare.

Se atrage atenția că reglajul curentului de mers în gol (50 mA) și al tensiunii în punctul M trebuie făcut cu intrarea amplificatorului conectată la masa montajului.

Montajul se poate realiza și în varianta stereo, reglajele susmenționate făcindu-se separat pentru fiecare canal.

5.2.10 Amplificatoare cu TBA 570

Utilizarea circuitului integrat TBA 570 în aparatura de audiofrecvență permite obținerea unor montaje relativ simple și care totodată oferă bune performanțe. Deși acest circuit integrat mai are și alte funcții (legate de aplicațiile în radiofrecvență) în lipsa unui alt tip consacrat de amplificator de audiofrecvență (TBA 790, TCA 150, TBA 810 etc.) el se poate folosi foarte bine într-un montaj de această factură. Totodată, există posibilitatea utilizării în audiofrecvență a unui circuit integrat de acest tip care, din diferite cauze, nu mai corespunde ca parametri decât în privința secțiunii utilizate la construcția unui amplificator.

În fig. 5.16 este prezentată schema electrică a unui amplificator de audiofrecvență cu uimătoarele performanțe :

$$P = 5,5 \text{ W}$$

$$\Delta f = 45 \text{ Hz} - 14 \text{ kHz}$$

$$Z_s = 4 \Omega$$

$$S/N \geq 65 \text{ dB}$$

$$Z_i = 82 \text{ k}\Omega$$

$$\text{THD} \leq 0,4\%$$

$$U_i = 50 \text{ mV}$$

$$\text{TID} \leq 0,2\%$$

Semnalul audio util se aplică la intrarea neinversoare a amplificatorului operațional conținut de circuitul integrat. Grupul de rezistențe $R_1 R_2 R_3$ este destinat polarizării amplificatorului operațional astfel încât punctul său de funcționare (tensiunea lui de ieșire) să se situeze în zona optimizării funcționării etajului final. Grupul $R_5 C_2$ asigură un filtraj suplimentar tensiunii destinate polarizării amplificatorului operațional.

Grupul $R_7 C_4 C_3 R_6$ reprezintă bucla de reacție negativă care definește amplificarea finală a montajului.

Tensiunea furnizată de bucla de reacție negativă se aplică întrării inversoare a amplificatorului operațional. Semnalul de ieșire furnizat de amplificatorul operațional se aplică în baza tranzistorului conținut de circuitul integrat TBA 570 (conexiune internă). Acest tranzistor îndeplinește rolul etajului pilot existent în orice amplificator de audiofreqvență.

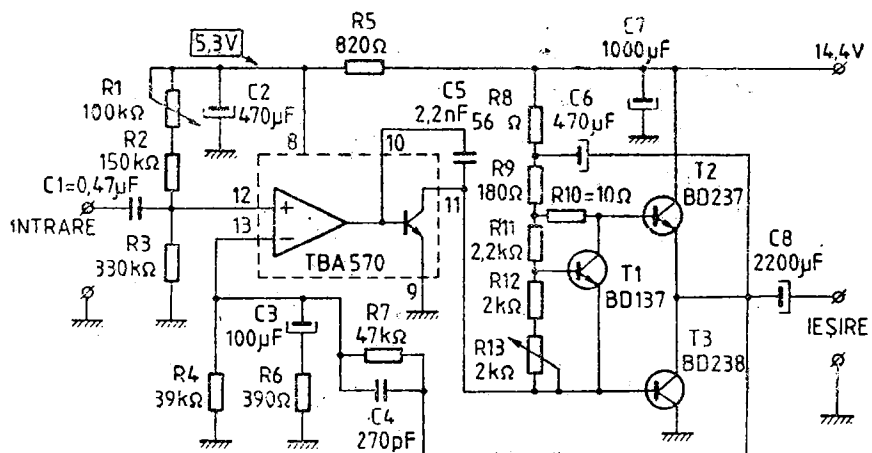


Figura 5.16 Amplificator cu TBA 570 de 5,5 W.

Grupul $R_8\ C_6\ R_9$ reprezintă o conexiune de tip bootstrap, care optimizează funcționarea etajului pilot, atât în ceea ce privește excursia în tensiune a semnalului audio amplificat cât și în privința măsurării procentuale de distorsiuni care ar putea apărea în urma unei amplificări mari (liniarizarea caracteristicii de transfer a etajului pilot).

Tranzistorul T_1 este amplasat în cadrul montajului ca sursă de tensiune constantă de tip superodă, díepindință polarizării celor tranzistoare T_2 și T_3 . Etajul final al amplificatorului este realizat cu tranzistoarele complementare T_2 și T_3 , care realizează amplificarea în curent necesară furnizării puterii nominale impedanței de sarcină (grupului de difuzoare). Cuplajul dintre etajul final și impedanța de sarcină se realizează prin intermediul condensatorului C_1 .

Tensiunea de alimentare a montajului a fost aleasă ca valoare în scopul utilizării drept sursă de tensiune a bateriei de acumulatoare ce echipează un automobil, dar desigur că montajul se poate alimenta cu energie de la un redresor obișnuit, care să livreze tensiunea și curentul solicitat de amplificator.

În fig. 5.17 este prezentată schema electrică a unui alt amplificator de audiofreqvență ce folosește circuitul integrat TBA 570, de putere mai mare. Performanțele montajului sunt următoarele :

$$P = 6,5 \text{ W}$$

$$\Delta f = 35 \text{ Hz} - 14 \text{ kHz}$$

$$Z_s = 4 \Omega$$

$$\text{THD} \leq 0,4\%$$

$$Z_i = 85 \text{ k}\Omega$$

$$\text{TID} \leq 0,2\%$$

$$U_t = 50 \text{ mV}$$

$$S/N \geq 65 \text{ dB}$$

Se observă că blocurile funcționale sunt asemănătoare și cu funcții identice cu cele ale amplificatorului de 5,5 W. În scopul obținerii unei amplificări suplimentare în ceea ce privește frecvențele joase (redată slab din punct de vedere acustic la o putere relativ mică), bucla de reacție nega-

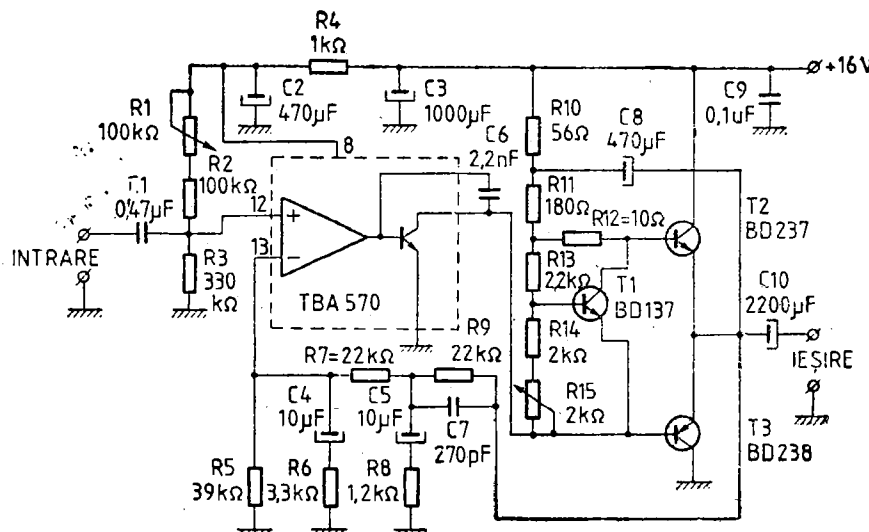


Figura 5.17 Amplificator cu TBA 570 de 6,5 W.

tivă a căpătat o structură mai complexă, utilizând componentele $R9$ $C7$ $C5$ $R8$ $R7$ $C4$ $R6$. Pentru asigurarea funcționării în parametri în momentul livrării puterii nominale, tranzistoarele complementare $T2$ și $T3$ au fost alese de putere mai mare (BD 237 și BD 238).

Montajul se execută pe o placă de sticlostratitex placat cu cupru, în varianta mono sau stereo. La realizarea cablajului imprimat se are în vedere păstrarea tuturor cerințelor pentru un montaj de audiofreqvență. După realizarea cablajului imprimat componentele electrice se planteză cu grijă, cu cerința ca fiecare valoare indicată de schema electrică să fie păstrată cu strictețe. Tranzistoarele finale $T2$ $T3$ și tranzistorul $T1$ (destinat polarizării acestora) se amplasează pe un radiator comun din aluminiu, cu o suprafață de minim 60 cm^2 . Pentru izolarea galvanică a tranzistoarelor se folosesc folii de mică cu grosimea de $0,2 \text{ mm}$, care oferă în același timp avantajul unei bune disipații termice alături de o izolație electrică perfectă. După realizare montajul se alimentează de la sursa de tensiune. Se acționează cursorul potențiometrului semireglabil $R1$ astfel ca în emitorii tranzistoarelor $T2$ și $T3$ să se obțină o tensiune egală cu jumătate din valoarea tensiunii de alimentare. Currentul de mers în gol se regleză acționând cursorul potențiometrului semireglabil propriu blocului sursă de tensiune constantă ($R13$ pentru amplificatorul de 5,5 W și $R15$ pentru amplificatorul de 6,5 W). Valoarea curentului de mers în gol este $I_0 = 35 \text{ mA}$. Reglažele menționate anterior se efectuează cu intrarea montajului pusă la masă.

5.2.11 Amplificator stereo de 7W cu circuite integrate

Folosind un circuit integrat TBA 810 AS, amplificatorul din fig. 5.18 realizează o putere de ieșire de 7 W. Din schema de montaj se observă că potențiometrul P_1 este amplasat în scopul reglajului de amplificare,

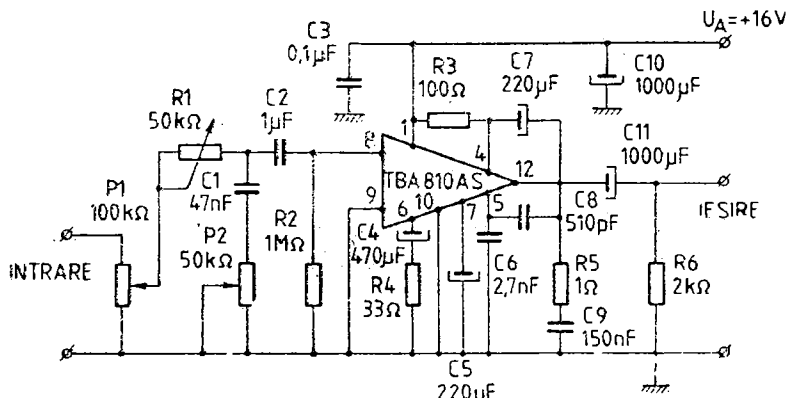


Figura 5.18 Amplificator cu TBA 810 AS de 7 W.

potențiometrul P_2 pentru reglajul de balans iar potențiometrul semireglabil $R1$ servește la corecția semnalelor audio de frecvență înaltă. Corecția de frecvență globală este asigurată de grupurile $C4 R4$, $C6$ și $C8$. Bucla de reacție negativă totală este formată din grupul $C4 R4$. Prin modificarea valorii rezistenței $R4$ se poate modifica valoarea finală a amplificării generale a canalului informațional stânga sau dreapta. Pentru un filtraj eficient al tensiunii de alimentare s-au prevăzut condensatoarele $C10$ și $C3$.

Performanțele montajului :

$$P = 7 \text{ W} \quad S/N \geq 65 \text{ dB}$$

$$Z_i = 50 \text{ k}\Omega \quad \text{THD} \leq 0,8\%$$

$$Z_o = 4\Omega \quad \text{TID} \leq 0,05\%$$

$$\Delta f = 40 \text{ Hz} - 18 \text{ kHz} \quad U_A = 16 \text{ V}$$

$$U_i = 250 \text{ mV}$$

5.2.12 Amplificator în punte cu circuite integrate

În vederea măririi puterii de ieșire a unui amplificator de audio-frecvență construit cu circuite integrate au fost realizate să zisele montaje în „punte”, cu două amplificatoare operaționale. Acest lucru duce la dublarea puterii de ieșire proprii a unui amplificator realizat cu un anumit tip de circuit integrat, dimensionat pentru o anumită putere de ieșire.

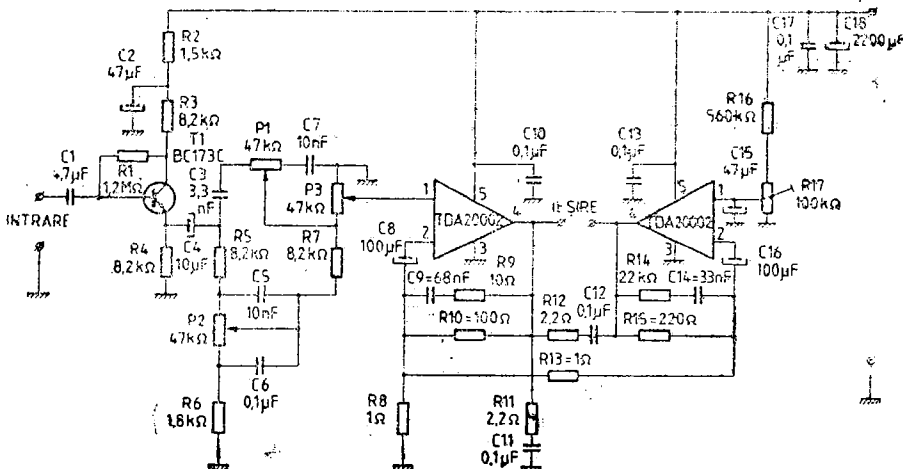


Figura 5.19 Amplificator în puncte.

Schema electrică a amplificatorului este prezentată în fig. 5.19. Performanțele sănt următoarele :

$$P = 4 \text{ W} (\text{U} = 6 \text{ V})$$

$$\Delta f = 30 \text{ Hz} - 18 \text{ kHz};$$

$$P = 15 \text{ W} (\text{U} = 14 \text{ V})$$

$$U_i = 150 \text{ mV};$$

$$P = 20 \text{ W} (\text{U} = 18 \text{ V})$$

$$S/N \geq 65 \text{ dB};$$

$$Z_i = 10 \text{ k}\Omega;$$

$$\text{THD} \leq 0,4\%;$$

$$Z_s = 8 \text{ }\Omega;$$

$$\text{TID} \leq 0,06\%;$$

$$\text{corecție de frevență : } f = 100 \text{ Hz}, A = \pm 15 \text{ dB}$$

$$f = 12 \text{ kHz}, A = \pm 14 \text{ dB}$$

Semnalul de intrare se aplică prin intermediul condensatorului C_1 etajului de intrare care conține tranzistorul T_1 . Configurația etajului de intrare este astfel aleasă încit să permită realizarea unor corecții de frecvență dorite semnalului audio util.

De la cursorul potențiometrului P_3 semnalul audio corectat se aplică amplificatorului de putere care are o configurație tip puncte. Filtrajul tensiunii de alimentare este realizat de grupul de condensatoare C_{17} și C_{18} . În mod obligatoriu conexiunile ce privesc intrarea montajului se realizează folosind conductor ecranat.

5.2.13 Amplificator de 50 W cu circuit integrat

Puterea de ieșire nominală a unui circuit integrat de tip amplificator de audiofreqvență de putere poate fi mărită folosind o configurație adecvată a schemei electrice. Suplimentând ieșirea etajului final de putere cu

un montaj de tip repetor pe emitor s-a mărit puterea de ieșire a circuitului integrat TDA 2020 de la 18 W la 50 W. Schema electrică a amplificatorului (alimentat simetric) este prezentată în fig. 5.20. Performanțe:

$$P = 50 \text{ W}$$

$$Z_s = 4 \Omega$$

$$Z_t = 100 \text{ k}\Omega$$

$$\Delta f = 25 \text{ Hz} - 18 \text{ kHz}$$

$$U_i = 400 \text{ mV}$$

$$S/N \geq 65 \text{ dB}$$

$$\text{THD} \leq 0,4\%$$

$$\text{TID} \leq 0,06\%$$

Montajul se realizează pe o placă de sticlostratitex placat cu cupru. Obligatoriu tranzistoarele finale se amplasează pe același radiator cu al circuitului integrat.

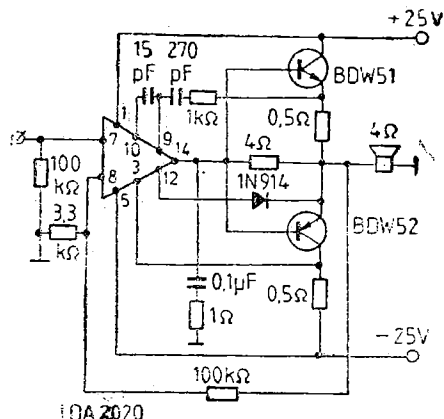


Figura 5.20 Amplificator de 50 W cu circuit integrat.

5.3 VERIFICAREA AMPLIFICATORULUI DE AUDIOFRECVENȚĂ DE PUTERE

Parametrii esențiali care caracterizează un amplificator de audiofrecvență sunt puterea, impedanța sa de ieșire și procentul de distorsiuni armonice totale (THD). Cunoscând acești parametri, se pot compara relativ ușor două amplificatoare audio realizate de firme diferite.

Totuși, practica a arătat că, pentru caracterizarea deplină a unui amplificator de audiofrecvență de putere, sunt necesare o serie de detalii suplimentare, care să ofere o imagine completă asupra comportării sale. Ascultând același program muzical sonor redat de aceleași incinte acustice, dar folosind, pe rînd, două amplificatoare audio diferite, se observă frecvență că unul dintre ele lucrează mai bine și mai eficient decât celălalt deși ambele au aceeași putere de ieșire și de cele mai multe ori aceleași coeficient THD. Faptul se datorează modului de lucru diferit în ceea ce privește *regimul dinamic* de funcționare, în special în momentul în care amplificatorul livrează puterea sa nominală.

Pentru a avea o imagine completă asupra problemei este necesar să se țină cont de condițiile reale de funcționare ale unui amplificator de audiofrecvență în ceea ce privește și forma de undă a semnalului audio util. Comportarea unui amplificator de audiofrecvență în regimul de lucru cu semnal de intrare sinusoidal, pentru care este definită puterea sa nominală de ieșire, nu reflectă comportarea sa reală la semnalul electric propriu unui program muzical sonor. Acesta este format dintr-un conglomerat de forme de undă nesinusoidală, care de cele mai multe ori se succed cu salturi de amplitudine total diferite de forma de undă sinusoidală. Analizând cu ajutorul unui osciloscop forma de undă a unui semnal electric propriu unui program muzical sonor, se observă că ea prezintă de cele mai multe ori o altură foarte apropiată de forma de undă a unui semnal aleatoriu (de

exemplu, cea a zgomotului roz, fig. 5.21. Acest lucru are o importanță deosebită în momentul în care amplificatorul depășește în timpul funcționării, pentru perioade scurte de timp, puterea sa nominală. Dacă în regim sinusoidal de funcționare raportul puterilor $P_{VTRF}/P_{NOM} = 2$ în condițiile reale de funcționare $P_{VTRF}/P_{NOM} = 25 - 50$.

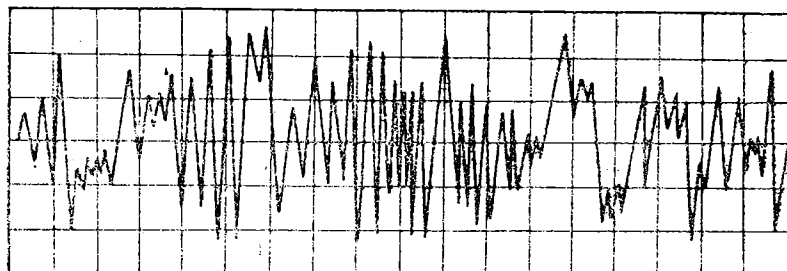


Figura 5.21 Forma de undă a zgomotului roz.

De aici se vede că, în regimul tranzitoriu de funcționare, amplificatorul depășește cu mult posibilitățile sale de lucru teoretic. Această suprasolicitare se răsfringe totdeauna în mod direct asupra etajului de alimentare, influențând în mod negativ furnizarea energiei electrice celorlalte blocuri funcționale proprii amplificatorului (scade tensiunea de alimentare). În funcție de configurația schemei electrice după care este realizat, amplificatorul este mai mult sau mai puțin sensibil la aceste variații ale puterii electrice primite, care are din construcție o valoare limitată. Urmare celor expuse anterior, apare evident faptul că pentru verificarea performanțelor unui amplificator de audiofrecvență de putere, încadrabil în categoria Hi-Fi, este necesară simularea unui regim de lucru apropiat de condițiile reale de funcționare. Pentru testări se alege o astfel de formă de undă a semnalului de intrare, încit să fie permisă, pentru o perioadă scurtă de timp, supraîncărcarea amplificatorului.

Forma de undă a semnalului de intrare pentru testarea dinamică este prezentată în fig. 5.22. Se observă că este vorba de un semnal electric cu

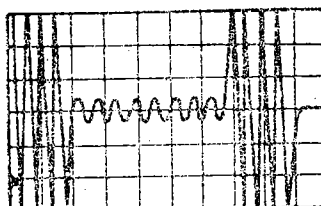


Figura 5.22 Forma de undă a semnalului pentru testarea dinamică.

formă de undă sinusoidală, modulat în amplitudine după un algoritm astfel ales încit pentru o perioadă scurtă de timp amplificatorul e supraîncărcat iar ulterior semnalul de intrare se micșorează, în scopul prevenirii ambalării termice a etajului final. În același timp este posibilă și disiparea excesului de căldură acumulat în momentul debitării unei puteri mai mari decât puterea nominală. Cu un astfel de generator al semnalului de intrare (*tone-burst generator*) cu durată trenurilor de undă reglabilă, se pot testa și ulterior amplificatoarele de putere.

Folosirea trenurilor de undă permite scurte supraîncărcări ale amplificatorului supus măsurătorilor, fără riscul deteriorării etajului final sau a blocului de alimentare. Acest tip de verificări sunt singurele care pot departaja în mod net diferite tipuri de amplificatoare de audiofrecvență, identice ca performanțe din punct de vedere al funcționării în regim sinu-

soidal de lucru. Parametrul principal urmărit este capacitatea de recuperare a amplificatorului. Ea reprezintă posibilitatea unui amplificator de a reveni și reda corect semnalele de nivel mic precedate de semnale de nivel mare. La amplificatoarele de audiofrecvență cu capacitate de recuperare scăzută, semnalele puternice exercită o acțiune de mascare (gătuire)

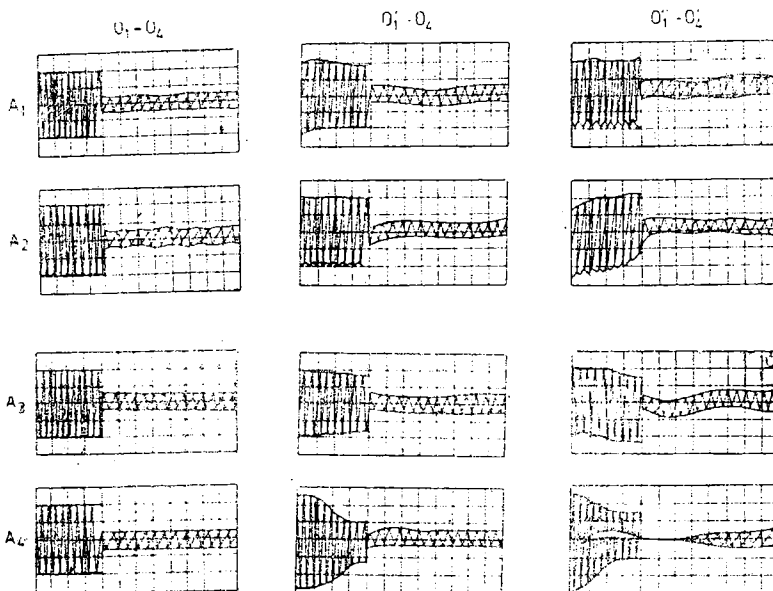


Figura 5.23 Formele de undă la testarea dinamică a patru amplificatoare diferite.

a semnalelor slabe. Acest fenomen se poate vizualiza cu ajutorul oseiloscopului, și analiza pe o perioadă mai mare de timp cu ajutorul unui osciloscop cu memorie. Fenomenul de mascare a semnalelor electrice slabe se manifestă practic printr-o redare neclară, infundată, nediferențiată a unui program muzical sonor.

Pentru exemplificare, în fig. 5.23 se prezintă diagramele funcționale pentru patru amplificatoare de audiofrecvență cu aceeași putere dar care au capacitatea de recuperare diferită. Verificarea a fost făcută cu un semnal de test furnizat de un generator de semnale sinusoidale modulate în amplitudine. Acest regim de lucru al amplificatorului de audiofrecvență se numește regim sinusoidal dinamic. Verificarea se face la frecvența de 1000 Hz, la nivele ce depășesc cu 0,5 dB, 2 dB și 5 dB nivelul normal la care începe limitarea semnalului sinusoidal. La toate determinările s-a lăsat un interval de 5 s între două trenuri de undă succesive, cu scopul de a da timp etajelor de ieșire și alimentare să disipe căldura excesivă.

Oscilogrammele $O_1 - O_4$ corespund unei creșteri de nivel de 0,5 dB față de regimul normal de funcționare la care începe limitarea sinusoidalei oscilogrammele $O'_1 - O'_4$ unei creșteri de 2 dB iar oscilogrammele $O''_1 - O''_4$ unei creșteri de 5 dB față de nivelul de referință.

Se observă că amplificatorul A_1 are capacitatea de recuperare foarte rapidă, distorsiunile care apar la semnalul de nivel mic fiind minime. Amplificatorul A_4 are capacitatea de recuperare cea mai scăzută, deoarece pre-

zintă la suprasarcină o „strangulare” a caracteristicii de funcționare (de cca 100 — 200 ms), ce tinde să taie complet semnalul de nivel mic. Se observă imediat că regimul sinusoidal dinamic scoate clar în evidență diferența dintre cele patru amplificatoare, care în regim sinusoidal normal prezintă performanțe identice. În timp ce amplificatorul A_1 redă în mod clar, curat și cu o dinamică foarte bună un program muzical sonor, amplificatorul A_4 redă același program muzical sonor în mod neclar, infundat, cu limitări ale semnalului audio de nivel mic ce urmează semnalul de nivel mare, distorsiunile fiind cu ușurință perceptibile.

Importanța verificărilor în regimul de lucru sinusoidal dinamic este și mai evidentă dacă se variază frecvența semnalului modulat în amplitudine. În fig. 5.24 se prezintă diagramele obținute în urma verificării amplificatoarelor A_1 și A_4 , folosind pentru semnalul sinusoidal frecvențele de 10 kHz, 1 kHz și 100 Hz, cu o creștere de nivel de 2 dB peste nivelul de lăru la care apare limitarea sinusoidei. În timp ce amplificatorul A_1 se comportă perfect, amplificatorul A_4 prezintă o descreștere a semnalului la sfîrșitul trenului de undă cu frecvența de 1 kHz (diagrama O'_4) și o puternică strangulare pe mai mult de 50% din durata trenului de undă cu frecvența de 100 Hz (diagrama O''_4). Acest fapt se traduce fiziologic pentru ascultătorul programului muzical printr-o redare necorespunzătoare.

Din cele expuse anterior rezultă importanța deosebită a verificării unui amplificator de audiofrecvență în regimul de funcționare sinusoidal dinamic. Această metodă reprezintă un sistem sigur de verificare pe care constructorul amator trebuie să-l folosească obligatoriu înainte de încadrarea unui amplificator de audiofrecvență de putere în categoria Hi-Fi.

O altă măsurătoare absolut necesară pentru determinarea performanțelor unui amplificator de audiofrecvență este măsurarea timpului de creștere al impulsului.

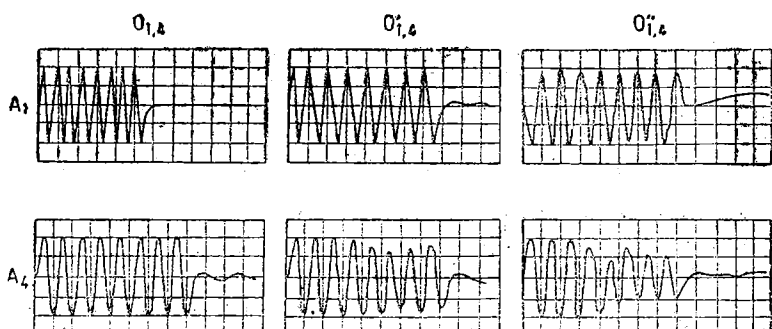
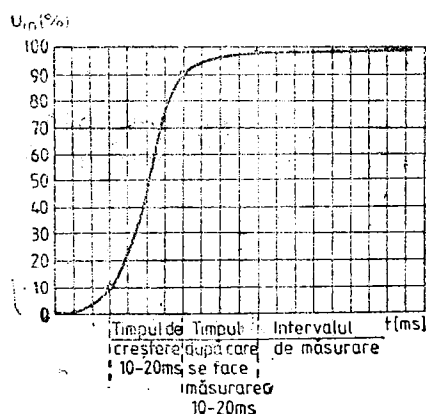


Figura 5.24. Testare dinamică la frecvențe diferite.

Se consideră timp de creștere t intervalul de timp în care amplitudinea unui impuls de tensiune crește de la 10% la 90% (vezi fig. 5.25). Pentru ușurința măsurătorii se introduce sincronizat la aceeași intrare a osciloscopului un sir de semnale de marcaj (marker) cu frecvența de 1 MHz, deci cu distanța între ele de o microsecundă. Un amplificator foarte bun are un timp de creștere a frontului impulsului mai mic de 3 μ s, un amplificator bun un timp de 3 — 6 μ s iar la un amplificator de slabă calitate $t > 12 \mu$ s.

Timpul de creștere se măsoară pentru un semnal de intrare cu frecvență de 10 kHz. Această măsurătoare ne dă o informație foarte exactă asupra modului în care sunt amplificate semnalele electrice rapide și cu amplitudine mare.

Figura 3:25 Măsurarea timpului de creștere a impulsului.



Verificarea în regim sinusoidal dinamic și măsurarea timpului de creștere al impulsului ne oferă o imagine completă asupra unui amplificator de audiofrecvență de putere, indiferent de configurația schemei electrice după care a fost realizat.

6 MONTAJE AUXILIARE

6.1 INDICATOR AL PREZENȚEI TENSIUNII DE REȚEA

La toate aparatele electroacustice care folosesc tensiunea rețelei este necesar ca o dată cu alimentarea cu energie electrică să se aprindă și o lampă de control care semnalizează acest lucru. În general se folosesc becuri cu incandescență, cu un consum mic de curent, alimentate la o tensiune redusă prin intermediul unui transformator de cuplaj. Nu se pot cupla direct la rețea becurile cu incandescență deoarece puterea dissipată implică o încălzire nedorită în incinta unui aparat electroacustic. Unele firme folosesc lămpi cu descărăcări în gaze (cunoscute impropriu sub numele de becuri cu neon) care au o putere mică și nu se încălzesc. Neajunsul acestui sistem îl constituie durata de viață relativ redusă. Pentru realizarea unei semnalizări comode și eficiente a prezencării tensiunii de rețea se propune utilizarea schemei electrice din fig. 6.1. Se observă folosirea unei diode electroluminescente (LED), care consumă un curent redus și nu se încălzește, deoarece puterea dissipată este foarte mică.

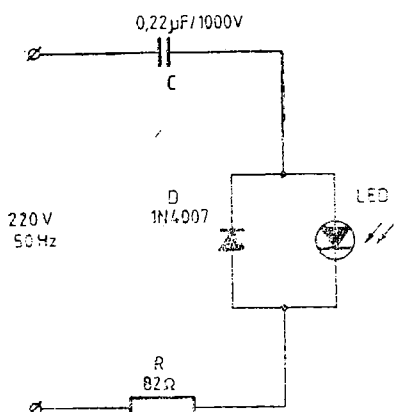


Figura 6.1 Indicator a prezencării tensiunii de rețea.

Limitarea curentului prin LED în timpul regimului tranzistorului care apare la conectarea sistemului la rețea.

Montajul realizat practic ocupă loc foarte puțin, nu disipa căldură și se poate adapta comod la orice aparat alimentat la rețea.

Condensatorul C realizează o impedanță reactivă, care limitează curentul prin LED și care nu se încălzește (consum de putere reactivă). Dioda D are rolul de a impiedica aplicarea unei tensiuni inverse pe LED mai mare de 0,6 V (în cazul polarizării inverse cu semialternanță negativă a tensiunii de rețea, LED-ul se distrugă). Rezistența R limitează curentul prin LED în timpul regimului tranzistorului care apare la conectarea sistemului la rețea.

Condensatorul C realizează o impedanță reactivă, care limitează curentul prin LED și care nu se încălzește (consum de putere reactivă). Dioda D are rolul de a impiedica aplicarea unei tensiuni inverse pe LED mai mare de 0,6 V (în cazul polarizării inverse cu semialternanță negativă a tensiunii de rețea, LED-ul se distrugă). Rezistența R limitează curentul prin LED în timpul regimului tranzistorului care apare la conectarea sistemului la rețea.

6.2 INDICATOR DE AVARIE

Un montaj deosebit de util la un amplificator de audiofrecvență de putere este indicatorul de avarie. Această situație se poate pune în evidență atunci cînd s-au montat la ieșirea amplificatorului de putere incinte acustice cu impedanță de sarcină mai mică decît cea destinată lui, sau cînd a apărut din diverse motive un scurtcircuit în etajul final de putere. Indicatorul de avarie va semnală în ambele cazuri defectiunea și astfel amplificatorul se va putea depăra rapid și eficient.

Schema electrică a montajului este prezentată în fig. 6.2. Funcționarea lui se bazează pe intrarea sau nu în conduction a tranzistorului T . În momentul în care amplificatorul funcționează normal, baza tranzistorului se află la

același potențial cu emitorul, deci T este blocat. Ca urmare, prin LED-ul aflat în colectorul tranzistorului nu trece curent, deci LED-ul nu luminează. În momentul apariției regimului de avarie, siguranța fuzibilă S se arde, iar baza lui T primește potențialul masei montajului, prin grupul de rezistoare $R1$ și $R3$. În acest moment T intră în conduction, prin LED va circula un curent, deci LED-ul luminează. Rezistorul $R2$ are rolul de limitare a curentului prin LED.

Montajul se realizează, ținind cont de siguranță fuzibilă care se află pe partea de alimentare a amplificatorului de putere, pe o placă de sticlostratitex placat cu folie de cupru, în varianta mono sau stereo. Dacă amplificatorul de putere este de tipul celor care utilizează două tensiuni de alimentare simetrice, se realizează același montaj și pentru ramura cu tensiune negativă, iar tranzistorul va fi de tipul NPN (BC 107 B). Masa este comună ambelor montaje. LED-urile se amplasează pe panoul frontal al amplificatorului. După introducerea și fixarea montajului în amplificator, se verifică funcționarea acestuia. Se pornește amplificatorul, se aplică la intrarea sa un semnal audio și se scot, pe rînd, sigurantele fuzibile în timpul funcționării (cu atenție, eventual cu un cheie izolat, pentru prevenirea electrocutării sau scurtcircuitelor). În momentul detașării fiecărei sigurante fuzibile, LED-urile corespunzătoare trebuie să lumineze.

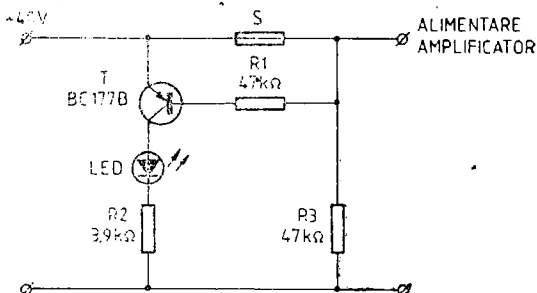


Figura 6.2 Indicator de avarie.

6.3 CLIPPING

Este cunoscut faptul că un amplificator de audiofrecvență funcționează la parametrii săi funcționali atîta timp cît nu se depășește puterea sa maximă. În momentul depășirii apare limitarea semnalului (clipping), care deranjează auditiua și duce la o exploatare necorespunzătoare a amplificatorului, deoarece apar distorsiuni neliniare. Nu de puține ori se produce și deteriorarea etajului final al amplificatorului de audiofrecvență.

Datorită acestor considerente este necesar ca :

— amplificatorul să prezinte o rezervă de putere față de regimul de lucru obișnuit, pentru evitarea distorsiunilor chiar și la suprasarcini de scurtă durată;

— să existe un sistem care să evidențieze regimul de suprasarcină, pentru luarea măsurilor necesare astfel încât amplificatorul să funcționeze la parametrii săi funcționali (măsurarea volumului).

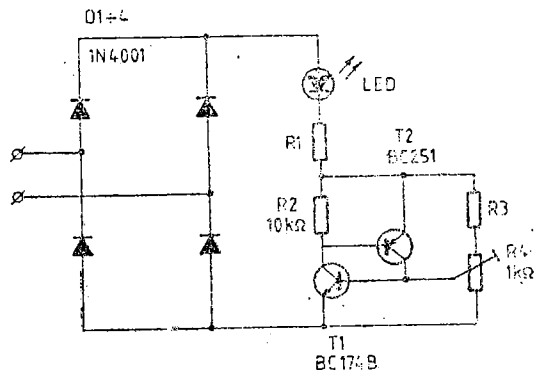
Se impune astfel dotarea amplificatorului cu un seizer de suprasarcină, care mai poate denumirea comercială de „clipping”.

În fig. 6.3 este prezentată schema electrică a unui indicator de suprasarcină. Semnalul destinat incintelor acustice se aplică simultan la bornele de intrare ale montajului. Grupul de diode $D1 - D4$ realizează rezarea semnalului, obținându-se o tensiune continuă pulsatorie. Tranzistoarele $T1$ și $T2$ sunt amplasate în configurație de tiristor. Astfel, atunci când între baza și emitorul tranzistorului $T2$ apare o tensiune mai mare de 0,6 V, acesta se deschide, permite intrarea în conducție a lui $T1$ și concomitent apare un curent prin LED-ul din colectorul acestuia. În acest moment LED-ul va lumina, indicând regimul de suprasarcină. Pentru fiecare putere maximă a amplificatorului audio, în gama

$5 - 100$ W (impedanță de sarcină fiind de 4Ω sau 8Ω) în tabel sunt prezentate valorile rezistoarelor $R1$ și $R3$. Reglajul fin se efectuează cu ajutorul potențiometrului semireglabil $R4$.

6.4 REGLAJ DE VOLUM COMPENSAT

La majoritatea aparatelor electroacustice de larg consum, pentru reglajul intensității nivelului acustic al unui program sonor muzical se folosește un potențiometru (simplu sau dublu, dacă aparatul este stereo) logaritmic. Acest lucru prezintă însă un inconvenient practic, și anume atunci când nivelul acustic reglat este minim se observă o atenuare pronunțată în privința redării frecvențelor joase. Faptul rezultă datorită caracteristicii fiziolegice a aparatului auditiv uman. Un sunet de frecvență



P [W]	Z_s			
	4Ω		8Ω	
	$R1(\Omega)$	$R3(k\Omega)$	$R1(\Omega)$	$R3(k\Omega)$
5	68	5,6	82	8,2
10	82	8,2	120	10
15	100	10	150	15
20	120	12	180	18
25	150	15	220	22
35	180	18	240	24
50	220	22	270	27
75	240	24	330	33
100	270	27	390	39

Figura 6.3 Clipping.

5 — 100 W (impedanță de sarcină fiind de 4Ω sau 8Ω) în tabel sunt prezentate valorile rezistoarelor $R1$ și $R3$. Reglajul fin se efectuează cu ajutorul potențiometrului semireglabil $R4$.

joasă ($60 - 400$ Hz) și nivel mic este perceput mult mai slab decât un sunet cu același nivel acustic având însă frecvență medie înaltă ($800 - 5000$ Hz). Au fost imaginat montaje electronice care să compenseze „nelinearitatea” organului auditiv uman, deci să ridice în mod automat nivelul sunetelor de frecvență joasă care au nivelul acustic coborît. În acest mod se creează o audiere plăcută, realizîndu-se captarea completă a informației sonore transmise de un aparat electroacustic.

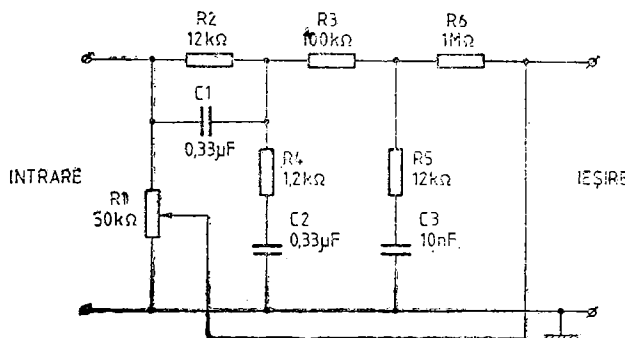


Figura 6.4 Reglaj de volum compensat.

Schema electrică a montajului este prezentată în fig. 6.4. Se observă că este vorba de o succesiune de filtre gama de tip trece-jos, conectate în cascadă ($R_2\ C_1\ R_4\ C_2$ și $R_3\ R_5\ C_3$). În momentul în care cursorul potențiometrului R_1 , destinat reglajului de volum, se află la un nivel superior, semnalul util puternic trece nemodificat spre amplificatorul audio. Atunci cînd se dorește un nivel mic al volumului (cursorul potențiometrului acționat spre masa montajului) semnalul principal se însumează cu semnalul corectat de cele două filtre în cascadă. Rezultatul este un semnal audio util cu un spectru bogat în privința frecvențelor audio joase, lucru care s-a urmărit inițial.

Deoarece montajul este foarte simplu, el se poate utiliza cu ușurință la orice aparat electroacustic.

6.5 BALANS STEREO

În componența oricărui amplificator de audiofrecvență este prezent etajul care realizează egalizarea amplificării pe cele două canale informative S și D. Acest etaj poartă denumirea de etaj balans. El funcționează practic prin modificarea simultană antagonistă a amplificării celor două canale informative.

Reglajul practic al amplificării se face prin acționarea unui potențiometru liniar dublu. Acest lucru prezintă două inconveniente. În primul rînd este necesar un reglaj inițial precis — egalizarea amplificării celor două canale informative S și D pentru același nivel al semnalului de intrare. Al doilea inconvenient îl prezintă potențiometrul liniar dublu, componentă scumpă și pretențioasă care se poate defecta ușor după un număr de ore de funcționare. Datorită realizării lui constructive compacte, în

cazul apariției unei defecțiuni doar la unul dintre potențiometre, el trebuie înlocuit complet.

Pentru eliminarea inconvenientelor specificate anterior a fost realizată o schemă electrică ce conține doar un singur potențiometru liniar

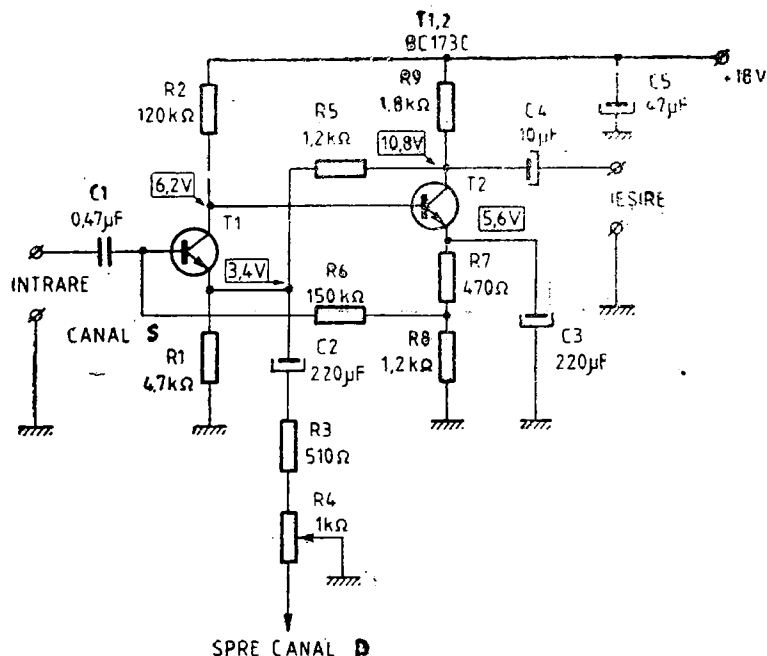


Figura 6.5. Balans stereo.

care să permită efectuarea reglajului balans. Schema electrică este prezentată în fig. 6.5. Performanțele montajului :

- impedanță de intrare $120\text{ k}\Omega$
- impedanță de ieșire $85\text{ }\Omega$
- tensiunea de intrare maximă : $1,5\text{ V}$
- amplificarea montajului 22 dB
- reglajul amplificării $\pm 6\text{ dB}$
- raportul semnal-zgomot $\geq 65\text{ dB}$
- distorsiuni armonice totale $\leq 0,3\%$
- distorsiuni de intermodulație $\leq 0,2\%$.

Montajul este compus din două etaje de amplificare conectate în eșcadă. Polarizarea celor două tranzistoare proprii etajelor de amplificare a fost astfel aleasă încit să asigure funcționarea montajului într-o gamă largă de temperaturi. Grupul $R3\text{ }R4\text{ }R3'$ formează o buclă de reacție negativă care modifică simultan amplificarea celor două montaje similare proprii celor două canale informaționale S și D, în funcție de poziția cursorului potențiometrului $R4$. În figură e reprezentată schema pentru canalul S; canalul D e identic. Montajul se intercalează între corectorul de ton și amplificatorul de putere.

6.6 CONTROLUL BALANSULUI STEREO

Una dintre condițiile esențiale pentru o audiție stereo a unui program muzical sonor este repartiția egală și uniformă a semnalelor de audio-frecvență la cele două incinte acustice. Acest lucru implică dozajul corect al balansului stereo. În majoritatea cazurilor, reglajul se realizează în cadrul amplificatorului de audiofrecvență, în blocul funcțional destinat corecțiilor de ton, care cuprinde și etajul de reglaj al balansului. Controlul balansului se face ascultând semnalele audio provenite de la cele două incinte acustice și, în funcție de acest lucru, efectuând corecția necesară.

În realitate reglajul este de cele mai multe ori subiectiv, deoarece sensibilitatea urechii umane nu este liniară pentru întreaga gamă a puterilor acustice sesizate, ci oarecum logaritmică. Astfel, este mult mai ușor de făcut o diferență între puterile acustice mici decât între cele mari. Ascultătorul va face imediat diferența între același semnal audio de 2 W față de cel de 3 W, dar nu va diferenția cu aceeași ușurință un semnal de 20 W față de cel de 30 W, deși raportul puterilor este același. Alte consideranțe de care trebuie ținut cont sunt neliniaritățile potențiometrului de reglaj al volumului, dispersia caracteristicilor electromecanice ale potențiometrului dublu (simetria), dispersia valorilor componentelor etc.

Toate aceste diferențe se cumulează și rezultatul este în mod sigur inegalitatea puterilor electrice transmise celor două incinte acustice. Pentru o audiție Hi-Fi un control permanent și exact al balansului se impune ca o strictă necesitate, iar un control electronic este de preferat unei simple aprecieri auditive.

Schimba electrică a montajului este prezentată în fig. 6.6. Cele două semnale audio S și D se preiau de la ieșirile amplificatorului de putere (de la bornele muștelor la care se racordează incintele acustice) prin intermediul grupurilor $R1$ $C1$ și $R2$ $C2$. Ulterior, cele două semnale sunt redresate de diodele $D1$ și $D2$, iar la bornele rezistențelor $R4$ și $R5$ se obțin două ten-

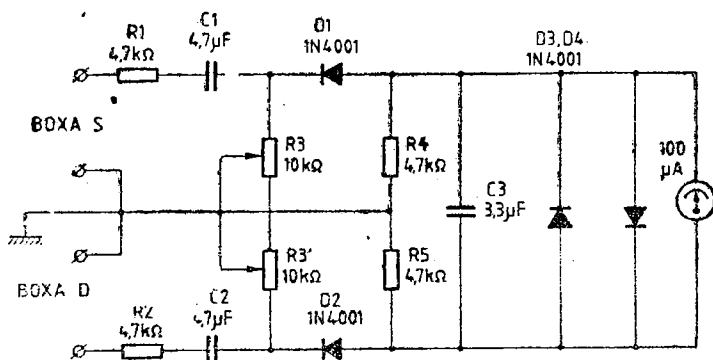


Figura 6.6 Controlul balansului stereo.

suni continue pulsatori, „uniformizate” de condensatorul $C3$. Aceste tensiuni se aplică în mod diferențial microampermetrului.

În cazul egalității celor două tensiuni, microampermetrul cu zero central stă pe poziția zero. Acest lucru corespunde unui reglaj corect al balansului. În cazul în care S și D nu sunt egale, apare o inegalitate a ten-

siunilor continue, care implica un curent prin microampermetru. Faptul se concretizeaza printr-o deviatie a acului indicator de la pozitia zero. Astfel inegalitatea semnalelor S si D este convertita intr-un semnal vizual usor de sesizat. Functie de acest lucru se actioneaza regajul de balans pentru restabilirea egalitatii puterilor electroacustice proprii canalelor S si D. Potentiometrul dublu (R3 si R3') este destinat reglajului sensibilitatii microampermetrului, iar diodele D3 si D4 protecției microampermetrului la o eventuala suprasarcina tranzistorie.

6.7 LIMITATOR PENTRU PREAMPLIFICATOR DE MICROFON

In vederea obtinerii de la un preamplificator de microfon a unui semnal electric cu o dinamica potrivita efectuarii unor inregistrari de calitate, se folosesc intotdeauna limitatoare de amplitudine. Montajul prezentat in fig. 6.7 are avantajul de a fi foarte simplu, eficace si totodata permite obtinerea unui semnal electric nedistorsionat si foarte stabil la ieșire. O variație intre 250 mV si un volt a tensiunii furnizate de preamplificatorul microfonului este sesizata la ieșirea limitatorului prin variația semnalului electric de ieșire cu un procentaj de cca 6%.

Analizind schema electrica a montajului, se observa ca este vorba de un amplificator de tensiune care contine tranzistorul T1. La depasirea tensiunii de 0,6 V la bornele celor 2 diode montate in opozitie, una din ele

intră în starea de conductie. În acest fel grupul R3 R4 C2 actionează ca o buclă de reacție negativă care limitează amplitudinea semnalului de ieșire. În urma efectuării unor încercări se stabilește experimental valoarea optimă pentru rezistența semireglabilă R4 (cca 300 – 450 Ω). Amplificarea montajului este cca 14 dB.

Montajul se realizează practic pe o placă de sticlostratitex placat cu cupru, în varianta mono sau stereo. După realizare montajul se ecranează și se amplasează, în lanțul electroacustic, după preamplificatorul microfonului.

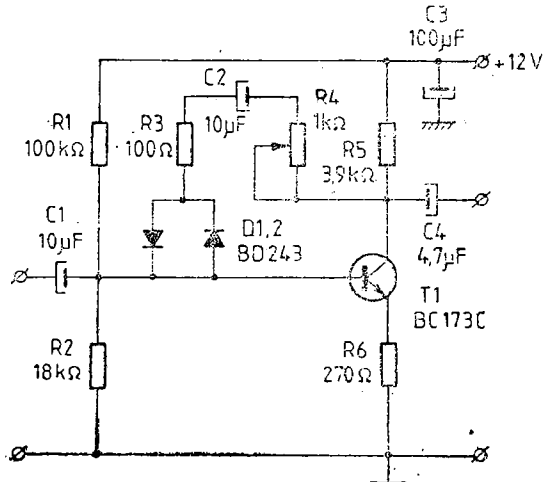


Figura 6.7 Limitator pentru preamplificator de microfon.

6.8 ADAPTOR PENTRU CABLU LUNG

De multe ori este necesar să fie efectuată legătura electrică între o sursă de semnale de audiofreqvență și amplificatorul audio de putere, atunci cînd intre cele 2 aparate există practic o distanță mare (5–10 m). Dacă se folosește un cablu obișnuit, rezultatul va fi în mod sigur distorsionarea semnalului electric ce urmează a fi amplificat. Datorită acestui

considerent este necesară folosirea unui montaj intermediu care să elibereze inconvenientul micșorind impedanța de ieșire a sursei de semnal. Schema electrică a montajului este prezentată în fig. 6.8. Se observă că este vorba de două etaje funcționale, care conțin tranzistoarele T_1 și T_2 . Fiecare tranzistor este amplasat în cadrul montajului într-o configurație

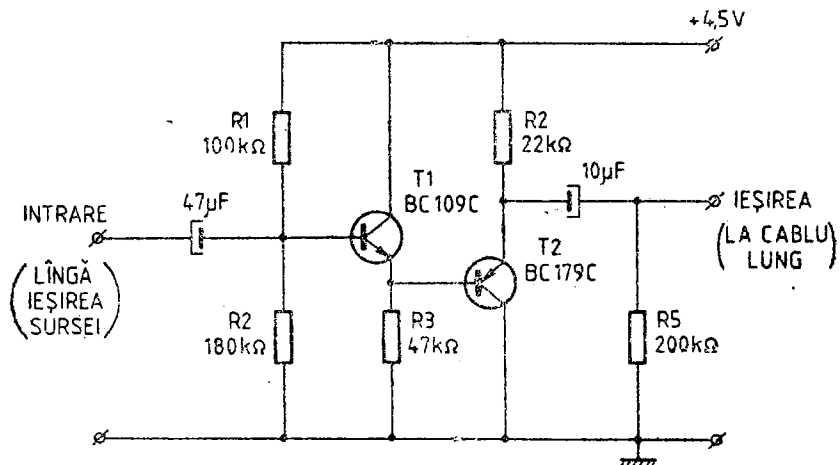


Figura 6.8 Adaptor pentru cablu lung.

de repetor pe emitor. Cuplajul dintre cele 2 etaje se realizează galvanic, în scopul funcționării generale a montajului cu distorsiuni minime.

Montajul se realizează pe o placă de sticlostratitex placat cu cupru, în varianta mono sau stereo (după tipul amplificatorului utilizat). La realizarea practică se iau toate precauțiunile pentru acest tip de montaj (lipsa buclei de masă, traseu de masă lat de minim 3 mm, trasee scurte etc.) iar componentele electrice utilizate vor fi de cea mai bună calitate. După realizarea montajului, acesta se ecranează într-o cutie din tablă cu peretii de grosimea minimă 1 mm. Montajul se amplasează în imediata apropiere a sursei de semnal (legăturile galvanice pentru semnalul util vor avea o lungime care nu depășește 20 cm). Alimentarea montajului se realizează de la o sursă de tensiune stabilizată și foarte bine filtrată.

6.9 MIXER DINAMIC

Pentru obținerea unui program sonor mai deosebit, de multe ori se pune problema mixării automate a două surse de semnal de audiofreqvîntă. În general, una dintre ele reprezintă programul de bază iar a două programul suplimentar, adăugat în mod intermitent.

Situația cea mai frecventă este mixarea unui semnal electric obținut de la un magnetofon cu alt semnal electric provenit de la un microfon. Montajul electronic a cărui schema electrică este prezentată în fig. 6.9 rezolvă această problemă. Semnalul electric provenit de la magnetofon se aplică la intrare, în baza tranzistorului T_1 , prin intermediul condensatorului C_4 . Etajul care conține tranzistorul T_1 este de tip repetor

pe emitor. El este prevăzut în scopul unei adaptări optime între impedanța de ieșire a sursei de semnal (magnetofon) și impedanța de intrare a montajului. Ulterior, semnalul electric este preluat din emitorul lui T_1 prin intermediul rezistenței R_4 și aplicat la intrarea neinversoare a cir-

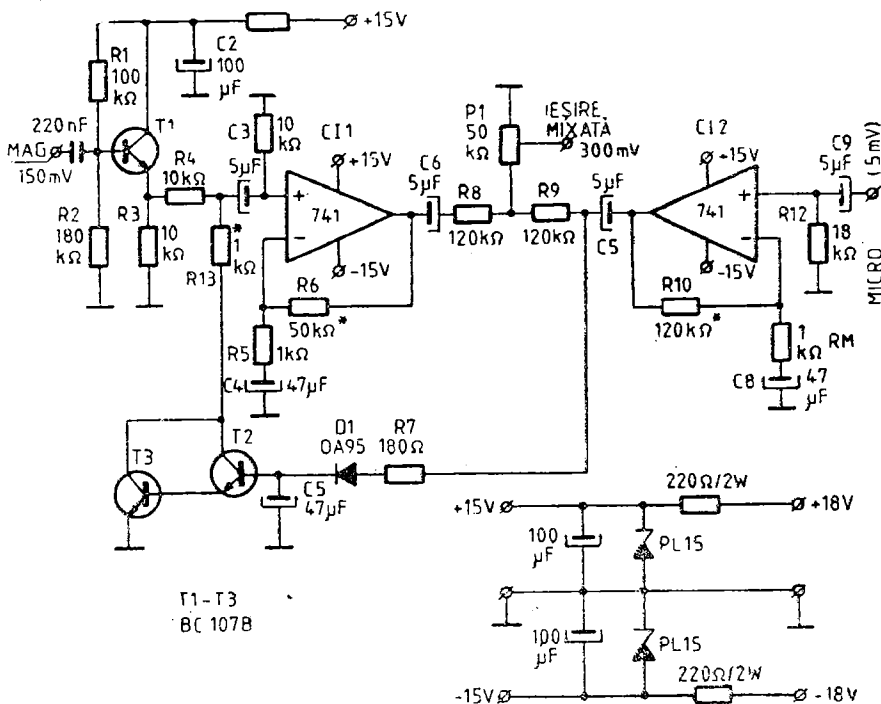


Figura 6.9 Mixer dinamic.

circuitului integrat $CI1$. Acest amplificator operațional este prevăzut pentru amplificarea în tensiune a semnalului util. Amplificarea este reglementată de raportul R_6/R_5 .

Semnalul electric care provine de la microfon se aplică la intrarea neinversoare a circuitului integrat $CI2$, de asemenea un amplificator operațional. Semnalul este concomitent amplificat de $CI2$ și aplicat etajului care conține grupul de tranzistoare T_2 , T_4 . Acest etaj reprezintă un comutator electronic. El este activat de tensiunea continuă pozitivă care se obține prin redresarea unei părți a semnalului electric provenit de la $CI2$. În pauze (cind microfonul nu lucrează), tranzistorul T_3 se află în starea de blocare deci prezintă practic o rezistență echivalentă foarte mare. În momentul apariției semnalului de la microfon (cind microfonul lucrează), tensiunea pozitivă generată de redresorul format din grupul $D_1 C_5$, aplicată în baza tranzistorului T_2 , implică starea de conducție a dubletului $T_2 T_3$. În acest caz T_3 prezintă o rezistență echivalentă mică colector-emitor și în acest caz R_{13} este conectată practic la masa montajului.

Semnalul de la magnetofon și semnalul de la microfon se insumează la borna caldă a potențiometrului P_1 prin intermediul rezistențelor R_8 și R_9 . Semnalul de ieșire mixat se preia din cursorul potențiometrului P_1 , la nivelul solicitat de aparatul electroacustic (magnetofon, casetofon etc.).

care urmează să efectueze înregistrarea programului sonor obținut din mixarea celor două surse de semnal inițiale.

Deci, în lipsa semnalului provenit de la microfon, semnalul generat de magnetofon trece nemodificat de la intrarea respectivă la ieșirea montajului. În cazul apariției unui semnal electric generat de microfon, semnalul de la magnetofon este micșorat de divizorul de tensiune $R4 - R13$, activat de comutatorul electronic care în acest caz pune practic la masă o bornă a rezistorului $R13$. Ulterior, cele două semnale electrice (cel de la magnetofon, micșorat și cel de la microfon, amplificat) se însumează și apar la ieșirea montajului.

După realizarea practică, în funcție de necesități, valorile rezistențelor $R10$ și $R13$ se pot modifica (în limita de 20%) în scopul obținerii unu mixaj electronic cu ponderea dorită a celor două semnale inițiale însumate

6.10 VU-METRE

VU-metrul este un montaj electronic care are ca scop indicarea vizuală a amplitudinii unui semnal de audiofrecvență. VU-metrul oferă o indicație continuă a amplitudinii tensiunii de ieșire instantanee, deci a puterii instantanei debitate de un amplificator de audiofrecvență în momentul redării unui program muzical sonor.

În fig. 6.10 este prezentată schema electrică a unui VU-metru. Semnalul util se aplică inițial unui etaj de amplificare care conține tranzistorul $T1$ și care are rolul de a mări nivelul în scopul prelucrării ulterioare. Semnalul amplificat este apoi aplicat unui redresor cu dublare de tensiune, care furnizează o tensiune continuă variabilă în funcție de nivelul semnalului audio inițial. Tensiunea continuă provenită de la redresor este aplicată la intrarea etajului de adaptare care conține tranzistoarele $T2$, $T3$. Ele sunt amplasate în cadrul montajului ca repetoare pe emitor. Din

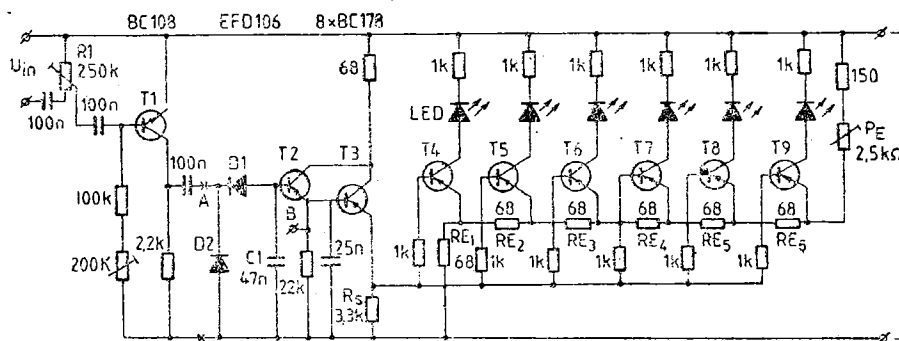


Figura 6.10 VU-metru – varianta 1.

emitorul lui $T3$ semnalul continuu este aplicat etajului indicator care conține tranzistoarele $T4 - T9$, fiecare dintre ele cu un LED în colector.

În funcție de nivelul tensiunii continue tranzistoarele $T4 - T9$ intră succesiv în starea de conducție și determină astfel iluminarea LED-urilor. Cu cit nivelul tensiunii continue este mai mare, cu atit sunt activate un număr mai mare de tranzistoare, indicindu-se astfel vizual nivelul ten-

siunii semnalului audio util, deci nivelul puterii debitate de amplificatorul aparatului electroacustic. Reglajele finale (0 dB pentru penultimul tranzistor) se realizează acționând cursoarele potențiometrelor P_1 și ulterior P_E .

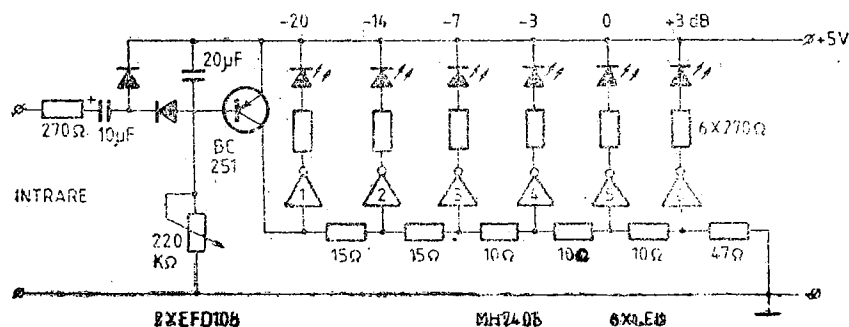


Figura 6.11 VU-metru — varianta 2.

Schema electrică prezentată în fig. 6.11 funcționează pe același principiu. În acest caz, ca elemente active se folosesc amplificatoarele operaționale ale circuitului integrat MH 7405.

6.11 GENERATOR SINUSOIDAL AF

Utilitatea unui generator sinusoidal de audiofrecvență în dotarea proprie a unui constructor amator este incontestabilă. Cu un astfel de generator, care acoperă întreaga bandă de audiofrecvență (10 Hz – 20 kHz) se pot realiza reglaje de precizie ale aparaturii electroacustice. Folosind un osciloscop se pot vizualiza formele de undă ale unui semnal de audiofrecvență care parcurge toate blocurile funcționale ale unui aparat electroacustic.

Montajul prezentat se alimentează de la o sursă dublă de ± 15 V. Performanțe :

- curentul consumat de montaj 30 mA
- game de frecvență : 20 Hz – 200 Hz
 200 Hz – 2 kHz
 2 kHz – 20 kHz
- tensiunea de ieșire 1,5 V
- stabilitatea tensiunii de ieșire $\pm 0,1$ dB
- distorsiuni armonice totale $< 0,1\%$

Schema electrică a montajului este prezentată în fig. 6.12. Blocurile funcționale care includ amplificatoarele operaționale $C11$ și $C12$ reprezintă filtre trece-tot, care utilizează rețele de tipul RC. Aceste filtre sunt conectate în serie, în scopul asigurării defazajului necesar. Fiecare filtru asigură un defazaj de 90° iar distorsiunile THD sunt minime prin stabilirea ulterioară a amplitudinii oscilațiilor. Comutatorul $K1$ asigură selecția domeniilor de frecvență în care funcționează oscillatorul. Reglajul fin în interiorul gamei de frecvențe prestabile este asigurat de potențiometrul dublu P_1 . Amplificatorul operațional $C13$ realizează un defazaj de

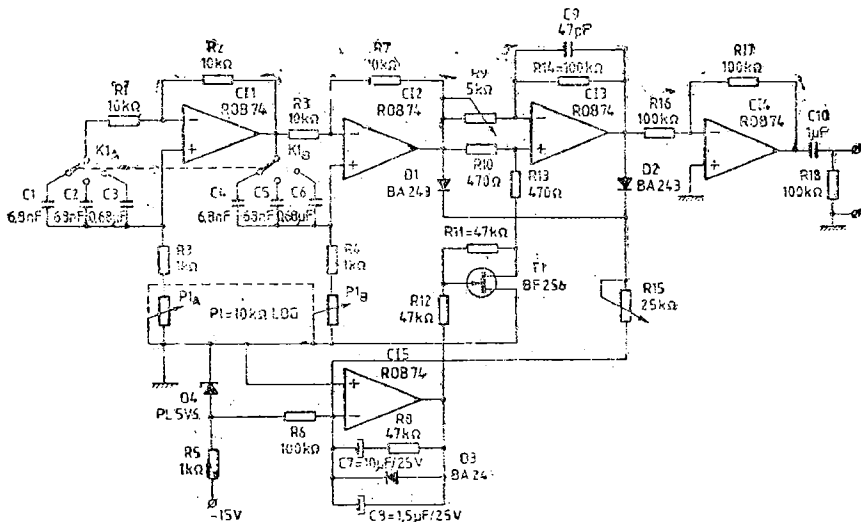


Figura 6.12 Generator sinusoidal AF.

180° și totodată amplifică semnalul aplicat pe intrarea inversoare, astfel încit să fie îndeplinită condiția de întreținere continuă a oscilațiilor.

În paralel cu rezistența $R14$ se află amplasat condensatorul $C9$. Aceasta realizează o reacție negativă aplicată lui $CI3$ astfel încit posibilitatea de oscilație a montajului deasupra frecvenței de 100 kHz să fie suprimată cu desăvîrsire. Concomitent, semnalele de ieșire preluate de la amplificatoarele $CI2$ și $CI3$ sunt aplicate diodelor $D1$ și $D2$, în scopul redresării. Prin intermediul potențiometrului semireglabil $R15$ semnalul pulsatoriu obținut este aplicat la intrarea inversoare a amplificatorului operațional $CI5$, care are rolul de integrator. Totodată, acesta compară semnalul redresat cu o tensiune de referință furnizată de dioda Zener $D4$.

Tensiunea continuă obținută la ieșirea lui $CI5$ determină nivelul de conductie al tranzistorului $T1$ de tip FET, amplasat în cadrul montajului ca rezistență comandată în tensiune. În acest fel este controlat în mod continuu nivelul de ieșire (amplificarea) lui $CI3$. Practic se menține o amplitudine constantă a tensiunii de ieșire a montajului pentru orice frecvență de lucru aleasă.

Condensatorul $C8$ din bucla de reacție negativă a amplificatorului operațional $CI5$ realizează funcția de integrare a semnalului destinat comenziui curent continuu a lui $T1$. Grupul $C7$ - $R8$ are rolul de suprimare a fluctuațiilor active proprii tensiunii continue de comandă, asigurând constanța de timp convenabil aleasă. $D3$ are rolul de protejare a lui $T1$ împotriva tensiunilor pozitive ce depășesc valoarea de $0,6\text{ V}$. $R11$ și $R12$ au rolul de liniarizare a caracteristicilor tensiune-curent proprii tranzistorului $T1$. Amplificatorul operațional $CI4$ realizează un etaj tampon între oscillator și ieșirea montajului, asigurând totodată o impedanță de ieșire convenabilă (scăzută).

Montajul se realizează pe o placă de sticlostratitex dublu placat cu cupru. Se recomandă ca traseele de alimentare să fie duse pe partea cu piese, iar restul conexiunilor pe partea cealaltă a plăcuței. La realizarea practică a montajului se folosesc componente electrice de cea mai bună

calitate. Se recomandă folosirea unor condensatoare cu mică îngrădire la grupurile simetrice care stabilesc benzile de frecvență de lucru ($C_1 - C_4$, $C_2 - C_5$, $C_3 - C_6$).

Chiar în apropierea pinilor de alimentare ai circuitelor integrate obligatoriu se amplasează cîte un condensator de $0,1 \mu\text{F}$ conectat între sursa de tensiune și masa montajului (componente nefigurate pe schema electrică!). Acest lucru are ca scop protecția circuitelor integrate la unele semnale aleatorii care ar putea apărea datorită unor regimuri tranzistorii de lucru și să ar putea propaga pe partea de alimentare a circuitelor integrate. Fiecare componentă electrică se verifică înainte de plantarea pe plăcuță de circuit imprimat. O atenție deosebită se dă montării circuitelor integrate. Conductoarele care realizează legătura galvanică între comutatorul K_1 și cosele prevăzute pe plăcuță de cablaj imprimat sunt obligatoriu ecranate. Același lucru este valabil pentru potențiometrul P_1 .

Se alimentează montajul de la sursa dublă de tensiune ± 15 V. Potențiometrul semireglabil R_{15} (cursorul) se acționează într-o poziție de mijloc. Ulterior, se acționează potențiometrul semireglabil R_9 astfel încât tensiunea continuă de la ieșirea amplificatorului operațional CI_5 să fie de $-1 \dots -2$ V. Se acționează din nou cursorul lui R_{15} astfel încât la ieșirea montajului să se obțină o tensiune alternativă de 1,5 V. Montajul se ecranează obligatoriu.

6.12 CONTROLUL VOLUMULUI ÎN CURENT CONTINUU

Montajul din fig. 6.13 înălță inconvenientul trecerii unui semnal de audiofreqvență printr-un potențiometru de reglaj, care în timp se poate degrada și deveni o sursă sigură de zgomot. Semnalul audio se aplică prin intermediul condensatorului C_1 etajului defazor care conține tranzistorul T_1 . Față de semnalul din emitorul tranzistorului T_1 , semnalul din colector este defazat cu 180° . Dacă în baza tranzistorului T_1 s-a aplicat semnalul a , în emitor se găsește semnalul A , iar în colector $-A$. Cele două semnale A și $-A$ se insumează ulterior prin intermediul rezistențelor R_5 , R_6 și al

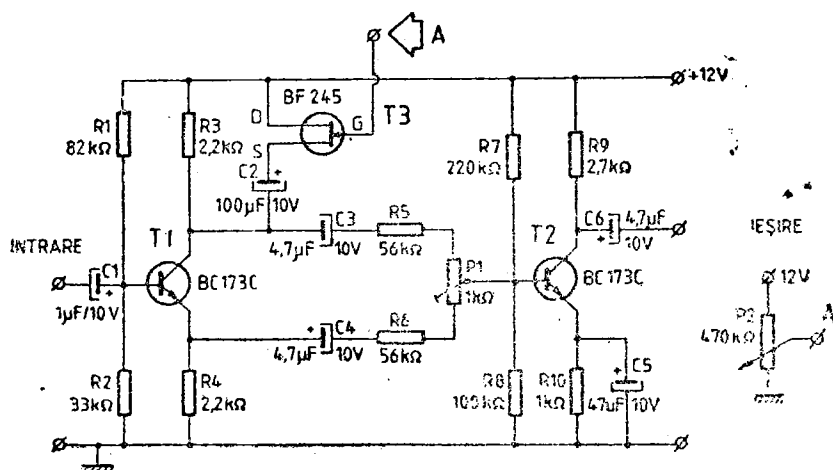


Figura 6.13 Controlul volumului în curent continuu.

potențiometrului semireglabil $P1$. Modificind poziția cursorului potențiometrului $P1$ se poate realiza mixarea în așa fel încit semnalul aplicat la intrarea etajului care conține tranzistorul $T2$ (în baza acestuia) să fie nul. Tranzistorul $T3$ îndeplinește rolul unei rezistențe comandate în tensiune. Aplicând o tensiune pozitivă pe grila lui $T3$ (FFT), rezistența acestuia dintre sursă și drenă seadă, securcircuitind în mod progresiv semnalul — A preluat din colectorul tranzistorului $T1$ prin intermediul condensatorului $C3$. Rezultă că, modificind potențialul continuu aplicat pe grila tranzistorului $T3$, se mărește în mod progresiv nivelul semnalului de audiofrecvență captat de tranzistorul $T2$ prin intermediul potențiometrului $T1$. În acest mod se poate regla nivelul semnalului de audiofrecvență preluat din colectorul tranzistorului $T2$ prin intermediul condensatorului $C6$.

Deci, prin modificarea unui potențial de curent continuu se realizează reglajul nivelului semnalului de audiofrecvență, fără a interveni direct asupra lui. Avantajul este că eventualele imperfecțiuni ale potențiometrului $P2$ nu mai influențează direct amplitudinea semnalului de audiofrecvență modificat, oricărui variație fiind nesemnificative pentru modificarea nivelului. Practic, se elimină posibilitatea apariției zgomotului generat de orice potențiometru amplasat pe traseul semnalului de audiofrecvență. Imperfecțiunile potențiometrului de reglaj al volumului se traduc practic în variații nesemnificative ale nivelului semnalului audio util, nesenzibile de ureche.

Performanțele montajului sunt :

- curent maxim consumat 5 mA
- impedanță de intrare 30 kΩ
- impedanță de ieșire 2 kΩ
- banda de frecvență utilă 40 Hz — 25 kHz
- tensiunea de intrare maximă 100 mV
- tensiunea de ieșire maximă 1 V
- distorsiuni armonice totale $\leq 0,6\%$.

7 INDICAȚII CONSTRUCTIVE GENERALE

7.1 REALIZAREA CABLAJULUI IMPRIMAT

Realizarea cablajului imprimat reprezintă o operațiune de bază în practica electronică. Modul de realizare a cablajului imprimat și prescripțiile respectate pentru această operațiune determină de cele mai multe ori calitatea finală a oricărui montaj electronic. La realizarea unui cablaj imprimat se parcurg următoarele etape :

- proiectarea cablajului ;
- pregătirea plăcuței de cablaj imprimat pentru desenare ;
- trasarea cablajului imprimat ;
- „developarea” cablajului imprimat.

Proiectarea cablajului imprimat constă în alegerea traseelor de interconectare a componentelor electronice de circuit ținând cont de configurația schemei electrice și de gabaritul acestora.

La realizarea oricărui cablaj imprimat pentru un montaj electronic destinat a funcționa în aparatura de audiofreqvență se ține cont de următoarele cerințe obligatorii :

- păstrarea structurii fizice cu quadripoli a configurației montajului electronic ;
- realizarea unor conexiuni de lungime cît mai scurtă între componentele electronice ;
- realizarea unui traseu de masă cît mai lat (de minim 3 mm) ;
- prevederea în montaj a coselor pentru interconectare cu alte blocuri sau elemente electronice a intrării, ieșirii și a unor componente de reglaj externe (potențiometre, comutatoare etc.) ;
- prevederea coselor pentru conectarea ecranului de la cablul ecranat, pentru conexiunile ce privesc semnalul audio util.

Pregătirea plăcuței de cablaj imprimat constă inițial în decuparea ei la dimensiunile necesare. Ulterior, stratul de cupru se curăță de oxizi prin șlefuire cu un șmirghel fin (pentru a nu subția stratul de cupru), pînă la obținerea unei suprafețe plane licioase, cu aspect uniform. Apoi se aplică peste plăcuță desenul cablajului imprimat și se fixează cu bandă adezivă. Se marchează cu un punctator toate găurile de trecere și fixare. Se îndepărtează desenul cablajului, se dau găurile de trecere, se refinisează plăcuța tot cu un șmirghel fin și apoi se degresează cu spirt sau tiner.

Realizarea traseelor de cablaj imprimat se face cu ajutorul unui trăgător de tuș sau cu un trăgător confectionat dintr-un ac de seringă pregătit în acest scop (vezi fig. 7.1). Se folosește pentru trasare vopsea diluată cu tiner, cerneală serigrafică sau o soluție 1/4 eclofoniu 3/4 tiner colorată cu cîteva picături din pasta unui pix. Se lasă la uscat plăcuța pînă la uscarea deplină a traseelor desenate.

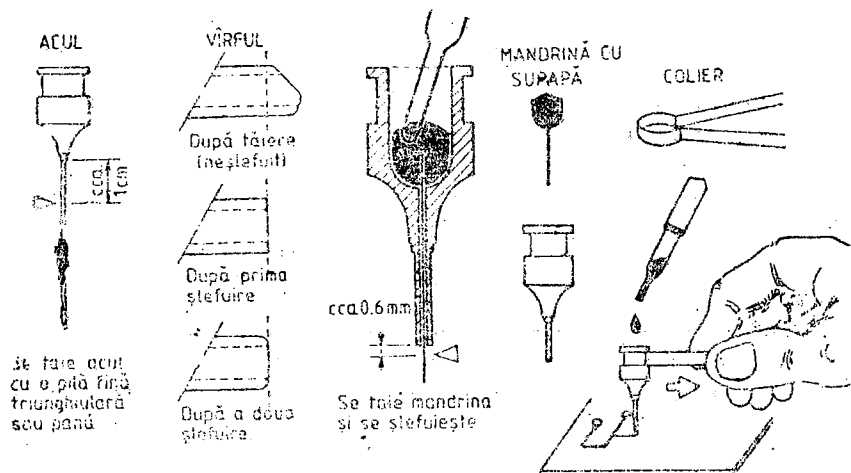


Figura 7.1 Realizarea trăgătorului pentru desenat cablaje imprimate.

„Developarea” se face introducînd plăcuța de cablaj desenată într-o soluție de clorură ferică. Plăcuța se lasă în soluție pînă ce stratul de cupru de pe porțiunile nedesenate este îndepărtat (se verifică periodic acest lucru la intervale scurte de timp). Se scoate plăcuța din soluția de clorură ferică, se spală bine cu apă și apoi se usucă. Se îndepărtează vopseaua de pe traseele desenate prin stergere cu o cîrpă îmbibată cu tiner sau acetonă. Ulterior se acoperă traseele de cupru cu o soluție formată din eclofoniu și 4/5 diluant, după care se cositoresc toate traseele (cu atenție pentru a nu astupa găurile de trecere unde vor fi plantate componente).

După această operație plăcuța de cablaj imprimat este pregătuită pentru a fi dotată cu componentele electrice conform schemei electrice.

7.2 TEHNICA LIPIRII COMPONENTELOR ÎNTR-UN MONTAJ ELECTRONIC

Prin lipire se înțelege — în sensul lucrării de față — îmbinarea a două sau mai multe repere metalice între ele, la cald, cu ajutorul unui metal de adaos. Părțile metalice ale pieselor îmbinate reprezintă metalele de bază, iar metalul de adaos este aliajul de lipit. Acesta are temperatură de topire inferioară celei pe care o au metalele de bază ale pieselor îmbinate. Se menționează că îmbinarea părților metalice ale pieselor se poate face prin sudură, dar în acest caz are loc topirea acestora, pe cînd lipirea se face numai prin încălzirea lor și compactizarea mecano-electrică datorată aliajului de lipit.

Aliajul de lipit în stare fluidă, ca orice lichid care „umezește”, are proprietăți de capilaritate și în acest fel el pătrunde în interstițiile dintre

piesele care se lipesc. Atunci cînd suprafețele metalelor de bază prezintă o rugozitate mai mare, acest lucru provoacă fenomenul de capilaritate și astfel „umezirea” este mult favorizată. Cînd rugozitatea pieselor metalice prezintă o serie de carioaje care se intersectează în multe părți, „umezirea” metalelor de bază se face în condiții optime, fapt care permite în final obținerea unei lipiri de bună calitate.

Se menționează că o rugozitate prea mare nu este de dorit, deoarece în acest caz „umezirea” metalelor de bază va fi limitată.

Lipirea a două sau mai multe piese metalice prezintă următoarele etape :

- încălzirea metalelor de bază pînă la temperatura apropiată celei de topire a aliajului pentru lipit ;
- topirea aliajului pentru lipit ;
- „umezirea” metalelor de bază cu aliajul de lipit în stare lichidă și încărcarea lor cu acesta ;
- dizolvarea suprafeței metalelor de bază „umezite” în zona lipiturii și difuziunea reciprocă a celor două metale (metale de bază — metal aliaj de lipit) ;
- răcirea și solidificarea aliajului de lipit, care oferă prin solidificare compactizarea mecanică a pieselor metalice.

Pentru realizarea lipiturilor între părțile metalice ale componentelor săt necesare următoarele :

- ciocanul electric de lipit, care reprezintă sursa de energie termică necesară încălzirii părților metalice ale pieselor și a aliajului de lipit ;
- lacul (fluxul) decapant, care are rolul de facilitare al lipirii. Se recomandă obținerea unei soluții prin dizolvarea în spirt a colofoniu (sacizului) : 1 parte colofoniu + 3 părți spirt. Soluția obținută se păstrează într-o sticlă cu dop bun pentru a impiedica evaporarea spirtului. Se vor evita cu strictețe pastele de lipit acide, care se folosesc la lipirea pieselor metalice din fier, deoarece în 95% din cazuri fluxul acid corodează lipitura în timp și provoacă mari neajunsuri în funcționarea montajului electronic ;
- aliajul de lipit, de tip fludor. Acesta reprezintă un amestec de plumb și staniu astfel dozat încît să optimizeze rigiditatea mecanică a lipirii și totodată să se topească la o temperatură cit mai scăzută, de cca 180 — 220°C. Fludorul prezintă o formă tubulară și în majoritatea cazurilor el conține în interior un fondant suplimentar care favorizează lipirea ;
- șmirghel fin, o pilă fină și o lamă, pentru curățirea de bavuri, oxizi sau alte impurități a suprafețelor metalice ce urmează a fi lipite.

Modul de lucru este următorul :

1. Se curăță de oxizi, bavuri, impurități suprafețele pieselor metalice ce urmează a fi lipite (chiar dacă sunt curate, se „netezesc” cu șmirghel în scopul realizării „caroiajului” care favorizează lipirea).

2. Imediat ce au fost debavurate și șmirgheluite, piesele se pensulează cu o peliculă de flux decapant (colofoniu dizolvat în spirt).

3. Se asamblează mecanic reperele ce urmează a fi lipite. În cazul montării pieselor electronice pe o placă de cablaj imprimat, acestea vor avea terminale care vor depăși cu circa 1—1,5 mm suprafața cablajului imprimat. În cazul lipirii a două sau mai multe conductoare, se recomandă răsucirea lor prealabilă pentru rigidizare inițială mecanică.

4. Se pregătește ciocanul de lipit în vederea efectuării lipirii. Pentru acest lucru se lasă ca vîrful metalic din cupru să se încâlzească. Apoi, cu pila fină, se curăță vîrful de oxizi, bavuri și imediat se aplică un strat de

fludor. În acest fel aliajul de lipit va adera imediat la vîrful ciocanului de lipit, producindu-se „umezirea” acestuia cu el.

5. Se incălzesc piesele metalice ce urmează a fi lipite aplicind pe acestea vîrful ciocanului de lipit (circa 1/2 secunde) și imediat se aplică în acel loc și fludorul, pînă ce se formează picătura de aliaj care va rigidiza piesele.

6. Se îndepărtează de la locul lipirii întii fludorul, apoi vîrful ciocanului de lipit.

După cîteva zeci de lipiri se va obține îndemînarea necesară. Primul lucru de care depinde funcționarea unui montaj electronic este calitatea lipiturilor.

În vederea îndepărtării grăsimilor sau prafului de pe piese ce urmează a fi lipite, se recomandă spălarea lor cu o vată îmbibată cu tiner sau spirt. Acest lucru se face în special la cablajele imprimate (după smirgheliere).

Pentru îndepărtarea emailului care protejează firele foarte subțiri din cupru, argint etc. (sau lița de radiofreqvență), se așează pe o pastilă de aspirină portiunea ce urmează a fi cositorită. Prin presarea cu vîrful ciocanului de lipit, pelicula de email dispare (a nu se inhala „fumul” care apare în timpul dezisolării, deoarece este nociv).

7.3 ANSAMBLUL ELECTROACUSTIC

După realizarea, testarea și aducerea la parametrii nominali a blocurilor funcționale ale unui complex electroacustic construit prin mijloace proprii apare problema integrării generale într-o construcție unitară, comodă în ceea ce privește comenzile și totodată cu un design plăcut. Majoritatea firmelor producătoare de aparataj electroacustic au ajuns la soluții constructive asemănătoare în ceea ce privește dimensiunile și amplasamentul general al elementelor funcționale.

Problemele esențiale cu care se confruntă constructorul amator la realizarea unui ansamblu electroacustic sunt următoarele :

- realizarea incintelor (cutiilor) ;
- realizarea panourilor frontale pentru incinte ;
- realizarea suportului general (rack-ul) pentru toate aparatelor electroacustice din dotare (magnetofon, pick-up, stație de amplificare etc.).

Construirea practică a incintelor pentru orice aparat din lanțul electroacustic depinde de funcțiunile acestuia. Incinta (cutia) pentru stația de amplificare se realizează din tablă de fier de grosime $1 \div 1,5$ mm. Suprafețele incintei se acoperă cu un grund anticoroziv, care oferă o protecție sigură la umezeală și împotriva apariției ruginei. Ulterior, suprafețele exterioare ale incintei se vopsesc de preferință cu o vopsea mată închisă la culoare (similară cu culoarea boxelor) prin pulverizare.

Panoul frontal al incintei stației de amplificare se realizează din tablă de aluminiu. După efectuarca decupărilor pentru comenzi (butoane, comutatoare etc.) și semnalizări (VU-metre, LED-uri pentru semnalizarea comenziilor etc.), panoul frontal se finisează prin șlefuire progresivă cu șmirghel din ce în ce mai fin. După șlefuire panoul frontal se spălă cu apă și săpun. Ulterior, după spălare, panoul frontal se introduce într-o soluție de sodă caustică (concentrație de cca 30%) pentru ca suprafețele să capete un aspect rigid și uniform din punct de vedere al culorii metalului. După acest lucru panoul frontal se spălă foarte bine cu apă, se usucă, se sterge cu spirt pentru degresarea finală și ulterior se inscripționează comenziile și semnaliza-

zările. Pentru acest lucru se folosește tuș negru aplicat cu ajutorul unui trăgător de tip Rotring. Scrierea se execută obligatoriu folosind un șablon adecvat pentru cifre și litere. După uscarea tușului (cca 3 ore de la scriere) suprafața frontală inscripționată se acoperă cu un strat subțire de nitrolac aplicat prin pulverizare.

Suportul general al unui complex electroacustic (rack-ul) se realizează astfel încit construcția obținută să prezinte următoarele calități :

- robustețe și totodată un aspect plăcut ;
- integrarea din punct de vedere al aspectului și coloritului în ambianța mobilei din camera respectivă ;
- accesul ușor și rapid la toate aparatele care fac parte din lanțul electroacustic (mai puțin boxele).

Suportul general are aspectul unei etajere cu rafturi suprapuse pe care aparatele electroacustice și dotările lor se dispun de obicei în următoarea ordine (de sus în jos) :

- pick-up ;
- magnetofon (casetofon) ;
- radio (tuner) ;
- stație de amplificare ;
- suport general pentru discuri, benzi magnetice etc.

Se are în vedere ca aparatele electroacustice să nu fie amplasate îngheșuit, pentru a fi asigurată o ventilație corespunzătoare pentru fiecare dintre ele. Dimensiunile și designul suportului general pentru aparatele electroacustice rămân la latitudinea constructorului amator, care va ține cont de toate precizările menționate anterior.

BIBLIOGRAFIE

1. Apostol F., Ionescu E., *Difuzoare*, Ed. Tehnică, Bucureşti 1964
2. Barna A., *Amplificatoare operaționale*, Ed. Tehnică, Bucureşti 1974
3. Băjeu G., Stancu Gh., *Generatoare de semnale sinusoidale*, Ed. Tehnică, Bucureşti 1979
4. Bărbat B., Presură Gh., s.a., *Amplificatoare de audiofreqvență*, Ed. Tehnică, Bucureşti 1972
5. Bitoiu A., s.a., *Practica electronistului amator*, Ed. Albatros, Bucureşti 1964
6. Bodea M., Vătășescu A. s.a., *Circuite integrale liniare, manual de utilizare, vol. 1–4*, Ed. Tehnică
7. Bulucea C., Vais M. s.a., *Circuite integrate liniare*, Ed. Tehnică, Bucureşti 1975
8. Ciugudea M., *Proiectarea unor circuite electronice*, Ed. Facla, Timișoara 1983
9. Ciugudea M. s.a., *Circuite integrate liniare, aplicații*, Ed. Facla, Timișoara 1986
10. Csəbai D., *Tehnica sonorizării*, Ed. Tehnică, Bucureşti 1983
11. Dascălu D., Turică L. s.a., *Circuite electronice*, Ed. Didactică și Pedagogică 1981
12. Dragu I., Iosif I., *Amplificatori operaționali*, Ed. Militară, Bucureşti 1981
13. Festilă L., Simion E. s.a., *Amplificatoare audio și sisteme muzicale*, Ed. Dacia 1990
14. Găzdaru D., s.a., *Îndrumar pentru electroniști, radio și televiziune*, Vol. 1, Ed. Tehnică, Bucureşti 1987
15. Hergovici H., *Circuite integrate în apăratura de automatizare*, Ed. Tehnică, Bucureşti 1976
16. Hull M. D., *Audio amplifier systems*, Philips 1972
17. Iosif I. M., *Radiofonie pentru tineret*, Ed. Militară, Bucureşti 1986
18. IPRS-Băneasa, *Circuite integrate liniare — Catalog*, 1981
19. Lozneanu Șt. s.a., *Memoratorul radiotehnicianului*, Ed. Junimea, Iași 1985
20. Markus, J., *Electronic circuits manual*, McGraw — Hill, USA 1971
21. Marian E. s.a., *Montaje electronice de vacanță*, Ed. Albatros 1988
22. Miron C., *Introducere în circuite electronice*, Ed. Dacia, Cluj-Napoca 1983
23. Oprescu G. D., *Hi-Fi ABC*, Ed. Albatros, Bucureşti 1971
24. Ponner I., *Electronică industrială*, Ed. Didactică și Pedagogică, Bucureşti 1972
25. Răpeanu R. s.a., *Circuite integrate analogice*, Catalog, Ed. Tehnică, Bucureşti 1983
26. Radu O., *Componente electronice pasive*, Ed. Tehnică, Bucureşti 1984
27. Ristică I., *Manualul muncitorului electronist*, Ed. Tehnică, Bucureşti 1981
28. Simion E. s.a., *Montaje electronice cu circuite integrate*, Ed. Dacia, Cluj-Napoca 1986
29. Schlet Z. s.a., *Semiconductoare și aplicații*, Ed. Facla 1981
30. Stanomir D., *Electroacustica*, Ed. Didactică și Pedagogică, Bucureşti 1968
31. Stanomir D., *Sisteme electroacustice. Cîmpul, radiația și transducția*, Ed. Tehnică, Bucureşti 1984
32. Vătășescu A. s.a., *Circuite cu semiconductoare în industrie*, Ed. Tehnică, Bucureşti 1971
33. *** Colecția revistei *Tehnium* 1980—1990
34. *** Colecția revistei *Lc haut parleur* (Franța) 1970—1984
35. *** Colecția revistei *Radio* (URSS) 1972—1981
36. *** Colecția revistei *Audio Magazine* (Anglia) 1968—1987

Ing. Emil Marian (n. 1950) a absolvit Facultatea de Electrotehnica a Politehnicii din Bucuresti. Lucreaza la ICPE, ocupindu-se in special de domeniul masinilor electrice. Este autorul mai multor invenții brevetate. În paralel, Emil Marian este un pasionat al electronicii, colaborator permanent al cunoscutei reviste „Tehnium”, în care publică din 1981. Preocupările sale privesc în principal circuitele și aparatelor de audio-frecvență. Este coautor al volumului „Montaje electronice de vacanță” (Ed. Albatros, 1987).

Pentru electroniștii amatori sau mai mult decât amatori, cartea inginerului Emil Marian oferă zeci de scheme de audiofrecvență comentate. În capitoare succesive, autorul parcurge toate blocurile funcționale principale ale unui lanț de audiofrecvență, începînd cu preamplificatoarele și terminînd cu amplificatoarele de mare putere. O atenție specială a primit un domeniu mai puțin tratat în literatura românească: reducerea zgomotului. Printre diversele sisteme de reducere a zgomotului prezentate în carte este inclus și faimosul Dolby B, descris pe larg în configurația sa completă.

Schemele electrice sunt însorite de explicații cu privire la funcționare și de indicații utile pentru realizarea practică a montajelor. Sunt precizate în fiecare caz performanțele montajelor (ciștig, bandă de frecvențe, distorsiuni etc.), dintre care multe intră în categoria Hi-Fi.

